

# راهنمای کاربرد مدل‌های تجربی و نظری آبشویی نمک‌های خاک‌های شور

نشریه شماره ۳۵۹

وزارت نیرو

شرکت مدیریت منابع آب ایران  
دفتر استانداردها و معیارهای فنی  
<http://www.wrm.ir/standard>

سازمان مدیریت و برنامه ریزی کشور  
معاونت امور فنی

دفتر امور فنی ، تدوین معیارها و  
کاهش خطر پذیری ناشی از زلزله  
<http://tec.mporg.ir>

جمهوری اسلامی ایران  
سازمان مدیریت و برنامه‌ریزی کشور

# راهنمای کاربرد مدل‌های تجربی و نظری آبشویی نمک‌های خاک‌های شور

نشریه شماره ۳۵۹

|                            |                                |
|----------------------------|--------------------------------|
| وزارت نیرو                 | معاونت امور فنی                |
| شرکت مدیریت منابع آب ایران | دفتر امور فنی، تدوین معیارها و |
| دفتر پژوهشها و استانداردها | کاهش خطرپذیری ناشی از زلزله    |

## فهرست برگه

پذیرا، ابراهیم

راهنمای کاربرد مدل‌های تجربی و نظری آبشویی نمک‌های خاک‌های شور / [تهیه‌کننده ابراهیم پذیرا] برای معاونت امور فنی، دفتر امور فنی، تدوین معیارها و کاهش خطرپذیری ناشی از زلزله؛ وزارت نیرو، شرکت مدیریت منابع آب ایران، دفتر پژوهشها و استانداردها. - تهران: سازمان مدیریت و برنامه‌ریزی کشور، معاونت امور اداری، مالی و منابع انسانی، مرکز مدارک علمی، موزه و انتشارات، ۱۳۸۵.

۱۱۴ ص: جدول. - (سازمان مدیریت و برنامه‌ریزی کشور. دفتر امور فنی، تدوین معیارها و کاهش خطرپذیری ناشی از زلزله؛ نشریه شماره ۳۵۹) (انتشارات سازمان مدیریت و برنامه‌ریزی کشور؛ ۸۵/۰۰/۱۷۱)

ISBN 978-964-425-902-9

مریبوط به بخشنامه شماره ۱۶۶۵۵۶/۱۰۰/۱۳۸۵ مورخ ۱۳۸۵/۱۰/۵  
کتابنامه: ص. ۱۰۹-۱۱۴

۱. خاک - آبشویی - دستنامه‌ها. ۲. خاک - بهسازی - دستنامه‌ها. ۳. خاک - نمکها. ۴. خاک - سدیم.  
الف. سازمان مدیریت و برنامه‌ریزی کشور. دفتر امور فنی، تدوین معیارها و کاهش خطرپذیری ناشی از زلزله.  
ب. شرکت مدیریت منابع آب ایران. دفتر پژوهشها و استانداردها. ج. سازمان مدیریت و برنامه‌ریزی کشور.  
مرکز مدارک علمی، موزه و انتشارات. د. عنوان. ه. فروست.

۱۳۸۵ ش. ۳۵۹ ۲۶۸ س/ TA

ISBN 978-964-425-902-9

شابک ۹۰۲-۹ ۹۷۸-۹۶۴-۴۲۵

راهنمای کاربرد مدل‌های تجربی و نظری آبشویی نمک‌های خاک‌های شور  
[تهیه‌کننده: معاونت امور فنی، دفتر امور فنی، تدوین معیارها و کاهش خطرپذیری ناشی از زلزله]  
ناشر: سازمان مدیریت و برنامه‌ریزی کشور، معاونت امور اداری، مالی و منابع انسانی، مرکز مدارک علمی، موزه و انتشارات  
چاپ اول، ۵۰۰ نسخه  
قیمت: ۱۳۰۰۰ ریال  
تاریخ انتشار: سال ۱۳۸۵  
لیتوگرافی: قاسملو  
چاپ و صحافی: زحل چاپ  
همه حقوق برای ناشر محفوظ است.



بسمه تعالیٰ

ریاست جمهوری

سازمان مدیریت و برنامه‌ریزی کشور

ریس سازمان

|        |            |  |
|--------|------------|--|
| شماره: | ۱۰۰/۱۶۶۵۵۶ | بخشنامه به دستگاه‌های اجرایی، مهندسان مشاور و پیمانکاران       |
| تاریخ: | ۱۳۸۵/۱۰/۵  |  |
| موضوع: |            | راهنمای کاربرد مدل‌های تجربی و نظری آبشویی نمک‌های خاک‌های سور |

به استناد آیین‌نامه استانداردهای اجرایی طرح‌های عمرانی، موضوع ماده (۲۳) قانون برنامه و بودجه و در چارچوب نظام فنی و اجرایی کشور مصوبه شماره ۴۲۳۳۹/ت ۳۳۴۹۷ هـ مورخ ۱۳۸۵/۴/۲۰ هیأت محترم وزیران به پیوست نشریه شماره ۳۵۹ دفتر امور فنی، تدوین معیارها و کاهش خطرپذیری ناشی از زلزله این سازمان، با عنوان «راهنمای کاربرد مدل‌های تجربی و نظری آبشویی نمک‌های خاک‌های سور» از نوع گروه سوم، ابلاغ می‌شود.

دستگاه‌های اجرایی، مهندسان مشاور، پیمانکاران و عوامل دیگر می‌توانند از این نشریه به عنوان راهنمای استفاده کنند و در صورتی که روش‌ها، دستورالعمل‌ها و راهنمای‌های بهتری در اختیار داشته باشند، جایگزین کنند.

عوامل یاد شده باید نسخه‌ای از دستورالعمل‌ها، روش‌ها یا راهنمای‌های جایگزین را برای دفتر امور فنی، تدوین معیارها و کاهش خطرپذیری ناشی از زلزله این سازمان، ارسال دارند.

معاون ریس جمهور و ریس سازمان

## اصلاح مدارک فنی

### خواننده گرامی:

دفتر امور فنی، تدوین معیارها و کاهش خطرپذیری ناشی از زلزله سازمان مدیریت و برنامه‌ریزی کشور با استفاده از نظر کارشناسان برجسته، مبادرت به تهیه این دستورالعمل نموده و آن را برای استفاده به جامعه مهندسی کشور عرضه نموده است. با وجود تلاش فراوان، این اثر مصون از ایرادهایی نظیر غلطهای مفهومی، فنی، ابهام، ابهام و اشکالات موضوعی نیست.

از این رو، از شما خواننده گرامی صمیمانه تقاضا دارد در صورت مشاهده هرگونه ایراد و اشکال فنی، مراقب را به صورت زیر گزارش فرمایید:

۱- شماره بند و صفحه موضوع مورد نظر را مشخص کنید.

۲- ایراد مورد نظر را به صورت خلاصه بیان دارید.

۳- در صورت امکان، متن اصلاح شده را برای جایگزینی ارسال نمایید.

۴- نشانی خود را برای تماس احتمالی ذکر فرمایید.

کارشناسان این دفتر نظرهای دریافتی را به دقت مطالعه نموده و اقدام مقتضی را معمول خواهند داشت.

پیش‌آپیش از همکاری و دقت نظر جنابعالی قدردانی می‌شود.

نشانی برای مکاتبه: تهران، خیابان شیخ بهائی، بالاتر از ملاصدرا، کوچه لادن، شماره ۲۴  
سازمان مدیریت و برنامه‌ریزی کشور، دفتر امور فنی، تدوین معیارها و کاهش خطرپذیری ناشی از زلزله

<http://tec.mpor.org.ir>

صندوق پستی ۱۹۹۱۷-۴۵۴۸۱

## بسمه تعالی

استفاده از ضوابط، معیارها و استانداردها در مراحل تهیه (مطالعات امکان‌سنجی)، مطالعه و طراحی، اجرا، بهره‌برداری و نگهداری طرح‌های عمرانی به لحاظ توجیه فنی و اقتصادی طرح‌ها، کیفیت طراحی و اجرا (عمر مفید) و هزینه‌های نگهداری و بهره‌برداری از اهمیت ویژه برخوردار می‌باشد.

نظام فنی و اجرایی طرح‌های عمرانی کشور (مصوبه مورخ ۱۳۷۵/۴/۴ هیأت محترم وزیران) بکارگیری معیارها، استانداردها و ضوابط فنی در مراحل تهیه و اجرای طرح و نیز توجه لازم به هزینه‌های نگهداری و بهره‌برداری در قیمت تمام شده طرح‌ها را مورد تأکید جدی قرار داده است.

باتوجه به مراتب یاد شده و شرایط اقلیمی و محدودیت منابع آب در ایران، امور آب وزارت نیرو (طرح تهیه و تدوین ضوابط و معیارهای صنعت آب کشور) با همکاری معاونت امور فنی سازمان مدیریت و برنامه‌ریزی کشور (دفتر امور فنی، تدوین معیارها و کاهش خطرپذیری ناشی از زلزله) براساس ماده ۲۳ قانون برنامه و بودجه اقدام به تهیه استانداردهای مهندسی آب نموده است. استانداردهای مهندسی آب با در نظر داشتن موارد زیر تهیه و تدوین شده است :

- استفاده از تخصص‌ها و تجربه‌های کارشناسان و صاحبنظران شاغل در بخش عمومی و خصوصی
- استفاده از منابع و مأخذ معتبر و استانداردهای بین‌المللی
- بهره‌گیری از تجارب دستگاه‌های اجرایی، سازمان‌ها، نهادها، واحدهای صنعتی، واحدهای مطالعه، طراحی و ساخت
- پرهیز از دوباره‌کاری‌ها و اتلاف منابع مالی و غیرمالی کشور
- توجه به اصول و موازین مورد عمل مؤسسه استانداردها و تحقیقات صنعتی ایران و سایر مؤسسات تهیه‌کننده استاندارد ضمن تشکر از کارشناسان محترم برای بررسی و اظهار نظر در مورد این استاندارد، امید است مجریان و دست‌اندرکاران بخش آب، با بکارگیری استانداردهای یاد شده، برای پیشرفت و خودکفایی این بخش از فعالیت‌های کشور تلاش نموده و صاحبنظران و متخصصان نیز با اظهار نظرهای سازنده در تکامل این استانداردها مشارکت کنند.

## ترکیب اعضای تهیه کننده : کمیته و ناظران تخصصی

استاندارد «راهنمای کاربرد مدلهای تجربی و نظری آبشویی نمکهای خاکهای شور» توسط آقای دکتر ابراهیم پذیرا تهیه شده است. گروه نظارتی که مسئولیت نظارت تخصصی بر تدوین این راهنمایی را به عهده داشته‌اند به ترتیب حروف الفباء عبارتند از :

|                             |                            |                |
|-----------------------------|----------------------------|----------------|
| فوق لیسانس آبیاری و زهکشی   | شرکت مهندسین مشاور آبساران | مجتبی اکرم     |
| لیسانس مهندسی راه و ساختمان | دفتر پژوهشها و استانداردها | مهین کاظم‌زاده |
| فوق لیسانس آبیاری و زهکشی   | مؤسسه تحقیقات خاک و آب     | ژاله وزیری     |
| دکترای خاک‌شناسی            | دانشگاه تربیت مدرس         | مهدى همایی     |

اسامی اعضای کمیته تخصصی آبیاری و زهکشی بخش استاندارد دفتر پژوهشها و استانداردها که بررسی و تأیید این راهنمایی را به عهده داشته‌اند به ترتیب حروف الفباء عبارتند از :

|   |                     |
|---|---------------------|
| واحد علوم و تحقیقات، دانشگاه آزاد اسلامی تهران دکترای مهندسی منابع آب | ابراهیم پذیرا       |
| فوچ لیسانس هیدرولیک   | اسماعیل جباری       |
| فوچ لیسانس آبیاری و زهکشی   | محمد صادق جعفری     |
| فوچ لیسانس آبیاری و زهکشی   | سید مجتبی رضوی نبوی |
| لیسانس آبیاری و زهکشی   | سید رحیم سجادی      |
| فوچ لیسانس آبیاری و زهکشی و منابع آب                                  | محمد کاظم سیاهی     |
| فوچ لیسانس آبیاری و زهکشی   | محمدحسن شمشیرساز    |
| لیسانس فیزیک  | محمدحسین شیروی      |
| دکترای آبیاری و زهکشی   | محمدجواد منعم       |
| فوچ لیسانس تأسیسات آبیاری   | انسیه محراجی        |

## فهرست مطالب

| <u>صفحه</u> | <u>عنوان</u>  |
|-------------|---|
| ۱           | مقدمه   |
| ۳           | - ۱ هدف و دامنه کاربرد                                      |
| ۴           | ۱-۱ هدف   |
| ۵           | ۲-۱ دامنه کاربرد  |
| ۶           | ۲- کلیات  |
| ۷           | ۱-۲ منشأ نمک در منابع خاک و آب                              |
| ۸           | ۲-۲ وضعیت کیفی خاکهای شور و سدیمی و اثرهای آن در کشاورزی    |
| ۹           | ۱-۲-۲ ردهبندی و اصلاح خاکهای شور و سدیمی                    |
| ۱۰          | ۲-۲-۲ اثر شوری و سدیمی بودن بر ویژگیهای خاک و عملکرد گیاهان |
| ۱۱          | ۳- مبانی حرکت نمکها در نیمرخ خاک                            |
| ۱۲          | ۱-۳ بیلان آب و نمک در خاک و ضرورت کنترل آن                  |
| ۱۳          | ۲-۳ چگونگی پویایی نمکها در نیمرخ خاکها                      |
| ۱۴          | ۱-۲-۳ مبانی پایه و نظری                                     |
| ۱۵          | ۲-۲-۳ حرکت نمکها در اثر پخشیدگی                             |
| ۱۶          | ۳-۲-۳ حرکت نمک در اثر انتشار                                |
| ۱۷          | ۴-۲-۳ حرکت نمک در اثر فرایندهای انتشار- پخشیدگی             |
| ۱۸          | ۵-۲-۳ بیان ریاضی پخشیدگی - انتشار                           |
| ۱۹          | ۶-۲-۳ راهکارهای ریاضی و کاربردی                             |
| ۲۰          | ۷-۲-۳ پدیده تأخیری یا بازدارندگی                            |
| ۲۱          | - ۴ مدل‌های تجربی و نظری آبشویی نمک خاکهای شور              |
| ۲۲          | ۱-۴ کلیات   |
| ۲۳          | ۲-۴ فرایند شوری‌زدایی از نیمرخ خاکها                        |
| ۲۴          | ۳-۴ مدل‌های تجربی آبشویی نمکهای محلول از نیمرخ خاکها        |
| ۲۵          | ۱-۳-۴ مدل ریو (۱۹۵۷)  |
| ۲۶          | ۲-۳-۴ مدل دیلمان (۱۹۶۳)                                     |
| ۲۷          | ۳-۳-۴ مدل لافلر و شارما (۱۹۷۷)                              |
| ۲۸          | ۴-۳-۴ مدل هافمن (۱۹۸۰)                                      |

## فهرست مطالب

| صفحه | عنوان  |
|------|--|
| ۳۹   | مدل پذیرا و کاوچی (۱۹۸۱) ۵-۳-۴   |
| ۴۰   | مدل ورما و گوپتا (۱۹۸۹) ۶-۳-۴  |
| ۴۱   | مدل پذیرا و کشاورز (۱۹۹۸) ۷-۳-۴  |
| ۴۲   | بحث و نتیجه‌گیری از مبحث کاربرد مدل‌های تجربی آبشویی نمکها ۸-۳-۴   |
| ۴۳   | ۴-۴ مدل‌های نظری آبشویی نمک‌های محلول از نیمرخ خاکها   |
| ۴۴   | مدل مخزن منفرد ( $SR_M$ ) ۱-۴-۴  |
| ۴۵   | مدل مخزن با مجرای فرعی (SRBM) ۲-۴-۴  |
| ۴۶   | مدل سری مخازن (SRM) ۳-۴-۴  |
| ۴۹   | مدل نظری ستون پیوسته خاک (TPTM) ۴-۴-۴  |
| ۵۰   | مدل انتقال-انتشار (پراکنش) هیدرودینامیکی (CDM) ۵-۴-۴   |
| ۵۳   | مدل تابع انتقال (TFM) ۶-۴-۴  |
| ۵۵   | مدل حل عددی (NM) ۷-۴-۴   |
| ۵۶   | بحث و نتیجه‌گیری از مبحث کاربردی مدل‌های نظری آبشویی نمکها ۸-۴-۴   |
| ۵۸   | پیوست ۱- روش اجرای آزمایشها، پردازش داده‌ها و شیوه نتیجه‌گیری از رقمها و اعداد حاصل از اجرای آزمونهای آبشویی خاک‌های شور و سدیمی |
| ۷۳   | پیوست ۲- بعضی منحنیهای رخنه (BTC) نظری و تجربی [۵۹، ۶۰، ۶۱، ۶۵]  |
| ۷۵   | پیوست ۳- مثال عملی از کاربرد مدل‌های تجربی آبشویی نمک در خاک‌های شور   |
| ۹۱   | پیوست ۴- ارائه مثال عملی درمورد کاربرد مدل‌های نظری آبشویی نمک خاک‌های شور   |
| ۱۰۹  | منابع و مراجع  |

## مقدمه

براساس داده‌های موجود از کل ۱۶۵ میلیون هکتار زمینهای سطح کشور، مساحتی حدود ۲۳/۵ میلیون هکتار یا ۱۴/۲ درصد کل در مقادیر متفاوت با مشکلات شوری، سدیمی بودن، زهداری و حالت ماندابی روبه‌رو بوده است. مقدار بیان شده مساوی ۳۰ درصد مساحت فلاتهای کم ارتفاع و دشتی‌های کشور نیز می‌باشد<sup>۱</sup>. اجزای مساحت ذکر شده شامل:

- ۷/۷ میلیون هکتار خاکهای "آridi سولز<sup>۲</sup> و آنتی سولز<sup>۳</sup>" حاوی خاکهای شور و خاکهای رسوبی شور هستند، این خاکها به دلیل ویژگیهای ذاتی و کیفی به طور نسبی به آسانی قابل اصلاح و بهسازی هستند.
- ۸/۲ میلیون هکتار خاکهای باتلاقی شور به طور عمده جزو رده "آridi سولز" و گروه بزرگ "آکویی سالیدز<sup>۴</sup>" هستند. اصلاح و بهسازی این خاکها نیاز به بررسی و اقدامهای خاص و پیچیده‌ای دارد.
- ۷/۶ میلیون هکتار شامل خاکهای تکامل نیافته و یا با تکامل بسیار کم نیمرخ خاک، که بر روی سنگهای آهکی و یا مارنهای گچی و آهکی تشکیل شده است. این گونه خاکها اغلب کم عمق و بخش وسیعی از آنها شور و سدیمی بوده و به دلیل فنی و اقتصادی برای اجرای عملیات بهسازی نامناسب هستند. این خاکها به طور عمده جزو رده "آنتی سولز" بوده و سطوح کمی از آنها در رده "آridi سولز" قرار دارد.

لازم به ذکر است که فرایند شوری و سدیمی شدن خاکها، پدیده‌ای پویا و به طور دائم در حال تغییر است و به همین دلیل می‌توان تصور کرد که همه این رقمهای تغییرات کلی داشته باشند.

متخصصان کشاورزی، اقتصاددانان و جامعه‌شناسان بیشتر کشورهای جهان که منابع فیزیکی تولید آنها با مشکلات شوری و یا سدیمی بودن روبه‌روست، اعتقاد دارند که معضل گرایش به شوری منابع (آب و خاک) تولید در بخش کشاورزی، در آینده‌ای نه چندان دور ممکن است ابعاد اقتصادی و اجتماعی زندگی را در جوامع کشاورزی و روستایی با تنگناهای ویژه‌ای روبه‌رو کند و در نتیجه لزوم پیشگیری و مقابله با آن لازم است.

توجه: پیشنهاد می‌شود برای آگاهی بیشتر و استفاده مطلوب‌تر از مندرجات این راهنمای در ارتباط با روش اجرای آزمایشها، پردازش داده‌ها و نتیجه‌گیری از رقمها و اطلاعات حاصل از اجرای آزمونهای آزمایشگاهی و میدانی (مزرعه‌ای)، موارد مندرج در "دستورالعمل آزمایش‌های آبشویی خاکهای شور و سدیمی در ایران" ، نشریه شماره ۲۵۵ سازمان مدیریت و برنامه‌ریزی کشور، ۱۳۸۱ مورد توجه قرار گیرد.

خاکهای شور و سدیمی را می‌توان به خاکهای شور<sup>۵</sup>، خاکهای سدیمی<sup>۶</sup> و خاکهای شور و سدیمی<sup>۷</sup> رده‌بندی کرد. به طور خلاصه، خاکهای شور حاوی مقدار زیاد نمکهای محلول است، خاکهای سدیمی مقدار زیادی سدیم تبادلی دارند، در حالی که خاکهای شور و سدیمی هر دو ویژگی بیان شده را دارا هستند یعنی مقدار نمکهای محلول و سدیم تبادلی آنها زیاد است.

۱ - دستورالعمل آزمایش‌های آبشویی خاکهای شور و سدیمی در ایران، نشریه شماره ۲۵۵ سازمان مدیریت و برنامه‌ریزی کشور، ۱۳۸۱

2 - Aridisols

3 - Entisols

4 - Aquicardids

5 - Saline Soils

6 - Sodic Soils

7 - Saline Sodic Soils

در هر محلی از کشور که میزان تبخیر بر بارندگی فزونی دارد و نیز در حالت بالا بودن سطح ایستابی، شور شدن خاک و زمینها اجتنابناپذیر بوده و توجه مجدد به این مهم که در ۹۰ درصد سطح کشور مقادیر بارندگی کمتر از ۲۵۰ تا ۵۰۰ میلی‌متر در سال است به خوبی مشخص می‌شود که در این شرایط، کشاورزی در کشور بهویژه در زمینهای فاریاب همواره با مشکل شوری منابع آب و خاک روبرو بوده است.

با توجه به موارد ذکر شده، ملاحظه می‌شود که شرایط اقلیمی خاص کشور، فرآیند تشکیل و گسترش خاکهای مسئله‌دار را به‌طور قابل ملاحظه‌ای افزایش می‌دهد. خاکهای شور و سدیمی اغلب در مناطق خشک و نیمه‌خشک کشور و به‌طور گسترده در جلگه‌ها و دشت‌های رسوی و بویژه در دشت‌های آبرفتی پراکنده هستند این زمینها یا از نظر وضعیت زهکشی طبیعی، ضعیف بوده و یا در چنین شرایطی تکوین و گسترش یافته‌اند.

## ۱- هدف و دامنه کاربرد

### ۱-۱ هدف

هدف از تهیه این راهنمای ارائه رهنمودهای لازم برای شناخت، بهسازی فیزیکو - شیمیایی مناسب و بهره‌برداری مطلوب از خاکهای متأثر از مشکلات شوری و سدیمی با استفاده از مدل‌های آبشویی نمکها از نیمرخ خاک است که بر اساس روابط نظری و تجربی بسط و با توجه به ویژگیهای محلی تعديل یافته‌اند.

### ۲- دامنه کاربرد

این راهنمای بررسی و روند شوری‌زدایی برای شرایط متفاوت کیفیت آب و خاک کاربرد دارد.

### ۲- کلیات

#### ۱-۲ منشأ نمک در منابع خاک و آب

با وجود شرایط اقلیمی مناسب در مناطقی با شبکه‌های آبیاری پیشرفته و مدرن، به‌طورکلی، تولید کشاورزی در زمینهای فاریاب، زیاد و مطلوب نیست. براساس مطالعات انجام شده بر روی عوامل طبیعی و غیرطبیعی محدودکننده میزان عملکرد محصول در واحد سطح، می‌توان به پایین بودن سطح دانش و مهارت تولیدکنندگان در بخش کشاورزی، گرانی و ناکافی بودن مواد شیمیایی مورد نیاز (کود، سم، هورمون و...)، ناکافی بودن عملیات ماشینی در امور زراعی و باگی و از همه مهم‌تر مشکل گراش کیفیت منابع فیزیکی تولید (خاک و آب) به شوری و سدیمی شدن، و به دنبال آن نامطلوب شدن کیفی منابع اشاره کرد.

درباره مشکل اخیر، به استناد تجربیات بسیار که گاه قدمت زیادی دارد ولی به‌طور عمده به زمان حاضر مرتبط است، می‌توان ادعا کرد که شوری و سدیمی شدن منابع تولید (آب و خاک) در شبکه‌های آبیاری سنتی و جدید، کاهش میزان عملکرد محصول را تا حدود ۹۰ درصد و یا بیشتر به‌دنبال داشته است.

اصلاح، بهسازی و استفاده دوباره، متناوب و قابل تداوم از منابع خاک و آب مسئله‌دار، مستلزم هزینه زیاد، تخصص، تحقیق، پایش و بالاخره زمان و مدیریت ویژه بوده و در مقایسه با آب و خاک مناسب مطرح است، ابعاد اقتصادی، اجتماعی و فناوری بسیار متفاوتی دارد.

نامطلوبی و تخریب ویژگیهای کیفی منابع فیزیکی تولید (خاک و آب) در بخش کشاورزی، فقط مربوط به اقلیم‌های خشک و نیمه‌خشک نیست بلکه شواهد موجود نشان می‌دهد که گستره این مشکلات در مناطق نیمه‌مرطوب نیز وجود دارد. از نظر کاربرد و مصرف آب در کشاورزی، زمینهای شور و یا شور و سدیمی نیاز به آب آبیاری بسیار زیادی دارند. با توجه به این واقعیت که در دهه‌های اخیر، حوضه‌های آبخیز رودخانه‌های دائمی در مناطق خشک و نیمه‌خشک، به‌طور مرتب کمبود

عرضه آب مفید را نشان می‌دهند و ظرفیت آبیاری رودخانه‌ها و منابع آب زیرزمینی به طور دائم در حال کاهش است، می‌توان نتیجه‌گیری کرد که در آینده‌ای نه چندان دور ممکن است مشکل شور شدن منابع (آب و خاک) تولید در بخش کشاورزی ابعاد اقتصادی و اجتماعی را در جوامع کشاورزی و روستایی با تنگناهای ویژه‌ای روبرو کند.

## ۲-۲ وضعیت کیفی خاکهای شور و سدیمی و اثرهای آن در کشاورزی

در بیشتر مناطق خشک و نیمه‌خشک، فرایند شور شدن خاکها باعث سدیمی شدن خاک می‌شود. در شرایطی که آب آبیاری، حاوی مقدار زیادی نمکهای بی‌کربنات و کربنات سدیم باشد، تأثیر این نمکها باعث افزایش pH (واکنش) آب شده و در نتیجه سرعت فرایند قلیایی شدن<sup>۱</sup> خاک افزایش می‌یابد. استفاده از چنین آبهایی (با pH بیشتر از ۸) در آبیاری باعث عدم انحلال و یا ترسیب نمک کلسیم در محلول خاک می‌شود و اثرهای منفی یون سدیم را تشدید می‌کند. در نتیجه pH محلول خاک نیز احتمالاً افزایش می‌یابد و منجر به قلیایی شدن خاک می‌گردد و در نتیجه آن، سدیمی شدن خاک نیز رخ می‌دهد.

با توجه به آنچه گفته شد، کیفیت آب مصرفی در آبیاری محصولات کشاورزی، یکی از عوامل مهم در تغییر وضعیت کیفی خاکها و گرایش زمینهای به شوری، سدیمی و قلیایی شدن است. بنابراین، در اینجا به بعضی از معیارهای لازم درباره کیفیت آبهای آبیاری، اشاره می‌شود. بررسی کیفیت شیمیایی آب آبیاری، به طور کلی بر مبنای موارد زیر است :

- غلظت یا تراکم نمکهای محلول در آب که به طور مستقیم بروی میزان عملکرد محصولات زراعی و باعی اثر می‌گذارد.
- تراکم یا غلظت یون، بویژه که ممکن است در گیاه نوعی مسمومیت<sup>۲</sup> ایجاد کند و یا کیفیت محصولات را نامرغوب نماید.
- نسبت بین اجزای شیمیایی (کاتیونهای محلول) موجود در آب، که ممکن است موجب گسیختگی خاکدانه شود و ساختار خاک را تخریب و نفوذپذیری آن را کاهش دهد.

پژوهش‌های زیادی در ارتباط با میزان شوری آب خاک<sup>۳</sup> و عملکرد گیاهان مختلف انجام شده است. شوری آب خاک، در درجه اول به میزان نمک محلول موجود در آب آبیاری بستگی دارد. افزون بر این غلظت نمک در آب خاک با مقدار رطوبت خاک تغییر می‌کند، زیرا جذب آب به وسیله ریشه گیاه و تبخیر، موجب کاهش میزان رطوبت و افزایش نسبی میزان نمک در آب خاک می‌شود. از این نظر، میزان شوری خاک معمولاً در عصاره اشبع<sup>۴</sup> اندازه‌گیری و گزارش می‌شود.

نکته : میزان شوری عصاره اشبع خاک در خاکهای رسی (به دلیل رقت) تقریباً نصف مقدار شوری آب خاک در حد رطوبت ظرفیت زراعی (FC)<sup>۵</sup> و یک چهارم میزان شوری آب خاک در حد نقطه پژمردگی دائم (PWP)<sup>۶</sup> است.

رابطه میان سطوح مختلف شوری خاک و عملکرد محصولات گوناگون زراعی و باعی به صورت روابط مختلف بیان می‌شود که بر مبنای آزمایشها به دست آمده که در آنها با استفاده مداوم از آب شور، مقدار موردنظر شوری خاک را ثابت نگه می‌دارند. بر

1 - Alkalization

2 - Toxicity

3 - Soil Water

4 - Saturation Extract

5 - Field Capacity (FC)

6 - Permanent Wilting Point (PWP)

پایه نتایج حاصل، جداولی که ارتباط بین میزان شوری آب مصرفی و عصاره اشباع خاک را در حد کاهش‌های ۰، ۱۰، ۲۵ و ۱۰۰ درصد عملکرد محصول گیاهان مختلف را نشان می‌دهد، ارائه شده است. این جدولها گیاهان را به چهار دسته حساس (S)، نسبتاً حساس (MS)، نسبتاً مقاوم (MT) و مقاوم (T) در برابر شوری تقسیم‌بندی می‌کند (۸۵، ۲۱). ضعف چنین آزمونهایی این است که نمی‌تواند بیانگر تغییرات واقعی کیفیت خاک و میزان عملکرد محصول در شرایط مزرعه باشد، زیرا برخلاف نتایج آزمایش‌هایی که در آن میزان شوری ثابت و یکنواخت نگه داشته می‌شود، در شرایط مزرعه، عموماً میزان شوری با عمق خاک تغییر می‌کند. و تنها پس از رسیدن به تعادل کامل شیمیایی (بین شوری خاک و آب آبیاری) آن‌هم در افقهای سطحی نیمرخ خاک می‌توان رابطه معنی‌داری بین نمک موجود در آب آبیاری و آب خاک برقرار کرد، زیرا در لایه‌های زیرین خاک و در بخش زیرین محدوده توسعه ریشه‌ها، میزان شوری خاک تقریباً با مقدار شوری آب حاصل از تراوشهای عمقی آبیاری برابر است و بر حسب نوع خاک و عوامل دیگر، مقدار شوری خاک در لایه‌های زیرین حدود ۳ تا ۱۰ برابر غلظت نمکها آب آبیاری است. از سوی دیگر گیاه بیشترین میزان آب مورد نیاز مصرفی خود را از لایه‌های سطحی نیمرخ خاک دریافت می‌کند. به همین دلیل در مقایسه با توزیع یکنواخت شوری در ستون خاک، میزان کاهش واقعی عملکرد محصول در مزرعه کمتر است.

### ۱-۲-۳ رده‌بندی و اصلاح خاکهای شور و سدیمی

خاکهای شور و یا سدیمی، بر پایه دو ویژگی مهم زیر، تعریف، ارزیابی و رده‌بندی می‌شوند:

- غلظت نمکهای محلول در حدی باشد که بر رشد و نمو گیاهان اثرهای نامطلوب بگذارد.
- درصد سدیم تبادلی (ESP)<sup>۱</sup> به میزانی باشد که پایداری خاکدانه‌ها بر اثر تخریب ساختمان خاک، تضعیف شود و ویژگیهای فیزیکی خاک نیز نامطلوب گردد.

### ۱-۱-۳ خاکهای شور

در گذشته خاکهایی که میزان هدایت الکتریکی عصاره اشباع (EC<sub>e</sub>)<sup>۲</sup> آنها بیش از ۴ دسی زیمنس بر متر (dS/m) و درصد سدیم تبادلی آن کمتر از ۱۵ بود، به عنوان خاکهای شور شناخته می‌شدند. در سالهای اخیر، بعضی پژوهشگران پیشنهاد کرده‌اند که حد شوری عصاره اشباع خاک (هدایت الکتریکی) این‌گونه خاکها، ۲ دسی زیمنس بر متر منظور شود، زیرا بیشتر گیاهان بویژه درختان میوه و گیاهان زیستی در محدوده شوری ۲ تا ۴ دسی زیمنس بر متر آسیب‌پذیر می‌شوند. مشکل خاکهای شور، تراکم نمکهای محلول در فاز مایع خاک است که بیشتر به صورت کلرید، سولفات‌ها و گاهی نیترات هستند. هرچند نمکهای کم محلولی مانند سولفات کلسیم (CaSO<sub>4</sub>) و کربنات کلسیم (CaCO<sub>3</sub>) نیز در این نوع خاکها یافت می‌شود. خاکهای شور به دلیل وجود مقدار کم سدیم تبادلی در همتافت تبادلی خود، نفوذپذیری مناسبی دارند.

اصلاح و بهره‌برداری از خاکهای شور با آبشویی نمکهای محلول و استفاده از آب مناسب و کافی امکان‌پذیر است. زیرا این نمکهای تراکم یافته در نیمرخ خاک، از انحلال‌پذیری مطلوبی برخوردارند که با به کارگیری آب آبشویی، به همراه تراوشهای عمقی، از محدوده گسترش ریشه به بخش زیرین خاک انتقال می‌یابند. در عمل بهتر است که ابتدا میزان هدایت الکتریکی

1 - Exchangable Sodium Percentage (ESP)  
2 - Electrical Conductivity of Soil Extract

عصاره اشباع خاک (شوری) در افقهای صفر تا ۵۰ سانتی متر سطحی نیمرخ خاک تا حد آستانه شوری برای کشت گیاه مورد نظر کاهش داده شود و تداوم آبشویی نمکهای متراکم در لایه‌های زیرین، با تراوشهای عمقی آب آبیاری به کار رفته انجام شود. اصلاح خاک شور ممکن است به دلایل متعدد از جمله محدودیت زهکشی طبیعی (داخلی خاک) و بالا بودن سطح ایستابی، نفوذپذیری کم خاک، پایین بودن میزان هدایت هیدرولیکی اشباع افقهای نیمرخ خاک (لایه‌ای بودن ستون خاک)، کمبود آب مورد نیاز با کیفیت مناسب و یا هزینه‌های تأمین آب مورد نیاز، می‌تواند موجب مشکلاتی در آبشویی و آبیاری زمینها شود.

### ۲-۱-۳ خاکهای سدیمی

از ویژگیهای آشکار این نوع خاکها، دارا بودن میزان شوری عصاره اشباع خاک به مقدار کمتر از ۴ دسی زیمنس بر متر و درصد سدیم تبادلی بیشتر از ۱۵ است. در این نوع خاکها معمولاً مقدار نسبت جذب سدیم (SAR)<sup>۱</sup> محلول خاک بیشتر از ۱۳ است، در نتیجه ملاحظه می‌شود که اصلی‌ترین مشکل این خاکها، میزان سدیم است.

قابل توجه بودن مقدار سدیم و هدایت الکتریکی کم عصاره اشباع خاک، موجب گسیختگی خاکدانه‌ها و پراکنش ذرات رس می‌شود، زیرا وفور نمکهای سدیم موجب تضعیف انعقاد خاکدانه‌ها و گسیختگی آنها می‌شود که به دنبال آن، پراکنش ذرات رس به وجود خواهد پیوست.

pH خاکهای سدیمی در محدوده ۸/۵ تا ۱۰ متغیر است و این امر به دلیل هیدرولیز نمک کربنات سدیم است. کلر، سولفات و بی‌کربنات همراه با مقداری کربنات، از عمدت‌ترین آنیونهای محلول در خاکهای سدیمی هستند. به دلیل اینکه در pH بالا، آنیون کربنات وجود دارد، در نتیجه کلسیم و منیزیم در خاک رسوب می‌کنند و به همین دلیل مقدار این کاتیونها در محلول خاک کاهش حاصل می‌یابد. کاتیونهای محلول و تبادل پذیر موجود در این خاکها افزون بر سدیم، حاوی پتاسیم نیز می‌باشد.

اصلاح خاکهای سدیمی می‌تواند با به کارگیری گچ (ژیپس) و کلرید کلسیم که زمینه جایگزین یون کلسیم را به جای یون سدیم تبادلی فراهم می‌آورد، امکان پذیر باشد. در این شرایط کلسیم جایگزین سدیم شده و نمک سولفات سدیم (Na<sub>2</sub>SO<sub>4</sub>) یا کلرید سدیم (NaCl) به دست می‌آید که به دلیل اتحلال پذیری زیاد قابل آبشویی و دفع است. نمکهای سولفات کلسیم (گچ) و کلرید کلسیم، ضمن اینکه غلظت الکترولیتی خاک را افزایش می‌دهند، موجب افزایش نفوذپذیری خاک نیز می‌شوند. در خاکهای آهکی و یا خاکهای سدیمی با مقدار زیادی کربنات کلسیم (آهک)، می‌توان سدیم‌زدایی را با به کارگیری گوگرد عصری و یا اسید سولفوریک غلیظ صنعتی نیز انجام داد، استفاده از مواد اصلاح‌کننده خاک، مستلزم عملیات ویژه‌ای است.

### ۲-۱-۴ خاکهای سور و سدیمی

عصاره اشباع این‌گونه خاکها دارای هدایت الکتریکی بیش از ۴ دسی زیمنس بر متر و درصد سدیم تبادلی بیش از ۱۵ است. در نتیجه مشکل مضاعف این خاکها، بالا بودن میزان نمکهای محلول و درصد سدیم تبادلی است. از آنجاکه غلظت الکترولیتی (املاح محلول) فاز مایع خاک قابل ملاحظه است، در نتیجه pH آنها از ۸/۵ کمتر بوده و خاک منعقد می‌باشد.

هنگام اصلاح و بهسازی این نوع خاکها، باید دقت کافی داشت، زیرا ممکن است در فرایند آبشویی، نمکهای محلول از نیمرخ خاکها، موجب چیرگی یون سدیم در محلول خاک و همچنین موجب گرایش احتمالی این خاکها به سمت سدیمی شدن گردد، در نتیجه مقدار pH خاک از ۸/۵ فراتر رفته و گسیختگی خاکدانه‌ها نیز رخ می‌دهد.

برای اصلاح و بهسازی خاکهای شور و سدیمی، به کارگیری همزمان آب مناسب برای آبشویی نمکها و افزودن مواد اصلاح کننده دارای یون کلسیم (سولفات کلسیم یا کلرید کلسیم) برای جایگزینی با یون سدیم تبادلی، ضرورت دارد. بدین ترتیب نمکهای محلولی مانند کلرید سدیم و سولفات سدیم به دست می‌آید که به دلیل انحلال پذیری مطلوب به همراه تراوشهای عمقی از نیمرخ خاک آبشویی شده و به لایه‌های زیرین انتقال می‌یابد. روش دیگری که برای اصلاح این گونه زمینها پیشنهاد شده است آبشویی مقدماتی با آبهای شور حاوی کلسیم و منیزیم زیاد است. هرگاه شوری آب موردنظر بسیار زیاد باشد، می‌توان از راه آمیختن با آب مناسب یا لبشور، آن را رقیق کرد. از جمله محسنین این روش، جایگزینی مقدماتی کلسیم به جای سدیم تبادلی است که پس از رسیدن به این مرحله، استمرار آبشویی نمکهای محلول باید با استفاده از آب مناسب انجام گیرد. از موارد قابل تعمق در اصلاح و بهسازی خاکهای سدیمی و یا شور و سدیمی، هزینه‌های مربوط به تأمین مواد اصلاح کننده خاک حاوی کلسیم و به کارگیری آن است. مواد اصلاح کننده باید به شیوه‌ای استفاده شوند که امکان انجام واکنشهای لازم بین کلسیم و سدیم تبادلی در خاک با سهولت نسبی فراهم باشد. بدین دلیل پیشنهاد شده است که مقداری گچ مورد نیاز پس از پخش روی سطح زمین با خاک لایه سطحی مخلوط شود. روش دیگر، می‌تواند افزودن گچ به آب آبشویی و یا آب مصرفی باشد.

### ۲-۳-۲ اثر شوری و سدیمی بودن بر ویژگیهای خاک و عملکرد گیاهان

مهم‌ترین اثر نامطلوب شوری در خاک، افزایش غلظت نمکهای محلول در فاز مایع خاک است. در نتیجه این پدیده، جذب آب به وسیله گیاه که می‌تنی بر خاصیت اسمز است، حتی در صورت وجود رطوبت کافی در خاک، مختل، متوقف و گاه حالت معکوس به‌خود می‌گیرد. افزون بر این، بعضی یونهای موجود در عصاره اشباع خاک، مانند سدیم، کلر و بُر مسمومیتهای خاصی را برای گیاهان به‌وجود می‌آورند. همان‌گونه که گفته شد در بیشتر حالتها، افزایش تراکم نمکهای محلول در خاک با افزایش یون سدیم تبادلی در همتافت خاک همراه است. تأثیر منفی و جدی سدیم تبادل پذیر در خاک بر کاهش رشد و نمو گیاهان را می‌توان به عواملی مانند مسمومیت گیاهی، عدم توازن موادغذایی در گیاه، و بالاخره افزایش میزان pH خاک نسبت داد. ضمن اینکه اثرهای سدیمی بودن خاک، بر ویژگیهای فیزیکی نیز بسیار با اهمیت است.

### ۲-۳-۱ اثر شوری و سدیمی بودن بر ویژگیهای خاک

شوری و سدیمی بودن، اثر زیادی بر ساختار خاک دارد. چون ساختار خاک بستگی به شیوه آرایش ذرات آن دارد و نفوذ و تحرک آب به سطح و درون خاک نیز به بافت و ساختار خاک بستگی مستقیم دارد، پس هرگاه میزان سدیم در خاک زیاد و مقدار شوری خاک، کم باشد، نفوذپذیری، هدایت هیدرولیکی و تحرک آب در خاک، به دلیل تورم و پراکنده شدن ذرات رس و از بین رفتن خاک‌دانه‌ها، کاهش می‌یابد. به طور کلی نفوذ آب در خاک در مراحل اولیه که خاک خشک است، سریع بوده، لیکن پس از گذشت زمان، آهسته می‌شود و به حالت پایدار (نفوذ پایه اراضی) می‌رسد. متورم شدن ذرات رس، موجب کوچک‌تر شدن منافذ خاک می‌شود و تخریب خاک‌دانه‌ها نیز موجب کاهش خلل و فرجهایی می‌شود که مسیر جریان آب و نمکهای خاک هستند. بسته شدن بعضی از منافذ با ذرات رس جایگزین شده و تورم رسها، تأثیر قابل ملاحظه‌ای بر نفوذ و تحرک آب و هوا در خاک خواهد داشت، هرچند این عامل، تحت تأثیر نوع کانیهای، نوع یونهای جذب شده بر سطح ذرات رس و غلظت نمکهای

محلول در فاز مایع خاک نیز قرار می‌گیرد. بیشترین میزان تورم، در رس‌های حاصل از کانیهای اسمکتیت<sup>۱</sup> اشباع از سدیم است. تورم ذرات خاک با کاهش غلظت نمکهای محلول در خاک، افزایش خواهد یافت.

هرگاه مقدار درصد سدیم تبادلی خاک بیش از ۱۵ باشد، بعضی رس‌های تورم‌پذیر مانند مونت موریلونیت<sup>۲</sup>، آب بیشتری را جذب و نگهداری می‌کنند. از سوی دیگر، هرگاه غلظت نمکهای محلول در خاک کاهش، و درصد سدیم تبادلی افزایش یابد، نفوذپذیری و هدایت هیدرولیکی خاک کاهش خواهد یافت.

نکته: هرگاه غلظت نمک آبی که از نیمرخ خاک خارج می‌شود، بیش از غلظتی باشد که در یک مقدار درصد سدیم تبادلی معین، و مقدار کاهش نفوذپذیری خاک در حدود ۱۰ تا ۱۵ باشد، استفاده از آبی با همان غلظت، موجب کاهش نفوذپذیری در نیمرخ خاک نمی‌شود.

### ۳-۲-۲ اثر شوری خاک بر عملکرد گیاهان

شوری و سدیمی بودن خاک، اثرهای متفاوتی بر رشد و عملکرد گیاهان دارد. برای مثال، سدیمی بودن خاک باعث مسمومیت گیاهی، اختلال در تغذیه گیاه از جمله کمبود کلسیم در گیاه می‌شود. در خاکهای با شوری زیاد نیز یونهای محلولی مانند کلر، سولفات، بی‌کربنات، سدیم، کلسیم و منیزیم و گاهی نیترات و پتانسیم با کاهش پتانسیل اسمزی، به گیاه آسیب می‌رسانند. ضمن اینکه حد تحمل گیاهان مختلف و حتی رقمهای مربوط به یک نوع گیاه خاص نسبت به یک یون بهخصوص نیز متفاوت است.

آب مورد استفاده گیاه، تحت تأثیر دو عامل پتانسیل ماتریک و اسمزی است. هرگاه میزان آب درون گیاه توسط تبخیر و تعرق کاهش یابد، پتانسیلهای ماتریک و اسمزی نیز کاهش یافته و منفی‌تر می‌شوند. یونهای موجود در محلول خاک نیز بر فشار اسمزی تأثیر می‌گذارد.

با استفاده از رابطه زیر میزان عملکرد نسبی محصول را برای هر میزان هدایت الکتریکی عصاره اشباع خاک (EC<sub>e</sub>) برآورد کرد:

$$Y = 100 - b (EC_e - a) \quad (1-2)$$

که در آن :

a = مقدار هدایت الکتریکی (شوری) اشباع خاک بر حسب دسی زیمنس بر متر، در آستانه کاهش میزان محصول،

b = درصد کاهش میزان عملکرد محصول به‌ازای افزایش هر واحد شوری افزون بر شوری آستانه،

Y = میزان نسبی عملکرد محصول بر حسب درصد (در مقایسه با عملکرد محصول، هنگامی که شوری خاک مطرح نباشد)، مقادیر a و b برای تعداد زیادی از گیاهان زراعی و باغی و ... در جداول مندرج در مراجع معتبر قابل دسترسی و استفاده است (۱ و ۲۰).

تأثیر شوری بر رشد و نمو گیاه، به شرایط آب و هوایی، ویژگیهای خاک، عملیات زراعی، اعمال مدیریت بر آبیاری، نوع محصول مورد نظر، نوع رقم، مرحله رشد و ترکیب نمکها و حتی نوع نمک خاص بستگی دارد. شوری آب و خاک زمانی بر

1 - Smectite

2 - Montmorillonite

عملکرد محصول تأثیر می‌گذارد که مقدار آن از شوری آستانه‌ای که در رابطه بالا با حرف a نشان داده شده است، فراتر رود. این مقدار در گیاهان متفاوت است. به هر حال، با مراجعه دوباره به رابطه ۱-۲ ملاحظه می‌شود که در بیشتر حالتها، میزان کاهش عملکرد محصول خطی است.

### ۳-۲-۳ ملاحظات ویژه در کشاورزی و آبیاری در شرایط شوری منابع خاک و آب

همان‌گونه که گفته شد، همه آبهای مورد استفاده در آبیاری، دارای مقادیر و انواع مختلف نمکهای محلول هستند که میزان و نوع این نمکها، به نوع منبع و زمان بهره‌برداری از آن بستگی دارد. با افزودن آب آبیاری به خاک، مقادیر قابل ملاحظه‌ای از آب استفاده شده، صرف رفع نیاز آبی گیاه و تبخیر از سطح خاک می‌شود که این امر، موجب تراکم و تغییض نمکها در خاک و همچنین موجب افزایش شوری در عصاره اشباع خاک می‌گردد. به طور اصولی و در صورت امکان، باید در آبیاری، از آبهای با کیفیت مناسب استفاده کرد. در غیراین صورت، مسئله به کارگیری و مصرف آبهای با کیفیت بینایینی<sup>۱</sup> و نامطلوب<sup>۲</sup> مطرح خواهد شد، که در این مورد، شرایط به کارگیری و مصرف این گونه آبهای در مقایسه با آبهای مناسب در امر آبیاری، نیاز به اعمال اقدامهای ویژه دارد.

---

1 - Marginal  
2 - Unsuitable

### ۱-۳ بیلان آب و نمک در خاک و ضرورت کنترل آن

زمینهای زیر کشت و آبیاری، به طور مستمر مقدار زیادی نمک محلول را از دو منبع عمده، یعنی آب آبیاری و خیز مویینگی ناشی از سطوح ایستابی کم عمق (با کیفیتهای گوناگون) دریافت می‌کنند. اگر نمکهای افزوده شده به نیمرخ خاک، به نحوی از محدوده توسعه ریشه گیاهان در نیمرخ خاک آبشویی، تخلیه و دفع نشود شور شدن زمینهای موردنظر را می‌توان انتظار داشت. منشأ دیگر افزایش نمک و تراکم آن در نیمرخ خاک و حتی در محدوده توسعه ریشه گیاهان، خیز مویینگی از طریق آبهای زیرزمینی کم عمق است. سطوح ایستابی و به طور عمده کم عمق در مناطق زیر کشت آبیاری از دو طریق فرایندهای هیدرولوژیکی منطقه و یا تلفات بیش از حد استحصال، توزیع و به کارگیری آب آبیاری در سطح زمین و مزارع به وجود آمده و یا گسترش می‌یابند. پدیده خیز مویینگی در خاکهای سنگین و میان بافت ممکن است گاهی تا سطح خاک نیز ادامه یابد و ضمن تبخیر آب، (رطوبت) نمکهای موجود را در سطح زمین و مزرعه بر جای گذارد.

هرگاه سطوح ایستابی کم عمق به طور پیوسته تعدیه شوند و تراکم نمک در آنها به حد زیان‌آور برای رشد و نمو در محیط رویش گیاهان نرسد، به شرط آنکه محدوده خیز آن به ناحیه توسعه ریشه گیاهان موردنظر نرسد، مشکلات کمی را در امور زراعی و عملکرد محصول به وجود می‌آورند. بنابراین در شرایطی که منبع تغذیه آبهای زیرزمینی منطقه از منشأ دیگر آن هم به طور پیوسته و گاهی با آبهای ورودی با کیفیت نامطلوب همراه باشد، فرایند شوری و به دنبال آن سدیمی شدن خاک می‌تواند قابل ملاحظه باشد، همچنین به دلیل تنوع منشأ تراوشاهی عمقی تغذیه‌کننده سطوح ایستابی مناطق آبیاری، تأثیر نامناسب و شدید آنها بر زمینهای زراعی آیش (حتی موقت) قابل توجه خواهد بود. گاهی ممکن است منشأ تغذیه آبهای زیرزمینی کم عمق در زمینهای مورد آبیاری، به دلیل وجود حالت تحت فشار (آرتزین) آبهای زیرزمینی موضعی و یا منطقه‌ای نیز باشد.

با توجه به موارد گفته شده، ضرورت دارد همواره مقداری آب، افزون بر نیاز آبی گیاه، از محدوده توسعه ریشه گیاهان به پایین نفوذ کند و موجب آبشویی نمکها را از ناحیه رشد ریشه گیاهان شود. هرچند ممکن است این‌گونه تراوشاهی عمقی در نهایت به آبخوانهای زیرزمینی تخلیه شوند. بنابراین در شرایطی که وضعیت زهکشی طبیعی (داخلی) خاک مناسب باشد، این تراوشها می‌توانند بدون افزایش قابل ملاحظه سطوح ایستابی، از منطقه خارج شوند. در بیشتر موارد، وضعیت زهکشی طبیعی (داخلی) خاکها برای این کار کافی نیست، در نتیجه ضرورت احداث و یا تعییه زهکشهای کمکی یا اصلی، توجیه‌پذیر می‌شود. در چنین شرایطی، اعمال زهکشی در زمینهای زیر کشت و آبیاری، باعث دستیابی به دو منظور مهم، اصلی و همزمان در برقراری بیلان آب و نمک در محدوده رشد و توسعه ریشه گیاهان خواهد شد.

### ۲-۳ چگونگی پویایی نمکها در نیمرخ خاکها

اگر نمکهای محلول در آب از راه استفاده از آبهای آبیاری با کیفیت نامطلوب و یا از راه خیزمویینگی (به دلیل وجود سطوح ایستابی کم عمق و شور) به خاک افزوده شوند، می‌توانند محیط رویش گیاهان را به گونه‌ای بسیار نامناسب تحت تأثیر قرار دهند. این شرایط در مناطق خشک و نیمه خشک، که بیشتر خاکهای آن بافت سنگین و شرایط طبیعی زهکشی (داخلی) نامناسبی

دارند، تسریع می‌شود. بنابراین باید نمکهای تراکم یافته تا عمق خاصی از نیمرخ خاک آبشویی شوند و با مدیریت مناسب در به کارگیری آب آبیاری، نمکهای محلول را آبشویی و خارج کرد.

به طور کلی، فرایند جایگزینی اختلاطپذیر<sup>۱</sup> فرایندی است که در آبشویی نمکهای غیرضروری و تراکم یافته از محدوده توسعه ریشه گیاهان، کاربرد دارد. این فرایند زمانی رخ می‌دهد که سیالی با سیال دیگر اختلاط یافته و جایگزین آن شود.

این تعریف بیانگر آن است که در بیشتر شرایط، آبشویی نمکهای محلول از نیمرخ خاک مربوط به عمل ساده جایگزینی آب حاصل از نفوذ عمقی با عصاره اشباع محلول خاک نیست، بلکه مربوط به اثر دو فرایند همزمان پخشیدگی<sup>۲</sup> و انتشار<sup>۳</sup> نمکهای محلول در نیمرخ خاک است. در نتیجه این فرایند، آبی که به طور عمقی در خاک نفوذ می‌کند با رطوبت موجود در نیمرخ خاک آمیخته شده و سپس با ادامه نفوذ، نمکهای محلول نیز همراه با آن به اعمق خاک انتقال می‌یابند. هرچه آب مورد نیاز برای آبشویی کامل نمک، کمتر باشد بازده آبشویی<sup>۴</sup> بیشتر خواهد بود. بازده آبشویی نمکهای محلول از نیمرخ خاک تابع عواملی مانند: میزان رطوبت خاک، مقدار آب آبشویی، اندازه و آرایش خلل و فرج خاک، روش آبشویی نمک و بالاخره پراکنش قائم و تراکم نمک در نیمرخ خاک است.

همان‌گونه که گفته شد، برای دستیابی به اهداف مدیریت مطلوب کاربرد آب؛ درک مفاهیم و عوامل مؤثر بر فرایندهای ذکر شده (پویایی نمک<sup>۵</sup> در خاک) اهمیت دارد. مدیریت کاربرد آب (آبیاری) باید از چنین اطلاعات و دستاوردهای علمی، به طور عملی بهره گیرد. تا افزون بر شوری‌زدایی و سدیم زدایی خاک، از شوری و یا سدیمی شدن دوباره خاک که موجب انباشت نمک در نیمرخ خاک می‌گردد و در نتیجه این کار از اثرهای نامطلوب بر خاک، گیاه و محیط زیست جلوگیری به عمل آید.

### ۱-۲-۳ مبانی پایه و نظری

پویایی نمکهای محلول در فاز مایع خاک (محلول آب خاک)، به طور متناوب با کاربرد یا افزودن آب به خاک به وجود می‌آید. در این‌باره، می‌توان خاکهایی را تصور کرد که سرعت جریان در آن زیاد است، در این خاکها، عامل اصلی اختلاط آب و نمک و پویایی آن، انتشار است و بر عکس در شرایطی که سرعت جریان در توده خاک بسیار کند باشد، عامل اختلاط و پویایی نمک در نیمرخ خاک، فرایند پخشیدگی است. بنابراین، در بیشتر حالتها اثر مشترک و همزمان عوامل انتشار و پخشیدگی در شرایط مزرعه، موجب پویایی نمک در خاک می‌شود. نظریه‌هایی که مبنی بر شرایط ماکروسکوپی<sup>۶</sup> است، برای بیان این‌گونه فرایندها بسیار سودمند است و در زیر به آنها اشاره شده است.

### ۲-۲-۳ حرکت نمکها در اثر پخشیدگی

پخشیدگی یا حرکت گرمایشی مربوط به حرکت نامنظم ذرات منفردی به اندازه ملکول در اثر انرژی حرارتی آنهاست. این پدیده موجب می‌شود تا ذرات ریز (نمک) در فاز مایع (آب خاک) از مکانی با تراکم بیشتر به سمت محلی با تراکم نسبی کمتر حرکت

1 - Miscible Displacement

2 - Diffusion

3 - Dispersion

4 - Leaching Coefficient

5 - Solute Movement

6 - Macroscopic

کنند. بیان ماکروسکوپی این حالت با استفاده از قانون اول فیک<sup>۱</sup> امکان‌پذیر است. فرایند پخشیدگی یا حرکت گرمایشی نمکهای محلول در محیط متخلخل را می‌توان با رابطه زیر ارائه کرد:

$$\frac{dQ}{dt} = -D \cdot A \cdot \frac{dC}{dx} \quad (1-3)$$

که در آن:

$$Q = \text{کل حجم مواد پخشندۀ در واحد حجم یا توده موردنظر } (L^3), \quad t = \text{زمان } (T),$$

$$A = \text{سطح مقطعی که برای فرایند پخشیدگی مهیا می‌باشد } (L^2),$$

$$C = \text{غلظت ماده در توده یا حجم، بر حسب حجم ماده در واحد حجم محلول } (L^3 / L^3) = x = \text{فاصله در جهت جریان } (L),$$

$$= \text{گرادیان غلظت نمک، و } \frac{dc}{dx}$$

$D$  = ضریب ثابت تناسب که ضریب پخشیدگی<sup>۲</sup> یا ضریب پخشیدگی مولکولی<sup>۳</sup> نامیده می‌شود ( $L^2/T$ ) و می‌توان مقدار آن را برای سامانه آب خالص در شرایط گرمایی همسان<sup>۴</sup> و برای یونهای مختلف، از جدول ۱، استخراج کرد.

چون خاک محیط متخلخل و غیریکنواختی بوده و شامل همتافت با بارهای الکتریکی متفاوت است، بنابراین ضریب پخشیدگی مؤثر یا  $D_p$  برای هر یون خاص کمتر از ضریب پخشیدگی معادل یا  $D$  در سامانه آب خالص است. رابطه دو ضریب بیان شده را می‌توان به صورت زیر ارائه کرد:

$$D_p = D_0 \cdot \theta \cdot \left( \frac{L}{L_e} \right)^2 \cdot a \cdot \gamma \quad (2-3)$$

که در آن :

$$\theta = \text{میزان رطوبت و عاملی برای کاهش سطح } (A) \text{ است. بر حسب درصد حجمی،}$$

$$L = \text{طول مسیر یا عبور ماکروسکوپی پخشیدگی با مقیاس میانگین } (L),$$

$L_e$  = طول مسیر یا مسیر واقعی در توده خاک (بهدلیل اعوجاج حاصل در اثر آرایش ذرات خاک) که هر ذره، آن طول را می‌پیماید ( $L$ ).

ضریبی برای کاهش میزان لزوجت یا گرانروی آب، بهدلیل وجود ذرات باردار در خاک (بدون بعد)، و  $a$

ضریبی برای لحاظ نمودن اثر عامل بازدارنده دفع آنیونی<sup>۵</sup> که در اثر عبور جریان از کنار ذرات خاک با بار منفی (ذرات رس و مواد آلی) وجود دارد.  $\gamma$

1 - Fick Law

2 - Diffusion Coefficient

3 - Molecular Diffusion Coefficient

4 - Isothermal

5 - Anion Exclusion

با توجه به مطلب بیان شده، می‌توان نتیجه گرفت که  $L_e$  طولانی‌تر از  $L$  است. بنابراین باید گزینه یا توالی مکانی جهت جریان (به موازات جهت حرکت) یعنی  $dx$  در نسبت طول معابر یا مسیرها  $L_e/L$  ضرب شود تا اثر اعوجاج ذرات را شامل گردد. بهدلیل اینکه بعد واقعی جریان با جهت ماکروسکوپی آن زاویه‌ای تشکیل می‌دهد، در نتیجه اندازه‌گیری مقدار  $(L_e)$  به‌طور عملی بسیار دشوار است و به همین دلیل نسبت ذکر شده به صورت مربع (توان دوم) به کار گرفته می‌شود. از آنجاکه همه ضرایب بیان شده یعنی  $(L_e/L), \theta, a$  و  $\gamma$  کوچک‌تر از واحد هستند، مقدار ضریب پخشیدگی مؤثر  $(D_p)$  همواره از ضریب پخشیدگی معادل  $(D_0)$ ، کوچک‌تر است.

کاهش رطوبت در خاکهای غیرآشباع، موجب کاهش سطح موجود برای فرایند پخشیدگی و طولانی‌ترشدن نسبی مسیر حرکت جریان و در نتیجه افزایش میزان اثر جذب منفی و افزایش گرانروی خواهد شد. بنابراین می‌توان  $D_p$  را بر حسب  $\theta$  و  $D_0$  بیان کرد. نکته قابل توجه دیگر این است که پخشیدگی نمک در یک سامانه آب - رس عملاً مستقل از غلظت نمک  $(C)$  و فقط تابع میزان آب خاک است. مطالعات دیگری برای بیان رابطه بین  $D_p$  و رطوبت حجمی خاک  $(\theta)$  انجام شده که نتیجه آن ارائه رابطه نهایی زیر است.

$$D_p(\theta) = D_0 \cdot a \cdot e^{b \cdot \theta} \quad (3-3)$$

این رابطه بیانگر آن است که ضریب پخشیدگی نمک<sup>۱</sup> تابع نمایی مثبتی از میزان آب خاک  $(\theta)$  است. در رابطه اخیر عوامل  $a$  و  $b$  دو ثابت تجربی به‌شمار می‌روند.

- بررسی نتایج تحقیقات انجام شده نشان می‌دهد که مقدار  $b=10$  و مقدار  $a$  برای خاکهای لومی شنی  $0.005$  و برای خاکهای رسی  $0.001$  است این مقدار با توجه به سطح ویژه ذرات خاک، تغییر می‌کند. رابطه اخیر در شرایطی نتایج مطلوبی دارد که  $[D_p(\theta)]$  در محدوده مکش آبی  $0/3$  تا  $15$  بار قرار داشته باشد. این حدود در واقع محدوده‌ای است که در آن پدیده پخشیدگی اهمیت دارد.
- به‌حال، هرگاه طرفین رابطه ۳-۱ بر  $A$  تقسیم شود، رابطه زیر به‌دست می‌آید.

$$\frac{dQ}{A \cdot dt} = - D \cdot \frac{dC}{dx} \quad (4-3)$$

از سوی دیگر با در نظر گرفتن رطوبت خاک و اثر آن در میزان آب درون خاک، رابطه ۳-۲ را می‌توان به صورت زیر ارائه کرد:

$$D_p(\theta) = D_0 \cdot \theta \cdot \left( \frac{L}{L_e} \right)^2 \cdot a \cdot \gamma \quad (5-3)$$

با جایگزینی این رابطه در رابطه ۴-۳ قانون اول تعدل شده فیک<sup>۱</sup> به دست می آید.

$$J_d = \frac{dQ}{A \cdot dt} = - D_o \cdot \theta \cdot \left( \frac{L}{L_e} \right)^2 \cdot a \cdot \gamma \cdot \frac{dC}{dx} \quad (6-3)$$

که شکل ساده شده آن به صورت زیر است :

$$J_d = - D_p(\theta) \frac{dC}{dx} \quad (7-3)$$

که در آن :

$C$  = غلظت نمک در محلول خاک بر حسب میلی اکی و الان بر لیتر یا دسی زیمنس بر متر است، دیگر عوامل قبل<sup>۲</sup> تعریف شده اند.

### ۳-۳-۳ حرکت نمک در اثر انتشار

انتشار جریان گرانبو<sup>۳</sup> یا جریان توده ای<sup>۴</sup> نمکهای محلول (به صورت یون در فاز محلول آب خاک) مرتبط با انتقال یونها به وسیله جریان آب است. به همین دلیل حمل نمکهای محلول می تواند در اثر پدیده انتشار یا کنوکسیون مبتنی بر سرعت جریان در محیط متخلخل باشد.

در خاکهای طبیعی با خلل و فرج ریز و درشت، سرعت جریان در خلل و فرج درشت تر به طور نسبی بیشتر از سرعت جریان در خلل و فرج ریز است. همچنین سرعت جریان در وسط مسیر بیشتر از کناره ذرات خاک است. این پدیده موجب انتشار نمک در محلول خاک می شود. از سوی دیگر، دو عامل سرعت میانگین جریان و انتشار مکانیکی<sup>۵</sup> (انتشار- پخشیدگی) یا انتشار هیدرودینامیکی<sup>۶</sup> (فرابند انتشار و پدیده جایگزینی اختلاط پذیر) موجب ایجاد تغییرات موضعی در سرعت جریان می شود. بدین ترتیب شبکه ای از تحرک ذرات نمک از محلهایی با غلظت بیشتر به سمت مناطقی با غلظت کمتر ایجاد می شود. که در نتیجه آن می توان اثر انتشار مکانیکی را همانند پخشیدگی فرض کرد. با در نظر داشتن این نظریه، می توان رابطه ای را شبیه رابطه ۱-۳ برای انتقال - انتشار نمک در توده خاک در شرایط ماکروسکوپی ارائه کرد.

برخی پژوهش‌های آزمایشگاهی و نظری، امکان جایگزینی ضریب پخشیدگی مکانیکی ( $D_h$ ) را به جای ضریب پخشیدگی مؤثر ( $D_p$ ) فراهم آورده است. بررسیهای دیگر نشان داده است که مقدار ضریب انتشار مکانیکی در یک محیط متخلخل و

1 - Fick's Modified First Law

2 - Viscous Flow

3 - Mass Flow

4 - Mechanical Dispersion

5 - Hydrodynamic Dispersion

مشخص، تابعی از سرعت میانگین جریان است. تحقیقهای دیگری نیز بیانگر این است که می‌توان ضریب انتشار مکانیکی را در شرایط جریان اشباع و پایدار به شرح زیر ارائه کرد:

$$D_h(\bar{V}) = D_m \cdot \bar{V} \quad (8-3)$$

که در آن :

$$\bar{V} = \text{میانگین سرعت منفذی جریان } (L \cdot T^{-1})$$

$D_m$  = ضریب ثابت تجربی که به ویژگیهای فیزیکی محیط متخلخل بستگی دارد و مقدار آن  $\frac{1}{3}$  تا  $\frac{1}{5}$  است. همان‌گونه که از رابطه ۸-۳ می‌توان پی برد مقدار ضریب پخشیدگی مکانیکی ( $D_h$ ) با توان اول میانگین سرعت جریان، متناسب است.

و در پایان، می‌توان کل نمکی را که بهوسیله فرایند انتشار - پخشیدگی (پدیده انتشار - پخشیدگی) از سطح ماکروسکوپی تشکیل می‌شود و وارد محیط متخلخل می‌شود ( $J_h$ )، به شرح زیر نوشت:

$$J_h = -D_h(\bar{V}) \frac{dC}{dx} + \bar{V} \cdot \theta \cdot C \quad (9-3)$$

در این رابطه؛  $-D_h(\bar{V}) \frac{dC}{dx}$  ، بیانگر انتقال نمک بهوسیله فرایند انتشار، و  $\bar{V} \cdot \theta \cdot C$  ، بیانگر حرکت نمک بهوسیله میانگین سرعت جریان است.

#### ۴-۲-۳ حرکت نمک در اثر فرایندهای انتشار - پخشیدگی

تأثیر همزمان و مشترک فرایندهای انتشار - پخشیدگی (پخشیدگی - انتشار) را می‌توان برای بیان حرکت نمک در خاک، از ترکیب رابطه‌های ۹-۳ و ۷-۳ بدست آورد.

$$J_s = J_d + J_h \quad (10-3)$$

$$J_s = -[D_h(\bar{V}) + D_p(\theta)] \frac{dC}{dx} + \bar{V} \cdot \theta \cdot C$$

با جایگزینی این دو عبارت :

$$-D(\bar{V}, \theta) = -[D_h(\bar{V}) + D_p(\theta)]$$

$$q = \bar{V} \cdot \theta$$

رابطه ۱۰-۳ به صورت ساده شده زیر در می‌آید:

$$J_s = -D(\bar{V}, \theta) \frac{dC}{dx} + q \cdot C \quad (11-3)$$

در رابطه بالا :

$q$  = شدت جریان (شار<sup>۱</sup>) حجمی آب در محلول بر حسب ( $L \cdot T^{-1}$ ).

$D$  = ضریب پخشیدگی هیدرودینامیکی که ضریب همزمان پخشیدگی- انتشار است بر حسب ( $L^2 \cdot T^{-1}$ ).

نظر به اینکه مقادیر ( $D$ ) ، ( $\bar{V}$ ) و ( $\theta$ ) ماکروسکوپی هستند، بنابراین، عبارت سمت راست رابطه‌های ۱۰-۳ و ۱۱-۳ مقادیر تقریبی بوده و مقدار ( $C$ ) میانگین مکانی (فضایی) است.

از آنجاکه تغییرات میزان رطوبت خاک تأثیر فرایندهای مانند: نفوذ، تبخیر، تعرق و توزیع مجدد رطوبت است، این امر به طور متناوب موجب تغییر در میزان نمک، در فاز مایع خاک می‌شود.

تذکر این نکته نیز لازم است که، جریان پایدار و همگام به ندرت در طبیعت اتفاق می‌افتد. بنابراین همان‌گونه که در رابطه‌های ۱۰-۳ و ۱۱-۳ نیز مشاهده می‌شود باید در شرایط عمومی و زودگذر این رابطه‌ها با رابطه پیوستگی جریان<sup>۲</sup> و یا رابطه اصل بقای جرم<sup>۳</sup> (که بیان می‌دارد میزان تغییرات نمک در توده مشخصی از خاک باید با تغییرات میزان نمک ورودی و خروجی برابر باشد) ترکیب شوند. با فرض ( $\frac{\partial q'}{\partial t}$ ) به عنوان میزان تغییرات نمک در یک جزء و برقراری تساوی زیر :

$$\text{(میزان نمک محلول در جریان خروجی)} - \text{(میزان نمک محلول در جریان ورودی)} = \frac{\partial q'}{\partial t}$$

و برای حالت جریان یک بعدی و عمودی، بیان ریاضی حالت زودگذر و عمومی پخشیدگی- انتشار فرایند انتقال نمک در خاک را می‌توان به صورت زیر ارائه کرد:

$$\frac{\partial q'}{\partial t} = \frac{\partial(C\theta)}{\partial t} = \frac{\partial}{\partial z} \left\{ [D_h(\bar{V}) + D_p(\theta)] \frac{dC}{dz} \right\} - \frac{\partial(\bar{V}\theta \cdot C)}{\partial z} \quad (12-3)$$

نکته : در رابطه‌های قبلی تغییر عبارت  $dx$  به  $dz$  در رابطه بالا، به دلیل تأکید بر یک بعدی و قائم بودن جریان است. رابطه ۱۲-۳ در شرایطی کاربرد دارد که پدیده‌های جذب کاتیونی<sup>۴</sup>، دفع آنیونی<sup>۵</sup> و ترسیب نمک<sup>۶</sup> مدنظر نباشد. همچنین با یادآوری اینکه  $\bar{V}\theta = q$  می‌تواند باشد، رابطه بالا را می‌توان به صورت زیر نشان داد.

$$\frac{\partial q'}{\partial t} = \frac{\partial(C\theta)}{\partial t} = \frac{\partial}{\partial z} \left\{ [D_h(\bar{V}) + D_p(\theta)] \frac{dC}{dz} \right\} - \frac{\partial(q \cdot C)}{\partial z} \quad (13-3)$$

1 - Flux

2 - Equation of Flow Continuity

3 - Equation of Mass Conservation

4 - Cation Adsorption

5 - Anion Exclusion

6 - Salt Precipitation

### ۳-۲-۵ بیان ریاضی پخشیدگی - انتشار

#### ۳-۲-۱ مفاهیم عمومی

با توجه به مطالب گفته شده می‌توان استنبط کرد که رابطه‌های ۱۲-۳ و ۱۳-۳ اشکال ریاضی شرایط زودگذر پخشیدگی - انتشار نمک در خاک می‌باشند. این رابطه‌ها را می‌توان برای مشکلات شوری در شرایط آیش زمینهای زراعی، همچنین در شرایطی که میزان غلظت  $C$  به عنوان مجموع نمک محلول در فاز مایع خاک باشد و یا برای غلظت یون خاصی در آب خاک با اعمال فرض ساده‌شده‌ای (در مورد اثر متقابل شیمیایی نمک<sup>۱</sup>) مانند آنچه که قبلاً بیان گردید، به کار برد. برای حالت پایدار (همگام) و یک بعدی جریان آب و نمک، با این فرض که دو عامل  $(\bar{V})$  و  $(\theta)$  بدون تغییر (ثابت) هستند، رابطه ۱۲-۳ را می‌توان به صورت زیر ارائه کرد:

$$\theta \frac{\partial C}{\partial t} = \frac{\partial}{\partial z} [D_h + D_p] \left( \frac{\partial C}{\partial z} \right) - \bar{V} \cdot \theta \frac{\partial C}{\partial z} \quad (14-3)$$

با تقسیم دو طرف این رابطه بر  $\theta$  و تنظیم آن، رابطه زیر به دست می‌آید:

$$\frac{\partial C}{\partial t} = \frac{(D_h + D_p)}{\theta} \cdot \frac{\partial^2 C}{\partial z^2} - \bar{V} \frac{\partial C}{\partial z} \quad (15-3)$$

با استفاده از تساوی:

رابطه ۱۵-۳ به شکل ساده زیر در می‌آید:

$$\frac{\partial C}{\partial t} = D' \frac{\partial^2 C}{\partial z^2} - \bar{V} \frac{\partial C}{\partial z} \quad (16-3)$$

که در آن:

$D'$  ضریب پخشیدگی و یا به عبارت دیگر ضریب ترکیبی پخشیدگی - انتشار است، این ضریب نه تنها بیان کننده پخشیدگی مولکولی است بلکه انتشار نمک در خاک را نیز در بر می‌گیرد. تجربه بعضی از پژوهشگران موید آن است که می‌توان مقدار این ضریب ( $D'$ ) را از برازش رقمهای تجربی در منحنی رخنه<sup>۲</sup> یا (BTC) در شرایط حل تحلیلی (و نه حل عددی) رابطه ۱۶-۳ به دست آورد.

---

1 - Chemical Interactions  
2 - Breakthrough Curve (BTC)

### ۳-۵-۲ منحنی رخنه

به دلیل اینکه مقدار ضریب  $D'$  از منحنی رخنه به دست می‌آید، لازم است توضیح مختصری درباره آن بیان شود، افزون بر راهکارها و کاربردهای نسبتاً قدیمی، منحنی  $S$  شکل رخنه به صورتهای زیر تعریف شده است:

الف) منحنی رخنه، نمودار رابطه بین نسبتهای  $(C/C_0)$  در مقابل مقادیر آب منفذی  $(P)$  خروجی یا زه‌آب است. به گونه‌ای که هرگاه نسبت  $(C/C_0)$  بر روی محور قائم  $(Y)$  و مقادیر آب منفذی  $P$  برروی محور افقی  $(X)$  در مختصات دو بعدی با جفتهای متناظر رسم شود نمودار به دست آمده را منحنی رخنه می‌نامند.

ب) منحنی رخنه، نمودار رابطه بین توزیع نسبی یک عنصر ردیاب، در مقابل زمان و یا حجم زه‌آب خروجی است، به گونه‌ای که هرگاه پراکنش (توزیع) نسبی عنصر ردیاب را برروی محور قائم  $(Y)$  و زمان یا حجم آب خروجی (zechab) را برروی محور افقی  $(X)$  در مختصات دو بعدی با جفتهای متناظر رسم کنند، نمودار به دست آمده را منحنی رخنه می‌نامند.

به طور کلی منحنیهای رخنه دو شکل عمومی دارند. بر حسب اینکه در مایع یا سیال جایگزین‌شونده غلظت نمکها بیشتر و یا کمتر از محلول اولیه (آب خاک) جایگزین شده باشد (برای مثال هرگاه خاک غیرشوری، با آب حاوی مقدار زیادی کلرید سدیم آبیاری شود) منحنی رخنه به دست آمده به سمت چپ تغییر وضعیت می‌دهد و در حالی که اگر خاک شوری با آب آبیاری با کیفیت مناسب آبشویی شود، منحنی رخنه به سمت راست تغییر وضعیت می‌دهد. در تعاریف بیان شده عوامل دارای معانی زیر هستند:  $C =$  غلظت نمک در آب خروجی (zechab)،

$C_0 =$  غلظت اولیه نمک در مایع یا سیال جایگزین‌شونده؛ حجم منفذی  $(PV)$ ، حجمی از محیط متخلخل است که به وسیله آب یا سیال اشغال می‌شود، مقدار آب منفذی  $(P)$  از رابطه زیر به دست می‌آید:

$$P = \frac{Q \cdot T}{V_0} \quad (17-3)$$

در این رابطه عوامل دارای معانی زیر هستند :

$P =$  تعداد دفعاتی که حجم منفذی<sup>1</sup> به وسیله آب اشغال می‌شود، بدون بعد،

$Q =$  کمیت جریان در واحد زمان  $(L^3 \cdot T^{-1})$

$T =$  زمان، از موقی که سیال جایگزین‌شونده وارد محیط متخلخل می‌شود  $(T)$ ، و

$V_0 =$  حجمی از محیط متخلخل است که توسط سیال اشغال می‌شود  $(L^3)$ .

حجم منفذی  $(PV)$  که از حاصل ضرب حجم نمونه خاک در تخلخل آن به دست می‌آید و به صورت  $PV = \int_0^L \theta^* z dz$  ارائه می‌شود که در آن،  $\theta^*$  میانگین رطوبت حجمی خاک  $(L^3/L^3)$ ،  $z$  عمق خاک  $(L)$  و  $dz$  طول ستون خاک  $(L)$  است.

تجربه نشان داده است که هرگاه یک محیط متخلخل دارای خلل و فرج پیوسته باشد، سرعت سریع جریان و انتشار طولی<sup>2</sup> ممکن است تنها عامل اختلاط سیال جایگزین‌شونده و جایگزین شده باشد. بنابراین هرگاه تنها فرایند انتشار، مورد نظر باشد، رقمهای حاصل از آزمایشها به خوبی قابل برآشش هستند. در حالت سرعت آهسته جریان در محیط متخلخل، ممکن است

1 - Pore Volume

2 - Longitudinal Dispersoin

پخشیدگی مولکولی، تنها عامل فرایند اختلاط باشد که با رقمهای حاصل از آزمایشها، قابل برآش است. موارد محاسبه ضرایب موردنظر در مباحث زیر بیان شده است.

### ۳-۵-۲-۳ حل رابطه برای شرایط انتشار

با استفاده از رابطه پیوستگی جریان و یا اصل بقای جرم، رابطه نهایی انتشار نمکهای محلول و یا آلائینده در محیط متخلخل را می‌توان به صورت زیر نوشت:

$$\frac{\partial C}{\partial t} = D \frac{\partial^2 C}{\partial z^2} \quad (18-3)$$

با برقرار کردن شرایط مرزی<sup>۱</sup> (BC) و شرایط اولیه<sup>۲</sup> (IC) به شرح زیر:

$$C = C_0 \quad z = 0 \quad t > 0 \quad (19-3)$$

$$C = 0 \quad 0 \leq z \leq L \quad t = 0 \quad (20-3)$$

حل ریاضی رابطه ۱۸-۳ با توجه به شرایط مرزی و اولیه ارائه شده در رابطه های ۱۹-۳ و ۲۰-۳ منجر به رابطه زیر می شود:

$$\frac{C}{C_0} = \frac{1}{2} \left\{ 1 - \operatorname{erf} \left[ \frac{(1-P)}{\sqrt{4D.P/V \cdot L}} \right] \right\} \quad (21-3)$$

در این رابطه عبارت  $\operatorname{erf}$  بیانگر تابع خطایی<sup>۳</sup> است و با توجه به تعریف متمم تابع خطایی<sup>۴</sup> یا  $\operatorname{erfc}$  که به شرح  $\operatorname{erfc} = 1 - \operatorname{erf}$  است، رابطه بالا را می‌توان به شکل زیر نوشت:

$$\frac{C}{C_0} = \frac{1}{2} \operatorname{erfc} \left\{ \frac{(1-P)}{2(D.P/V.L)^{0/5}} \right\} \quad (22-3)$$

در این رابطه :

$P$  = تعداد حجمهای منفذی (دفعاتی که منافذ به وسیله آب یا سیال اشغال می‌شوند)، بدون بعد،

1 - Boundary Conditions (B.C)

2 - Initial Conditions (I.C)

3 - Error Function

4 - Error Function Complement

$V =$  میانگین سرعت جریان (از نوع جریان دارسی)، بر حسب  $(L \cdot T^{-1})$ ، و

$L =$  طول محیط متخلخل مورد آزمون،  $(L)$ .

شیب منحنی  $(S)$  مربوط را می‌توان در نقطه  $1 = P$  به شرح زیر نوشت.

$$S = \frac{d(C/C_0)}{d.P} \Big|_{P=1} = \frac{1}{2(\pi \cdot D / V \cdot L)^{0/5}} \quad (23-3)$$

از طریق این رابطه می‌توان ضریب انتشار  $D$  را به صورت زیر محاسبه کرد:

$$D = \frac{V \cdot L}{(4\pi \cdot S^2)} \quad (24-3)$$

در آبشویی نمکهای محلول از نیمرخ خاکهای شور با روش غرقاب دائم، هرگاه حجم محلول خاک با آب آبشویی جایگزین شود  $(P = 1)$ ، نسبت  $C/C_0 = 0/5$  خواهد شد و هرگاه حجم محلول خاک با آب کاربردی دوبار جایگزین شود  $(P = 2)$  و مقدار نسبت به  $C/C_0 = 0/2$  کاهش می‌یابد، در نتیجه ملاحظه می‌شود که هرگاه دو میزان آب منفذی در محلول خاک، جایگزین شود، ۲۰٪ مقدار نمک اولیه موجود در محلول خاک باقی خواهد ماند. با فرض اینکه در بعضی از انواع خاکها حجم خلل و فرج نصف حجم کل خاک در عمق مشخصی است، می‌توان نتیجه گرفت که در  $P = 2$  که دوبار در خلل و فرج خاک آب کاربردی جایگزین شود این رقم تقریباً معادل ضخامت لایه خاک ( $D_z$ ) است. شایان ذکر است که موارد بیان شده در حالت بسیار مطلوب و عدم وجود مشکل خاص، به دست آمده است.

#### ۳-۵-۳ حل رابطه برای شرایط پخشیدگی و انتقال توده‌ای

با در نظر گرفتن شرایط مرزی و اولیه ارائه شده در رابطه‌های ۱۹-۳ و ۲۰-۳ و استفاده از آنها برای حل رابطه ۱۶-۳، راهکار تحلیلی رابطه مورد نظر را می‌توان به شکل زیر نوشت:

$$\frac{C}{C_0} = \frac{1}{2} \operatorname{erfc} \left\{ \frac{1-P}{\sqrt{4D.P/V.L}} \right\} + \frac{1}{2} \exp(V.L/D') \operatorname{erfc} \left\{ \frac{1+P}{\sqrt{4D.P/V.L}} \right\} \quad (25-3)$$

رابطه بالا را می‌توان به صورت زیر بیان کرد:

$$\frac{C}{C_0} = \frac{1}{2} \left\{ \operatorname{erfc} \left[ \frac{1-P}{2(D.P/V.L)^{0/5}} \right] + e^{(V.L/D')} \operatorname{erfc} \left[ \frac{1+P}{2(D.P/V.L)^{0/5}} \right] \right\} \quad (26-3)$$

شیب منحنی (S) مربوط را می‌توان در نقطه  $P = 1$  به صورت زیر محاسبه کرد:

$$S = \frac{d(C/C_0)}{dP} \Big|_{P=1} = \frac{1}{2(\pi D'/V.L)^{0/5}} \quad (27-3)$$

و با استفاده از رابطه ۲۷-۳ می‌توان ضریب انتشار هیدرودینامیکی یا  $D'$  را به شرح زیر محاسبه کرد.

$$D' = \frac{V.L}{(4\pi S^2)} \quad (28-3)$$

در رابطه‌های ذکر شده عوامل، دارای معانی قبلی هستند.

در هر دو حالت بیان شده در (مباحث ۲-۳ و ۳-۵-۲-۳) هرگاه مقادیر  $D$  و یا  $D'$  با معلوماتی مانند  $V$  و  $L$  مشخص شوند، می‌توان رابطه نسبتها  $C/C_0$  در مقابل مقادیر  $P$  متضایر را رسم کرد که حاصل آن منحنی نظری رخنه<sup>۱</sup> خواهد بود. هرگاه رقمهای تجربی در دسترس باشد، می‌توان به ترتیب نسبت به محاسبه مقادیر  $D$  و یا  $D'$  اقدام کرد. به عنوان یک نتیجه کلی می‌توان اظهار داشت که ضریب انتشار ( $D$ ) و یا ضریب پخشیدگی ( $D'$ ) به طور مستقیم به میانگین سرعت جریان<sup>۲</sup> سیال وابسته هستند.

تذکر: نتایج به دست آمده از تجزیه ابعادی این رابطه‌ها نشان می‌دهد که بُعد ضرایب بر حسب سانتی‌مترمربع بر ساعت و یا مترمربع بر روز است. که با توجه به ابعاد به کاررفته برای بیان دیگر متغیرها بر حسب مورد می‌توان از هر بُعدی استفاده کرد.

### ۳-۶ راهکارهای ریاضی و کاربردی

بعضی از پژوهشگران، در ارتباط با مسائل شوری خاک و لزوم پایش و تنظیم آن در نیمرخ خاک و در شرایط مزرعه‌ای، علاقه‌مند به بررسی چگونگی تغییرات غلظت یون ویژه‌ای در محلول خاک هستند. به دلیل اینکه توده خاک، محیط متخلف و پیچیده‌ای است، براساس بررسیهای انجام شده، مشاهده می‌شود که در شرایط واقعی، ممکن است یونهای موجود در خاک، از نظر شیمیایی با اجزای سازنده خاک (رسها) واکنش دهند. که چنین پدیده‌ای به طور عمده شامل جذب سطحی کاتیونها به وسیله ذرات رس و گاه نیز پدیده دفع آنیونی است. به طور کلی هرگاه فازهای تبادلی و یا محلول خاک به سرعت به تعادل شیمیایی برسند (در آینده این امکان فراهم می‌شود) که بتوان فرض کرد تأثیر متقابل بیان شده، فقط مرتبط با غلظت محلول خاک است، می‌توان از اثرهای جذب سطحی و دفع آنیونی<sup>۳</sup> چشمپوشی کرد. با استفاده از قانون اصل بقای جرم و به کارگیری آن برای جزو کوچکی از خاک، رابطه زیر به دست می‌آید.

$$\frac{\partial[(C.\theta) + Q'(C)]}{\partial t} = \frac{\partial}{\partial z}[D(\theta, \bar{V}) \frac{\partial C}{\partial z}] - \frac{\partial(\bar{V}.\theta.C)}{\partial z} \quad (29-3)$$

1 - Theoretical BTC

2 - Average Flow Velocity

3 - Adsorption and Anion Exclusion

هرگاه  $q = \bar{V} \cdot \theta$  در نظر گرفته شود رابطه ۳-۲۹ به صورت ساده‌تر زیر در می‌آید.

$$\frac{\partial[(C\theta) + Q'(C)]}{\partial t} = \frac{\partial}{\partial z}[D(\theta, \bar{V}) \frac{\partial C}{\partial z}] - \frac{\partial(q \cdot C)}{\partial z} \quad (30-3)$$

در رابطه‌های بالا عوامل به کار رفته دارای معانی زیر است :

$Q'$  = میزان دفع یا جذب یونها در واحد حجم خاک،

$(C\theta)$  = میزان نمک موجود در محلول خاک،

$q$  = شدت جریان (شار) حجمی آب،

$D$  = ضریب انتشار هیدرودینامیکی، و

بعاد این عوامل قبلًا ذکر شده است.

با به کار گیری قانون زنجیره<sup>۱</sup> برای مقادیر جذب و یا دفع شده یونها در واحد زمان، می‌توان نتیجه گرفت:

$$\frac{dQ'(C)}{dt} = \left( \frac{dQ'}{dC} \right) \cdot \left( \frac{dC}{dt} \right) \quad (31-3)$$

با استفاده از رابطه ۳-۳۱ و بسط عبارت سمت چپ رابطه ۳-۳۰، رابطه زیر به دست می‌آید:

$$\theta \frac{\partial C}{\partial t} + C \frac{\partial \theta}{\partial t} + \frac{\partial Q'}{\partial C} \cdot \frac{\partial C}{\partial t} = \frac{\partial}{\partial z}[D(\theta, \bar{V}) \frac{\partial C}{\partial t}] - \frac{\partial(q \cdot C)}{\partial z} \quad (32-3)$$

با تنظیم رابطه بالا، نتیجه به شرح زیر خلاصه می‌شود.

$$\frac{\partial C}{\partial t} \left( \theta + \frac{\partial Q'}{\partial C} \right) + C \frac{\partial \theta}{\partial t} = \frac{\partial}{\partial z}[D(\theta, \bar{V}) \frac{\partial C}{\partial t}] - \frac{\partial(q \cdot C)}{\partial z} \quad (33-3)$$

با بسط عبارت سمت راست رابطه ۳-۳۳ می‌توان آن را به شرح زیر نوشت :

$$[\theta(z, t) + b(C)] \frac{\partial C}{\partial t} = \frac{\partial}{\partial z}[D(\theta, \bar{V}) \frac{\partial C}{\partial z}] - q \frac{\partial C}{\partial z} - C \frac{\partial q}{\partial z} - C \frac{\partial \theta}{\partial t} \quad (34-3)$$

با یادآوری دوباره این مطلب که:

$$\frac{\partial \theta}{\partial t} = -\frac{\partial q}{\partial z} \quad (35-3)$$

می‌توان شکل نهایی حل ریاضی رابطه ۱۳-۳ را از رابطه ۳۵-۳ به دست آورد:

$$[\theta(z,t) + b(C)] \frac{\partial C}{\partial t} = \frac{\partial}{\partial z} [D(\theta, \bar{V}) \frac{\partial C}{\partial z}] - q(z,t) \frac{\partial C}{\partial z} \quad (36-3)$$

که در آن تساوی،  $[b(C)=dQ'/(C/dC)]$  شبیه حرارتی همسان جذب و یا دفع یونها<sup>۱</sup> است.

بیان این نکته لازم است که تابع  $(C/b)$  به صورت میزان آب حجمی است و این عبارت در حالتهای جذب کاتیونی و یا دفع آనیونی می‌تواند به ترتیب کمیت مثبت و یا منفی داشته باشد همچنین شایان ذکر است که رابطه‌های ۱۳-۳ و ۳۴-۳ از نظر ریاضی (به جز در مورد عبارت  $[C/b]$  در رابطه ۳۴-۳) یکسان بوده و تابع ذکر شده برای محاسبه مقادیر جذب و دفع یونها از واحد حجم، جزء خاک منظور شده است.

### ۷-۲-۳ پدیده تأخیری یا بازدارنده

به طور کلی می‌توان نمکهای موجود در نیمرخ خاک و یا سازندهای آبخوانی را به دو دسته بی‌اثر یا غیرفعال<sup>۲</sup> و واکنش‌گر<sup>۳</sup> تقسیم کرد. نمکهای غیرفعال در توده خاک و یا در آبهای زیرزمینی، واکنشی نشان نمی‌دهند و همچنین تحت تأثیر فشار زیست‌شناختی و یا شرایط رادیواکتیو در آنها تغییر حالتی (فیزیکی و شیمیایی) به وجود نمی‌آید. یکی از مناسب‌ترین نمونه‌های قابل ذکر، یون کلر است. نمکها یا عناصر واکنش‌گر می‌توانند تحت تأثیر روش‌های شیمیایی، زیست‌شناختی و یا رادیواکتیو قرار گیرند که در نتیجه این امر، از غلظت آنها کاسته می‌شود. واکنشهای شیمیایی شامل جذب و دفع، تعویض یا تبادل کاتیونی، رسوب و انحلال پذیری دوباره و بالاخره واکنشهای "اکسایش و احیاء" است. بسیاری از ترکیب‌های سمی شیمیایی می‌توانند از راه تجزیه زیست‌شناختی به مواد و یا ترکیب‌های ساده‌تری تبدیل شوند، و مشتقات نهایی حاصل ممکن است سرطان‌زا باشند. برای بیشتر مواد زائد و خطرناک فرایند جذب-دفع و واکنشهای تبادلی بین نمکها و بخش جامد توده خاک با اهمیت است. بسیاری از عناصر سنگین به سرعت روی سطح ذرات جامد محیط متخلخل جذب می‌شوند و سپس ذرات رس از طریق فرایند تبادل یونی از آنها نگهداری می‌کنند. مقدار جذب و دفع یا تبادل یونی بین یک نمک خاص و نوعی خاک مشخص را می‌توان به روش آزمایشگاهی به دست آورد.

1 - Exclusion or Adsorption Isotherm

2 - Conservative

3 - Reactive

در تحقیقات آزمایشگاهی فرایند جذب، باید مقدار مشخصی خاک را که دارای مقدار معینی نمک محلول است، انتخاب کرد و در نخستین اقدام، مقداری محلول با غلظتهاهای یونی متفاوت را تهیه کرد. مقدار مشخصی از محلول تهیه شده و با غلظتهاهای متفاوت قبلی، به نمونه های خاک از پیش وزن شده افزوده می شود. در مرحله بعد مقدار متفاوتی مواد خشک جاذب با مقداری از همان محلول تهیه شده مخلوط می شود، که هر کدام از این محلولهای مصرفی، غلظت مخصوص به خود را دارند. پس از اطمینان از برقراری غلظت تعادلی بین خاک و محلول، غلظت تعادلی هر نمونه تعیین می شود. مقدار نمک جذب شده به وسیله نمونه خاک، تناسب مستقیمی با فعالیت شیمیایی نمک دارد. مقدار جذب شده به وسیله نمونه خاک را می توان از اختلاف جرم نمکهای پیش از آزمایش و در محلول تعادلی، محاسبه کرد. با آزمایش نمونه ها، می توان مقدار نمک جذب شده در وزن واحد نمونه خاک ( $C^*$ ) را به عنوان تابعی از غلظت نمکهای محلول با قیمانده در محلول به دست آورد. جزیيات بیشتر این فرایند در مباحث مربوط به شرایط همدماهی لانگمویر<sup>۱</sup> و فروندلیخ<sup>۲</sup> در کتب مرجع ارائه شده است.

ویژگیهای جذبی معمولاً بر روی کاغذهای نموداری با روشی رسم می شوند که نمودار حاصل، رابطه بین جرم نمک جذب شده و واحد جرم خاک را به شکل تابعی از غلظت نمک نشان دهد. با به کار گیری هر کدام از رابطه های همدماهی لانگمویر و یا فروندلیخ، می توان این روابط را تشریح کرد. این روابط برای بیان و بررسی پدیده تأخیری یا بازدارندگی به سهولت قابل استفاده است.

هرگاه بتوان رابطه جذبی را به صورت خط مستقیم بر روی کاغذ لگاریتمی رسم کرد، رابطه همدماهی فروندلیخ<sup>۳</sup> به شرح زیر از آن قابل استخراج می باشد.

$$\log C^* = b \cdot \log C + \log K_f \quad (37-3)$$

که آن را به صورت زیر نیز می توان نمایش داد:

$$C^* = K_f \cdot C^b \quad (38-3)$$

که در آن :

$$\begin{aligned} C^* &= \text{جرم محلول جذب شده در واحد جرم خاک خشک}, \\ C &= \text{غلظت نمکهای محلول، و} \\ b, K_f &= \text{ضرایب رابطه هستند.} \\ \text{واحد } C^* \text{ و } C &= \text{قبلًاً شرح داده شده اند.} \end{aligned}$$

1 - Langmuir

2 - Freundlich

3 - Freundlich Isotherm

شیب خط رسم شده ببروی کاغذ لگاریتمی در رابطه‌های بالا با حرف  $b$  نشان داده شده است. در نمودار رسم شده  $C^*$  در برابر  $C$  که شیب آن خطی است، در نتیجه رابطه حاصل نیز خطی است و بنابراین مقدار  $b$  برابر ۱ است. در این شرایط مشتق نسبت به  $C$  رابطه زیر را بدست می‌دهد:

$$\frac{dC^*}{dC} = Kd \quad (39-3)$$

در این رابطه،  $Kd$  میزان ضریب توزیع یا پراکنش است و با استفاده از این ضریب می‌توان پیشینه نمکهای محلول را ضمن عبور از درون خاک، از طریق رابطه زیر بدست آورد.

$$1 + \left( \frac{P_b}{\theta} \right) (Kd) = \text{ضریب تأخیر یا بازدارندگی} \quad (40-3)$$

در این رابطه عوامل به کاررفته معانی زیر را دارند:

$P_b$  = جرم مخصوص ظاهری خاک خشک، بر حسب گرم بر سانتی‌متر مکعب،

$\theta$  = رطوبت حجمی خاک،  $(L^3/L^3)$ ، بر حسب حجم ماده بر واحد حجم محلول،

$Kd$  = ضریب پراکنش (توزیع) نمک در خاک است.

هرگاه نمکها، واکنش‌گر باشند، در مقایسه با جریان آب در خاک و یا آب زیرزمینی انتقال آنها بهدلیل فرایند جذب با سرعت کمتری صورت می‌گیرد، میزان حرکت نمک را می‌توان با استفاده از رابطه تأخیر (بازدارندگی) بهشرح زیر ارائه دارد:

$$V_e = V_x / [1 + (P_b / \theta) (Kd)] \quad (41-3)$$

در رابطه بالا :

$V_x$  = میانگین سرعت خطی جریان، (سانتی‌متر بر ثانیه یا دقیقه)، و

$V_e$  = سرعت پیشینه نمکها، هرگاه غلظت نمک نصف غلظت اولیه آن باشد  $(C/C_0 = 0.5)$  (سانتی‌متر بر ثانیه یا دقیقه).

پتانسیل نمکها در آبهای زیرزمینی یا آب خاک تنوع زیادی از جمله ضرایب توزیع (پراکنش) و نمکهای خاکی ویژه دارند و ذرات رس بهدلیل دارا بودن سطوح ویژه و مکانهای تبادل یونی بسیار زیاد، حامل بیشترین مقادیر  $(Kd)$  برای نمکهای خاص و غیرآلی (معدنی) می‌باشند، کاتیونها در مقایسه با آنیونها بهصورت قوی‌تری جذب می‌شوند، در حالی که کاتیونهای دو ظرفیتی در مقایسه با انواع یک ظرفیتی با سرعت بیشتری در فرایند جذب سطحی شرکت می‌کنند. عناصری مانند کلر ممکن است بهصورت ضعیف جذب شوند و یا بهصورت غیرجذبی در هنگام عبور از میان رسها باقی بمانند، سدیم بهصورت ضعیف نگهداری

می‌شود، پتاسیم، آمونیوم، منگنز، سیلیس و آهن بطور متوسط نگهداشته شده و سرب، کادمیم، جیوه و روی، می‌توانند تا حد زیادی نگهداری شوند.

مواد شیمیایی آلی و مصنوعی در محلول می‌توانند بهوسیله کربن آلی در خاک جذب شوند. در تعیین حرکت و بازدارندگی مواد شیمیایی آلی، هرگاه از مقدار جذب ویژه آنها در یک محل اطلاعی در دست نباشد، ابتدا باید مقدار اتحال آنها را در آب درنظر گرفت. تمایل نسبی هر ماده آلی برای باقیماندن بهصورت محلول در آب، در مقایسه با حالتی که بهوسیله کربن آلی نگهداری می‌شوند، مرتبط با ضریب توزیع آب-اکتانول آن ماده شیمیایی است که این امر بیانگر تمایل به محلول شدن آن ماده شیمیایی در آب و اکتانول(n) در حالتی که محلول محتوی هر دو، مورد تکان دادن قرار گیرد، می‌باشد. ضریب توزیع (تقسیم) آب (Koc) را می‌توان از اتحال پذیری آب و یا ضریب توزیع آب-آتانول برآورد کرد.

مقدار (Kd) هر ترکیب آلی در یک خاک خاص را می‌توان با سهولت بهدست آورده زیرا این مقدار بهطورکلی از حاصل ضرب Kd آن ترکیب در درصد کربن آلی موجود در خاک، بهدست می‌آید.

هرگاه خاک از ماسه سیلیکاتی خالص تشکیل شده باشد، مقدار بازدارندگی آن بسیار محدود خواهد بود.

به عنوان نتیجه‌گیری از فرایندهای انتشار، پخشیدگی و بازدارندگی، الگویی از توزیع نمکها با توجه به فاصله آنها از منبع آلاینده وجود دارد. هرگاه منشاً آلاینده حاوی چند نوع نمک باشد هر کدام دارای حالت بازدارندگی مشخص هستند که به وسیله ضریب Kd همان نمک، و درنتیجه مقداری در پیشینه نمک وجود خواهد داشت، شکل نامنظم بهدست آمده می‌تواند بسیار پیچیده باشد.

- برای محاسبه این ضرایب در دماهای دیگر، کافی است نسبت  $\frac{M_{25}}{Mt}$  که بیانگر نسبت لزوخت یا گرانزوی آب در دمای ۲۵ درجه سانتیگراد و دمای t ضرب کنیم.
- برای تعیین ضریب D یک نمک خاص از رابطه زیر استفاده می‌شود :

$$D_{+-} = \frac{D_+ D_- (Z_+ C_+ + Z_- C_-)}{(D_+ Z_+ C_+ + D_- Z_- C_-)} \quad (42-3)$$

$D_{+-}$  ضریب پخشیدگی نمک موردنظر است که غلظت کاتیونها و آنیونهای آن بهتریب  $C_+$  و  $C_-$  و ظرفیت آنها به صورت قدر مطلق Z بیان شده است.

جدول ۱ - ضرایب پخشیدگی (D) کاتیونها و آنیونهای موجود در آب در ۲۵ درجه سانتیگراد [۳۷]

| ضریب پخشیدگی<br>(سانتی‌مترمربع بر ثانیه) | آنیونها                      |           | ضریب پخشیدگی<br>(سانتی‌مترمربع بر ثانیه) | کاتیونها         |
|--|------------------------------|-----------|--|------------------|
| $5/26 \times 10^{-5}$                    | $\text{OH}^-$                | هیدرکسیل  | $9/30 \times 10^{-5}$                    | $\text{H}^+$     |
| $1/48 \times 10^{-5}$                    | $\text{F}^-$                 | فلورید    | $1/03 \times 10^{-5}$                    | $\text{Li}^+$    |
| $2/03 \times 10^{-5}$                    | $\text{Cl}^-$                | کلرید     | $1/23 \times 10^{-5}$                    | $\text{Na}^+$    |
| $2/08 \times 10^{-5}$                    | $\text{Br}^-$                | برومید    | $1/96 \times 10^{-5}$                    | $\text{K}^+$     |
| $2/05 \times 10^{-5}$                    | $\text{I}^-$                 | یدید      | $2/07 \times 10^{-5}$                    | $\text{Rb}^+$    |
| $1/90 \times 10^{-5}$                    | $\text{NO}_3^-$              | نیترات    | $2/06 \times 10^{-5}$                    | $\text{Cs}^+$    |
| $1/72 \times 10^{-5}$                    | $\text{ClO}_3^-$             | کلرات     | $1/65 \times 10^{-5}$                    | $\text{Ag}^+$    |
| $1/49 \times 10^{-5}$                    | $\text{BrO}_3^-$             | برومات    | $0/71 \times 10^{-5}$                    | $\text{Mg}^{2+}$ |
| $1/08 \times 10^{-5}$                    | $\text{IO}_3^-$              | یدیت      | $0/79 \times 10^{-5}$                    | $\text{Ca}^{2+}$ |
| $1/45 \times 10^{-5}$                    | $\text{IO}_4^-$              | یدات      | $0/79 \times 10^{-5}$                    | $\text{Sr}^{2+}$ |
| $1/19 \times 10^{-5}$                    | $\text{HCO}_3^-$             | بی‌کربنات | $0/85 \times 10^{-5}$                    | $\text{Ba}^{2+}$ |
| $1/09 \times 10^{-5}$                    | $\text{HC}_3\text{CO}^-$     | استات     | $0/72 \times 10^{-5}$                    | $\text{Cu}^{2+}$ |
| $1/07 \times 10^{-5}$                    | $\text{SO}_4^{2-}$           | سولفات    | $0/70 \times 10^{-5}$                    | $\text{Zn}^+$    |
| $0/99 \times 10^{-5}$                    | $\text{Cr}_2\text{O}_4^{2-}$ | کرومات    | $0/73 \times 10^{-5}$                    | $\text{CO}^{2+}$ |
| $0/92 \times 10^{-5}$                    | $\text{CO}_3^{2-}$           | کربنات    | $0/93 \times 10^{-5}$                    | $\text{pb}^{2+}$ |

## ۴- مدل‌های تجربی و نظری آبشویی نمک خاکهای شور

### ۱-۴ کلیات

تراکم و انباست نمکها در نیمرخ خاک بر ویژگیهای فیزیکی و شیمیایی خاکها از جمله، فشار اسمزی، نفوذپذیری، هدایت هیدرولیکی آن چنان اثری باقی می‌گذارد که در نتیجه آن ممکن است رشد و نمو بیشتر گیاهان زراعی و باگی دچار اختلال جدی و یا به طور کامل متوقف شود.

پیامد انحلال‌پذیری فوق العاده زیاد نمکهای سدیم (Na) و رسوب کربنات کلسیم ( $\text{CaCO}_3$ ) در pH زیاد که معمولاً و به طور طبیعی اتفاق می‌افتد، موجب افزایش تراکم نمکها یا شوری (فرایند شورشدن<sup>۱</sup>) و افزایش pH محلول خاک (فرایند قلیایی شدن) می‌شود که در نتیجه آن، سدیمی‌شدن خاک (فرایند قلیا یا سدیمی‌شدن<sup>۲</sup>) سریع می‌شود.

بنابراین در برنامه‌های کشاورزی زمینهای مورد آبیاری، باید به منظور بازده اقتصادی فرآورده‌های کشاورزی و باگی مقدار شوری و سدیمی‌بودن خاک را تا حد مطلوب کاهش داد. از نظر عملی و تجربی می‌توان آبشویی نمکهای محلول از نیمرخ خاکهای شور و سدیمی را از راه استفاده از آب آبشویی<sup>۳</sup> با روش‌های غرقاب دائم یا متناوب و یا با آبیاری بارانی انجام داد، که هر روش محدودیت و مزیتهای خاص خود را دارد.

به طور کلی، اصلاح خاکهای شور کار پیچیده‌ای به شمار نمی‌رود، زیرا با به کارگیری مقدار مورد نیاز آب آبشویی با کیفیت مناسب، می‌توان نمکهای اضافی را از نیمرخ خاکها آبشویی کرد، مگر اینکه ویژگیهای زهکشی داخلی خاک به هر دلیلی نامناسب باشد و یا بافت خاک بسیار سنگین باشد، به هر حال در مورد نفوذ و تحرک آب در خاکهای شور در شرایط متعارف مشکل خاصی وجود ندارد.

با توجه به موارد گفته شده، می‌توان نتیجه گرفت که پیش نیاز موقفيت برنامه‌های آبشویی و اصلاحی خاکهای شور، به شرایط مطلوب زهکشی خاکها بستگی دارد، که اگر این امر به طور طبیعی فراهم نباشد، باید از راه مصنوعی آن را ایجاد کرد. انجام این امر با اقدامهایی مانند نصب زهکشهای زیرزمینی، احداث کانالهای باز زهکشی و یا در شرایطی، پمپاژ آب زیرزمینی آبخوانهای سطحی، امکان‌پذیر است. چون منظور از به کارگیری آب مورد نیاز برنامه‌های اصلاحی خاک، تخلیه (آبشویی) و دفع ترکیبیهای معدنی (نمکها) نامطلوب از نیمرخ خاک است، بنابراین لازم است تراوشاهای عمقی یا زهآب‌های حاصل، با روش مناسبی گردآوری و به خارج از محدوده مزرعه تخلیه و دفع شود زیرا در غیر این صورت موجب خیز سطح ایستابی (به طور عمدی شور) شده و بر شدت مسئله می‌افزاید.

به هر حال، در صورت وجود شرایط زهکشی مناسب و مطلوب، دو پرسش کلیدی قبل از اقدام به شروع برنامه‌های اصلاحی خاکهای شور مطرح خواهد بود.

الف ) چه میزان آب برای کاهش سطح شوری مورد نظر در نیمرخ خاک و تا عمق مشخص لازم است، و به کارگیری و نفوذ این میزان آب به سطح و درون نیمرخ خاک، چه مدت طول خواهد کشید. با توجه به اینکه در گستره وسیعی از زمینها و

1 - Salinization

2 - Alkalization (Sodification)

3 - Leaching Water

دشتهای مورد آبیاری و یا مستعد گسترش شبکه‌های آبیاری و زهکشی در کشور مشکل سدیمی بودن، نیز مربوط به زمینهای شور است، بنابراین سؤال دیگری نیز در این مورد، قابل بررسی است.

ب) آیا همزمان با فرایند شوری‌زدایی، پدیده سدیم زدایی<sup>۱</sup> خاکها نیز مطرح است و یا اینکه شوری‌زدایی خاکها موجب تشدید پدیده سدیمی شدن خاکها می‌شود که در آن صورت باید اقدامهای ویژه دیگری اعمال شود.

نکته: با توجه به منابع کلسیم موجود در بیشتر خاکهای شور و سدیمی زمینهای تحت آبیاری و دشتهای رسوبی (حاصل از رسوبهای زمینهای مرتفع و یا رودخانه‌ای) قابل کشت و آبیاری کشور، هنوز مورد شوری‌زدایی و گرایش به سدیمی‌شدن خاکها گزارش نشده است.

می‌توان با تقریب و دقت قابل قبولی با استفاده از فناوری مدل‌های شبیه‌سازی<sup>۲</sup> (همانندسازی) رایانه‌ای که به منظور مطالعه حرکت نمکها در آب خاک ( محلول خاک) تدوین یافته‌اند، به پاسخ این دو پرسش (مقدار آب مورد نیاز و دوره زمانی لازم) دست یافت. استفاده از این روش در مورد بررسیهای آزمایشگاهی و در شرایط کنترل ستونهای خاک، نتایج مطلوبی به همراه داشته است.

جوریناک<sup>۳</sup> (۱۹۸۱) اعلام کرد که برای شرایط حاکم در مزرعه، استفاده از نتایج حاصل از مدل‌های شبیه‌سازی رایانه‌ای به طور مستقیم امکان‌پذیر نیست. زیرا طبیعت پارامترهای خاک در مزرعه تغییرات مکانی چشمگیری دارند و این امر باعث کاهش قابلیت اطمینان در ورودیهای مورد نیاز و همچنین موجب محدودیت در ارزشمندی مدل می‌شود.

بدین ترتیب، استفاده از مدل‌های تجربی<sup>۴</sup> به عنوان برآوردهای تقریبی و مقدماتی می‌تواند در دستیابی به اطلاعات مورد نیاز برنامه‌های اصلاحی خاک و زمین، به ویژه در شرایطی که در منطقه موردنظر بیشتر خاکها از نوع همگن و یک لایه باشند، بسیار سودمند باشد.

## ۲-۴ فرایند شوری‌زدایی از نیمرخ خاکها

دیلمان<sup>۵</sup> (۱۹۶۳) فرضهای ساده‌شده‌ای را برای اشتقاق رابطه آبشویی نمکهای محلول از نیمرخ خاکها اعمال کرد و فرایند شوری‌زدایی (آبشویی) نمکها از نیمرخ خاکها را به شرح زیر ارائه کرد:

$$D_s \cdot \theta_v \cdot dC_{sw} = (C_{iw} \cdot dD_{iw}) - (C_{dw} \cdot dD_{dw}) \quad (1-4)$$

که در آن،  $D_s$  ضخامت لایه خاک،  $dC_{sw}$  تغییرات میزان نمک در آب خاک مرتبط با تغییرات عمق آب زهکشی،  $dD_{dw}$  در عمق معینی از خاک،  $\theta_v$  میزان رطوبت حجمی خاک،  $C_{iw}$  و  $C_{dw}$  به ترتیب غلظت نمکهای محلول در آب آبیاری و آب

- 1 - Desodification
- 2 - Simulation Models
- 3 - Jurinak
- 4 - Empirical Models
- 5 - Dieleman

زهکشی (زهآب) و  $D_{dw}$  میزان آب نفوذ یافته (تراوشاهای عمقی) می‌باشد. با توجه به رابطه کلی ارائه شده، فرضهای اعمال شده و مورد نیاز به شرح زیر خواهد بود:

(الف) زهآب و یا آبشویی نمکها در نیمرخ خاک از ضخامت مشخصی و با رطوبت تا حدی بیشتر از حد ظرفیت مزرعه (FC) اتفاق می‌افتد.

$$C_{dw} = f \cdot C_{sw} \quad \text{و} \quad f \leq 1$$

(ب) که در آن،  $f$  ضریب بازده آبشویی<sup>۱</sup> است. غلظت نمک در آب زهکشی شده از عمق معینی در خاک، برابر و یا کمتر از میانگین غلظت نمک آب خاک قبل از آبشویی است.

(پ) عمق آب زهکشی (تراوشاهای عمقی) متناسب با عمق آب به کار رفته (آبشویی) است به گونه‌ای که می‌توان نوشت :

$$D_{dw} = \frac{D_{iw}}{K} \rightarrow dD_{iw} = K \cdot dD_{dw}$$

که در آن،  $K$  ثابت تناسب<sup>۲</sup> است. با جایگزینی رابطه‌های ب و پ در رابطه ۱-۴ می‌توان نتیجه گرفت:

$$Ds \cdot \theta_v \cdot dC_{sw} = (KC_{iw} \cdot dD_{dw}) - (dD_{dw} \cdot fC_{sw}) \quad (2-4)$$

رابطه بالا را به صورت زیر نیز می‌توان نوشت :

$$Ds \cdot \theta_v \cdot dC_{sw} = dD_{dw} (KC_{iw} - fC_{sw}) \quad (3-4)$$

و یا :

$$\frac{dD_{dw}}{Ds} = \frac{\theta_v \cdot dC_{sw}}{(KC_{iw} - fC_{sw})} = \frac{\theta_v}{f} \left[ \frac{dC_{sw}}{\frac{KC_{iw}}{f} - C_{sw}} \right] \quad (4-4)$$

با انتگرال‌گیری از رابطه ۴-۴ بین حدود  $C_{sw} = C_{swo}$  و  $D_{dw} = 0$  نتیجه زیر حاصل می‌شود:

$$-\frac{1}{Ds} \int_0^D dD_{dw} = -\frac{\theta_v}{f} \int_{C_{swo}}^{C_{sw}} \frac{dC_{sw}}{C_{sw} - \frac{KC_{iw}}{f}} \quad (5-4)$$

1 - Leaching Efficiency Factor  
2 - Proportionality Constant

و یا :

$$\frac{D_{dw}}{Ds} = \frac{\theta_v}{f} \ln \frac{C_{swo} - \frac{KC_{iw}}{f}}{C_{sw} - \frac{KC_{iw}}{f}} \quad (6-4)$$

با جایگزینی  $C = EC$  و با در نظر گرفتن  $EC_{eq} = \frac{KC_{iw}}{f}$ ، رابطه بالا به شکل زیر ساده می‌شود:

$$\frac{D_{dw}}{Ds} = \frac{\theta_v}{f} \ln \frac{EC_i - EC_{eq}}{EC_f - EC_{eq}} \quad (7-4)$$

توجه : در رابطه ۶-۴ مقادیر غلظت نمکهای محلول (C) برحسب میلی‌اکی‌والان بر لیتر و یا میلی‌گرم بر لیتر است که این مقادیر در رابطه ۷-۴ به صورت هدایت الکتریکی عصاره اشباع خاک، برحسب دسی زیمنس بر متر تغییر یافته است. در صورتی که در رابطه اخیر،  $D_{lw} = D_{dw}$  (عمق خالص آب آبشویی) و  $EC_i = EC_i$  (هدایت الکتریکی عصاره اشباع خاک قبل از آبشویی) و  $EC_f = EC_f$  (هدایت الکتریکی عصاره اشباع خاک پس از آبشویی) باشد، رابطه به شکل کلی زیر در می‌آید :

$$\frac{D_{lw}}{Ds} = \frac{\theta_v}{f} \ln \frac{EC_i - EC_{eq}}{EC_f - EC_{eq}} \quad (8-4)$$

و یا

$$\frac{EC_f - EC_{eq}}{EC_i - EC_{eq}} = \exp \left[ - \left( f \cdot D_{lw} \right) / (\theta_v \cdot D_s) \right] \quad (9-4)$$

در رابطه‌های ۸-۴ و ۹-۴ عوامل به کار رفته دارای معانی و ابعاد زیر است:  
 $EC_i$  و  $EC_f$  به ترتیب هدایت الکتریکی عصاره اشباع خاک، قبل و بعد از کاربرد و نفوذ عمق مشخصی از آب آبشویی ( $D_{lw}$ )، برحسب دسی زیمنس بر متر.  
 $EC_{eq}$ ، هدایت الکتریکی عصاره اشباع خاک که با آب آبیاری (آبشویی) به تعادل شیمیایی می‌رسد، برحسب دسی زیمنس بر متر.

تذکر:  $EC_{eq}$ ، کمترین میزان شوری (هدایت الکتریکی عصاره اشباع خاک) است که در لایه سطحی (۰ تا ۵ سانتی‌متری) نیمروخ خاک با استفاده از آب آبیاری و یا آبشویی با کیفیت مشخص و پس از نفوذ کل عمق آب آبشویی موردنظر، حاصل می‌شود.

$f$  = ضریب بازده آبشویی، بدون بعد،

$D_{lw}$  = عمق خالص آب آبشویی و میزان آبی که پس از تأمین کسر رطوبت خاک لایه مربوط، به طریق ثقلی و به صورت تراوشهای عمیقی از ستون خاک لایه مربوط خارج می‌شود، سانتی‌متر یا متر ،

$\theta_v$  = رطوبت حجمی خاک ، سانتی متر مکعب بر سانتی متر مکعب یا متر مکعب بر متر مکعب،  
 $D_s$  = عمق یا ضخامت لایه خاک (نسبت به سطح زمین) ، سانتی متر یا متر،  
 $Dl_w/Ds$  = نسبت عمق آب آبشویی به واحد عمق خاک، بدون بعد.  
با به کارگیری هر کدام از رابطه های بیان شده، می توان عمق خالص آب آبشویی ( $Dl_w$ ) و ضریب آبشویی (f) را به شرح زیر محاسبه کرد :

$$Dl_w = D_s \cdot \left[ \frac{\theta_v}{f} \ln \frac{EC_i - EC_{eq}}{EC_f - EC_{eq}} \right] \quad (10-4)$$

$$f = \frac{D_s}{Dl_w} \cdot \theta_v \cdot \left[ \ln \frac{EC_i - EC_{eq}}{EC_f - EC_{eq}} \right] \quad (11-4)$$

تذکر : تغیریق مقدار  $EC_{eq}$  (شوری یا هدایت الکتریکی تعادلی عصاره اشبع خاک)، از صورت و مخرج کسر رابطه های مربوط، موجب می شود که نتایج حاصل، مستقل از عوامل خارجی مؤثر (از جمله میزان تبخیر، شرایط زهکشی داخلی خاکها، کیفیت آب آبیاری مورد استفاده در امر آبشویی و دیگر شرایطی که می تواند ببروی نتایج، اثرگذار باشد) باشد.

با توجه به موارد بالا، می توان نتیجه گرفت که با وجود اعمال فرضهای ساده شده ای در اشتقاء رابطه آبشویی نمکها از نیمرخ خاکها رابطه های بیان شده در بالا در مقایسه با بعضی مدل های تجربی و یا حتی مدل های عددی<sup>۱</sup>، که در بخش های آتی به آن اشاره خواهد شد، از منطق فیزیکی و ریاضی مناسبی برخوردار هستند. به گونه ای که با اعمال فرضهای بیان شده و با به کارگیری رابطه ها می توان مقدار تخلیه و دفع (آبشویی) منطقی نمکهای کاملاً محلول را در نیمرخ خاک طی فرایند آبشویی و با تقریب مناسبی، محاسبه یا برآورد کرد زیرا ترکیب های معدنی (نمکها) با درجه انحلال پذیری زیاد در شرایط متعارف، حدود ۸۰ تا ۹۰ درصد نمکهای موجود در نیمرخ خاکها مبتلا را تشکیل می دهند و ترکیب های معدنی (نمکها) کم محلول فقط حدود ۱۰ تا ۲۰ درصد باقیمانده را شامل می شود که این ترکیب حاصل هوازدگی مواد مادری تشکیل دهنده خاکها است و در حقیقت در بیشتر اوقات آبشویی نمکهای محلول از نیمرخ خاکها مورد نظر است، که مبانی بیان شده در رابطه های بالا، درباره آنها کاربرد دارد.

نکته : هر چند قضاووت درباره ضریب بازده آبشویی (f) باید از طریق انطباق منحنی های آبشویی<sup>۲</sup> یا شوری زدایی حاصل از رقمهای مزروعه ای (مشاهده ای) و برآورده شده از یک مدل مناسب (محاسبه شده) انجام شود، لیکن نتایج بعضی بررسی ها نشان می دهد که مقدار این ضریب برای خاکهای شنی در شرایط آبشویی به روش غرقاب دائم، برابر با ۰/۶ تا ۰/۷ و ممکن است برای خاکهای رسی تا حد ۳/۰ کاهش یابد. مقدار عددی این ضریب، منعکس کننده بازده کاربرد آب آبشویی نمکهای محلول خاک است که می تواند طی فرایند آبشویی جایگزین آب خاک شود.

### ۳-۴ مدل‌های تجربی آبشویی نمکهای محلول از نیمرخ خاکها

مدل‌های تجربی، حاصل داده‌های مشاهده‌ای و اندازه‌گیری تجربی (آزمایشگاهی و یا میدانی) می‌باشد که بر نوعی رابطه ریاضی برازش داده می‌شوند. بنابراین، در استقاق آنها هیچ‌گونه پیش فرض فیزیکی و ریاضی اعمال نشده است. هرچند مدل‌های تجربی قلمرو محدودی دارند و در محل خاصی یا در مورد مشکل خاصی از آنها استفاده می‌شود، لیکن در ارتباط با اهداف این دستورالعمل، مزیتهایی را به شرح زیر دارا می‌باشد:

(الف) به کارگیری این مدلها برای برآوردهای مقدماتی و تقریبی می‌تواند در دستیابی به اطلاعات مورد نیاز برنامه‌های اصلاح خاک و زمینهای در شرایطی بسیار سودمند باشد.

(ب) این نوع مدلها می‌توانند بخش مهمی از یک مدل پیچیده عددی باشند.

(پ) هرچند این روابط تجربی در مقایسه با نتایج مطالعات پایه حرکت همزمان آب و نمک محدودیتهایی دارد لیکن از نظر کاربردهای عملی در برنامه‌های اجرایی اصلاح خاک و زمینهای نسبت به نتایج حاصل از مدل‌های نظری برتری دارند.

(ت) و سرانجام سهولتهای محاسباتی و کاربردی این مدلها از نظر صرف زمان، هزینه و عدم نیاز به تخصص ویژه‌ای، قابل ملاحظه است.

در طرحهای مطالعاتی، پیشنهاد می‌شود که بررسی امکان اصلاح فیزیکو-شیمیایی خاکهای شور و یا شور و سدیمی، تعیین میزان آب لازم برای آبشویی نمکهای محلول از نیمرخ خاکهای شور، از طریق آزمونهای مزرعه‌ای انجام گیرد. نتایج حاصل از اجرای آزمایشها، این امکان را فراهم می‌آورد تا بتوان نسبت به تهیه و ارائه منحنیهای آبشویی نمکهای محلول از نیمرخ خاکها (منحنیهای شوری و یا سدیم‌زادایی) اقدام کرد و با استفاده از آن، میزان آب لازم برای تغییر میزان شوری و سدیمی بودن خاکها را تا حد مطلوب تعیین کرد.

شرح تفصیلی و چگونگی اجرا در دستورالعمل آزمایش‌های آبشویی خاکهای شور و سدیمی ایران در نشریه شماره ۲۵۵ سازمان مدیریت و برنامه‌ریزی کشور ارائه شده است. بر پایه اجرای آزمونهای مزرعه‌ای، اعداد و رقمهای لازم برای برازش، به نوعی رابطه ریاضی به دست می‌آید. در این مبحث روابط یا مدل‌های تجربی که کاربرد آن در جهان و ایران مرسوم بوده است با رعایت قدمت زمانی ارائه شده است.

شایان ذکر است که استفاده از روابط (مدل‌های) تجربی و منحنیهای آبشویی یا شوری‌زادایی (و یا سدیم‌زادایی) حاصل در محدوده نوع خاک، میزان شوری و یا درصد سدیم تبادلی اولیه نیمرخ خاک محل اجرای آزمون، می‌تواند مورد استفاده قرار گیرد و با استفاده از آنها می‌توان عمق آب مورد نیاز را برای کاهش عملی میزان شوری و یا درصد سدیم تبادلی خاک و برای عمق معینی از لایه خاک برآورد کرد. مقادیر به دست آمده و یا برآورده شده (محاسبه شده) نیاز خالص آب آبشویی نمکها است و به منظور برآورد کل میزان آب کاربردی لازم برای آبشویی نمکهای خاک، باید به مقادیر تبخیر (از سطح آب و خاک) و میزان بارندگی نیز توجه کرد و این عوامل فرآگیر را در محاسبات برنامه‌ریزی آبشویی و اصلاح خاک و زمینهای در نظر گرفت.

### ۱-۳-۴ مدل ریو (۱۹۵۷)

براساس مطالعات مزرعه‌ای که در منطقه کوچیلا<sup>۱</sup> ایالت کالیفرنیا ایالات متحده در سالهای ۱۹۵۵ تا ۱۹۵۷ به وسیله ریو و همکاران (۱۹۵۵) و ریو (۱۹۵۷) انجام گردید، مشخص شد که منحنی آبشویی نمکها از نیمرخ خاک، از شکل عمومی خاصی پیروی می‌کند. تحقیقهای انجام شده بر روی نوعی خاک با بافت رسی سیلتی لومی که میزان شوری اولیه آن ( $EC_i$ ) تا عمق ۳۰ سانتی‌متری معادل ۴۰ دسی زیمنس بر متر ( $EC_e = 40$ ) و روش آبشویی آن غرقاب دائم بوده و رابطه تجربی هذلولی‌شکل<sup>۲</sup> زیر به دست آمد:

$$\frac{D_w}{D_s} = \frac{1}{5(\frac{EC_f}{EC_i}) + 0/15} = \frac{EC_i}{5(EC_f)} + 0/15 \quad (12-4)$$

که می‌توان آن را به شرح زیر نیز ارائه داد:

$$\frac{D_w}{D_s} = \frac{0/2(EC_i)}{EC_f} + 0/15 = \frac{1}{5}(\frac{EC_i}{EC_f}) + 0/15 \quad (13-4)$$

$EC_i$  و  $EC_f$  به ترتیب هدایت الکتریکی عصاره اشباع خاک قبل و بعد از کاربرد عمق مشخصی از آب آبشویی ( $D_w$ )،  $D_s$  به ترتیب عمق ناخالص آب به کار رفته (آبشویی) و خسارت لایه خاک (از سطح خاک)، بر حسب متر،

( $EC_i / EC_f$ ) نسبت هدایت الکتریکی عصاره اشباع خاک قبل از آبشویی به هدایت الکتریکی عصاره اشباع خاک پس از آبشویی، بدون بعد.

( $D_w/D_s$ ) نسبت عمق آب کاربردی (آبشویی ناخالص) به واحد عمق خاک، بدون بعد. رابطه بین حجم منفذی (PV) با نسبت عمق آب آبشویی به عمق خاک ( $D_w/D_s$ ) به صورت  $[PV = D_w / D_s \cdot \theta^*$  تعریف شده است که در آن  $\theta^*$  میزان رطوبت حجمی خاک است.

با استفاده از تساویهای ارائه شده در رابطه ۱۳-۴ می‌توان عمق آب مورد نیاز آبشویی ( $D_w$ ) را به شرح زیر برآورد یا محاسبه کرد:

$$D_w = D_s \left[ \frac{0/2(EC_i)}{EC_f} + 0/15 \right] = D_s \left[ \frac{1}{5} \left( \frac{EC_i}{EC_f} \right) + 0/15 \right] \quad (14-4)$$

1 - Coachella  
2 - Hyperbolic

رابطه‌های ۱۲-۴ و ۱۳-۴ را به صورت زیر نیز می‌توان ارائه داد:

$$\frac{EC_i}{EC_f} = 5 \left( \frac{D_w}{D_s} - 0/15 \right) \quad (15-4)$$

و یا:

$$\frac{EC_f}{EC_i} = \frac{1}{5 \left( \frac{D_w}{D_s} - 0/15 \right)} = \left[ 5 \left( \frac{D_w}{D_s} - 0/15 \right) \right]^{-1} \quad (16-4)$$

هرگاه در رابطه اخیر تساویهای  $[X = D_w/D_s]$  و  $[Y = EC_f/EC_i]$  جایگزین شوند می‌توان رابطه را به شکل کلی زیر نوشت:

$$Y = [5(X - 0/15)]^{-1} \quad (17-4)$$

و یا:

$$X = \frac{1}{5Y} + 0/15 = \frac{0/2}{Y} + 0/15 \quad (18-4)$$

با استفاده از تساویهای جایگزین که در به دست آوردن رابطه‌های ۱۷-۴ و ۱۸-۴ مورد استفاده قرار می‌گیرند روابط زیر نیز امکان‌پذیر و معنی‌دار است.

$$\%Y = 100 \left( \frac{EC_f}{EC_i} \right) = 100 [5(X - 0/15)]^{-1} \quad (19-4)$$

$$\%Y' = 100 - (\%Y) = 100 \{ 1 - [5(X - 0/15)] \}^{-1} \quad (20-4)$$

در رابطه‌های بالا:

$$\%Y = \text{درصد نمک اولیه باقیمانده}$$

$$\%Y' = \text{درصد نمک اولیه شسته شده می‌باشد.}$$

تذکر: در صورت در دسترس بودن اطلاعات لازم، بدون آنکه در روابط بیان شده تغییری ایجاد شود، می‌توان به جای  $D_w$  (عمق ناخالص آب آبشویی)، از  $DL_w$  (عمق خالص آب آبشویی) استفاده کرد. زیرا می‌توان میزان  $DL_w$  را با کسر میزان کمبود رطوبت خاک لایه موردنظر  $D_s$  (تا حد ظرفیت زراعی) از عمق آب کاربردی  $D_w$  به دست آورد.

به گونه‌ای که در مبحث ۲-۳ گفته شد، دیلمان (۱۹۶۳)، بر این باور بود که میزان شوری تعادلی ( $EC_{eq}$ ) به فرایندهای تبخیر، شرایط زهکشی داخلی خاکهای مورد آزمون، شوری آب آبشویی مورد عمل ( $EC_w$ ) مربوط است. و هرگاه مقدار اخیر ( $EC_f - EC_{eq}$ ) از مقادیر شوری اولیه ( $EC_i$ ) و نهایی ( $EC_f$ ) کسر شوند، روابط حاصل یعنی:  $[(EC_f - EC_{eq}) / (EC_i - EC_{eq})]$  به طور نظری از کیفیت آب آبشویی، وضعیت زهکشی داخلی خاک و میزان تبخیر مستقل می‌گردند و بدین ترتیب روابط (رابطه‌ها) و منحنیهای به دست آمده فقط به ویژگیهای خاک مورد آزمایش بستگی خواهد داشت.

بدین ترتیب با اعمال این پیشنهاد و جایگزینی  $D_w = D_{lw} / D_s$  در رابطه ۱۶-۴، شکل نهایی رابطه یا مدل تجربی ریو (۱۹۵۷) به صورت زیر خواهد بود:

$$[(EC_f - EC_{eq}) / (EC_i - EC_{eq})] = 1 \div 5 [(D_{lw} / D_s) - 0 / 15] \quad (21-4)$$

استفاده از شکل ساده شده رابطه ۱۲-۴ و حالت کامل شده رابطه ۲۱-۴ رابطه یا رابطه تجربی ریو (۱۹۵۷) که به عنوان مدل تجربی ریو شناخته می‌شود برای سالهای متمادی در بیشتر نقاط جهان و کشور ما، کاربرد داشته است.

توجه: به دلیل اینکه مدل تجربی ریو در شرایط شوری اولیه قابل ملاحظه خاک، اشتقاق یافته است، بدین دلیل استفاده از آن در شرایط شوری اولیه کم تا متوسط خاکها منجر به برآورد بیش از اندازه آب موردنیاز آبشویی نمکهای محلول از نیمرخ خاکها می‌شود.

### ۲-۳-۴ مدل دیلمان (۱۹۶۳)

با توجه بر آنچه در مبحث ۲-۳ تحت عنوان «فرآیند شوری زدایی از نیمرخ خاکها» بیان گردید و نظر به اینکه در اشتقاق رابطه‌های ۸-۴ و ۹-۴ بعضی مبانی فیزیکی و ریاضی مورد استفاده قرار گرفته، لیکن عده‌ای از پژوهشگران را اعتقاد بر آن است که این رابطه‌ها نوعی روابط تجربی – نظری می‌باشند و شکل کلی رابطه ۹-۴ را مدل دیلمان قلمداد می‌نمایند. به هر حال شکل نهایی رابطه موردنظر به شرح زیر است.

$$[(EC_f - EC_{eq}) / (EC_i - EC_{eq})] = \exp [-(f \cdot D_{lw}) / (\theta_v \cdot D_s)]$$

عوامل این رابطه، در قبل تعریف شده‌اند.

به دلیل اینکه قبل از اقدام به آبشویی نمکهای محلول از نیمرخ خاک، ضریب بازده آبشویی ( $f$ ) دقیقاً مشخص نیست، می‌توان میزان تقریبی آن را که به شدت به ویژگیهای فیزیکی خاک و روش اجرای آبشویی بستگی دارد از منابع منتشر شده به دست آورد، این امر موجب شد پژوهشگران در این مورد دو روش ساده‌سازی را اعمال کنند.

(الف) مقدار ضریب ( $f$ ) را معادل واحد فرض می‌کنند.

(ب) مقدار آن را که رقمی اعشاری است، معادل مقدار عددی  $\theta_v$  که آن هم رقمی اعشاری است، در نظر می‌گیرند.

با اعمال حالت ساده‌سازی مورد دوم، رابطه تجربی- نظری دیلمان به شرح زیر ساده می‌شود:

$$[(EC_f - EC_{eq}) / (EC_i - EC_{eq})] = \exp [-(D_{lw} / D_s)] \quad (22-4)$$

به دلیل اینکه توان ( $\exp$ ) منفی است، اعمال فرضهای ساده بالا موجب اشتباه فاحش نمی‌شود بنابراین با در نظر گرفتن رابطه ۲۲-۴ رابطه زیر را می‌توان ارائه کرد.

$$D_{lw} = D_s \left[ \ln \frac{EC_i - EC_{eq}}{EC_f - EC_{eq}} \right] \quad (23-4)$$

عوامل رابطه‌ها، همانند رابطه‌های قبل تعریف می‌شوند.

### ۳-۳-۴ مدل لافلر و شارما<sup>۱</sup> (۱۹۷۷)

بر پایه بررسیها و آزمونهای مزرعه‌ای که در سال ۱۹۷۵ در منطقه هانسا- هاریانا<sup>۲</sup> هندوستان به وسیله لافلر و شارما (۱۹۷۷) به انجام رسید، مشخص شد که نتایج حاصل از کاربرد مدل ریو (۱۹۵۷) عمق آب آبشویی را برای خاکهایی با بافت سبک (شنی لومی تا سیلتی لومی)، بسیار بیشتر از میزان مورد نیاز برآورد می‌کند. آنها آزمایش‌های مربوط را با دو روش غرقاب دائم و متناوب در خاکی که میزان شوری اولیه آن ( $EC_i$ ) تا عمق ۸۰ سانتی‌متری، حداقل معادل ۳۰ دسی‌زیمنس بر متر ( $ECe=30$ ) بود، انجام دادند و از رابطه تجربی مشابه برای برآش بر نتایج حاصل به صورت هذلولی به شرح زیر استفاده کردند:

$$[EC_f - EC_{eq}] / [EC_i - EC_{eq}] = 0/062(D_s / D_{lw}) + 0/034 \quad (24-4)$$

پارامترها در قبل تعریف شده‌اند.

با استفاده از هر کدام از رابطه‌های ۲۴-۴ و ۲۵-۴ می‌توان عمق آب مورد نیاز آبشویی را به شرح زیر محاسبه و یا برآورد کرد:

$$\frac{D_{lw}}{D_s} = \frac{0/062}{\left[ \frac{EC_f - EC_{eq}}{EC_i - EC_{eq}} - 0/034 \right]} = 0/062 \left[ \frac{EC_f - EC_{eq}}{EC_i - EC_{eq}} - 0/034 \right]^{-1} \quad (25-4)$$

و یا :

1 - Leffelaar and Sharma

2 - Hansai-Haryana

$$Dl_w = D_s \frac{0/062}{\left[ \frac{EC_f - EC_{eq}}{EC_i - EC_{eq}} - 0/034 \right]} = 0/062 D_s \left[ \frac{EC_f - EC_{eq}}{EC_i - EC_{eq}} - 0/034 \right]^{-1} \quad (26-4)$$

مدل تجربی لافلر و شارما (۱۹۷۷) مانند دو مدل تجربی - نظری دیلمان (۱۹۶۳) و مدل تجربی ریو (۱۹۵۷) در سالهای پی درپی، مورد توجه و مقایسه پژوهشگران بوده و بارها در مراجع به آنها اشاره شده است.

### ۳-۴-۳ مدل هافمن<sup>۱</sup> (۱۹۸۰)

این مدل که در سال (۱۹۸۰) به وسیله هافمن ارائه شد، نتیجه گردآوری، تجزیه و تحلیل مقادیر قابل ملاحظه‌ای آمار، رقمها و اطلاعات حاصل از اجرای آزمایش‌های مزرعه‌ای در کشور ایالات متحده امریکا و دیگر نقاط جهان است. رابطه تجربی نتیجه شده در این مورد را می‌توان به شرح زیر ارائه کرد:

$$\frac{C}{C_o} = \frac{K}{\left( \frac{D_w}{D_s} \right)} \quad (27-4)$$

که در آن،  $C$  و  $C_o$  به ترتیب معرف غلظت نمک در عصاره اشباع خاک قبل و بعد از کاربرد آب آبشویی بر حسب میلی‌اکی‌والان بر لیتر و یا میلی‌گرم بر لیتر،  $D_w$  عمق آب کاربردی (آبشویی) بر حسب متر یا سانتی‌متر،  $D_s$  ضخامت لایه خاک مورد آبشویی بر حسب متر یا سانتی‌متر و سرانجام  $K$  به عنوان یک ضریب تجربی<sup>۲</sup> بدون بعد معرفی شده است. بررسی اطلاعات موجود نشان می‌دهد که مقدار ضریب تجربی  $K$  برای خاکهای لومی شنی در روش آبشویی با غرقاب دائم، معادل ۰/۱ است و برای خاکهای رسی تا ۳/۰ تغییر می‌کند. همین مقدار را می‌توان برای خاکهایی با بافت لومی سیلتی، رسی سیلتی و سیلتی لومی نیز در نظر گرفت.

در آبشویی به روش غرقاب متناسب با عمق آبی معادل ۵ تا ۱۵ سانتی‌متر در هر تناوب، صرف‌نظر از نوع خاک می‌توان مقدار ضریب  $K$  را ۰/۱ در نظر گرفت. رابطه بیان شده در بالا را می‌توان به شرح زیر نیز ارائه داد :

$$\frac{C}{C_o} = K \left( \frac{D_s}{D_w} \right) \quad (28-4)$$

و یا :

$$K = \left( \frac{C}{C_o} \right) \left( \frac{D_w}{D_s} \right) \quad (29-4)$$

---

1 - Hoffman  
2 - Empirical Coefficient

هرگاه تساوی  $EC = C$  (هدایت الکتریکی عصاره اشباع خاک برحسب دسی زیمنس بر متر) در رابطه اخیر جایگزین شود و  $EC_f = C$  باشد و مقادیر  $EC_{eq}$  (شوری تعادلی) از صورت و مخرج عبارت تفريق شود، نتيجه زیر به دست می آيد:

$$K = \left( \frac{EC_f - EC_{eq}}{EC_i - EC_{eq}} \right) \left( \frac{D_w}{D_s} \right) \quad (30-4)$$

که بدین ترتیب عمق آب لازم برای آبشویی به شرح زیر قابل محاسبه یا برآورد می شود:

$$D_w = K \cdot D_s \left[ \left( EC_i - EC_{eq} \right) / \left( EC_f - EC_{eq} \right) \right] \quad (31-4)$$

### ۳-۵ مدل پنیرا و کاوچی<sup>۱</sup> (۱۹۸۱)

این مدل براساس مطالعات و آزمونهای متعددی که در سالهای متمادی در بخش مرکزی استان خوزستان انجام شد و پس از گردآوری، تجزیه و تحلیل تعداد قابل توجهی آمار و رقمهای مزرعه‌ای، استخراج گردید. بافت خاک منطقه به طور عمده سیلتی رسی تا رسی سیلتی است و میزان شوری اولیه آن ( $EC_i$ ) تا عمق  $1/5$  متری معادل  $65$  تا  $80$  دسی زیمنس بر متر ( $EC_e = 80-65$ ) و با روش آبشویی غرقاب متناوب و عمق آب کاربردی  $150$  سانتی‌متر بوده که در  $15$  تناوب  $1/0$  متری به مصرف رسیده است. رابطه تجربی حاصل به شکل هذلولی و به شرح زیر بوده است:

$$\left[ \left( EC_f - EC_{eq} \right) / \left( EC_i - EC_{eq} \right) \right] = \frac{0/076}{\left[ \frac{Dl_w}{D_s} \right]} + 0/023 \quad (32-4)$$

و یا :

$$\left[ \left( EC_f - EC_{eq} \right) / \left( EC_i - EC_{eq} \right) \right] = [0/076(D_s / Dl_w)] + 0/023 \quad (33-4)$$

که عوامل و ابعاد به کار رفته در این رابطه‌ها، در قبل تعریف شده‌اند.

به گونه‌ای که ملاحظه می‌شود رابطه‌های به دست آمده در این بررسی، از نظر شکل کلی با مدل‌های تجربی ارائه شده ریو (۱۹۵۷) و لافلر و شارما (۱۹۷۷) شباهت کلی دارد، بنابراین در بررسیهای انجام شده مشخص گردید که نتایج حاصل از کاربرد رابطه‌های مشاهده‌ای (مزرعه‌ای) در مقایسه با دو مدل اشاره شده، همخوانی بسیار مطلوب‌تری را

نشان می‌دهد که به دلیل اختلاف در بافت سنگین خاک و زیادتر بودن شوری عصاره اشباع افقهای متفاوت نیمرخ خاکهای منطقه خوزستان بوده است.

پژوهشگران دیگر نظریه‌های مشابهی درباره کاربرد مدل‌های تجربی ریو (۱۹۵۷) و لافلر و شارما (۱۹۷۷) گزارش کردند. به‌حال با استفاده از هر کدام از رابطه‌های ۳۲-۴ و ۳۳-۴ می‌توان عمق آب موردنیاز آبشویی نمکهای محلول از نیمرخ خاکهای منطقه را به شرح زیر محاسبه یا برآورد کرد :

$$\frac{Dl_w}{D_s} = \frac{0/076}{\left[ \frac{EC_f - EC_{eq}}{EC_i - EC_{eq}} - 0/023 \right]} = 0/076 \left[ \frac{EC_f - EC_{eq}}{EC_i - EC_{eq}} - 0/023 \right]^{-1} \quad (34-4)$$

و یا

$$Dl_w = D_s \frac{0/076}{\left[ \frac{EC_f - EC_{eq}}{EC_i - EC_{eq}} - 0/023 \right]} = 0/076 D_s \left[ \frac{EC_f - EC_{eq}}{EC_i - EC_{eq}} - 0/023 \right]^{-1} \quad (35-4)$$

### ۳-۶-۶ مدل ورما و گوپتا<sup>۱</sup> (۱۹۸۹)

این پژوهشگران چگونگی آبشویی نوعی خاک سیاه<sup>۲</sup> را با دو روش آبشویی غرقاب دائم و متناوب و از طریق آزمایش‌های مزرعه‌ای مطالعه کردند. خاک مورد آزمون، دارای هدایت الکتریکی عصاره اشباع خاک اولیه ( $EC_i$ ) معادل ۲۴ دسی زیمنس بر متر ( $EC_i = 24$ ) تا عمق ۰/۶ متری بوده است، کل ارتفاع آب کاربردی ۰/۶ سانتی‌متر بوده که در حالت غرقاب متناوب با چهار تنابوب ۰/۱۵ متری به کار رفته است. آنها آبشویی قابل ملاحظه نمکهای محلول در نیمرخ خاکها را پس از نفوذ ۱/۵ میزان آب منفذی<sup>۳</sup> گزارش کردند. رابطه‌های تجربی حاصل برای دو روش آبشویی ذکر شده به شرح زیر بوده است :

#### الف) روش غرقاب دائم

(۳۶-۴)

$$[(EC_f - EC_{eq}) / (EC_i - EC_{eq})] = 0/099 (D_w / D_s)^{-1/27}$$

#### ب) روش غرقاب متناوب

$$[(EC_f - EC_{eq}) / (EC_i - EC_{eq})] = 0/09 (D_w / D_s)^{-1/63} \quad (37-4)$$

1 - Verma and Gupta.

2 - Black soil.

3 - Pore Volume

عوامل رابطه‌ها، همانند رابطه‌های قبل تعریف می‌شوند.

با بررسی روابط تجربی ارائه شده و با تعمق در مرجع مربوط ملاحظه می‌شود که حدود ۸۰ درصد نمکهای اولیه لایه ۵۰ سانتی‌متری نیمرخ خاک، پس از به کارگیری ۲۹ و ۳۰ سانتی‌متر آب آبشویی در روشهای آبشویی غرقاب دائم و غرقاب متناوب، از لایه مذکور آبشویی و خارج می‌شوند که مقادیر آب آبشویی ذکر شده  $1/5$  برابر مقدار آب منفذی است. این پژوهشگران اعلام کردند که در خاکهای رسی ریزدانه، مقادیر قابل ملاحظه‌ای از آب خاک در تحرک و جابه‌جایی نمکهای محلول در نیمرخ خاک کمتر مؤثر است. افزون بر این، همان‌گونه که از روابط تجربی بالا نیز استبطاط می‌شود، مزیت خاصی در روش آبشویی غرقاب متناوب نسبت به غرقاب دائم وجود ندارد. به‌حال، با به کار بردن رابطه‌های ۳۶-۴ و ۳۷-۴ می‌توان عمق آب مورد نیاز آبشویی نمکهای محلول از نیمرخ خاکهای مورد مطالعه را به شرح زیر محاسبه یا برآورد کرد:

### الف) روش غرقاب دائم

$$D_w = D_s \left[ 0/162 \left( \frac{EC_i - EC_{eq}}{EC_f - EC_{eq}} \right)^{0/787} \right] \quad (38-4)$$

### ب) روش غرقاب متناوب

$$D_w = D_s \left[ 0/228 \left( \frac{EC_i - EC_{eq}}{EC_f - EC_{eq}} \right)^{0/613} \right] \quad (39-4)$$

### ۷-۳-۴ مدل پنیرا و کشاورز<sup>۱</sup> (۱۹۹۱)

مطالعه‌های مربوط به تهیه و تدوین این مدل تجربی، در زمینهای شور و سدیمی بخش جنوب شرقی استان خوزستان از طریق آزمایش‌های مزرعه‌ای، برروی کرتاهای مدل<sup>۲</sup> (کرتاهای کنترل شده) انجام شده است. خاک منطقه مورد آزمون، دارای بافت لومی‌رسی تا رسی‌سیلتی بوده و براساس روش ردبهندی جامع خاک وزارت کشاورزی کشور آمریکا (USDA) تیپیک هاپلوسالید<sup>۳</sup> بوده است، مقادیر شوری اولیه ( $EC_i$ ) تا عمق ۱ متری  $46/5-38/2$  دسی‌زیمنس بر متر ( $EC_i = 46/5 - 38/2$ ) و روش آبشویی غرقاب متناوب با عمق آب کاربردی ۱۰۰ سانتی‌متر که در چهار تناوب  $25/0$  متری به مصرف رسیده است. رابطه تجربی حاصل به صورت زیر است:

$$\left[ (EC_f - EC_{eq}) / (EC_i - EC_{eq}) \right] = 0/0764 \left( \frac{Dl_w}{D_s} \right)^{-0/864} \quad (40-4)$$

1 - Pazira and Keshavarz

2 - Model plotes

3 - Typic Haplosalid

عوامل این رابطه، در رابطه‌های قبل تعریف شده است.

با به کارگیری رابطه بالا، مقایسه‌ای بین رقمهای نظری (محاسبه شده) و اعداد حاصل از آزمون مزرعه‌ای به عمل آمد که در آن مجموع مربع خطاهای (SSE) برابر با  $0/0433^0$  و ضریب همبستگی رقمهای مربوط به آن برابر  $0/882$  به دست آمد که در سطح ۱ درصد معنی‌دار است. افزون بر این، نتایج آزمایش‌های مزرعه‌ای و محاسبه شده از طریق مدل ریو (۱۹۵۷)، لافلر و شارما (۱۹۷۷) و پذیرا و کاوچی (۱۹۸۱) و مدل رابطه  $40-4$  با هم مقایسه شدند که نتایج حاصل مؤید همخوانی مطلوب و رضایت‌بخش مدل اخیر در مقایسه با مدل‌های ذکر شده بوده است. در نتیجه می‌توان اظهار داشت که رابطه اخیر، برآش مناسب و مطلوبی را به نتایج رقمهای شوری‌زدایی خاکهای سنگین بافت منطقه مورد مطالعه، داشته است.

با کمک رابطه  $40-4$  می‌توان عمق آب مورد نیاز آبشویی نمکهای محلول از نیمرخ خاکهای منطقه را به شرح زیر محاسبه و یا برآورد کرد :

$$\frac{Dl_w}{D_s} = \left[ 0/0764 \left( \frac{EC_i - EC_{eq}}{EC_f - EC_{eq}} \right)^{1/157} \right] = 0/051 \left( \frac{EC_i - EC_{eq}}{EC_f - EC_{eq}} \right)^{1/157} \quad (41-4)$$

$$Dl_w = D_s \left[ 0/051 \left( \frac{EC_i - EC_{eq}}{EC_f - EC_{eq}} \right)^{1/157} \right] \quad (42-4)$$

مؤسسه تحقیقات خاک و آب<sup>۱</sup> (۱۳۷۶) بر پایه آزمایش‌های آبشویی نمکهای محلول از نیمرخ خاکها و تهیه منحنیهای شوری و سدیم‌زدایی که در سالهای ۱۳۷۶-۱۳۵۱ (و به ویژه در سالهای ۱۳۷۵-۱۳۶۵) در مناطق مختلف کشور اجرا شده بود، ضمن گردآوری، تجزیه و تحلیل رقمهای و اطلاعات موجود، نتایج حاصل را برای کل کشور و به تفکیک برای ۱۴ استان مختلف در سال ۱۳۷۷ به صورت یک نشریه فنی منتشر کرده است.

تذکر: ممکن است در دیگر نقاط جهان و کشور، مدل‌های تجربی دیگری به دست آمده باشند که به دلیل عدم ارائه نتایج در مجامع علمی داخلی و خارجی و توجه کمتر پژوهشگران به آنها، امکان دستیابی و ارجاع به متون مکتوب نبوده است.

### ۴-۳-۱- بحث و نتیجه‌گیری از مبحث کاربرد مدل‌های تجربی آبشویی نمکها

مهمترین شکلهای ریاضی مرسوم و متداول برای بیان مدل‌های تجربی آبشویی نمکهای محلول از نیمرخ خاک به شرح زیر می‌باشند:

۱- مؤسسه تحقیقات خاک و آب، سازمان تحقیقات، آموزش و ترویج کشاورزی- وزارت کشاورزی  
1- Sum Square Error (SSE)

### - مدل‌های تجربی با شکل رابطه ریاضی تابع هذلولی<sup>۱</sup>

این گروه شامل بر مدل‌های تجربی ریو (۱۹۵۷)، لافلر و شارما (۱۹۷۷)، هافمن (۱۹۸۰)، پذیرا و کاوچی (۱۹۸۰) است.

### - مدل‌های تجربی یا شکل رابطه ریاضی تابع توانی<sup>۲</sup>

این دسته شامل مدل‌های تجربی ورما و گوبنا (۱۹۸۹)، پذیرا و کشاورز (۱۹۸۹) است.

### - مدل‌های تجربی با شکل رابطه ریاضی توابع نمایی<sup>۳</sup> یا نیم لگاریتمی<sup>۴</sup>

این گروه شامل مدل‌های تجربی -نظری دیلمان (۱۹۶۳) است.

بررسی شکل عمومی مدل‌های ارائه شده نشان می‌دهد که با اندک تغییری در شکل اولیه ضرایب و یا انجام بعضی تبدیلهای ساده، همه مدل‌های تجربی ارائه شده به دلیل سهولت اشتقاق و کاربرد، قابل تبدیل به رابطه‌ها خطی ساده‌ای هستند. بدیهی است که رسم منحنی‌های مربوط و یا کاربرد نتایج، نیاز به تغییر شکل رابطه به صورت اصلی (اولیه) دارد.

## ۴-۴ مدل‌های نظری آبشویی نمکهای محلول از نیمرخ خاکها

دهه ۱۹۹۰ را می‌توان دوره تدوین و پردازش مدل‌های نظری<sup>۵</sup> و کاربردی نامید.

مدل، مجموعه‌ای از رهنمودها، رابطه‌ها و یا برنامه‌های رایانه‌ای است که به منظور کمی کردن عملکرد یک سامانه با توجه به تابع هدف به کار گرفته می‌شود و از دیدگاه دیگر، مدل سامانه‌ای است شامل فرضیه‌ها، داده‌ها و دستاوردها، که چگونگی روابط درونی موجود بین اجزای سازنده را به زبان ریاضی بیان می‌دارد.

مدل‌های شبیه‌ساز (همانندساز) نیز مدل‌هایی هستند که با استفاده از آنها می‌توان اثرات پیوسته و متقابل فرایندهای حاکم در زمینه مسائل مورد نظر (در این مبحث موارد آب خاک و حرکت همزمان نمکها در نیمرخ خاک) بررسی کرد.

همان‌گونه که در مبحث ۳-۴ بیان شد برخلاف مدل‌های تجربی، در اشتقاق مدل‌های نظری شرایط و اهداف مورد نظر از پیش‌فرضهای فیزیکی و ریاضی ساده تا پیچیده‌ای در اشتقاق مدلها یا روابط نظری استفاده می‌شود و به همین دلیل، دامنه کاربرد آنها محدود نیست.

در روابط یا مدل‌های نظری، تغییرات مقدار عامل موردنظر (شوری خاک) به ازاء کاربرد مقادیر معین آب آبشویی با کیفیت مشخص، قابل محاسبه و پیش‌بینی است و بدین ترتیب در یک مدل مناسب می‌توان عملیات مدیریتی مختلفی را در امر آبشویی نمکهای محلول اعمال و نتایج حاصل را مقایسه و آنها را برای مطالعات بعدی و یا بررسی فرایندهایی که در ساختار مدل گنجانیده نشده‌اند، اعمال، اصلاح و یا تعديل کرد.

این مبحث به معرفی و تشریح تعدادی از مدل‌های معروف و کارآمد نظری آبشویی نمکهای محلول از نیمرخ خاکها که استفاده از آنها عمومیت بیشتری دارد، پرداخته است.

1 - Hyperbolic Function

2 - Power Function

3 - Exponential Function

4 - Semi Logarithmic Function

5 - Theoretical Models

### ۱-۴-۳ مدل مخزن منفرد<sup>۱</sup> (SR<sub>M</sub>)

ویرایش کامل این مدل و مخزن منفرد با مجرای فرعی<sup>۲</sup> بهوسیله وان در مولن<sup>۳</sup> (۱۹۷۹) ارائه شده است. در این مدل، خاک به عنوان مخزنی با حجم (V) فرض می‌شود که دارای میزان رطوبت یا محلول خاکی (فاز مایع) با غلظت اولیه  $C_0$  است. طی فرایند آبشویی، آب آبشویی با غلظت  $C_i$  به تدریج جایگزین محلول خاک می‌شود. در این جایگزینی، دو حالت کلی را می‌توان در نظر گرفته شوند.

- هیچ‌گونه اختلاطی بین آب آبشویی و محلول خاک صورت نگیرد و محلول خاک بهوسیله محلول جایگزین شونده (آب آبشویی) و با سرعت جریانی معادل  $Q$  (میزان جریان عبوری از مخزن) جایگزین شود که در این شرایط آن را جریان پیستونی<sup>۴</sup> نیز می‌نامند. در این نوع جریان، در زمان  $T$  ( $T=V/Q$ ) تمامی محلول خاک (مخزن) بهوسیله محلول جایگزین شونده یا آب آبشویی جایگزین می‌شود و غلظت زهاب خروجی از انتهای مخزن  $C_r$  به طور ناگهانی از  $C_r = C_0$  در زمان  $t_1 = t_0$  به  $t_2 = t_0 + T$  تغییر خواهد کرد که در آن  $T$  زمان توقف<sup>۵</sup> می‌باشد. از آنجا که آبشویی نمکهای محلول از محیط متخلخل<sup>۶</sup> خاک، طی فرایندهای پیچیده فیزیکی و شیمیایی به وجود می‌پیوندد و به دلیل تفاوت در اندازه خلل و فرج، سرعت جریان در خاک یکنواخت نیست. از این نظر جریان پیستونی در خاکها به ندرت اتفاق می‌افتد.

- طی فرایند جایگزینی محلول خاک با محلول جایگزین شونده (آب آبشویی)، اختلاط بین دو محلول در مخزن اتفاق می‌افتد که آنرا جایگزینی اختلاط پذیر می‌نامند در این شرایط نمکهای محلول خاک در اثر دو فرایند انتقال (انتشار) توده‌ای<sup>۷</sup> و پخشیدگی، حرکت همزمان یا جابه‌جایی دارند. با فرض اختلاط کامل بین محلول خاک و مایع جایگزین شونده (آب آبشویی) و ثابت بودن حجم مایع درون مخزن طی فرایند جایگزینی، رابطه بیلان نمکها را به صورت زیر می‌توان ارائه داد.

$$C_i \cdot Q \cdot dt = C_r \cdot Q \cdot dt + V \cdot dC \quad (۴۳-۴)$$

که در آن،  $C$  میانگین غلظت نمکهای محلول و موجود در مخزن،  $C_i$  غلظت نمکهای ورودی به مخزن (غلظت نمکهای موجود در آب آبشویی یا محلول جایگزین شونده)،  $C_r$  غلظت نمکهای خروجی از مخزن،  $t$  زمان (زمان آبشویی یا فرایند جایگزینی)،  $Q$  میزان جریان عبوری از سامانه (عبوری یا ورودی)،  $V$  حجم مخزن که بهوسیله مایع اشغال می‌شود. در بیلان ارائه شده براساس رابطه ۴-۴۳، فرض شده که واکنشهایی مانند تهشیینی و یا انحلال دوباره<sup>۸</sup> نمکها، رخ نمی‌دهد.

1 - Single Reservoir Model (SR<sub>M</sub>)

2 - Single Reservoir with Bypass Model (SRBM)

3 - Van Der Molen

4 - Piston Flow

5 - Time of Residence

6 - Porous Media

7 - Mass Transport

8 - Dissolution

با اختلاط یا امتصاص کامل محلول خاک با آب آبشویی، شرایط  $C_r = C$  فراهم می‌شود که با قرار دادن این تساوی در رابطه بالا نتایج زیر حاصل می‌شود:

$$C_i \cdot Q \cdot dt = C \cdot Q \cdot dt + V \cdot dC \quad (44-4)$$

$$\frac{dC}{(C - C_i)} = -\frac{Q}{V} \cdot dt \quad (45-4)$$

با انتگرال‌گیری از رابطه بالا برای حدود  $C = C_0$  در زمان  $t = 0$  و  $C_t$  در زمان  $t$  نتیجه می‌شود:

$$\frac{(C_t - C_i)}{(C_0 - C_i)} = e^{-\frac{Q}{V} \cdot t} \quad (45-4) - \text{مکرر}$$

به دلیل اینکه  $(T = V/Q)$  است بنابراین  $(1/T = Q/V)$  خواهد بود با جایگزینی این عبارت در رابطه ۴۵-۴ و حل آن برای  $C_t$  نتیجه می‌شود:

$$C_t = C_i + (C_0 - C_i) e^{-\frac{t}{T}} \quad (46-4)$$

که در آن،  $C_t$  غلظت نمک در جریان خروجی از مخزن (خاک) در زمان  $t$  است.  
چنانچه بتوان منطقه توسعه ریشه گیاه را نوعی مخزن با اختلاط کامل فرض کرد، در این صورت رابطه ۴۶-۴ را می‌توان برای حالت آبشویی محدوده توسعه ریشه گیاه به کار برد، بنابراین ملاحظه می‌شود که به دلیل عدم اختلاط کامل نمکهای موجود در محلول خاک و آب آبشویی، مدل ذکر شده نمی‌تواند بیانگر شرایط واقعی فرایند آبشویی نمکهای محلول و تغییرات غلظت نمکها در خاکها باشد.

#### ۲-۴-۳ مدل مخزن با مجرای فرعی (SRBM)

به دلیل اینکه اختلاط کامل بین آب استفاده شده و محلول خاک به طور عملی در خاکهای مورد آبشویی و یا آبیاری، نامحتمل به نظر می‌رسد، در نتیجه بخشی از آب آبشویی بدون اختلاط با محلول خاک، از درون خلل و فرج، درز و ترکهای موجود در خاک عبور کرده و به دلیل عدم اختلاط و امتصاص آنها با محلول خاک، در فرایند آبشویی نقش مؤثری ندارند. بدین ترتیب با در نظر گرفتن بخشی از آب آبشویی (به نسبت  $f$  که همان ضریب بازده آبشویی<sup>۱</sup> نمکهای محلول خاک است) که با محلول خاک اختلاط یافته و از محدوده توسعه ریشه گیاه (عمق موردنظر برای اصلاح و آبشویی خاک) عبور می‌کند، مدل مخزن منفرد با

مجرای (معبر) فرعی برای بیان دقیق‌تر فرایند آبشویی نمکهای محلول در نیمرخ خاکها تدوین و پیشنهاد شده است. حال با معرفی  $f$  به عنوان ضریب بازده آبشویی رابطه بیلان نمکها در این مدل را می‌توان به شرح زیر ارائه کرد:

$$\frac{dC}{(C - C_i)} = -\frac{f \cdot Q}{V} \cdot dt \quad (47-4)$$

حل رابطه ۴۷-۴ با انتگرال‌گیری از رابطه برای حدود  $C = C_t$  در زمان  $t = 0$  و  $C = C_i$  در زمان  $t = t$  به صورت زیر است :

$$C_t = C_i + (C_0 - C_i) e^{-\frac{f \cdot t}{T}} \quad (48-4)$$

که در آن،  $f$  ضریب بازده آبشویی (بدون بعد) و  $C_t$  غلظت نمک در جریان خروجی از مخزن (خاک) در زمان  $t$  و دیگر عوامل قبلًا تعریف شده‌اند. در رابطه ۴۸-۴، هرگاه  $C_i = 0$  فرض شود رابطه به شکل ساده زیر در می‌آید :

$$C_t = C_0 e^{-\frac{f \cdot t}{T}} \quad (49-4)$$

لازم به تذکر است که در مطالعات شوری‌زدایی خاکها (آبشویی نمکهای محلول) از مدل مخزن منفرد با مجرای فرعی به عنوان مبنای بررسیهای بیلان نمکها، استفاده می‌شود، همچنین بخشی از آب آبشویی و یا ورودی به مخزن، به میزان  $(1-f)$  با غلظتی معادل آب آبشویی ( $C_i$ ) و بدون داشتن نقش مؤثر در آبشویی، از مجاری یا معابر فرعی سامانه خاک عبور می‌کنند.

### ۳-۴ مدل سری مخازن<sup>1</sup> (SRM)

مبانی نظری این مدل توسط وان در مولن (۱۹۷۳) مطرح گردید و همان‌گونه که اشاره شد ویرایش کامل این مدلها را در سال ۱۹۷۹ ارائه داد.

بررسی دقیق فرایند آبشویی نمکهای محلول در محیط متخلخل و ناهمگن خاک، بیانگر این است که اختلاط و امتصاص کامل بین محلول خاک (فاز مایع) و آب آبشویی در لایه‌های مختلف نیمرخ خاک به‌طور عملی دور از واقعیت‌های علمی است بنابراین عمق مؤثر اختلاط مایع جایگزین شونده (آب) با محلول جایگزین شده (محلول خاک)، دارای محدودیتهایی است. برای لحاظ کردن دامنه این محدودیتها در محاسبات مربوط و تعدیل نتایج حاصل به‌گونه‌ای که با مشاهدات واقعی همخوانی مناسبی داشته باشد، مدل نظری سری مخازن توسعه و تکامل یافته است.

در این مدل، محدوده توسعه ریشه گیاه به چهار لایه متواالی (به طور ترجیحی هر لایه به ضخامت ۲۵ سانتی‌متر) تقسیم‌بندی شده و هر لایه به عنوان یک مخزن در نظر گرفته می‌شود. به گونه‌ای که در مخزن نخست، آن بخش از آب آبشویی که به مخزن وارد می‌شود، با محلول موجود در آن اختلاط یافته و در نتیجه فرایند آبشویی نمکها صورت می‌گیرد. زه‌آب (تراوشاهای عمقی) خروجی از مخزن نخست، به عنوان آب آبشویی ورودی به مخزن دوم به‌شمار می‌رود، بدین ترتیب هر مخزن (لایه خاک) آب آبشویی را از لایه یا مخزن بالایی دریافت می‌کند. تکرار این امر، باعث می‌شود به تدریج از میزان آب آبشویی کاهش و بالعکس غلظت نمکهای محلول آن افزایش یابد.

در این مدل، همچنین فرض می‌شود که حرکت همزمان آب و نمک در هر مخزن از حد رطوبتی ظرفیت زراعی (FC) به بعد شروع شده و حجم آب درون هر لایه طی فرایندهای اتحلال و آبشویی نمک ثابت می‌ماند. با در نظر گرفتن ضریب بازده آبشویی ( $f$ )، می‌توان رابطه بیلان نمک را برای لایه نخست به شرح زیر ارائه کرد.

$$C_r = f \cdot C + (1-f) C_i \quad (50-4)$$

که عوامل رابطه قبل‌اً تعریف شده‌اند.

تعمق در اجزای رابطه ۴۹-۴ نشان می‌دهد که بخشی از عمق آب به کاررفته (به نسبت  $f$ ) با محلول خاک اختلاط یافته و از منطقه توسعه ریشه خارج می‌شود و بخش دیگری ( $1-f$ ) که غلظت آن برابر غلظت آب آبیاری ( $C_i$ ) است، از درون خلل و فرج و درز و ترکهای سامانه خاک عبور کرده و بدون اختلاط با محلول خاک از مسیر یا مجاری فرعی می‌گذرد. با یادآوری رابطه ۴۷-۴ که به صورت زیر است :

$$\frac{dC}{(C - C_i)} = -f \left(\frac{Q}{V}\right) dt$$

و حل این رابطه در شرایط انتگرال‌گیری  $C = C_i + (C_0 - C_i)e^{-\frac{f \cdot t}{T}}$  در زمان  $t = 0$  و  $C = C_i$  برای لایه اول، به شرح زیر به دست می‌آید:

$$C_I = C_i + (C_0 - C_i) e^{-\frac{f \cdot t}{T}} \quad (51-4)$$

که در آن،  $C_I$  غلظت نمکهای خروجی از لایه یا مخزن اول (غلظت نمکهای محلول مخزن نخست پس از آبشویی) که به مخزن یا لایه دوم وارد می‌شود،  $T$  زمان توقف در لایه نخست و دیگر عوامل قبل‌اً تعریف شده‌اند.

با استفاده از اصل انطباق بر روی هم (توالی لایه‌ها) و استفاده از روش مشابه‌ای می‌توان میزان غلظت جریان خروجی (ژه‌آب یا تراوشهای عمقی) از لایه‌های دوم، سوم و چهارم را به دست آورد. بنابراین غلظت نمکهای محلول در لایه آخر ( $n$ ) با رابطه کلی زیر قابل محاسبه یا برآورده است:

$$C_N = C_i + (C_o - C_i) e^{-\frac{f \cdot t}{T}} \sum_{n=0}^{N-1} \left[ 1 + \frac{f^n \cdot t^n}{n! T^n} \right] \quad (52-4)$$

$$n! = 1 \times 2 \times 3 \times \dots \times n$$

در رابطه بالا، فرض شده که غلظت اولیه نمکها در همه لایه‌های خاک یکسان است (توزیع یا پراکنش یکنواخت شوری در لایه‌های مختلف نیمرخ خاک). بنابراین هرگاه غلظت اولیه نمکها ( $C_o$ ) در لایه‌های مختلف نیمرخ خاک متفاوت باشد (توزیع یا پراکنش غیریکنواخت شوری در لایه‌های مختلف نیمرخ خاک) باید به جای  $C_o$  از  $C$  مربوط به هر لایه استفاده شود. یعنی:

$$C_N = C_i + e^{-\frac{f \cdot t}{T}} [(C_o^I - C_i) \frac{(f \cdot t)^{N-1}}{(N-1)! T^{N-1}} + (C_o^{II} - C_f^I) \frac{(f \cdot t)^{N-2}}{(N-2)! T^{N-2}} + \dots + (C_o^N - C_f^{N-1})] \quad (53-4)$$

که در آن،  $C_o^I$  و  $C_o^{II}$  و ...  $C_o^N$  به ترتیب غلظت اولیه نمکهای محلول لایه‌های اول، دوم و ...  $n$ ام و  $C_f^I$  و ...  $C_f^{N-1}$  نیز به ترتیب غلظت نهایی نمکها در لایه‌های اول، دوم و ... پیش از آخر است. بعضی پژوهشگران رابطه زیر را برای تعیین مقدار ( $t/T$ ) در رابطه‌های بالا، پیشنهاد می‌کنند:

$$\frac{t}{T} = \frac{D_w}{\theta_{fc} \cdot D_s} \quad (54-4)$$

که در آن  $D_w$  عمق آب استفاده شده آبشویی،  $D_s$  عمق خاک و  $\theta_{fc}$  رطوبت حجمی خاک در حد ظرفیت مزرعه است. عوامل به کار رفته به ترتیب بر حسب میلی‌متر، میلی‌متر (یا متر) و میلی‌متر آب در متر عمق خاک می‌باشند. برای تعیین میزان ضریب بازده آبشویی با در نظر گرفتن خاک به صورت یک مخزن منفرد با مجرای فرعی، از رابطه زیر استفاده می‌شود.

$$f = \frac{\theta_{fc}}{Qt} \ln \frac{C_o - C_i}{C_f - C_i} = \frac{V}{Q \cdot t} \ln \frac{C_o - C_i}{C_f - C_i} \quad (55-4)$$

در رابطه بالا  $C_o$  و  $C_f$  به ترتیب غلظت اولیه و نهایی نمکهای محلول خاک قبل و بعد از آبشویی،  $C_i$  غلظت نمکهای آب آبشویی ورودی به هر لایه،  $\theta_{fc}$  میزان رطوبت ذخیره شده در خاک تا رسیدن به حد ظرفیت زراعی و  $V$  حجم مخزن موردنظر است.

توجه: غلظت نمکها را در رابطه های بیان شده، می توان بر حسب میلی گرم بر لیتر، یا میلی اکی والان بر لیتر و یا دسی زیمنس بر متر بیان کرد.  $Qt$  معادل عمق آب آبشویی (میلی متر یا سانتی متر حسب مورد) است.

### ۴-۳-۴ مدل نظری ستون پیوسته خاک<sup>۱</sup> (TPTM)

در این مدل، نیمرخ خاک به صورت ستون پیوسته ای<sup>۲</sup> در نظر گرفته می شود که اختلاط آب آبشویی (محلول جایگزین شونده) و محلول خاک در هر عمقی از آن می تواند صورت گیرد. بنابراین دامنه اختلاف مؤثر، محدود است. گلوچکف<sup>۳</sup> (۱۹۴۹) نظریه ای را ارائه داد که با استفاده از آن می توان رفتار چنین ستونی را رابطه بندی کرد. تطبیق و کاربرد این نظریه برای فرایند آبشویی نمکهای محلول از نیمرخ خاک، منجر به رابطه زیر شده است.

$$\left[ \frac{\partial q}{\partial v} \right]_{D_s} + \left[ \frac{\partial C}{\partial D_s} \right]_V - K \left[ \frac{\partial^2 C}{\partial D_s^2} \right]_V = 0 \quad (56-4)$$

که در آن،  $q$  میزان بونهای جذب شده به وسیله ذرات خاک و در حالت تعادل با محلولی به غلظت  $C$  است؛  $D_s$  عمق خاک (از سطح خاک)،  $K$  نصف طول مؤثری که فرایند اختلاط در آن انجام می شود. حل رابطه ۴-۷۶ برای تشریح فرایند آبشویی (شوری زدایی) نمکهای محلول از نیمرخ خاک همگن به صورت زیر است:

$$C - C_i = \frac{(C_o - C_i)}{2} \left[ \operatorname{erfc} \frac{f.P - 1}{\sqrt{2f.P}} \sqrt{N} - e^{2N} \cdot \operatorname{erfc} \frac{f.P + 1}{\sqrt{2f.P}} \sqrt{N} \right] \quad (57-4)$$

که در آن :

$$P = D_w / \theta_{fc} \cdot D_s$$

$$N = D_s / 2K$$

عمق خالص آب استفاده شده (آبشویی)،  $\theta_{fc}$  میزان رطوبت حجمی خاک در حد ظرفیت مزرعه،  $\operatorname{erfc}$  متمم تابع خطای<sup>۴</sup> و عوامل دیگر، قیلاً تعریف شده اند.

1 - Theoretical Plate Thickness Model (TPTM)

2 - Continuos Column

3 - Glueckauf

4 - Error Function Compliment

### ۴-۵ مدل انتقال-انتشار<sup>۱</sup> (پراکنش) هیدرودینامیکی (CDM)

نیلسون و بیگار<sup>۲</sup> (۱۹۶۲) را حلی برای رابطه دیفرانسیلی که در ابتدا به وسیله لاپیدوس و اموندсон<sup>۳</sup> (۱۹۵۲) مطرح شده بود، ارائه دادند که با استفاده از آن، امکان بیان اختلاط هر دو عامل مؤثر در آن، یعنی سرعت جريان (انتقال) و اثر پخشیدگی فراهم می‌شود.

در تجربه مشاهده شد که با سرعت میانگین  $V$  و ثابت بودن ضریب مشخص پخشیدگی  $D$ ، امکان بیان فرایند آبشویی نمکها (شوری زدایی) از ستون خاک فراهم است.

به‌هرحال، اقدامهای قابل توجهی برای بیان ریاضی فرایند جایگزینی اختلاط‌پذیر و حل رابطه دیفرانسیلی پیشنهادی که در آن تلفیق پدیده‌های پخشیدگی و انتشار (پراکنش) در نقل و انتقال نمکهای محلول در نیمرخ خاک به‌کار گرفته شده است، انجام شده که با توجه به آنچه در مقدمه همین مبحث به آن اشاره شد، راه حل تحلیلی برای رابطه یک بعدی اختلاط آب و نمک در خاک همگن را می‌توان به صورت زیر ارائه کرد.

$$\frac{\partial C}{\partial t} = D \frac{\partial^2 C}{\partial D_s^2} - V \frac{\partial C}{\partial D_s} \quad (58-4)$$

که در آن،  $D$  ضریب پخشیدگی،  $V$  سرعت میانگین جريان،  $D_s$  عمق خاک،  $C$  غلظت نمکهای محلول و  $t$  زمان است.  
با رعایت شرایط مرزی<sup>۴</sup> زیر:

### - حدود شرایط مرزی

$$\begin{array}{lll} C = C_1 & D_s > 0 & t = 0 \\ C = C_\infty & D_s = 0 & t > 0 \\ C = C_i & D_s \rightarrow \infty & t > 0 \end{array}$$

- با حل رابطه اصلی، و اعمال فرض همگام بودن جريان و فرایند جایگزینی اختلاط‌پذیر رابطه بالا را می‌توان به صورت زیر ارائه داد:

$$\frac{\partial^2 C}{\partial D_s^2} - \frac{V}{D} \frac{\partial C}{\partial D_s} - \frac{1}{D} \frac{\partial C}{\partial t} = 0 \quad (59-4)$$

1 - Convection Dispersion Model (CDM)

2 - Nielsen and Biggar

3 - Lapidus and Amundson

4 - Boundary Condition (BC)

با جایگزینی  $x = s$  رابطه به صورت زیر در می آید :

$$\left( \frac{\partial^2 C}{\partial x^2} - \frac{V}{D} \frac{\partial C}{\partial x} - \frac{1}{D} \frac{\partial C}{\partial t} \right) = 0 \quad (60-4)$$

با استفاده از تبدیل لاپلاس<sup>۱</sup> رابطه ۶۰-۴ را می توان به شکل زیر ارائه کرد:

$$\frac{d^2 J_x, s}{dx^2} - \frac{V}{D} \frac{dJ_x, s}{dx} - \frac{S}{D} J_x, s = 0 \quad (61-4)$$

$$J_x, s = e^{mx} \quad (62-4)$$

$$\frac{d^2 J_x, s}{dx^2} = \frac{d^2 e^{mx}}{dx^2} = m^2 e^{mx} \quad (63-4)$$

$$\frac{d J_x, s}{dx} = \frac{de^{mx}}{dx} = m e^{mx} \quad (64-4)$$

با جایگزینی تساویهای مندرج در رابطه های ۶۲-۴، ۶۳-۴ و ۶۴-۴ در رابطه ۶۱-۴ نتیجه به شرح زیر است:

$$m^2 e^{mx} - \frac{V}{D} m e^{mx} - \frac{S}{D} e^{mx} = 0 \quad (65-4)$$

و یا :

$$\left[ m^2 - \frac{V}{D} m - \frac{S}{D} \right] e^{mx} = 0 \quad (66-4)$$

که در آن :

$$e^{mx} \neq 0 \quad (67-4)$$

$$m^2 - \frac{V}{D} m - \frac{S}{D} = 0 \quad (68-4)$$

با استفاده از دستور گرامر حل رابطه درجه دوم ۶۵-۴ به صورت زیر است:

$$m = \frac{\frac{V}{D} \pm \sqrt{\frac{V^2}{D^2} + \frac{4S}{D}}}{2} \quad (69-4)$$

در نتیجه :

$$j_{x,s} = Ae^{m_1 x} + Be^{m_2 x} \quad (70-4)$$

از آنجاکه :

$$L[Cx, t] = L(C_0) = \frac{C_0}{S} \quad \text{برای } x = 0 \quad (71-4)$$

$$\lim_{\substack{x \rightarrow \infty \\ x \rightarrow \infty}} L[Cx, t] = \lim_{\substack{x \rightarrow \infty \\ x \rightarrow \infty}} L(0) = 0 \quad (72-4)$$

با توجه به رابطه های ۷۱-۴ و ۷۲-۴ می توان نتیجه گرفت که :

$$A = 0 \quad \text{و} \quad A + B = \frac{C_0}{S}$$

بنابراین :

$$J_{x,s} = \frac{C_0}{S} \left[ e^{-\frac{V}{2D}x - \frac{x}{2}(\frac{V^2}{D^2} + \frac{4S}{D})^{1/2}} \right] \quad (73-4)$$

با استفاده از تبدیل معکوس لاپلاس<sup>۱</sup> می توان نوشت :

$$C_{x,t} = \frac{1}{2} C_0 \left[ \operatorname{erfc} \frac{x-Vt}{2\sqrt{Dt}} + e^{\frac{Vx}{D}} \operatorname{erfc} \frac{x+Vt}{2\sqrt{Dt}} \right] \quad (74-4)$$

با جایگزینی  $D_s = x$  در رابطه قبلی، نتیجه به صورت زیر در می‌آید:

$$C = \frac{1}{2} C_o \left[ \operatorname{erfc} \left[ \frac{D_s - V \cdot t}{\sqrt{4D \cdot t}} \right] + \exp \left[ \frac{V \cdot D_s}{D} \right] \cdot \operatorname{erfc} \left[ \frac{D_s + V \cdot t}{\sqrt{4D \cdot t}} \right] \right] \quad (75-4)$$

رابطه بالا در نوشهای بسیاری از پژوهشگران با در نظر گرفتن واژه ( $C_i$ ) به صورت‌های زیر نیز ارائه شده است:

$$\frac{C}{C_o} = \frac{1}{2} \left[ \operatorname{erfc} \left[ \frac{D_s - V \cdot t}{\sqrt{4D \cdot t}} \right] + \exp \left[ \frac{V \cdot D_s}{D} \right] \cdot \operatorname{erfc} \left[ \frac{D_s + V \cdot t}{\sqrt{4D \cdot t}} \right] \right] \quad (76-4)$$

$$\frac{C - C_i}{C_o - C_i} = \frac{1}{2} \left[ \operatorname{erfc} \left[ \frac{D_s - V \cdot t}{\sqrt{4D \cdot t}} \right] + \exp \left[ \frac{V \cdot D_s}{D} \right] \cdot \operatorname{erfc} \left[ \frac{D_s + V \cdot t}{\sqrt{4D \cdot t}} \right] \right] \quad (77-4)$$

با پژوهش‌های انجام شده بیگار و نیلسون<sup>۱</sup> (۱۹۷۶)، رابطه بین ضریب ظاهری پخشیدگی  $D$  و میانگین سرعت منفذی  $V$  که در مدل انتقال-انتشار، کاربرد دارند، معین شد. نتایج این مطالعات، نشان داد که پخشیدگی ظاهری به طور تقریبی با میانگین میزان سرعت جریان  $V$  ارتباط دارد و برای تعیین ضریب پخشیدگی، رابطه تجربی زیر سودمند و کاربردی است.

$$D = 0.6 + 2.93 V^{1/11} \quad (78-4)$$

#### ۴-۶-۶ مدل تابع انتقال<sup>۳</sup> (TFM)

این مدل که توسط جوری<sup>۴</sup> (۱۹۸۲) توسعه داده شد برای پیش‌بینی چگونگی حرکت نمک‌های محلول خاک در منطقه توسعه ریشه گیاه ارائه گردیده، در این مدل فرض می‌شود که انتقال نمک‌ها در خاک، تابع استوکستیک<sup>۵</sup> (تصادفی) از زمان و یا تابع آب آبشویی کاربردی است. در این مدل حرکت نمک‌ها در محیط غیراشباع خاک تابع چگالی احتمالی<sup>۶</sup> نسبت به زمان فرض شده است. بنابراین، میزان غلظت یک نمک غیرواکنش‌گر<sup>۷</sup> در عمق  $D_s = R$ ، پس از زمان کوتاه  $dt$  تقریباً برابر با  $F_R(t)$  خواهد بود. با استفاده از اصل انطباق و برای یک مقدار فرضی نمک کاربردی در سطح خاک ( $D_s = 0$ )، میزان تراکم نمک‌ها در عمق  $D_s = R$ ، از طریق رابطه زیر به دست می‌آید.

$$C(R, t) = \int_0^\infty C_{in}(t - \bar{t}) \cdot F_R(\bar{t}) d\bar{t} \quad (79-4)$$

1 - Biggar and Nielsen

2 - Average Pore Velocity

3 - Transfer Function Model (TFM)

4 - Jury

5 - Stochastic Function

6 - Probability Density Function

7 - Nonreactive

که در آن،  $C_{in}$  میزان غلظت نمکها در آب آبشویی است که به سطح خاک ( $D_s = 0$ ) افزوده می‌شود.  $\bar{t}$  زمان لازم برای رسیدن نمکها به عمق معین از نیمرخ خاک ( $D_s = R$ ) به  $F_R(\bar{t})$  تابع چگالی احتمال است. با گسترش این مدل، می‌توان تابع چگالی احتمال را به صورت توزیع لوگ نرمال<sup>۱</sup> بیان کرد. در شرایطی که جریان آب آبشویی در نیمرخ خاک تقریباً حالت ماندگار<sup>۲</sup> فرض شود، می‌توان بهجای ( $t$ ) از حجم آب کاربردی در واحد سطح  $D_w$  استفاده کرد و با اعمال فرضهای بیان شده در تابع چگالی احتمال، نتیجه‌ای به شرح زیر است :

$$F_R(D_w) = \left[ \sqrt{2\pi} \cdot \sigma \cdot D_w \right]^{-t} \cdot \exp \left[ \frac{(\ln D_w - \mu)^2}{2\sigma^2} \right] \quad (80-4)$$

که در آن،  $\sigma$  و  $\mu$  به ترتیب واریانس<sup>۳</sup> و میانگین<sup>۴</sup> است. برای حل تحلیلی رابطه‌های ۷۹-۴ و ۸۰-۴ روش‌های مختلفی ارائه شده است. برای شرایط مرزی زیر :

|                     |                        |
|---------------------|------------------------|
| $C_{in}(D_w) = 0$   | $D_w < 0$              |
| $C_{in}(D_w) = C_0$ | $0 < D_w < \Delta D_w$ |
| $C_{in}(D_w) = 0$   | $D_w > \Delta D_w$     |

راه حل رابطه ۷۹-۴ به صورت زیر جمع‌بندی شده است :

$$C(D_s, D_w) = \frac{C_0}{2} \left\{ \operatorname{erf} \left[ \frac{\ln(D_w \cdot R \cdot D_s) - \mu}{\sqrt{2} \cdot \sigma} \right] - \operatorname{erf} \left[ \frac{\ln(D_w - \Delta D_w) \cdot R \cdot D_s - \mu}{\sqrt{2} \cdot \sigma} \right] \right\} \quad (81-4)$$

که در آن،  $\operatorname{erf}$  تابع خطای است و عوامل دیگر قبلاً تعریف شده‌اند. در پژوهش‌های انجام شده توسط جوری و اسپوزیتو<sup>۵</sup> (۱۹۸۵)، روابط بین پارامترهای به کاررفته در مدل تابع لوگ نرمال، یعنی  $\mu$  و  $\sigma$  و پارامترهای به کاررفته در مدل انتقال-انتشار یعنی  $D$  و  $V$  مشخص شده است. به گونه‌ای که  $\mu$  و  $\sigma$  تقریباً مرتبط با  $D$  و  $V$  و به شرح زیر است:

$$\sigma^2 = \ln(D_{s2}/D_{s1}^2) \quad (82-4)$$

$$\mu = 2\sigma^2 - \frac{\ln(D_{s2}/R^2 \cdot t^2)}{2} \quad (83-4)$$

1 - Lognormal Function

2 - Steady State

3 - Variance

4 - Mean

5 - Jury and Sposito

در رابطه‌های بیان شده عبارات به کاررفته به صورت زیر تعریف شده‌اند :

$$D_{s1} = (D / V) + V \cdot t \quad (84-4)$$

$$D_{s2} = 4D \cdot t + V^2 \cdot t^2 \quad (85-4)$$

#### ۷-۴-۴ مدل حل عددی (NM)

مدل حل عددی، مدل ساده‌شده‌ای از رابطه بیلان نمکها است. در این مدل، نیمرخ خاک شامل چند لایه (مخزن) جداگانه لیکن متوالی در نظر گرفته می‌شود. به گونه‌ای که هرگاه مقدار آب به کاررفته معادل  $a$  (سانتی‌متر یا میلی‌متر) با غلظت نمک محلول معادل  $EC_i$  (بر حسب دسی زیمنس بر متر)، به لایه (مخزن) اول وارد شود، که در آن قبلاً  $b$  (سانتی‌متر یا میلی‌متر) محلول خاک (رطوبت) با میزان هدایت الکتریکی یا غلظتی برابر  $EC_{01}$  وجود داشته باشد؛ بدین ترتیب می‌توان نوشت :

$$a \cdot EC_i + b \cdot EC_{01} = (a + b) EC_1 \quad (86-4)$$

و یا

$$EC_1 = \frac{a \cdot EC_i + b \cdot EC_{01}}{(a + b)} \quad (87-4)$$

که در آن،  $EC_1$  هدایت الکتریکی (شوری) محلول حاصل از اختلاط محلول خاک با آب به کاررفته در لایه (مخزن) اول است. بازده آبشویی نمکهای محلول (درصدی از آب به کاررفته که با آب خاک اختلاط می‌یابد) در این حالت برابر واحد فرض شده است، هرگاه افزون بر  $a$ ،  $c$  سانتی‌متر یا میلی‌متر از آب (رطوبت) در لایه اول نگهداری شود، بنابراین مقدار  $(a-c)$  سانتی‌متر یا میلی‌متر به صورت تراوشهای عمقی به دومین لایه نفوذ می‌کند که میزان شوری (هدایت الکتریکی تراوشهای عمقی و نفوذ یافته به دومین لایه) برابر  $EC_1$  خواهد بود. در شرایطی که  $d$  سانتی‌متر یا میلی‌متر محلول خاک با میزان هدایت الکتریکی معادل  $EC_{01}$  قبلاً در آن لایه وجود داشته باشد، رابطه زیر را می‌توان ارائه داد.

$$(a - c) EC_1 + d EC_{02} = (a - c + d) EC_2 \quad (88-4)$$

$$EC_2 = \frac{(a - c) EC_1 + b EC_{02}}{(a - c + d)} \quad (89-4)$$

که در آن  $EC_2$  هدایت الکتریکی یا شوری حاصل در لایه دوم (مخزن دوم) است، این محاسبات را می‌توان برای لایه‌های دیگر نیز تعمیم داد. به همین ترتیب، مقادیر متفاوت ضریب بازده آبشویی ( $f$ ) را می‌توان به لایه‌های مختلف نسبت داد. در شرایطی که  $f_1$  و  $f_2$  به ترتیب بازده آبشویی لایه‌های اول و دوم باشند رابطه‌های ۸۷-۴ و ۸۹-۴ را می‌توان به شرح زیر ارائه کرد:

$$f_1 \cdot a \cdot EC_i + b \cdot EC_{0,1} = (f_1 \cdot a + b) \cdot EC_1 \quad (90-4)$$

و

$$f_2 \cdot (a - c) \cdot EC_1 + d \cdot EC_{0,2} = [f_2 \cdot (a - c) + d] \cdot EC_2 \quad (91-4)$$

با فرض اینکه جرم مخصوص ظاهری و میزان رطوبت همه لایه‌های نیمرخ خاک بدون تغییر باشند، رابطه بالا را می‌توان برای فرایند شوری‌زدایی (آبشویی نمکهای محلول از نیمرخ خاک) که شامل  $n$  لایه کاملاً مخلوط‌شونده و متوالی باشند، به شرح زیر ارائه داد:

$$EC_N = EC_i + (EC_o - EC_i) e^{\frac{-f \cdot t}{T}} \cdot \sum_{n=0}^{N} \frac{f^n \cdot t^n}{n! \cdot T^n} \quad (92-4)$$

که در آن  $EC_N$  هدایت الکتریکی محلول خاک در لایه یا مخزن  $n$  ام خاک،  $EC_i$  و  $EC_o$  به ترتیب هدایت الکتریکی آب آبیاری (آبشویی) و اولیه محلول مخزن نخست بر حسب دسی‌زیمنس بر متر می‌باشند،  $f$  ضریب بازده آبشویی نمکهای محلول در نیمرخ خاک،  $t$  زمان و  $T$  نسبت حجم مخزن به سرعت جریان (شدت جریان یا  $Q/V$ ) که در آن محلول خاک جایگزین می‌شود (زمان توقف)، به گونه‌ای که ملاحظه می‌شود در این روش (مدل) دقت محاسبات به انتخاب مقدار آب آبشویی ورودی (a) بستگی خواهد داشت. در شرایطی که مقدار آن کوچک انتخاب شود، محاسبات مربوط به تعیین غلظت مخازن (لایه‌ها) با دقت مناسب و مطلوب انجام خواهد شد.

نتایج حاصل از به کارگیری رابطه ۹۲-۴، تقریباً مشابه نتایجی است که با به کارگیری نظریه عملیات ستونی<sup>۱</sup> کلوجکف (۱۹۴۹)، به دست آمده است.

تذکر: ضخامت لایه‌های فرضی و تعریف شده در مدل، مشخص کننده تعداد و ضخامت لایه‌ها (مخازن) در نیمرخ خاک (ستون) است که در این مدل، معمولاً ضخامت لایه‌ها ( $D_z$ )، ۲۰ سانتی‌متر در نظر گرفته می‌شود.

امروزه روش‌های حل عددی که با استفاده از رایانه‌های پیشرفته انجام می‌شود، قادر است رابطه‌های نمایی پیچیده را با وارد کردن تغییرات پارامترهای مربوط با دقت زیادی حل کند. دقت محاسبات به مقدار تغییرات (گام محاسبات<sup>۲</sup>) بستگی دارد.

#### ۴-۱-۳-۱- بحث و نتیجه گیری از مبحث کاربردی مدل‌های نظری آبشویی نمکها

با استفاده از مدل‌های نظری آبشویی نمکهای محلول از نیمرخ خاکها که در تعديل و تکامل آنها، ضریب بازده آبشویی ( $f$ ) منظور شده، می‌توان با انتخاب مقدار ضریب ( $f$ ) مورد نظر و انجام محاسبات لازم، در نهایت بهارای مقادیر مختلف (عمق) آب آبشویی، غلظت نمکهای محلول لایه‌های متفاوت را پس از استفاده از آب آبشویی، برآورد کرد و با استفاده از آنها منحنی آبشویی

(شوری زدایی) نظری خاک<sup>۱</sup> را رسم کرد. به همان‌گونه که گفته شد، تهیه و رسم منحنی شوری زدایی (آبشویی) حقیقی خاک<sup>۲</sup> از راه آزمایش‌های مزرعه‌ای امکان‌پذیر است. انطباق نسبی منحنیهای آبشویی واقعی و نظری خاک، می‌تواند بیانگر انتخاب مناسب مقدار ضریب بازده آبشویی (f) به کار گرفته شده در مدلها و محاسبات، همچنین تناسب مدل به کار رفته با شرایط طبیعی خاک باشد. بدین ترتیب مقایسه همخوانی و انطباق منحنی آبشویی واقعی خاک و منحنیهای آبشویی نظری که به‌ازای مقادیر متفاوت (f) حاصل شده، می‌تواند روشی مناسب برای برآورد ضریب بازده آبشویی خاکها باشد. افون بر این، روش‌های دیگری برای برآورد تقریبی ضریب بازده‌های آبشویی خاکها وجود دارد که در برنامه‌های اجرایی می‌توان از آنها استفاده کرد. برای مثال با استفاده از رابطه زیر، می‌توان ضریب بازده آبشویی را با دقت تقریبی به‌دست آورد:

$$EC_{eq} = \frac{r \cdot EC_w}{f} \quad (93-4)$$

که در آن، f ضریب بازده آبشویی، EC<sub>eq</sub> هدایت الکتریکی عصاره اشباع خاک که با آب آبشویی به تعادل شیمیایی رسیده باشد، EC<sub>w</sub> هدایت الکتریکی آب استفاده شده آبشویی است.

$$r = \frac{D_w}{D_p} \quad (94-4)$$

در رابطه بالا، D<sub>w</sub> مقدار آب آبشویی به‌کاررفته، D<sub>p</sub> مقدار آب نفوذ یافته (زهکشی) که به‌صورت تراوشهای عمقی از لایه مورد نظر خارج شده است.

هرگاه مقدار شوری تعادلی EC<sub>eq</sub> مربوط به لایه ۰ تا ۵ سانتی‌متری اولیه نیمرخ خاک و پس از نفوذ تمامی میزان آب آبشویی (D<sub>w</sub>) باشد، می‌توان D<sub>w</sub> = D<sub>p</sub> را منظور کرد که در نتیجه آن رابطه ۹۳-۴ به‌صورت ساده زیر به‌دست می‌آید:

$$f = \frac{EC_w}{EC_{eq}} \quad (95-4)$$

همان‌گونه که بیان شد استفاده از رابطه‌های بالا، ضریب بازده آبشویی را با دقت تقریبی به‌دست می‌دهد. بنابراین در صورتی که مقدار دقیق f موردنظر باشد، استفاده از رابطه‌های مربوط به مدل‌های نظری آبشویی نمکهای محلول از نیمرخ خاک توصیه می‌شود.

## پیوست ۱

### روش اجرای آزمایشها، پردازش داده‌ها و شیوه نتیجه‌گیری از رقمها و اعداد حاصل از اجرای آزمونهای آبشویی خاکهای شور و سدیمی

#### - ۱ - کلیات

همان‌گونه که در فصلهای قبل بیان شد، اصول اصلاح و بهسازی فیزیکو-شیمیایی خاکهای مبتلا به مشکلات شوری و سدیمی، شامل موارد زیر است :

- (الف) آبشویی نمکهای انباشت شده در محدوده ریشه گیاهان،
  - (ب) انجام عملیاتی که منجر به جایگزینی یون کلسیم ( $\text{Ca}^{2+}$ ) با یون سدیم ( $\text{Na}^+$ ) در همتافت تبادلی خاک شود، و
  - (پ) جلوگیری از شور و سدیمی شدن دوباره زمینهای اصلاح شده،
- به‌منظور تهیه اطلاعات موردنیاز و دستیابی به اهداف موارد (الف) و (ب)؛ لازم است آزمایشها اصلاح خاک و زمین یعنی آبشویی نمکهای محلول از نیمرخ خاکها (شوری‌زدایی، سدیم‌زدایی و تهیه منحنيهای آبشویی) در منطقه مورد نظر انجام شود.
- نتایج آزمایشها امکان پاسخگویی به سوالات مطرح شده در زمینه اصلاح و بهسازی خاکهای شور و سدیمی یعنی امکان اصلاح خاکها از طریق استفاده از آب آبشویی به تنها، گرایش یا عدم گرایش کیفیت شیمیایی آنها به سدیمی شدن، میزان آب لازم آبشویی و آب آبشویی همراه با مواد اصلاح‌کننده، ضرورت مصرف آب شور یا عدم توجیه مصرف آن و سرانجام زمان لازم برای تعديل مشکل شوری و سدیمی بودن خاکها از طریق عملیات اصلاحی را فراهم می‌آورد.<sup>۱</sup>

#### - ۲ - بررسی اسناد و مدارک موجود

به‌منظور انجام دقیق‌تر آزمایشها اصلاح خاک و زمینها در منطقه موردنظر، ابتدا باید اسناد و مدارک موجود در این زمینه گردآوری، ردهبندی و مورد توجه، قرار گیرد. از جمله اسناد و مدارک قابل توجه در این ارتباط گزارش و نقشه‌های خاکشناسی و ردهبندی زمینها (به‌ویژه نقشه خاکها، نقشه شوری و قلیاییت زمینها)، گزارش و نقشه‌های مطالعات تکمیلی خاکشناسی و بررسیهای آبیاری و زهکشی منطقه (چاهکهای مطالعاتی، پیزومترهای ساده و مرکب، لایه‌بندی خاکها، استقرار لایه محدود‌کننده، هدایت هیدرولیکی خاک، سرعت نفوذ آب به خاک و...) می‌باشند. از آنجا که فرایندهای شوری و سدیمی بودن خاکها پویا و تابع زمان و مکان است، بنابراین درصورتی که از زمان انجام مطالعات خاکشناسی و ردهبندی زمینها مدت زمان زیادی گذشته و شیوه بهره‌برداری و مدیریت زمینها تغییر کرده باشد، باید نقشه شوری و قلیاییت خاکهای منطقه به روز شود.

۱- برای آگاهی تفصیلی از زمینه‌های عملی و کاربردی این پیوست "دستورالعمل آزمایشها آبشویی خاکهای شور و سدیمی در ایران"، نشریه شماره ۲۵۵، سازمان مدیریت و برنامه‌ریزی کشور، ۱۳۸۱ مورد توجه قرار گیرد.

بررسی گزارشها و نقشه‌های ذکر شده، مطالعه کنندگان را از نظر انجام بررسیهای مزرعه‌ای و آزمایشگاهی یاری خواهد داد تا با صرف کمترین وقت و هزینه و بدون دوباره کاری در برنامه‌ریزی، اجرا و نتیجه‌گیری از آزمونهای موردنظر و با دقت نسبی زیادتری، به موفقیت برسند.

مطلوبی که از گزارش و نقشه‌های خاکشناسی، رده‌بندی زمینها، مطالعات تکمیلی و بررسیهای زهکشی منطقه استخراج می‌شود و در مطالعات شوری و سدیم زدایی خاک و زمینها، از آنها استفاده می‌شود، شامل موارد کلی زیر است :

- ویژگیهای ذاتی خاکها شامل نفوذپذیری، بافت خاک (بهویژه لایه سطحی و لایه‌های زیرسطحی تا عمق ۱/۵ متری موردنظر است)، هدايت هیدرولیکی لایه‌های زیرسطحی، ظرفیت نگهداری آب در خاک، جرم مخصوص ظاهری و حقیقی و دیگر اطلاعاتی که به طور عمده در محل نیمرخ شاهد مطالعات خاکشناسی انجام و ثبت شده است.
- ویژگیهای کیفی خاکها شامل حالت و شدت درجات شوری و سدیمی بودن، عمق و کیفیت آب زیرزمینی، اثر آب‌ماندگی دائم و موقت در سطح و نیمرخ خاک و غیره ...
- ویژگیهای منطقه‌ای مانند فیزیوگرافی، توپوگرافی (شیب‌ها از نظر حالت و شدت)، موارد مرتبط با فرسایش و افزایش (آبی و بادی)، سری و پراکنش فازها در سریهای مربوط و ... .

پیشنهاد می‌شود بر پایه گزارش، نقشه‌های خاکشناسی و رده‌بندی زمینها، جدولهایی به شرح زیر تهیه و براساس مندرجات آنها درباره تعیین تعداد و تکرار آزمونهای لازم در زمینه آزمایشها اصلاح خاک و زمینها اقدام شود.

- مساحت و درصد از مساحت کل سریهای خاک (و فازهای مربوط به هر سری) در محدوده مطالعاتی،
- وضعیت فازهای مربوط به هر سری خاک از نظر ویژگیهای بافت و نفوذپذیری لایه‌های زیرسطحی و تحت کلاس‌های مربوط در محدوده مورد بررسی،
- توزیع مساحت سریهای متفاوت خاک در کلاس‌ها و تحت کلاس‌های مربوطه در خاکهای منطقه موردنظر،
- توزیع کلاس‌های شوری و قلیاییت خاک و زمینها در سریهای خاک (و فازهای مربوط به هر سری) در منطقه مطالعاتی،
- مساحت و درصد کلاس‌های متفاوت شوری و قلیاییت خاک و زمینها در سریهای مختلف خاکهای منطقه مورد نظر.

تهیه و بررسی جدولهای بیان شده این امکان را فراهم می‌آورد تا ضمن مطالعه عوامل مختلف و متفاوت، مساحت و درصد زمینهای مشکل دار را با توجه به عوامل ذاتی، کیفی و منطقه‌ای خاکها، از نظر تعداد آزمونهای مورد نظر ارزیابی کرد. بهدلیل پرهزینه و وقت‌گیر بودن اجرای آزمایشها اصلاح خاک و زمینها و تعدد عوامل مورد بررسی و اندازه‌گیری، بهتر است که حداقل آزمونهایی را که بتواند نتایج صحیح و منطقی را ارائه دهد، انتخاب و اجرا کرد. بنابراین ضروری است که در انتخاب نقاط از نظر تعداد و تکرار مکانهایی که معرف کلاس شوری و قلیاییت در فاز، سری و واحد فیزیوگرافی غالب منطقه مورد بررسی است انتخاب و آزمونهای لازم را انجام داد. به‌گونه‌ای که نتایج حاصل قابل گسترش و تعمیم به بخش قابل توجهی از زمینهای مبتلا باشد. در این راستا پیشنهاد می‌شود (۱) زمینهایی که مساحت بسیار کمی دارند از برنامه حذف شوند، (۲) زمینهای مبتلایی که شوری و قلیاییت آنها از کلاس  $S_2A_2$  بالاتر است انتخاب و در برنامه گنجانده شود، (۳) چنانچه در یک سری خاک فازهای مختلفی با درجات شوری و قلیاییت متفاوت وجود داشته باشد، کلاس‌های با درجه‌های شوری و قلیاییت

بالاتر را انتخاب کرد، زیرا در صورتی که زمینهای با کلاس‌های شوری و قلیاییت بالاتر، قابل اصلاح تشخیص داده شوند برای دیگر فازهای سری مربوط به کلاس شوری و قلیاییت پایین‌تر، قابل استفاده خواهد بود.

### ۳- روشهای اجرای آزمایش‌های خاکهای شور و سدیمی

آزمونهای اصلاح خاک و زمینهای یا بررسیهای اصلاح پذیری خاکها را می‌توان به روشهای آزمایشگاهی و صحرایی انجام داد. تعیین نوع آزمایش به درجه دقت، وسعت و دامنه کاربرد نتایج حاصل بستگی خواهد داشت. در زیر به روشهای متداول اشاره شده است:

#### ۱-۳ آزمونهای آزمایشگاهی

برای انجام آزمون تعیین درجه اصلاح خاکهای شور، سدیمی و یا شور و سدیمی، از اعمق مختلف محلی که معرف زمینهای کلاس شوری و یا قلیاییت مربوط باشد به وسیله مته یا هر وسیله دیگری از خاک نمونه‌برداری می‌شود. نمونه‌ها ابتدا در هوای آزاد خشک و سپس کوبیده و از الک دو میلی‌متری گذرانده می‌شوند. مقادیری از خاک غربال شده را در استوانه آبشویی که مجرایی برای خروج زه‌آب در کف آن تعییه شده است قرار داده و مقداری آب برای اشباع و ایجاد تراوشهای عمقی و ثقلی با روشهای غرقاب دائم و یا متناوب به ستون خاک اضافه کرده و با اندازه‌گیری شوری و نسبت جذب سدیم (SAR) اولیه و نهایی نمونه خاک و اندازه‌گیری حجم و شوری زه‌آبهای حاصل (تراوشهای عمقی ستون خاک) رابطه بین حجم آب خروجی با زمان و رابطه حجم آب خروجی، شوری و نسبت جذب سدیم زه‌آبهای را تعیین کرده و از اعداد و رسمهای حاصل در آزمونهای آبشویی خاکهای شور و یا شور و سدیمی بهره گرفت.

آزمونهای بیان‌شده را می‌توان به صورت دیگری نیز اجرا کرد. بنابراین، در همه حال کوچک بودن نمونه خاک و دست‌خورد بودن آنها موجب کاهش دقت این‌گونه آزمایشها می‌شود و این امر باعث می‌شود که استفاده از نتایج حاصل در برنامه‌های اصلاح خاک و زمینهای مزرعه‌ای، خالی از اشکال نباشد.

#### ۲-۳ آزمونهای مزرعه‌ای

به منظور رفع نقايس بیان‌شده و بهره‌مندی از مزیتهای دیگری که در روش کار مندرج است انجام آزمایش‌های اصلاح خاک و زمینها به طریق مزرعه‌ای پیشنهاد می‌شود. برای انجام این‌گونه آزمونها ابتدا لازم است نقاط مورد نظر، بر روی زمین مشخص و پس از آن ضمن بازدید صحرایی، مندرجات نقشه‌ها با عوارض سطح زمینها در محل مورد نظر، تطبیق داده شود. در مرحله بعد ضروری است که قطعه زمین یکنواخت به مساحت حدود  $100 \times 100$  متر مربع (۱۰۰ متر) میخکوبی و یا علامت‌گذاری شده و سپس آزمونهای موردنظر در این قطعه انتخابی، به مرحله اجرا درآید.

در انجام آزمونهای مزرعه‌ای اصلاح خاک و زمینهای، به منظور صرفه‌جویی در وقت و هزینه، پیشنهاد می‌شود محل انتخابی تا حد امکان در حواشی و یا مجاور نیمیرخ شاهد مطالعات خاکشناسی محل باشد. انجام آزمایش‌هایی در مزرعه معمولاً با روشهای زیر به اجرا در می‌آید که هر کدام معایب و مزایای خاص خود را دارند.

## الف) اجرای آزمایشها در کرتهاهای کوچک

برای این منظور یک سری کرت به ابعاد  $1\times 1$  یا  $1/5 \times 1/5$  یا  $2\times 2$  متر با پشتلهای محکم (از خاکی غیر از خاک داخل کرت) ساخته و کف کرتها تا حد امکان مسطح می‌شود. تعداد کرتهاهای مورد نیاز به کل عمق آب آبشویی، تناوب و عمق آب کاربردی در افزایش آب به خاک بستگی دارد. برای مثال در صورتی که کل عمق آب آبشویی  $150$  سانتی‌متر و تناوب عمق آب کاربردی در هر بار  $10$  سانتی‌متر باشد، ضروری است که  $16$  قطعه کرت ایجاد شود و در حالی که همان میزان آب در شش نوبت  $25$  سانتی‌متری به کار رود تعداد کرتها به هفت قطعه کاهش می‌یابد. در این مورد ذکر نکات زیر ضروری است.

- بهمنظور جلوگیری از جذب آب به وسیله پشتلهای می‌توان اطراف کرتها را با ورقه پلاستیکی پوشش داد،
- کرتها در جهت طولی و عرضی باید حداقل یک متر از کرت هم جوار، فاصله داشته باشد،
- در مدت فروتنشست آب در خاک و یا فاصله بین دوبار آبیاری، باید سطح کرتها به وسیله یک ورقه نایلونی پوشیده شود (برای جلوگیری از تبخیر آب از سطح خاک)،
- کرت اضافی، برای انجام آزمون در شرایط استغراق کامل در نظر گرفته می‌شود. در این کرت آب به شیوه‌ای اضافه می‌شود که همواره لایه‌ای از آب سطح کرت را بپوشاند و خاک همواره در حالت استغراق کامل باشد. در این کرت می‌توان سرعت نفوذ آب به خاک را در اولین و آخرین دوره استفاده از آب آبشویی، اندازه گرفت. افزون بر این می‌توان مقایسه‌ای بین دو روش آبشویی غرقاب دائم و متناوب را نیز انجام داد.

در این روش، ابتدا اولین متناوب آب آبشویی به همه کرتها اضافه می‌شود و پس از نفوذ آب به خاک و با گذشت زمانی که آب ثقلی از عمق مورد نظر خارج شود، از اولین کرت، نمونه‌برداری به عمل می‌آید. معمولاً نمونه‌ها در سه تکرار با متناوب  $2/2$  یا  $0/25$  متری و تا عمق دلخواه از نیمرخ خاک برداشت می‌شود. پس از نمونه‌برداری، اولین کرت از دور آزمایش حذف می‌شود. سپس متناوب بعدی آب آبشویی به کرتهاهای باقی مانده اضافه می‌شود.

پس از نفوذ دومین متناوب آب کاربردی مجدداً از کرت شماره دو به شیوه‌ای که گفته شد نمونه‌برداری می‌شود به همین ترتیب افزودن نوبت بعدی آب آبشویی به دیگر کرتها استمرار می‌یابد. روند افزایش آب و نمونه‌برداری از دیگر کرتها تا نفوذ آخرین نوبت آب کاربردی به دو کرت باقیمانده، همانند آنچه بیان شد، ادامه می‌یابد.

در این روش آزمایش، لازم است که از یک یا دو نقطه در جوار کرتهاهای آزمایشی تا عمق موردنظر از نیمرخ خاک نمونه‌برداری شود از این نمونه‌ها، برای اطلاع از ویژگیهای شیمیایی همچنین تعیین میزان رطوبت خاک قبل از آبشویی استفاده می‌شود. بهتر است که در نقطه نمونه‌برداری شده در صورت امکان از خاک لایه‌بندی دقیق‌تری انجام و ثبت شود.

تجزیه‌های شیمیایی موردنظر بر روی نمونه‌های خاک قبل و بعد از اجرای آزمون آبشویی شامل هدایت الکتریکی عصاره اشباع خاک، pH، کاتیونها و آنیونهای محلول، درصد کربنات کلسیم، میزان گچ، ظرفیت تبادل کاتیونی، سدیم قابل تعویض خاک و در صورت نیاز بُر است. تجزیه‌های شیمیایی موردنظر روی نمونه‌های خاک در جین آبشویی عبارتند از هدایت الکتریکی عصاره اشباع خاک، pH و کاتیونهای محلول (سدیم، کلسیم و منیزیم) است.

بديهی است که در مورد همه نمونه‌ها می‌توان درصد سدیم تبادلی را از رابطه بين نسبت جذب سدیم و درصد سدیم تبادلی (ESP-SAR) محاسبه کرد و درباره نمونه‌های قبل و بعد از آبشویی افزون بر رابطه فوق می‌توان درصد سدیم تبادلی را مستقیماً از طریق آزمون (تجزیه‌ای) نیز به دست آورد.

در صورتی که نمونه آب مورد استفاده دارای دامنه تغییر در زمان کوتاه آبشویی نباشد، برداشت یک نمونه از آب مصرفی و یک نمونه آب زیرزمینی محل اجرای آزمایش (درصورت وجود)، برای انجام تجزیه کامل کافی است. در غیر این صورت لازم است از آب مصرف شده در هر بار نمونه‌برداری شود.

پیشنهاد می‌شود برای رعایت صرفه‌جویی در هزینه‌ها، نمونه‌های خاکی که در سه بار (مربوط به هر عمق) و برای هر نوبت استفاده از آب آبشویی برداشت می‌شود، در ابتدا در هوای آزاد، خشک، کوبیده و غربال شوند و پس از اختلاط آنها، برای هر عمق فقط یک نمونه مرکب خاک تهیه و برای تجزیه به آزمایشگاه ارسال شود.

دقت در مورد اجرای آزمایش، نمونه‌برداری، کنترل نمونه‌های خاک و آب برداشت شده موجب اطمینان در کاربرد و تعمیم نتایج حاصل خواهد شد. در حالی که افزون بر آب آبشویی، استفاده از مقداری ماده اصلاحی خاک (گچ، اسید سولفوریک و غیره...) و یا مصرف آبهای لب شور و قابل دسترسی، نیز مدنظر باشد از نظر تعداد نمونه‌برداری و دیگر تمهیدات، مشابه حالت فوق عمل می‌شود.

### ب) اجرای آزمایشها با استوانه‌های مضاعف

با توجه به اهداف اجرای آزمونها یعنی استفاده از آب آبشویی، روش آبشویی (غرقاب دائم یا متناوب)، مواد اصلاح‌کننده مصرفی و یا کاربرد آبهای لب شور و یا ترکیبی از آنها، تعداد استوانه‌های مضاعف و مورد نیاز از سه تا شش عدد، متغیر خواهد بود. بنابراین با توجه به تعداد استوانه‌های مضاعف کاربردی، آرایش آنها می‌تواند مثلثی، مربعی، دایره‌ای و یا مستطیلی باشد. نمونه‌برداری از خاک قبل از اجرای آزمونها، در روش مثلثی از محل برخورد سه میانه، در روش‌های مربعی و مستطیلی از محل برخورد قطرها و در روش دایره‌ای از مرکز دایره و به همان وضعیت و شرایطی است که در مورد کرتها کوچک بیان شد. انجام نمونه‌برداری از خاک و آب و اعمال تجزیه‌های لازم قبل از انجام امر آبشویی، مشابه روش قبلی است. شیوه استقرار استوانه‌های مضاعف، مشابه انجام آزمون نفوذپذیری می‌باشد. به منظور تعیین سرعت نفوذ آب به خاک و اثرهای آبشویی بروی آن، معمولاً اندازه‌گیری آن در اولین و آخرین نوبت مصرف آب آبشویی انجام می‌شود. در روش‌های مستطیلی و دایره‌ای که معمولاً شش جفت استوانه مضاعف به کار می‌رود، مشابه کرتها کوچک پس از نفوذ اولین دور آب آبشویی و انجام نمونه‌برداری از اعماق موردنظر، یک جفت از استوانه‌ها از دور آزمون حذف می‌شود و مطابق روش قبل افزودن آب آبیاری یا آبشویی تا استفاده از آخرین دور آب مصرفی ادامه می‌یابد. لیکن در حالی که از سه یا چهار جفت استوانه مضاعف استفاده شود نمونه‌برداری شده با یک عدد لوله پی‌وی‌سی هم قطر مته نمونه‌برداری خاک (معمولًاً ۵ سانتی‌متر) اشغال و فضای داخل آن که در واقع محل نمونه‌برداری از خاک سطح استوانه بوده با خاک پر و کوبیده می‌شود تا از فرار و نشت آب جلوگیری شود. نظر به اینکه بخشی از سطح استوانه داخلی به وسیله لوله اشغال می‌شود، لازم است که حجم معادل آب آن، در محاسبات افزایش آب به سطح استوانه‌های داخلی در نظر گرفته شود.

شیوه نمونه‌برداری، تناوب و تکرار نمونه‌برداریها، اعماق نمونه‌برداری و انواع تجزیه‌های شیمیایی دقیقاً مشابه روش اجرای آزمون در روش کرتها کوچک است.

## شیوه نتیجه‌گیری از اعداد و رقمهای حاصل از اجرای آزمونهای آبشویی خاکهای

### شور و سدیمی

در بخش کلیات این مبحث در ابتدا لازم است جداولی شامل موارد زیر ارائه شود:

- شماره آزمون، سری خاک و شماره مرحله مربوط، کلاس شوری و قلیاییت زمینهای مورد آزمون (قبل از آبشویی نمکها)، محل اجرای آزمایش، عمق سطح ایستابی، هدایت هیدرولیکی خاک، عمق لایه محدوده کننده، سرعت نفوذ پایه زمینهای (ولیه و نهایی) و بالاخره منبع و کلاس آب مصرف شده
- شماره آزمایش، تاریخ نمونه برداری از آب مصرفی (روز، ماه و سال) هدایت الکتریکی، pH، کاتیونها و آئیونهای محلول (سدیم، کلسیم، منیزیم، کلر، سولفات، کربنات و بی‌کربنات)، نسبت جذب سدیم و یا نسبت جذب سدیم تعديل شده برای همه آزمونهای انجام شده، ارائه شود و پس از آن برای هر مورد آزمایش انجام شده، جدولی حاوی ویژگیهای فیزیکی لایه‌های مختلف نیمرخ خاک شامل :
- اعمق نمونه برداری، ضخامت لایه‌های خاک، درصد رطوبت وزنی (ظرفیت مزرعه، نقطه پیزمردگی و رطوبت صحرایی)، جرم مخصوص خاک (ظاهری و حقیقی)، تخلخل کل خاک لایه‌ها (برحسب درصد)، نفوذپذیری (پرمابلیته) و بالاخره عمق آب مورد نیاز برای تأمین کسر رطوبت خاک تا حد ظرفیت مزرعه ارائه شود. بر مبنای اطلاعات مندرج در جدولهای بالا، ویژگیهای فیزیکو-شیمیایی خاکهای محل اجرای آزمایش مانند کلاس، وضعیت شوری و سدیمی بودن خاک، بافت، هدایت هیدرولیکی، عمق استقرار لایه محدوده کننده، عمق سطح ایستابی (و کیفیت آب زیرزمینی، بهشرط در دسترس بودن اطلاعات)، سرعت نفوذ پایه زمینهای (ولیه و نهایی) توصیف شود. همچنین ویژگیهای فیزیکی لایه‌های خاک طبقات نمونه برداری شده و عمق آب مورد نیاز برای تأمین کسر رطوبت لایه‌های مختلف نیمرخ خاک، بهمنظور استنتاج و موارد کاربردی، تفسیر شود.

پس از آن به استناد رقمهای اطلاعات موجود از تجزیه شیمیایی نمونه‌های آب مورد مصرف در هر آزمون (و تکرار مربوط) ارزیابی کیفیت شیمیایی آبهای مصرفی در امر آبشویی نمکها صورت پذیرد.

همچنین لازم است، در هر آزمایش رقمهای تجزیه کامل شیمیایی خاک قبل از آبشویی نمکها و برای اعمق نمونه برداری شده در جدولی ارائه شود. بر مبنای اطلاعات مندرج در این جدول باید نسبت به تفسیر رقمهای اقدام شود. در این تفسیر عوامل اصلی (شوری، pH، درصد سدیم تبادلی) و عوامل فرعی (کربنات کلسیم، گچ، کاتیونها و آئیونهای محلول عصاره اشباع خاک) برای هر لایه و مجموع لایه‌های نمونه برداری شده مورد توجه قرار گیرد.

پیشنهاد می‌شود، اطلاعات به دست آمده از نتایج تجزیه‌های آزمایشگاهی نمونه‌های خاک بعد از نفوذ و در هر نوبت آب آبشویی شامل عوامل اصلی (شوری، pH، کاتیونهای محلول و درصد سدیم تبادلی) نیز در جدولی در متن گزارش ارائه شود. به همین ترتیب باید اطلاعات به دست آمده از نتایج آزمایشگاهی نمونه‌های خاک پس از استفاده از آخرین تناوب آب آبشویی نیز به صورت جدولی در متن گزارش ارائه شود. بهتر است که نتایج تجزیه شیمیایی نمونه‌های خاک لایه‌های موردنظر قبل و بعد از امر آبشویی نمکها در یک جدول و با عنوان "تغییرات کیفیت شیمیایی خاک، قبل و بعد از کاربرد عمق آب آبشویی مورد نظر در آزمون مربوط" ارائه گردد.

## ۱-۴ فرآوری و پردازش داده‌های شیمیایی خاکهای مورد آزمون

### الف) ضریب بازده یا بازده آبشویی نمکهای محلول از نیمرخ خاکها

تجربه نشان داده است که بازده آبشویی نمک در خاکهای سبک بیشتر از خاکهای سنگین بافت و رسی بهدلیل ایجاد و توسعه سله‌های (درز و ترک در سطح خاک) عریض و گاهی عمیق، میزان بازده آبشویی نمک بهدلیل عبور جریان آب از درون این شکافها کمتر است، هر چند مستقل از بافت خاک، مقدار بازده آبشویی نمک محلول ( $f$ ) در نیمرخ خاک، بیشتر به روش آبشویی یا آبیاری بستگی دارد. برای مثال در شرایط آبیاری غرقابی، بازده آبشویی به مراتب بیشتر از دیگر روش‌های آبیاری (جز روش آبیاری بارانی) ثقلی است. ضمن آنکه مقدار آن در هر حالت با افزایش عمق در نیمرخ خاک افزایش می‌یابد.

کاربردهای عملی (تجربی) مقادیر بازده آبشویی مربوط به بافت خاک به شرح زیر ارائه شده است.

- برای خاکهای سیلت لوم تا لومی شنی ( $f = 0/6-0/5$ )
- برای خاکهای رسی سیلتی، لومی شنی و لوم ( $f = 0/5-0/4$ )
- برای خاکهای سنگین بافت، رسی ( $f = 0/3-0/2$ )

هم‌چنین روش‌های دیگری برای برآورد تقریبی "ضریب بازده آبشویی" خاکها وجود دارد، که می‌توان در برنامه‌های اجرایی از آنها استفاده کرد. برای مثال با استفاده از رابطه زیر، امکان دستیابی به ضرایب بازده آبشویی با دقت تقریبی فراهم می‌شود.

$$EC_{eq} = \frac{R \cdot EC_w}{f} \quad (1)$$

که در آن،  $f$  ضریب بازده آبشویی (تقریبی و بدون بعد)،  $EC_{eq}$  هدایت الکتریکی عصاره اشباع خاک که با آب کاربردی یا آبشویی به حال تعادل شیمیایی در آمده باشد و  $EC_w$  هدایت الکتریکی آب آبشویی است که مقادیر  $EC_{eq}$  و  $EC_w$  بر حسب دسیزیمنس بر متر بیان می‌شود و مقدار  $R$  از رابطه زیر به دست می‌آید:

$$R = \frac{D_w}{DL_w} \quad (2)$$

که در آن،  $D_w$  عمق ناخالص آب آبشویی یا کاربردی (سانتی‌متر یا متر) و  $DL_w$  عمق خالص آب آبشویی (سانتی‌متر یا متر) و یا مقدار آب نفوذ یافته (زهکشی شده) که به صورت تراوشهای عمقی از لایه مورد نظر خارج می‌شود. از طرفی رابطه ۱ را به صورت زیر نیز می‌توان ارائه داد.

$$EC_w = \frac{f \cdot EC_{eq}}{R} \quad (3)$$

همچنین با تلفیق روابط ۱ و ۲ رابطه زیر را می‌توان به دست آورد.

$$EC_w = \frac{EC_{eq} \cdot f \cdot DL_w}{D_w} \quad (4)$$

در روابط بیان شده، عوامل به کار رفته، قبلًا تعریف شده‌اند. از سوی دیگر هر گاه مقدار شوری تعادلی ( $EC_{eq}$ ) مربوط به لایه ۰ تا ۵ سانتی‌متری اولیه نیمرخ خاک و پس از نفوذ تمامی میزان آب آبشویی ناخالص ( $D_w$ ) باشد، در این شرایط می‌توان  $D_w = DL_w$  در نظر گرفت. که در نتیجه  $R = 1$  به صورت ساده زیر در می‌آید:

$$EC_{eq} = \frac{EC_w}{f} \quad (5)$$

اعمال این ساده‌سازی یعنی  $D_w = DL_w$  و به کارگیری آن در رابطه‌های ۳ و ۴ نیز باعث ایجاد رابطه‌ای مشابه رابطه ۵ خواهد شد.

هرگاه کیفیت آب کاربردی (شوری)  $EC_w$  بر حسب دسی زمینس بر متر) نامشخص و یا غیرمنطقی باشد، با انتخاب مقدار ضریب بازده آبشویی ( $f$ ) متناسب با بافت خاک و اندازه‌گیری شوری تعادلی ( $EC_{eq}$ ) بر حسب دسی زمینس بر متر، می‌توان از روابط ۳ و ۴ استفاده کرده و می‌توان میزان شوری آب کاربردی در آبشویی نمک ( $EC_w$ ) را نیز با تقریب قابل قبولی برآورد کرد.

ب) رابطه بین عمق آب آبشویی به کار رفته و تغییرات میزان شوری و درصد سدیم تبادلی خاکهای مورد آزمایش به منظور بررسی چگونگی تغییرات مقادیر شوری و درصد سدیم تبادلی خاک در دوره آبشویی، برابر رقمهای جدولهای ذکر شده (مربوط به هر تکرار آزمایش) و برای رقمهای هدایت الکتریکی عصاره اشباع خاک و درصد سدیم تبادلی محاسبه شده (از رابطه تجربی ESP-SAR و یا روش تجزیه‌ای CEC-Ex.Na<sup>+</sup>) می‌توان میانگین وزنی برای لایه‌های مورد نظر (برای مثال ۰ تا ۲۵، ۰ تا ۵۰، ۰ تا ۷۵، ۰ تا ۱۰۰ سانتی‌متری) را محاسبه کرد و به استناد آن همچنین می‌توان با رقمهای حاصل از تجزیه‌های شیمیایی نمونه‌های خاک اعمق نمونه‌برداری شده (قبل از آبشویی یعنی ECi و ESPi) جدولهای ذکر شده در زیر را تهیه کرد:

- رابطه بین عمق آب آبشویی (کاربردی یا  $D_w$  ناخالص) و تغییرات میزان شوری خاک
- رابطه بین عمق آب آبشویی (کاربردی یا  $D_w$  ناخالص) و تغییرات میزان درصد سدیم تبادلی خاک

شایان ذکر است که براساس اعداد و رقمهای حاصل از میانگین وزنی (محاسبه شده) که در دو جدول ذکر شده ارائه می‌شود، ستون خاک تا عمق مورد محاسبه (برای مثال تا عمق ۱۰۰ سانتی‌متری) به عنوان یک محیط پیوسته در نظر گرفته می‌شود که به یکباره می‌توان با استفاده از جدولهای ذکر شده تغییرات هر عامل (شوری یا درصد سدیم تبادلی) خاک را برای لایه مورد نظر (از سطح خاک تا عمق مطلوب و مورد نظر) و لایه‌های پایین‌تر با انتخاب عمق آب آبشویی معینی برآورد کرد، که زمینه‌های کاربردی و عملی چنین جدولهایی (در شرایط خاکهای آزمایش شده) بیشتر است.

## پ) منحنیهای شوری‌زدایی و سدیم‌زدایی خاکهای مورد آزمون

برای تجزیه و تحلیل نتایج حاصل از آزمونهای آبشویی نمکهای محلول باید منحنیهای شوری و سدیم‌زدایی خاک محلهای مورد آزمایش و به تفکیک هر آزمون تهیه و ارائه شود.

همان‌گونه که بیان شد، در جدولهای ذکر شده (موضوع بیان شده در مبحث ب) تغییرات میزان شوری و یا درصد سدیم تبادلی خاک لایه‌های مختلف را به ازاء مقادیر متفاوت آب به کاررفته (آب آبشویی ناخالص و یا  $D_w$ ) ارائه می‌دهند. در عمل ممکن است مقادیری از آب مصرف شده صرف رفع یا جبران کمبود رطوبت خاک اعمق مربوط شود و در فرایند آبشویی مؤثر نباشد. همچنین کاهش میزان شوری و یا درصد سدیم تبادلی خاک، از راه مصرف آب آبشویی به میزان زیاد، حتی در لایه‌های سطحی نیمرخ خاک منجر به تعادل شیمیایی کامل با کیفیت آب آبیاری و یا آبشویی در کوتاه‌مدت نخواهد شد. بدین معنی که حداقل میزان شوری و یا درصد سدیم تبادلی خاک که با آب به کاررفته (با کیفیت مشخص) به تعادل شیمیایی می‌رسد، بجز در خاکهای سبک با شرایط زهکشی بسیار مناسب، از حداقل  $1/5$  تا  $2$  برابر شوری و نسبت جذب سدیم آب آبیاری بیشتر است. اثر عامل یاد شده در جدولهای بیان شده، در نظر گرفته نمی‌شود.

به منظور رفع نقاچیص بیان شده منحنیهای شوری‌زدایی و سدیم‌زدایی خاکها، بر پایه رسمهای هدایت الکتریکی عصاره اشباع و درصد سدیم تبادلی خاک برای اعمق مربوط، با استفاده از رسمهای مندرج در جدولهای ارائه شده (رسمهای نتایج تجزیه شیمیایی نمونه‌های خاک قبل، حین و پس از آبشویی) همین طور رسمهای تجزیه فیزیکی لایه‌های خاک مربوط، برای هر آزمایش به شرح زیر تهیه می‌شود.

در یک دستگاه مختصات، بر روی محور  $Z$  رسمهای مربوط به نسبتهای  $EC_f - EC_{eq} / EC_i - EC_{eq}$  و یا  $ECP_f - ESP_{eq} / ESP_i - ESP_{eq}$  نشان داده می‌شود و بر روی محور  $X$  رسمهای مربوط به نسبتهای مختلف آب آبشویی به عمق خاک  $D_s / D_w$  آورده می‌شود که در آن:

$EC_f =$  هدایت الکتریکی عصاره اشباع خاک بعد از استفاده از عمق آب آبشویی مربوط (خالص یا  $D_w$ ) بر حسب دسی‌زیمنس بر متر،

$EC_i =$  هدایت الکتریکی عصاره اشباع خاک قبل از استفاده از عمق آب آبشویی مربوط (خالص یا  $D_w$ ) بر حسب دسی‌زیمنس بر متر،

$EC_{eq} =$  هدایت الکتریکی عصاره اشباع خاک که با آب آبیاری و یا آبشویی به تعادل شیمیایی می‌رسد، بر حسب دسی‌زیمنس بر متر،

$ESP_f =$  درصد سدیم تبادلی نهایی خاک پس از به کارگیری عمق آب آبشویی مربوط (خالص یا  $D_w$ )،

$ESP_i =$  درصد سدیم تبادلی اولیه خاک قبل از استفاده از عمق آب آبشویی مربوط (خالص یا  $D_w$ )، و

$ESP_{eq} =$  درصد سدیم تبادلی خاک که با آب آبیاری یا آبشویی به تعادل شیمیایی می‌رسد.

رسمهای  $EC_{eq}$ ،  $ESP_{eq}$  (شوری و درصد سدیم تبادلی) در واقع کمترین مقادیر شوری و درصد سدیم تبادلی خاکها می‌باشند که در لایه سطحی ( $0$  تا  $5$  سانتی‌متر) نیمرخ خاک با استفاده از آب آبیاری یا آبشویی با کیفیت مشخص و موجود، حاصل می‌شوند.

$D_{lw}$  = عمق خالص آب آبشویی، میزان آبی است که پس از تأمین کسر رطوبت خاک لایه مربوط به طریق ثقلی و به صورت تراوشهای عمقی از ستون خاک لایه مربوط خارج می‌شود، (متر یا سانتی‌متر).

$D_s$  = عمق یا ضخامت لایه خاک نسبت به سطح زمین، (متر یا سانتی‌متر).

کاهش مقادیر  $EC_{eq}$  و  $ESP_{eq}$  از صورت و مخرج کسرهای ذکر شده، موجب می‌شود که نتایج حاصل مستقل از عوامل خارجی مؤثر از جمله میزان تبخیر، شرایط زهکشی داخلی خاکها، کیفیت آب آبیاری مورد استفاده و دیگر شرایطی که می‌تواند بر روی نتایج اثرگذار باشد، عمل کند. نظر به اینکه در رسم منحنیهای شوری‌زدایی و سدیم‌زدایی خاکها رقمهای محاسبه شده (میانگین وزنی)، مورد استفاده قرار می‌گیرد، بنابراین رسم منحنیهای مربوط به هر عمق به دلیل عدم تفاوت زیاد در چنین شرایطی معمولاً مرسوم نیست.

در مورد هر آزمون (و هر تکرار)، لازم است برای رسم منحنیهای شوری و سدیم‌زدایی خاکها مورد آزمایش و برای اعماق مربوط جدولهای مربوط به رقمهای محاسبه شده X و Y (که شرح آنها در بالا بیان شد) تهیه و ارائه شود. براساس رقمهای مندرج در این جدولها، منحنیهای شوری‌زدایی و سدیم‌زدایی خاکها محل مورد آزمایش، باید تهیه و در دو شکل جداگانه ارائه شود.

منحنیهای بیان شده، می‌توانند در محدوده نوع خاک، میزان شوری و درصد سدیم تبادلی اولیه نیمرخ خاک محل اجرای آزمون کاربرد داشته باشد، همچنین با استفاده از این منحنیها می‌توان عمق آب مورد نیاز را برای کاهش عملی میزان شوری و یا درصد سدیم تبادلی خاک و برای عمق معینی از لایه خاک برآورد کرد.

مقادیر استخراجی از منحنیهای بالا، مربوط به نیاز خالص آب آبشویی نمک است و به منظور برآورد کل میزان آب مصرفی لازم برای آبشویی نمکهای محلول خاک ضروری است که به مقادیر تبخیر (از سطح آب و خاک) و میزان بارندگی نیز توجه کرد و این عوامل فرآیند فرآیند آبشویی آبشویی و اصلاح خاک و زمین در نظر گرفت.

نکته: کاربرد اعداد و رقمهای ذکر شده و کاربرد و تطبیق مدل‌های تجربی و نظری آبشویی نمکهای خاکها شور در پیوستهای آتی شرح داده شده است.

## ۲-۴ بررسی تغییرات نفوذپذیری خاکها در فرایند آبشویی نمکهای محلول

همان‌گونه که گفته شد، در آزمایش‌های آبشویی خاکها شور و سدیمی مرسوم است که در اولین دوره استفاده از آب آبشویی و در آخرین تناوب مصرف آب به کاررفته (آبشویی)، اقدام به اندازه‌گیری سرعت نفوذ آب به خاک و محاسبه سرعت نفوذ پایه زمینهای<sup>۱</sup> می‌شود تا ضمن مقایسه نتایج، بتوان تأثیر آب آبشویی نمکهای محلول را بر چگونگی تغییرات میزان نفوذپذیری خاکها در اثر فرایند آبشویی (آب آبشویی به تنها ی و یا کاربرد آن به همراه مواد اصلاح‌کننده خاک و...) مورد بررسی و قضاؤت قرار داد. روش اندازه‌گیری نفوذپذیری خاکها در این شرایط، مشابه اندازه‌گیری در شرایط متعارف و معمول مزرعه‌ای است، که شرح توصیفی و تفصیلی آن در استانداردهای مصوب ارائه شده است.

به منظور برآش بهترین مدل (رابطه) به داده‌های تجربی و با توجه به اهداف مورد نظر، می‌توان از روابط مختلفی استفاده کرد که در مورد آزمایشهای تعیین درجه اصلاح پذیری خاکها (شوری‌زدایی، سدیم‌زدایی و تهیه منحنيهای آبشویی نمکهای محلول) استفاده از دو مدل (رابطه) زیر به دلیل سهولتهای محاسباتی و کاربردی پیشنهاد می‌شود.

### الف- رابطه کوستیاکف

رابطه کوستیاکف<sup>۱</sup> (۱۹۳۲) یک مدل کاملاً تجربی است. اصولاً مدل‌های تقریبی برآورد نفوذپذیری، بر پایه اصول حرکت آب خاک برای شرایط اولیه و مرزی ساده‌شده‌ای اشتقاق یافته‌اند. پارامترهای لازم این مدلها را باید با توجه به ویژگیهای آب خاک تعیین کرد و برای آن دسته از مدل‌هایی که کاملاً تجربی هستند، لازم است پارامترهای مورد نیاز را از طریق رسمهای آزمونهای نفوذپذیری و یا دیگر روش‌های برآورده، بسیار تقریبی مشخص کرد. به‌حال کوستیاکف رابطه تجربی زیر را برای تعیین یا برآورد نفوذ آب به خاک پیشنهاد کرده است.

$$D = ct^n \quad (6)$$

که در آن،  $D$  میزان نفوذ تجمعی (آب نفوذیافته) از شروع آزمایش (سانتی‌متر)؛  $t$ ، زمان تجمعی از ابتدای آزمون (دقیقه)، و  $c$ ، ضریب‌های تجربی رابطه است.

این ضرایب برای خاکهای مختلف متفاوت است، در ابتدا تصور می‌شد که اهمیت فیزیکی ندارند، یعنی مقادیر آنها بیانگر ویژگیهای خاصی از خاک محل مورد آزمون نیست، لیکن بررسیهای انجام شده نشان می‌دهد که مقادیر این ضرایب، به نوع خاک، زمان، میزان رطوبت اولیه خاک، هدایت مویینگی<sup>۲</sup> و هدایت هیدرولیکی<sup>۳</sup> آن بستگی دارند. مقدار ضرایب ذکر شده ( $c$ ) از برآش بهترین نمودار به داده‌های اندازه‌گیری شده (جفتهای متناظر نفوذ و زمان تجمعی یعنی  $D$  و  $t$ ) به دست می‌آید. شایان ذکر است که مقدار  $c$  همواره بزرگ‌تر از صفر و مقدار  $n$  بین صفر تا یک، دامنه تغییر دارد.

بدیهی است که مشتق‌گیری از رابطه ۶ منجر به رابطه سرعت نفوذ لحظه‌ای به شرح زیر خواهد شد:

$$I_{ins} = n \cdot ct^{n-1} \quad (7)$$

هرگاه تساوی  $(m = n - 1)$  را که مقدار آن منفی و همواره از یک کوچک‌تر است در رابطه بالا جایگزین شود نتیجه به صورت زیر، ارائه خواهد شد:

$$I_{ins} = n \cdot ct^m \quad (8)$$

1 - Kostiakov,A.N (1932). In, A comparison of numerical simulation models for one-dimensional infiltration, Soil Science Soc. Am. Proc, 41: 285-293

2 - Capillary Conductivity

3 - Hydraulic Conductivity

در این رابطه‌ها،  $I_{ins}$ ، سرعت نفوذ لحظه‌ای (سانتی‌متر بر دقیقه) می‌باشد.

همان‌گونه که در حین اجرای آزمایش مشاهده می‌شود، در شروع فرایند نفوذ (افزودن آب به خاک) میزان نفوذ آب به خاک در شرایط غیر مرتبط، زیاد است و به تدریج با گذشت زمان، کاهش نسبی می‌یابد تا آنکه به مقدار ثابتی برسد که به اصطلاح آن را سرعت نفوذ پایه زمین (خاک) می‌نامند. بنابراین زمان لازم برای رسیدن به سرعت نفوذ پایه زمین نیز باید معلوم باشد، این عامل را می‌توان از رابطه زیر به دست آورد:

$$T_B = 600(1-n) \quad (9)$$

که در آن،  $T_B$  بر حسب دقیقه است.

با جایگزینی  $T_B$  از رابطه ۸ در رابطه ۹ سرعت نفوذ پایه زمین (خاک) به شرح زیر محاسبه می‌شود.

$$\begin{aligned} l_B &= n \cdot c T_B^m \\ l_B &= n \cdot c [600(1-n)]^m \end{aligned} \quad (10)$$

که در آن،  $l_B$  بر حسب سانتی‌متر بر دقیقه است.

در حالی که تساوی  $K = 60n \cdot c$  در رابطه بالا جایگزین شود، رابطه به شکل ساده زیر در می‌آید:

$$l_B = K (T_B)^m \quad (11)$$

که در آن،  $l_B$  بر حسب سانتی‌متر بر ساعت است.

بررسی رابطه پایه‌ای ۷ نشان می‌دهد که هرگاه  $t$  به سمت بی‌نهایت میل کند، مقدار سرعت نفوذ، به جای رسیدن به مقدار ثابت به سمت صفر میل خواهد کرد که این امر واقعیت نداشته<sup>۱</sup> و معایر تعریف قراردادی سرعت نفوذ پایه زمین (خاک) است. زیرا در یک خاک همگن، سرعت نفوذ نهایی (پایه زمین) حدوداً برابر با هدایت هیدرولیکی اشباع خاک می‌باشد. افزون بر این، پارامترهای به کار رفته در روابط ۸ و ۹ را باید با رقمهای مشاهده‌ای و آزمایشی ارزیابی کرد و امکان تعبیر فیزیکی آنها وجود ندارد.

۱- فقط در خاکهای رسی و بسیار سنگین که هدایت هیدرولیکی اشباع آنها بسیار ناچیز می‌باشد، ممکن است سرعت نفوذ به حدود صفر برسد.

با توجه به موارد بیان شده، می‌توان نتیجه گرفت که کاربرد رابطه ۷ و روابط حاصل از آن، تا زمانی اعتبار کاربردی دارند که میزان سرعت نفوذ به هدایت هیدرولیکی اشباع خاک برسد و از آن پس این روابط قادر به توصیف سرعت نفوذ در خاک نیستند بنابراین، دامنه کاربرد مدل کوستیاکف به صورت زیر قابل بیان است.

$$t \leq t_{\max} \quad t_{\max} = \left[ \frac{K_s}{n.c} \right]^{1/(n-1)} \quad (12)$$

در رابطه بالا،  $K_s$  هدایت هیدرولیکی اشباع خاک مزروعه مورد آزمایش است. بررسی نتایج آزمایش‌های متعددی نشان داده است که برای برآورد سرعت نفوذ آب به خاک در کوتاه‌مدت (حدود چند ساعت)، به کارگیری رابطه کوستیاکف مناسب است. در صورتی که در درازمدت مقادیر محاسبه شده از این رابطه از مقادیر اندازه‌گیری شده کمتر خواهد بود. بنابراین، استفاده از این مدل به منظور طراحی سامانه‌های آبیاری و بهویژه آبیاری سطحی پیشنهاد شده است.

### (ب) رابطه فیلیپ

رابطه ارائه شده بهوسیله فیلیپ<sup>۱</sup> (۱۹۵۷)، یک مدل غیرتجربی است. به طور کلی مدل‌هایی که بر مبنای ویژگی‌های فیزیکی خاک به دست آمده‌اند، در مقایسه با روابط تجربی بسیار پیچیده‌تر می‌باشند. این‌گونه مدل‌ها بر مبنای اصل بقای جرم و حرکت آب در خاک و با اعمال بعضی فرضیهای ساده به دست آمده‌اند. فیلیپ نخستین راهکار مجرد ریاضی برای حل رابطه جریان و جهت حالت نفوذ قائم را ارائه داد. وی رابطه ریچاردز<sup>۲</sup> (۱۹۳۱) را با استفاده از سری توابع نمایی برای نفوذپذیری سطحی مستقر که نیمرخ خاک آن همگن، عمیق و دارای توزیع رطوبت اولیه یکنواختی باشد، حل و پیشنهاد کرد که فقط دو عبارت اولیه بسط سری، مورد استفاده قرار گیرد. رابطه حاصل به شرح زیر است:

$$I = St^{0/5} + At \quad (13)$$

که در آن  $S$  و  $A$  پارامترهای مرتبط با میزان رطوبت اولیه و هدایت هیدرولیکی خاک می‌باشند. به عبارت دیگر، ضریب  $A$  مقداری ثابت و تابع هدایت هیدرولیکی خاک است و  $S$  به نام ضریب جذبی<sup>۳</sup> شناخته می‌شود. مقادیر این دو ضریب از برآش بمهترین نمودار به داده‌های اندازه‌گیری شده (جفته‌ای متناظر نفوذ و زمان تجمعی یعنی  $I$  و  $t$ ) به دست می‌آیند. مشتق‌گیری از رابطه ۱۳ منجر به رابطه سرعت نفوذ می‌شود.

$$i = 0/5 St^{-0/5} + A \quad (14)$$

1 - Philip, J.R. (1957) a, b. the theory of infiltration, soil science, 83: 257-264 and 345-388

2 - Richards, L.A (1931). In, introduction to soil physics, hillel, D.1982. Academic press, New York. chapter 12:211-243

3 - Sorptivity Coefficient

با دقت در رابطه اخیر، ملاحظه می شود که پس از گذشت زمان طولانی، سرعت نفوذ آب به خاک، به مقدار A می رسد که مرتبط با هدایت هیدرولیکی اشباع خاک است.

یانگ<sup>۱</sup> (۱۹۶۸) پیشنهاد کرد که مقدار A را می توان به صورت  $2K_s S^{0/5}$  و S را به شکل  $2K_s S/3$  تقریب نموده که در آن M مقدار تخلخل پرشونده  $K_s$  هدایت هیدرولیکی اشباع خاک و  $S_e$  مکش مؤثر در جهه رطوبتی خاک<sup>۲</sup> است. برای محاسبه پارامترهای S و A در رابطه ۱۳ و بر مبنای رقمهای اندازه گیری شده آزمایشی (مزرعه ای) یعنی I (نفوذ تجمعی) و t (زمان تجمعی) می توان به شرح زیر عمل کرد.  
ابتدا طرفین رابطه ۱۳ را به t تقسیم کرده تا رابطه ای به شکل زیر به دست آید:

$$\frac{I}{t} = S \cdot \frac{1}{t^{0/5}} + A \quad (15)$$

هرگاه متغیرهای وابسته و مستقل موجود در رابطه اخیر به صورت زیر تغییر داده شوند.

$$Y = \frac{I}{t} \quad X = \frac{1}{t^{0/5}} = t^{-0/5} \quad (16)$$

رابطه ۱۵ را می توان به صورت زیر ارائه کرد.

$$Y = S \cdot X + A \quad (17)$$

این رابطه در واقع نوعی رابطه خطی است که معمولاً به شکل زیر نشان داده می شود.

$$Y = b + a \cdot X \quad (18)$$

در رابطه اخیر  $b = A$  و  $a = S$  است. بنابراین با اعمال رگرسیون خطی بر روی رقمهای حاصل X و Y ، مقادیر ثابت رابطه یعنی a ، b و ضریب همبستگی رقمهای به کار رفته یعنی r به سهولت قابل محاسبه است. پس از مشخص شدن ضرایب رابطه، باید متغیرها را تغییر داد. بنابراین، در ابتدا لازم است طرفین رابطه ۱۵ را در t ضرب کرد که نتیجه به شکل زیر خواهد شد:

$$I = S \cdot t^{0/5} + A \cdot t$$

1 -Young. , E.G (1968) In, A comparison of numerical simulation models for one-dimensional infiltration. Soil Science. Soc. Am. Proc, 41 :285-293

2 - Fillable Porosity

3 - Soil Wetting Front

که این رابطه در واقع همان رابطه اصلی ۱۵ است که مقادیر عددی ضرایب S و A آن مشخص شده و برای تعیین رابطه سرعت نفوذ می‌توان آن را به صورت رابطه ۱۴ درآورد، با این تفاوت که اکنون مقادیر عددی ضرایب مربوط معین هستند. از جمله معايip رابطه فيلipp، اعمال فرضهای يكناختی (همگنی) و رطوبت اوليه در نيمrix خاک است، زيرا اين شرایط ممکن است در حالت مزرعه‌اي صدق نکند که بدین دليل، امكان دارد نتایج حاصل از رابطه با داده‌های تجربی و مزرعه‌ای تطابق نداشته باشند. بنابراین تجربه نشان داده است که رابطه فيلipp برای دوره‌های درازمدت (بيشتر از چند ساعت) نتایج مطلوب‌تری را به دست می‌دهد.

به دليل اينکه آيشوبي نمکهاي محلول از نيمrix خاکها با روشهای غرقاب دائم و يا متناوب و حتى با روش باراني، اقدامهایي نسبتاً درازمدت است، بنابراین باید تناسب تطابق‌پذيری رابطه فيلipp در اين زمينه در نظر گرفته شود.

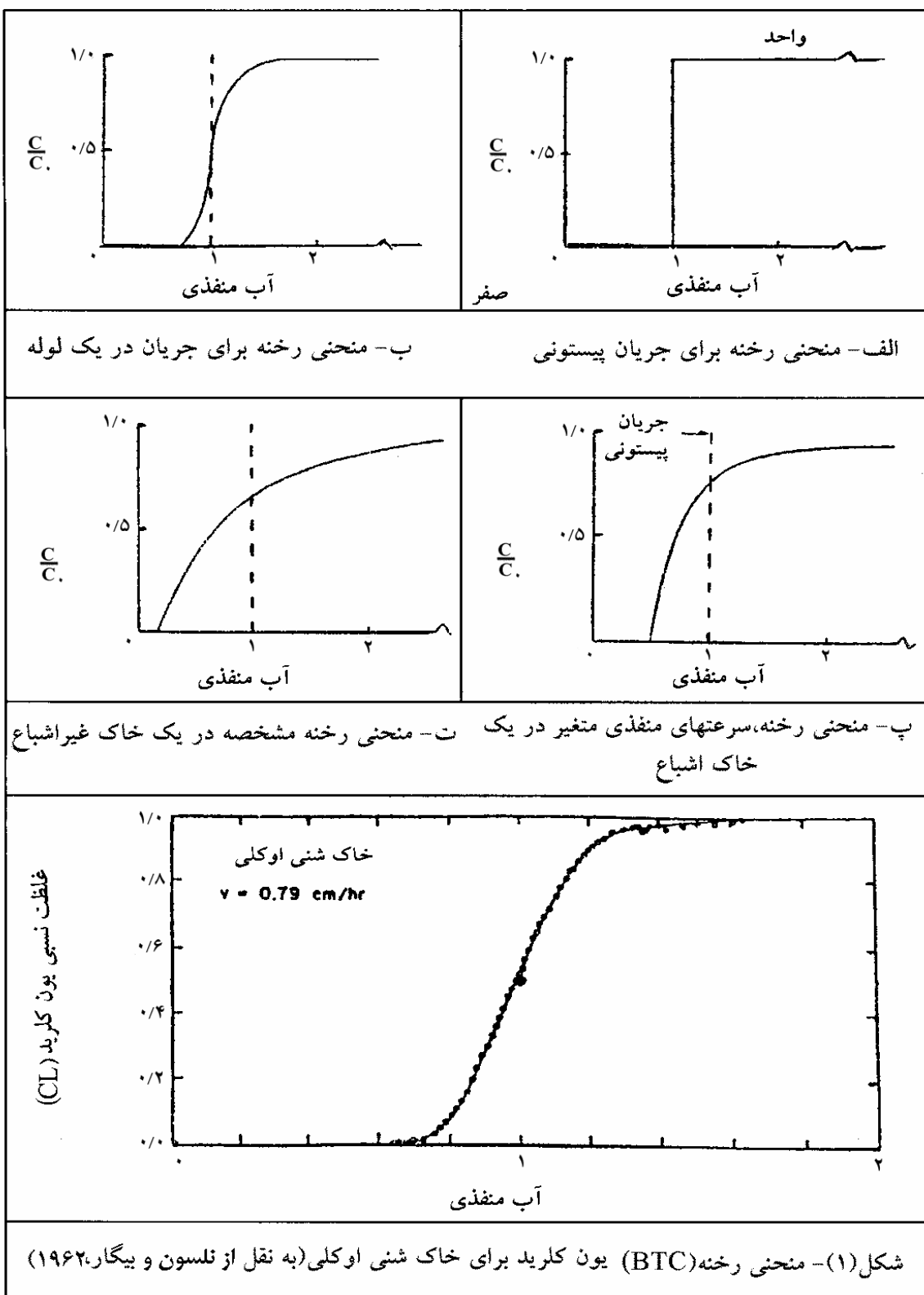
تذکر : روابط ۱۵ تا ۱۹ فقط در مورد خاکهای سبک و متوسط می‌تواند کاربرد داشته باشد، استفاده از اين رابطه‌ها در مورد خاکهای سنگين بافت، به دليل بروز ضرایب منفي در رابطه‌های مربوط به آنها، پيشنهاد نمی‌شود.

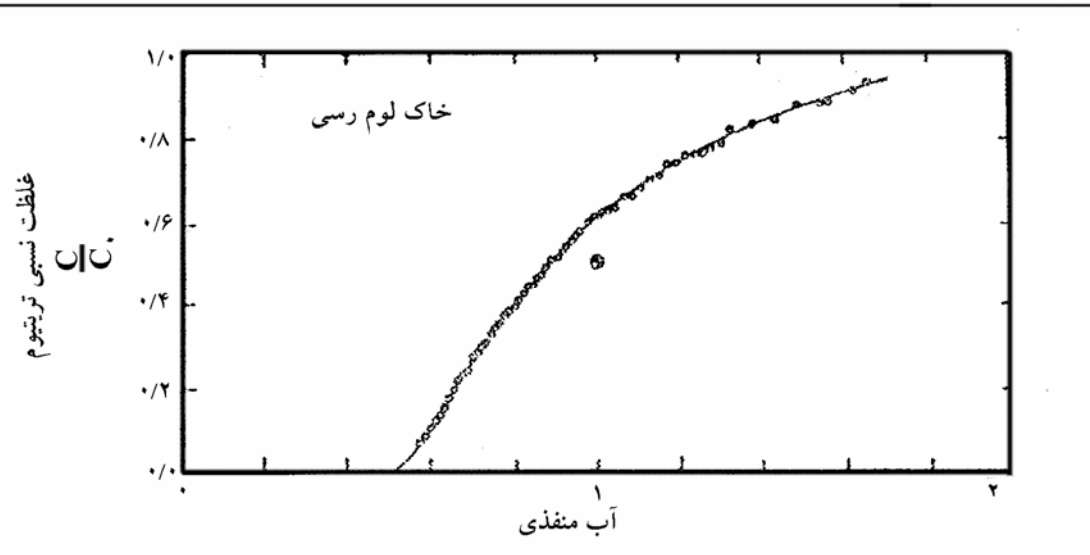
توجه : در بررسی چگونگی تغييرات نفوذپذيری خاکها از روشهای و روابط متعدد ديگري نيز استفاده می‌شود که به دليل رعایت مختصرنویسي از بيان آن خودداری می‌شود.

## پیوست ۲

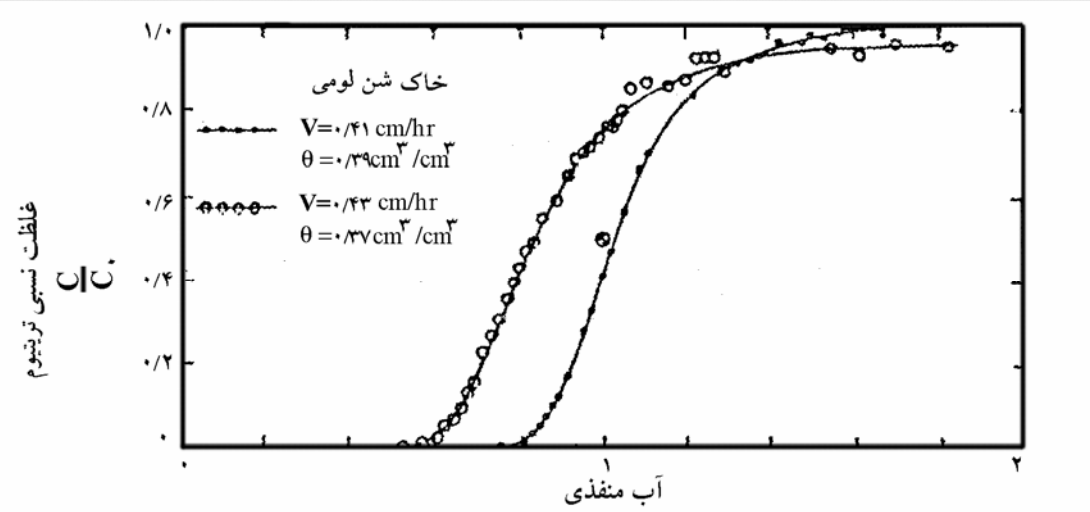
بعضی منحنیهای رخنه (BTC) نظری و تجربی

[۵۹، ۶۰، ۶۱، ۶۵]

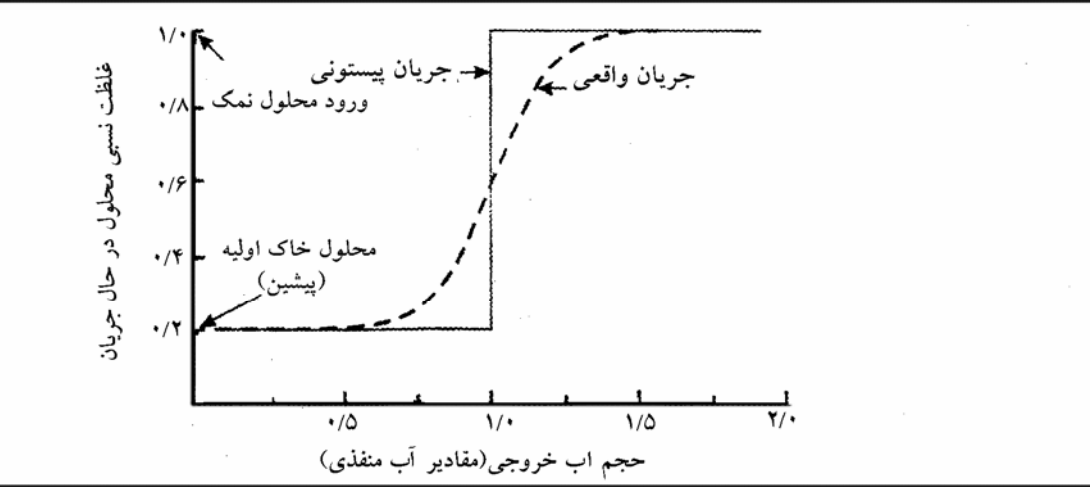




شکل (۲)- منحنی رخته (BTC) یون تریتیوم برای خاک لومی رسی ایکلن (به نقل از نلسون و بیگلر، ۱۹۶۲)



شکل (۳)- منحنی رخته (BTC) تریتیوم برای خاک شنی لومی یولو با دو مقدار میزان رطوبت (آب) (به نقل از نلسون و بیگار، ۱۹۶۲)



شکل (۴)- شماتی تحریحی منحنی رخته (BTC) زیگموئیدی (S-shaped)، در نوعی خاک شنی اشباع، طی فرایند جایگزینی محلول رقیق شده قبلی (موجود) به وسیله افزایش محلولی با میزان شوری پنج بار بیشتر (به نقل از هیل، ۱۹۸۸)

### پیوست ۳

## مثال عملی از کاربرد مدل‌های تجربی آبشویی نمک در خاکهای شور

شرح توصیفی و کامل روش اجرای آزمایشها، پردازش داده‌ها و شیوه نتیجه‌گیری از رقمها و اعداد حاصل از اجرای آزمونهای آبشویی خاکهای شور در پیوست ۱ ارائه شده است. در این پیوست نسبت به ارائه یک مثال عملی در مورد کاربرد مدل‌های تجربی آبشویی نمکها در خاکهای شور اقدام شده است.

### مثال<sup>۱</sup>

قطعه زمینی با کیفیت شیمیایی شور و سدیمی در بخشی از زمینهای جنوب شرقی استان خوزستان انتخاب شد، از چهار نقطه و در سه مرحله، نمونه‌های خاک تهیه و برای انجام آزمایش‌های لازم به آزمایشگاه ارسال شد. نتایج تجزیه‌های فیزیکی و شیمیایی نمونه‌های خاک قطعه انتخابی، در جدولهای ۱ و ۲ ارائه شده است. براساس رده‌بندی جامع وزارت کشاورزی کشور ایالات متحده (USDA)، خاک منطقه مورد مطالعه لومی‌رسی تا رسی سیلیتی و از نظر رده‌بندی تیپیک هاپلوسالید<sup>۲</sup> بوده است. آب به کاررفته در این تحقیق، از رودخانه زهره تأمین شد، نتایج تجزیه شیمیایی آب مورد استفاده در جدول ۳ ارائه شده است و کیفیت آن برای مصارف کشاورزی بینایی قابل رده‌بندی است. عمق آب به کاررفته (آبشویی) در این بررسی، ۱۰۰ سانتی‌متر بوده که در چهار تناوب ۰/۲۵ متری به کار رفته است.

برای انجام این آزمون، کرتهای مدل<sup>۳</sup> با چهار عدد ورق آهنی پیش‌ساخته، ایجاد شد که پس از نصب و کوییده‌شدن در خاک، قطعه (کرت) آزمایشی یک مترمربعی را به وجود آورد. در مجموع شش کرت مدل بدین ترتیب ایجاد شد، شایان ذکر است که عمق کوییده شدن اصلاح جانی هر کرت مدل در نیمرخ خاک ۲۰ سانتی‌متر بوده است. اطراف هر کرت مدل با پشت‌های خاکی و مستحکم طوری محصور می‌شود که کرتی به ابعاد ۲×۲ مترمربعی، کرت مدل را احاطه کند. از این کرت به عنوان حوضچه محافظ<sup>۴</sup>، در دوره اجرای آزمایش استفاده می‌شود، همان‌گونه که گفته شد روش آبشویی نمکهای محلول از نیمرخ خاک در این مطالعه، غرقاب متناسب بوده است. طی دوره نفوذ هر تناوب آب (آبشویی) به سطح خاک کرتهای مدل، همچنین در فاصله زمانی بین دو تناوب آب به کاررفته (۳ تا ۴ روز به عنوان زمان توزیع مجدد رطوبت)، سطح کرتهای مدل به دلیل جلوگیری از تبخیر با ورقه‌های نایلونی، پوشیده می‌شد.

---

۱ - پذیراء، ابراهیم و عباس کشاورز (۱۳۷۸) : بررسی و تعیین آب مورد نیاز اصلاحی خاکهای شور و سدیمی اراضی جنوب شرقی استان خوزستان، مجله تحقیقات فنی و مهندسی کشاورزی، جلد ۴ شماره ۱۶، ص ۱-۱۳.

2 - Typic Haplosalid

3 - Model plots

4 - Buffer pond

### جدول ۱- ویژگیهای شیمیایی نمونه‌های خاک قبل از آبشویی نمکهای محلول از نیمرخ خاک

| درصد سدیم<br>تبدالی * | ظرفیت کاتیونهای<br>تبدالی، میلی‌اکی<br>والان بر یکصد گرم<br>خاک خشک | سدیم تبدالی<br>میلی‌اکی والان<br>بر یکصد گرم<br>خاک خشک | گچ (سولفات<br>کلسیم آبدار)<br>% | کربنات<br>کلسیم<br>% | pH<br>خاک | هدایت الکتریکی<br>عصاره اشباع خاک<br>(دسی‌زیمنس بر متر) | اعماق<br>نمونه‌برداری<br>خاک، سانتی‌متر |
|-----------------------|---|---|---------------------------------|----------------------|-----------|---|---|
| ۲۵/۱۸                 | ۱۹/۹۰   | ۵/۰۱  | ۰/۵۴                            | ۳۲/۰۰                | ۷/۱۰      | ۴۶/۵۰   | ۲۵-۰                                    |
| ۴۵/۶۲                 | ۱۳/۷۰   | ۶/۲۵  | ۰/۵۹                            | ۳۲/۰۰                | ۶/۹۵      | ۳۶/۶۰   | ۵۰-۲۵                                   |
| ۴۴/۴۹                 | ۱۱/۷۱   | ۵/۲۱  | ۰/۶۴                            | ۳۳/۰۰                | ۷/۱۰      | ۳۸/۲۰   | ۷۵-۵۰                                   |
| ۳۶/۵۸                 | ۱۶/۴۳   | ۶/۰۱  | ۰/۴۲                            | ۳۴/۰۰                | ۷/۲۰      | ۳۶/۸۰   | ۱۰۰-۷۵                                  |

\* ESP= Ex.Na<sup>+</sup>.100/CEC

### جدول ۲- ویژگیهای فیزیکی نمونه‌های خاک مورد آزمون آبشویی نمکهای محلول از نیمرخ خاک

| میزان رطوبت خاک (درصد وزنی) * | نفوذپذیری           |               |                  |       |                     | تخلخل<br>کل نمونه<br>خاک٪ | جرم مخصوص<br>ظاهری خاک گرم<br>بر سانتی‌مترمکعب | جرم مخصوص<br>حقیقی خاک گرم<br>بر سانتی‌مترمکعب | اعماق<br>نمونه‌برداری<br>خاک<br>سانتی‌متر |
|-------------------------------|---------------------|---------------|------------------|-------|---------------------|---------------------------|--|--|---|
|                               | پس از<br>توزیع مجدد | جین<br>آبشویی | قبل از<br>آبشویی | توصیف | میلی‌متر بر<br>ساعت |                           |  |  |   |
| ۲۰/۹۳                         | ۳۳/۰۰               | ۵/۸۰          | متوسط            | ۱۰/۵  | ۴۲/۱۰               | ۱/۴۰                      | ۲/۴۲   | ۲۵-۰   |   |
| ۱۸/۶۵                         | ۳۲/۰۰               | ۷/۱۰          | متوسط            | ۱۶/۶  | ۳۷/۷۰               | ۱/۵۲                      | ۲/۴۴   | ۵۰-۲۵  |   |
| ۱۷/۰۰                         | ۳۰/۰۰               | ۷/۵۰          | متوسط            | ۱۰/۵  | ۴۰/۳۲               | ۱/۴۸                      | ۲/۴۸   | ۷۵-۵۰  |   |
| ۱۷/۰۰                         | ۳۰/۰۰               | ۱۲/۲۰         | متوسط            | ۱۰/۵  | ۴۰/۳۲               | ۱/۴۸                      | ۲/۴۸   | ۱۰۰-۷۵   |   |

\* میزان کسر رطوبت تجمعی لایه‌های خاک قبل از کاربرد اولین دور آب آبشویی به ترتیب ۵/۲۹، ۹/۶۸، ۱۳/۱۴، ۹/۶۸ و ۱۴/۹۷ سانتی‌متر بوده است.

### جدول ۳- نتایج تجزیه شیمیایی آب به کاررفته در آزمون آبشویی نمکهای محلول از نیمرخ خاک

| ردیبندی *                     | نسبت جذب سدیم | کلسیم+منیزیم،<br>میلی‌اکی والان بر لیتر<br>(Ca <sup>2+</sup> + Mg <sup>2+</sup> ) | سدیم، میلی‌اکی والان<br>بر لیتر<br>(Na <sup>+</sup> ) | واکنش<br>خاک<br>(pH) | هدایت الکتریکی<br>(دسی‌زیمنس بر متر) |
|-------------------------------|---------------|---|---|----------------------|--------------------------------------|
| C <sub>3</sub> S <sub>1</sub> | ۲/۵۴          | ۶/۸۴  | ۴/۷۰  | ۷/۴۰                 | ۱/۳۲                                 |

\* براساس جدول راهنمای آزمایشگاه شوری خاک ایالات متحده امریکا، کتابچه شماره ۶۰ (۱۹۵۴)

$$\text{SAR} = \text{برحسب میلی‌اکی والان بر لیتر به توان } \frac{1}{2} \text{ است.}$$

پس از نفوذ هر تناوب ۲۵ سانتی‌متری آب به سطح کرتها مدل و پس از گذشت مدت زمان لازم برای توزیع مجدد رطوبت در نیمرخ خاک که انجام نمونه‌برداری از خاک سطح کرتها مدل را تسريع و ممکن ساخته است، از اعمق مشابه (همانند اعمق ارائه شده در جدولهای ۱ و ۲) در سه مرحله به طور تصادفی از سطح شش کرت مدل، نمونه‌برداری می‌شد. پس از برداشت نمونه‌های خاک، حفره ایجاد شده در سطح کرتها مدل و تا عمق مربوط در نیمرخ خاک با لوله پیویسی هم‌قطر مته نمونه‌برداری از خاک اشغال و بخش میانی لوله‌های تعییه شده با خاک خشک و هم‌جوار پر و به‌وسیله پیستونی کوبیده می‌شد تا از نشت و فرار آب از درون لوله‌ها جلوگیری شود. در هر دوره به کارگیری آب آبشویی به کرتها محافظ نیز مقادیر لازم آب اضافه و سعی در هم سطح نگهداشتن عمق آب در کرتها مدل (میانی) و کرتها محافظ (بیرونی) به عمل می‌آمد. انجام این امر به منظور ایجاد اطمینان از نفوذ عمودی آب در کرتها مدل بوده است.

در مراحل افزایش اولین و آخرین میزان تناوب آب به کاررفته (۲۵ سانتی‌متر اول و ۲۵ سانتی‌متر نهایی)، افت سطح ایستابی از محل کرتها مدل (میانی) اندازه‌گیری و محاسبات لازم، برای سرعت نفوذ پایه (اولیه و نهایی) انجام شد تا بدین ترتیب بتوان در مورد اثر آبشویی نمکهای محلول از نیمرخ خاکها و در ارتباط با تغییرات سرعت نفوذ پایه زمینه‌ها را بررسی و قضاوت کرد.

در همه نمونه‌های خاک تهیه شده در آزمایشگاه عواملی مانند هدایت الکتریکی عصاره اشباع خاک، مقدار  $\text{H}^+$ ، سدیم تبادلی ( $\text{Ex. Na}^+$ )، ظرفیت تبادل کاتیونی (CEC) اندازه‌گیری شده و بر مبنای رقمهای سدیم تبادلی و ظرفیت تبادل کاتیونی نمونه‌های خاک، درصد سدیم تبادلی محاسبه شده است.

تذکر: در این مثال موارد مرتبط با شوری‌زدایی خاک<sup>۱</sup> مورد تجزیه و تحلیل و مقایسه قرار می‌گیرد، موارد سدیم‌زدایی خاک<sup>۲</sup> از نظر روش تجزیه، تحلیل و نتیجه‌گیری دقیقاً مشابه شوری‌زدایی می‌باشد که به دلیل مختصرنویسی به این مورد اکتفا شده است.

جدول ۴ مقادیر شوری اولیه ( $\text{EC}_{\text{f}}$ ) و نهایی ( $\text{EC}_{\text{i}}$ ) عصاره اشباع خاک را قبل از استفاده از آب آبشویی و پس از استفاده از مقادیر متفاوت آب (تناوبهای آب آبشویی) را در اعمق مختلف نمونه‌برداری شده، نشان می‌دهد.

### حل مثال :

ابتدا ضروری است رقمهای شوری خاک (هدایت الکتریکی عصاره اشباع) مربوط به قبل، حین و پس از آبشویی که تهیه و در جدول ۴ ارائه شده، برای افقهای متفاوت و موردنظر در نیمرخ خاک یعنی ۰ تا ۲۵، ۰ تا ۵۰، ۰ تا ۷۵ و ۰ تا ۱۰۰ سانتی‌متری مورد توجه قرار گیرد و میانگین وزنی لایه‌های گفته شده، محاسبه گردد که نتایج حاصل در جدول ۵ ارائه شده است.

توجه: در مورد رقمهای مندرج در جدول ۵ به دلیل اینکه اعمق نمونه‌برداری خاک در جدول ۴ دارای تناوب یا تواترهای یکسانی بوده است (۲۵ سانتی‌متری) بدین دلیل رقمهای محاسبه شده میانگین وزنی و میانگین حسابی آن برابر می‌باشد. در شرایطی که ضخامت لایه‌های نمونه‌برداری از نیمرخ خاک برابر نباشند، استفاده از رقمهای میانگین وزنی علمی و منطقی‌تر است.

به دلیل آسانی محاسبات و کاربردی که در پی می‌آید، پیشنهاد می‌شود رقمهای مندرج در جدول ۵ از طریق تعویض سطرها و ستونها به صورت جدول ۶ تهیه و ارائه شود.

1 - Desalinization  
2 - Desodification

### الف) محاسبه ضریب بازده آبشویی نمکهای محلول از نیمرخ خاک مورد آزمون

با توجه بر آنچه در مبحث ۴-۸ متن راهنمای اینجا بحث و نتیجه‌گیری از مبحث کاربرد مدل‌های نظری آبشویی نمکها بیان شد، نظر به اینکه در این آزمایش میزان شوری نهایی ( $EC_f$ ) مربوط به لایه ۰ تا ۱۰۰ سانتی‌متری نیمرخ خاک (مندرج در جدول ۵)، بهازای کاربرد ۱۰۰ سانتی‌متر عمق آب آبشویی ( $D_w$ ، سانتی‌متر) برابر  $8/0.8$  دسی‌زیمنس بر متر (dS/m) مشخص شده است و ملاحظه رقمهای مندرج در جدول ۲ که میزان کسر رطوبت لایه ۰ تا ۱۰۰ سانتی‌متری نیمرخ خاک را قبل از آبشویی برابر  $14/97$  سانتی‌متر ارائه نموده است، و توجه به مندرجات جدول ۳ که میزان شوری آب کاربردی آبشویی را  $1/32$  دسی‌زیمنس بر متر گزارش کرده است، ابتدا با استفاده از رابطه ۴-۹۴ مقدار ضریب مربوطه به‌شرح زیر محاسبه شده است.

$$r = \frac{D_w}{D_p} = \frac{100}{85/03} = 1/176$$

در رابطه بالا،  $D_w$  عمق ناخالص آب کاربردی (آبشویی) و  $D_p$  عمق خالص آب آبشویی که پس از تأمین کسر رطوبت لایه مربوطه به صورت تراوشهای عمقی از نیمرخ خاک خارج می‌گردد (متراff دلایل  $DL_w$  یا عمق خالص آب کاربردی یا آبشویی نمک می‌باشد).

سپس با استفاده از رابطه ۴-۹۳ مقدار ضریب بازده آبشویی نمکهای محلول از نیمرخ خاک، به صورت زیر برآورد می‌شود:

$$f = \frac{r \cdot EC_w}{EC_{eq}} = \frac{1/176 \times 1/32}{5/08} = 0/30$$

### ب) رابطه عمق آب آبشویی کاربردی ( $D_w$ ) و تغییرات میزان شوری خاک ( $EC_e$ ) مورد آزمون

با توجه به آنچه در مبحث ۴-۱ متن راهنمای گفته شده با استفاده از رابطه‌های ۴-۲۰ و ۴-۲۰-۴ و استفاده از رقمهای و اعداد مندرج در جدول ۶ اقدام شد که نتایج در جدول ۷ ارائه شده است. بررسی رقمهای جدول ذکر شده، بیانگر آن است که استفاده از ۱۰۰ سانتی‌متر آب مصرفی موجب آبشویی  $93/70$ ،  $90/0.05$ ،  $80/0.55$  و  $64/25$  درصد میزان نمک اولیه اعماق مربوطه (به طور میانگین) شده است. مقدار آب استفاده شده مذکور معادل با  $5/3$ ،  $5/3$ ،  $3/3$  و  $2/5$  واحد حجم آب منفذی برای اعماق گفته شده می‌باشد.

تذکر: برای آگاهی بیشتر از چگونگی محاسبه واحدهای حجم (آب یا رطوبت) منفذی به مبحث ۳-۵-۲-۳ متن راهنمای مراجعه شود.

**جدول ۴- مقادیر شوری اولیه ( $EC_f$ ) و نهایی ( $EC_i$ ) عصاره اشباع خاک، قبل از به کارگیری آب آبشویی و پس از به کارگیری مقادیر متفاوت آب آبشویی (ناخالص یا  $D_w$ ) در اعمق مختلف نمونه برداری شده**

| هدایت الکتریکی عصاره اشباع خاک پس از به کارگیری تناوبهای مختلف آب کاربردی |                      |                     |                     |                     | هدایت الکتریکی عصاره اشباع خاک قبل از آبشویی ( $EC_i$ ) (دسی زیمنس بر متر) | اعمق نمونه برداری از خاک (سانتی متر) | ردیف |
|---|----------------------|---------------------|---------------------|---------------------|--|--------------------------------------|------|
| میانگین $EC_f$ (دسی زیمنس بر متر)   | $D_w = 100\text{Cm}$ | $D_w = 75\text{Cm}$ | $D_w = 50\text{Cm}$ | $D_w = 25\text{Cm}$ |  |                                      |      |
| ۲/۹۲  | ۲/۳۱                 | ۲/۶۲                | ۲/۹۳                | ۳/۸۳                | ۴۶/۵۰  | ۲۵-۰                                 | ۱    |
| ۵/۳۵  | ۲/۸۳                 | ۳/۰۶                | ۴/۸۲                | ۱۰/۶۸               | ۳۶/۵۰  | ۵۰-۲۵                                | ۲    |
| ۱۵/۳۲   | ۳/۳۰                 | ۶/۹۷                | ۱۳/۴۷               | ۳۷/۵۳               | ۳۸/۲۰  | ۷۵-۵۰                                | ۳    |
| ۳۲/۷۲   | ۱۱/۹۰                | ۲۹/۸۰               | ۴۲/۷۰               | ۴۶/۵۰               | ۳۶/۴۰  | ۱۰۰-۷۵                               | ۴    |
| ۱۴/۰۷   | ۵/۰۸                 | ۱۰/۶۱               | ۱۵/۹۸               | ۲۴/۶۳               | ۳۹/۴۲  | میانگین                              |      |

\* رقمهای ( $EC_f$ ) متن جدول بر حسب دسی زیمنس بر متر می باشند.

**جدول ۵- مقادیر محاسبه شده (میانگین وزنی) شوری اولیه ( $EC_f$ ) و نهایی ( $EC_i$ ) عصاره اشباع خاک، قبل از استفاده از آب آبشویی و پس از کاربرد مقادیر متفاوت آب آبشویی (ناخالص یا  $D_w$ ) در اعمق مختلف نیمرخ خاک**

| هدایت الکتریکی عصاره اشباع خاک پس از کاربرد تناوبهای مختلف آب آبیاری |                      |                     |                     |                     | هدایت الکتریکی عصاره اشباع خاک قبل از آبشویی ( $EC_i$ ) (دسی زیمنس بر متر) | اعمق مختلف نیمرخ خاک (سانتی متر) | ردیف |
|--|----------------------|---------------------|---------------------|---------------------|--|----------------------------------|------|
| میانگین $EC_f$ (دسی زیمنس بر متر)                                    | $D_w = 100\text{Cm}$ | $D_w = 75\text{Cm}$ | $D_w = 50\text{Cm}$ | $D_w = 25\text{Cm}$ |  |                                  |      |
| ۲/۹۲   | ۲/۳۱                 | ۲/۶۲                | ۲/۹۳                | ۳/۸۳                | ۴۶/۵۰  | ۲۵-۰                             | ۱    |
| ۴/۱۳   | ۲/۵۷                 | ۲/۸۴                | ۳/۸۷                | ۷/۲۵                | ۴۱/۵۵  | ۵۰-۰                             | ۲    |
| ۷/۸۶   | ۲/۸۱                 | ۴/۲۲                | ۷/۰۷                | ۱۷/۳۵               | ۴۰/۴۳  | ۷۵-۰                             | ۳    |
| ۱۴/۰۷  | ۵/۰۸                 | ۱۰/۶۱               | ۱۵/۹۸               | ۲۴/۶۳               | ۳۹/۴۲  | ۱۰۰-۰                            | ۴    |

\* رقمهای ( $EC_f$ ) متن جدول بر حسب دسی زیمنس بر متر می باشند.

\*\* اعماق مختلف نیمرخ خاک در واقع لایه های تجمعی اعماق نمونه برداری شده از سطح خاک است.

همچنین مندرجات جدول ۷ نشان می‌دهد که آبشویی نمکهای محلول از نیمرخ خاکهای رسوبی، سنگین بافت، شور و سدیمی منطقه مورد مطالعه با روش غرقاب متناوب در کاهش نمکهای محلول (شوری) بهویژه در لایه‌های سطحی نیمرخ خاک بهدلیل تغییرات متناوب میزان رطوبت خاک مؤثر بوده است. به‌گونه‌ای که کاربرد ۱۰۰ سانتی‌متر آب آبشویی (ناخالص  $D_w$ ) که معادل با  $85/0$  متر تراوشهای عمقی ( $D_p$  یا  $D_{lw}$ )، آب خالص آبشویی) می‌باشد، باعث کاهش  $90/05$  و  $2/13$  درصد شوری اولیه افقهای  $5/0$  و  $1$  متری نیمرخ خاک شده که میزان آب نفوذیافته به ترتیب معادل با  $4/26$  و  $2/25$  واحد حجم (آب) منفذی بوده است. به‌طور متوسط موجب آبشویی  $82/14$  درصد مقدار شوری اولیه نیمرخ خاک تا عمق  $1$  متری شده است، به‌گونه‌ای که لایه سطح خاک تا عمق  $75/0$  سانتی‌متری پس از انعام آبشویی از نظر کیفی بدون محدودیت شوری و در عمق  $75/0$  تا  $1$  متری دارای شوری کمی بوده که در شرایط استفاده از عمق آب آبشویی بیشتر، این محدودیت نیز قابل رفع می‌باشد.

نتیجه اینکه، در مقایسه با دیگر مطالعات انجام‌شده در استان خوزستان، با روش غرقاب دائم و با شرایط حدوداً مشابه می‌توان اظهار کرد که چگونگی و شیوه کاهش نمکهای محلول، یکسان است لیکن از نظر دوره زمانی اجرای آزمایش، روش غرقاب متناوب در مقایسه با روش غرقاب دائم بیشتر به طول می‌انجامد.

#### (پ) شوری‌زدایی خاک مورد آزمایش

همان‌گونه که گفته شد در جدول ۶ تغییرات میزان شوری (هدایت الکتریکی عصاره اشباع خاک) لایه‌های مختلف خاک به‌ازاء مقادیر متفاوت عمق آب به‌کاررفته (آب آبشویی ناخالص یا  $D_w$ ) ارائه شده است. در عمل ممکن است مقداری از آب آبشویی صرف رفع یا جبران کمبود رطوبت خاک اعماق مربوط شده و در فرایند آبشویی مؤثر نباشد. همچنین کاهش میزان شوری با به‌کارگیری آب آبشویی و به میزان زیاد حتی در لایه‌های سطحی نیمرخ خاک منجر به حصول تعادل شیمیایی کامل با آب آبیاری و یا آبشویی در کوتاه‌مدت نخواهد شد. بدین معنی که کمترین میزان شوری که به حال تعادل شیمیایی کامل با آب کاربردی (با کیفیت مشخص) در می‌آید، بجز در خاکهای سبک با شرایط زهکشی بسیار مناسب، در دیگر موارد از شوری آب آبیاری، کمی بیشتر است (در این مطالعه  $1/32$  برابر شوری آب آبیاری حاصل شده است<sup>۱</sup>) اثر این عامل نیز در جدولهای بیان شده (جداول ۶ و ۷) در نظر گرفته نشده است.

به منظور رفع این مورد، بر پایه رقمهای هدایت الکتریکی عصاره اشباع خاک و برای اعماق مربوط به آن، با استفاده از اعداد ارائه شده در جدول ۶ همین‌طور بهره‌مندی از رقمهای تجزیه فیزیکی نمونه‌های خاک لایه‌های مربوط (به زیرنویس جدول ۲ توجه شود) لازم است جدولی مربوط به رقمهای مورد نیاز به‌شرح زیر تهیه شود:

$$X = [Dl_w / D_s] \quad Y = [(EC_f - EC_{eq}) / (EC_i - EC_{eq})]$$

**جدول ۶- مقادیر میانگین وزنی (محاسبه شده) شوری اولیه ( $EC_i$ ) و نهایی ( $EC_f$ ) عصاره اشباع خاک، قبل از کاربرد آب آبشویی و پس از کاربرد مقادیر متفاوت آب آبشویی (ناخالص) در اعماق مختلف نیمرخ خاک**

| اعماق مختلف نیمرخ خاک<br>(سانتی‌متر) $D_s$ |       |       |       | عمق آب آبشویی کاربردی<br>(سانتی‌متر) $D_w$ | ردیف |
|--|-------|-------|-------|--|------|
| ۱۰۰-۰                                      | ۷۵-۰  | ۵۰-۰  | ۲۵-۰  |  |      |
| ۳۹/۴۲                                      | ۴۰/۴۳ | ۴۱/۵۵ | ۴۶/۵۰ | (قبل از آبشویی)                            | ۱    |
| ۲۴/۶۳                                      | ۱۷/۳۵ | ۷/۲۵  | ۳/۸۳  | ۲۵   | ۲    |
| ۱۵/۹۸                                      | ۷/۰۷  | ۳/۸۷  | ۲/۹۳  | ۵۰   | ۳    |
| ۱۰/۶۸                                      | ۴/۲۲  | ۲/۸۴  | ۲/۶۲  | ۷۵   | ۴    |
| ۵/۰۸                                       | ۲/۸۱  | ۲/۵۷  | ۲/۳۱  | ۱۰۰  | ۵    |
| ۱۴/۰۷                                      | ۷/۸۶  | ۴/۱۳  | ۲/۹۲  | میانگین شوری خاک، پس از آبشویی ( $EC_f$ )  |      |

\* رقمهای ( $EC_f$ ,  $EC_i$ ) متن جدول بر حسب دسی زیمنس بر متر می‌باشد.

\*\* اعماق مختلف نیمرخ خاک در واقع لایه‌های تجمعی اعماق نمونه‌برداری شده از سطح خاک است.

**جدول ۷- رابطه بین مقادیر مختلف عمق آب آبشویی کاربردی و تغییرات میزان شوری عصاره اشباع خاک ( $EC_e$ )**

| میانگین $EC_e$ | اعماق مختلف نیمرخ خاک<br>(سانتی‌متر) $D_s$ |       |       |       | درصد نمک اولیه | عمق آب آبشویی کاربردی<br>(سانتی‌متر) $D_w$ | ردیف |
|----------------|--|-------|-------|-------|----------------|--|------|
|                | ۱۰۰-۰                                      | ۷۵-۰  | ۵۰-۰  | ۲۵-۰  |                |  |      |
| ۳۲/۷۷          | ۶۲/۴۸                                      | ۴۲/۹۱ | ۱۷/۴۷ | ۸/۲۴  | باقیمانده (۱)  | ۲۵   | ۱    |
| ۶۷/۲۳          | ۳۷/۵۲                                      | ۵۷/۰۹ | ۸۲/۵۵ | ۹۱/۷۶ | شسته شده (۲)   |  |      |
| ۱۸/۴۱          | ۴۰/۵۴                                      | ۱۷/۴۹ | ۹/۳۱  | ۶/۳۰  | باقیمانده      | ۵۰   | ۲    |
| ۸۱/۵۹          | ۵۹/۴۶                                      | ۸۲/۵۱ | ۹۰/۶۹ | ۹۳/۷۰ | شسته شده       |  |      |
| ۱۲/۵۲          | ۲۷/۰۹                                      | ۱۰/۴۶ | ۶/۸۶  | ۵/۶۹  | باقیمانده      | ۷۵   | ۳    |
| ۸۷/۴۸          | ۷۲/۹۱                                      | ۸۹/۵۴ | ۹۳/۱۴ | ۹۴/۳۱ | شسته شده       |  |      |
| ۷/۷۴           | ۱۲/۸۹                                      | ۶/۹۵  | ۶/۱۸  | ۴/۹۶  | باقیمانده      | ۱۰۰  | ۴    |
| ۹۲/۲۶          | ۸۷/۱۱                                      | ۹۳/۰۵ | ۹۳/۸۲ | ۹۳/۰۴ | شسته شده       |  |      |
| ۱۷/۸۶          | ۳۵/۷۵                                      | ۱۹/۴۵ | ۹/۹۵  | ۶/۳۰  | باقیمانده      | میانگین                                    |      |
| ۸۲/۱۴          | ۶۴/۲۵                                      | ۸۰/۵۵ | ۹۰/۰۵ | ۹۳/۷۰ | شسته شده       |  |      |

(۱) نمکهای اولیه باقیمانده

(۲) نمکهای اولیه شسته شده

که در آن :  $EC_i$  و  $EC_f$  به ترتیب هدایت الکتریکی عصاره اشباع خاک قبل و بعد از استفاده از عمق آب آبشویی مربوط (خالص یا  $Dl_w$ ) بر حسب دسی زیمنس بر متر و  $EC_{eq}$  هدایت الکتریکی عصاره اشباع خاک که به حال تعادل شیمیایی با آب آبیاری و یا آبشویی در می‌آید، بر حسب دسی زیمنس بر متر و  $[Dl_w / D_s]$  نسبت عمق آب آبشویی به واحد عمق خاک، که در آن  $Dl_w$  عمق خالص آب آبشویی و آن میزان آبی است که پس از تأمین کسر رطوبت خاک طبقه مربوط به صورت ثقلی و تراوشهای عمقی از ستون خاک لایه مربوط خارج می‌شود و بر حسب متر یا سانتی‌متر،  $D_s$  عمق یا ضخامت لایه خاک (نسبت به سطح زمین) بر حسب متر یا سانتی‌متر می‌باشد.

همان‌گونه که در متن راهنمای پیوست ۱ نیز بیان شد، کاهش مقدار  $EC_{eq}$  (شوری تعادلی) از صورت و مخرج کسر گفته شده ( $Y$ ) و مربوط، موجب خواهد شد تا نتایج حاصل از عوامل خارجی مؤثر از جمله میزان تبخیر، شرایط زهکشی داخلی خاک، کیفیت آب آبیاری مورد استفاده در امر آبشویی و دیگر شرایطی که بر روی نتایج تأثیرگذار است، مستقل باشد.

بر مبنای موارد گفته شده، به منظور تهیه رقمهای آبشویی (شوری‌زدایی) برای لایه‌های متفاوت نیمرخ خاک، محاسبات مربوط به آن انجام شد که نتایج در جدول ۸ ارائه شده است. براساس رقمهای مندرج در این جدول می‌توان به تهیه منحنی شوری‌زدایی خاک مورد آزمایش اقدام کرد. به دلیل اینکه در رسم منحنی شوری‌زدایی خاک، از رقمهای محاسبه شده (میانگین وزنی) استفاده می‌شود و بنابراین رسم منحنیهای مربوط به هر عمق، به دلیل عدم تفاوت زیاد در چنین شرایطی معمولاً مرسوم نیست. باید یادآور شد که این منحنی در محدوده نوع خاک، میزان شوری اولیه نیمرخ خاک محل اجرای آزمون می‌تواند کاربرد داشته باشد. با استفاده از این منحنی، می‌توان عمق آب مورد نیاز برای کاهش عملی میزان شوری خاک و برای عمق معینی از لایه خاک را برآورد (محاسبه) کرد. مقادیر استخراجی از منحنی گفته شده، براساس نیاز خالص آب آبشویی نمک است و به منظور برآورد کل میزان آب لازم برای آبشویی خاک، باید به مقادیر کسر رطوبت خاک لایه مورد نظر (تا حد ظرفیت مزرعه)، تبخیر (از سطح آب و خاک) و میزان بارندگی نیز توجه کرد و این عوامل فراگیر را در محاسبات برنامه‌ریزی آبشویی و اصلاح خاک و زمین لحاظ داشت. شایان ذکر است که در این آزمون مقدار شوری تعادلی ( $EC_{eq}$ ) برابر با  $1/74$  دسی‌زیمنس بر متر در لایه  $0 \text{ تا } 5$  سانتی‌متری نیمرخ خاک پس از عملیات آبشویی در نظر گرفته شده است.

### (ت) تحلیل آماری و ارائه مدل مناسب

رقمهای مندرج در جدول ۸ با استفاده از نرم‌افزار SPSS ویرایش ۱۳/۵، مورد تجزیه و تحلیل آماری قرار گرفت و ۱۱ مدل به رقمهای حاصل از اجرای آزمون برازش داده شد که خلاصه نتایج حاصل در جدول ۹ ارائه شده است.

به گونه‌ای که از این جدول می‌توان پی برد، مدل توانی<sup>۱</sup> با داشتن بزرگ‌ترین ضریب همبستگی ( $R^2$ ) و انحراف معیار یا استاندارد (SD یا SE) برابر  $0.413$  در سطح  $1$  درصد معنی‌دار است و پس از آن رابطه درجه سوم، معکوس، لگاریتمی، درجه دوم و چهار مدل یا رابطه (مرکب، لجستیک، رشد و نمایی) نیز هم مرتبه می‌باشند و در نهایت مدل‌های اس و خطی قرار دارند. بدین ترتیب رابطه برتر زیر را می‌توان ارائه داد:

$$Y = 0.053 X^{-1/154} \quad (1)$$

## جدول ۸- اعداد شوری‌زدایی خاک محل مورد آزمون

| عمق خالص آب آبشویی و نسبتهای مربوط به آن<br>(Y , X) |       |       |       |   | اعماق مختلف نیمراه خاک<br>سانتی‌متر | ردیف |
|---|-------|-------|-------|---|-------------------------------------|------|
| ۹۴/۷۱   | ۶۹/۷۱ | ۴۴/۷۱ | ۱۹/۷۱ | D <sub>lw</sub> (cm)                    | ۲۵ تا +                             | ۱    |
| ۳/۷۹  | ۲/۷۹  | ۱/۷۹  | ۰/۷۹  | D <sub>lw</sub> / D <sub>s</sub>        |                                     |      |
| ۰/۰۱۳   | ۰/۰۲۰ | ۰/۰۲۶ | ۰/۰۴۷ | $\frac{EC_f - EC_{eq}}{EC_i - EC_{eq}}$ |                                     |      |
| ۹۰/۳۲   | ۶۵/۳۲ | ۴۰/۳۲ | ۱۵/۳۲ | D <sub>lw</sub> (cm)                    | ۵۰--                                | ۲    |
| ۱/۸۱  | ۱/۳۱  | ۰/۸۱  | ۰/۳۱  | D <sub>lw</sub> / D <sub>s</sub>        |                                     |      |
| ۰/۰۲۱   | ۰/۰۲۸ | ۰/۰۵۳ | ۰/۱۳۸ | $\frac{EC_f - EC_{eq}}{EC_i - EC_{eq}}$ |                                     |      |
| ۸۶/۸۱   | ۶۱/۸۱ | ۳۶/۸۱ | ۱۱/۸۱ | D <sub>lw</sub> (cm)                    | ۷۵--                                | ۳    |
| ۱/۱۶  | ۰/۸۲  | ۰/۴۹  | ۰/۱۶  | D <sub>lw</sub> / D <sub>s</sub>        |                                     |      |
| ۰/۰۲۸   | ۰/۰۶۴ | ۰/۱۳۸ | ۰/۴۰۳ | $\frac{EC_f - EC_{eq}}{EC_i - EC_{eq}}$ |                                     |      |
| ۸۵/۰۳   | ۶۰/۰۳ | ۳۵/۰۳ | ۱۰/۰۳ | D <sub>lw</sub> (cm)                    | ۱۰۰--                               | ۴    |
| ۰/۸۵  | ۰/۶۰  | ۰/۳۵  | ۰/۱۰  | D <sub>lw</sub> / D <sub>s</sub>        |                                     |      |
| ۰/۰۸۹   | ۰/۲۳۶ | ۰/۳۷۸ | ۰/۶۰۷ | $\frac{EC_f - EC_{eq}}{EC_i - EC_{eq}}$ |                                     |      |

$$Y = [(EC_f - EC_{eq}) / (EC_i - EC_{eq})] \quad \text{و} \quad X = D_{lw} / D_s$$

با جایگزینی متغیرهای مربوطه به جای Y و X رابطه به صورت زیر در می‌آید:

$$\left( \frac{EC_f - EC_{eq}}{EC_i - EC_{eq}} \right) = 0/053 \left( \frac{D_{lw}}{D_s} \right)^{-1/154} \quad (2)$$

که آن را به صورت‌های زیر نیز می‌توان ارائه داد :

$$\frac{D_{lw}}{D_s} = \left[ 0/053 \left( \frac{EC_i - EC_{eq}}{EC_f - EC_{eq}} \right) \right]^{0/866} = 0/0785 \left( \frac{EC_i - EC_{eq}}{EC_f - EC_{eq}} \right)^{0/866} \quad (3)$$

$$Dl_w = D_s \left[ 0.0785 \left( \frac{EC_i - EC_{eq}}{EC_f - EC_{eq}} \right)^{0.866} \right] \quad (4)$$

که تقریباً مشابه رابطه‌های ۴-۴ و ۴۰-۴ است.

تذکر : خلاصه نتایج ارائه شده در جدول ۹/۰، به دلیل توانمندی های نرم افزار SPSS بوده است، به گونه‌ای که قبلاً در مبحث ۴-۳-۸ بیان شد، روابط ریاضی مطلوب در مورد آزمونهای آشوبی نمک خاکهای شور به طور عمده شامل توابع هذلولی (معکوس)، توانی، لگاریتمی (یا نیمه لگاریتمی) و نمایی است که به دلیل سهولتهای کاربردی قابلیت تبدیل به رابطه‌های خطی را دارا هستند. بدیهی است پیش‌نیاز رسم منحنیهای مربوط و یا کاربرد نتایج، مستلزم تغییر شکل رابطه به صورت اصلی (اولیه) است. ضمن آنکه آمارهای مدل‌های مرکب، لجستیک، رشد و نمایی در شرایطی یکسان هستند. کاربرد رابطه‌های درجه دوم و سوم در این مورد پیشنهاد نمی‌شوند.

### (ث) مقایسه نتایج با دیگر مدل‌های تجربی آشوبی نمک خاکهای شور مدل‌های تجربی معرفی شده از نظر ریاضی به شرح زیر قابل رده‌بندی هستند.

- مدل‌های تجربی با شکل رابطه ریاضی تابع هذلولی (هیپربولیک یا

این گروه شامل مدل‌های تجربی ریو (۱۹۵۷)، لافلر و شارما (۱۹۷۷)، هافمن (۱۹۸۰)، پذیرا و کاوچی (۱۹۸۰).

- مدل‌های تجربی با شکل رابطه ریاضی تابع توانی

این دسته شامل مدل‌های تجربی ورما و گوپتا (۱۹۸۹)، پذیرا و کشاورز (۱۹۸۹) است.

- مدل‌های تجربی با شکل رابطه ریاضی تابع نمایی<sup>۱</sup>

این گروه شامل مدل تجربی- نظری دیلمان (۱۹۶۳) است.

- مدل‌های تجربی با شکل رابطه ریاضی تابع نیمه‌لگاریتمی و لگاریتمی<sup>۲</sup>

این دسته شامل مدل تحقیق (مدل مندرج در ردیف دو، جدول ۹) است.

با توجه به اینکه در این بررسی بهترین مدل برآششده از نظر شکل ریاضی، تابع توانی است، بنابراین براساس رقمها و اعداد ارائه شده مندرج در جدول ۸، مقایسه‌ای بین کاربرد آن (رابطه ۱) و مدل تجربی- نظری دیلمان (۱۹۶۳) و مدل‌های لافلر و شارما (۱۹۷۷)، ورما و گوپتا (۱۹۸۹) و مدل نیمه لگاریتمی جدید به عمل آمد.

رقم‌های محاسبه شده از رابطه‌های ۲۲-۴، ۲۴-۴، ۳۷-۴، مدل نیمه لگاریتمی جدید و مدل تابع توانی (رابطه ۱) که شکل ریاضی آنها به صورت زیر قابل ارائه است:

- مدل توانی جدید (رابطه ۱)

$Y_1 = 0.0530X^{-1/154}$  - مدل هذلولی (لافلر و شارما، ۱۹۷۷)

$Y_2 = (0.062/X) + 0.034$  - مدل توانی (ورما و گوپتا، ۱۹۸۹)

$Y_3 = 0.090X^{-1/630}$  - مدل نمایی (دیلمان، ۱۹۶۳)

$Y_4 = \exp(-X)$  - مدل نیمه لگاریتمی جدید

$Y_5 = 0.99 - 0.155 \ln X$

1 - Exponential

2 - Semi-Logarithmic and Logarithmic

## جدول ۹ - خلاصه نتایج تجزیه و تحلیل آماری و برآزش مدل‌های مختلف به رقم‌های شوری زدایی مورد آزمون

| ردیف | نام مدل  |             | رابطه ریاضی مدل مربوطه        | ضرایب ثابت |       |        |         | آماره‌های محاسبه شده مدل                                       |
|------|----------|-------------|-------------------------------|------------|-------|--------|---------|--|
|      | انگلیسی  | فارسی       |                               | d          | c     | b      | a       |  |
| ۱    | خطی      | Linear      | $Y = a.X + b$                 | -          | -     | ۰/۲۶۰  | -۰/۱۰۵۰ | ۰/۰۱۳۷ ۰/۱۴۵ ۰/۳۶۲ سطح معنی‌دار بودن انحراف معیار ضریب همبستگی |
| ۲    | لگاریتمی | Logaritmic  | $Y = a + b \ln X$             | -          | -     | -۰/۱۵۵ | ۰/۰۹۹۰  | ۰/۰۰۰۰ ۰/۰۸۸ ۰/۷۶۰   |
| ۳    | معکوس    | Inverse     | $Y = a + b / X$               | -          | -     | ۰/۰۶۳  | ۰/۰۰۷۶  | ۰/۰۰۰۰ ۰/۰۶۷ ۰/۸۶۰   |
| ۴    | درجه دوم | Quadrati    | $Y = a + b.X + c.X^2$         | -          | ۰/۰۸۷ | -۰/۴۲۲ | ۰/۴۲۳   | ۰/۰۰۰۶ ۰/۱۰۶ ۰/۶۷۸   |
| ۵    | درجه سوم | Cubic       | $Y = a + b.X + c.X^2 + d.X^3$ | -۰/۰۶۳     | ۰/۴۳۵ | -۰/۸۹۴ | ۰/۵۵۷   | ۰/۰۰۰۱ ۰/۰۸۳ ۰/۸۱۹   |
| ۶    | توانی    | Power       | $Y = a.X^b$                   | -          | -     | -۱/۱۵۴ | ۰/۰۵۳   | ۰/۰۰۰۰ ۰/۴۱۴ ۰/۸۸۹   |
| ۷    | مرکب     | Compound    | $Y = a.b^X$                   | -          | -     | ۰/۳۷۳  | ۰/۲۱۹   | ۰/۰۰۰۱ ۰/۷۱۱ ۰/۶۷۴   |
| ۸    | اس       | S           | $Y = e^{(a/X+b)}$             | -          | -     | ۰/۳۷۳  | -۳/۴۲۱  | ۰/۰۰۰۲ ۰/۷۴۵ ۰/۶۴۲   |
| ۹    | لجستیک   | Logistic    | $Y = 1/(1/u + a.b^X)$         | -          | -     | ۲/۶۷۸  | ۴/۵۴۶   | ۰/۰۰۰۱ ۰/۷۱۱ ۰/۶۷۴   |
| ۱۰   | رشد      | Growth      | $Y = e^{a+b.X}$               | -          | -     | -۰/۹۸۵ | -۱/۵۱۴  | ۰/۰۰۰۱ ۰/۷۱۱ ۰/۶۷۴   |
| ۱۱   | نمایی    | Exponential | $Y = a.e^{b.X}$               | -          | -     | -۰/۹۸۵ | ۰/۲۱۹   | ۰/۰۰۰۱ ۰/۷۱۱ ۰/۶۷۴   |

\* برای آگاهی بیشتر از چگونگی محاسبه آماره‌های مدل به مباحث ۱-۴ و ۲-۴ (پیوست ۴) مراجعه شود.

\*\* مقدار (u) در مدل لجستیک (Logistic) کران (حد) بالا و عدد مثبتی است که باید از بزرگ‌ترین رقم متغیر وابسته، زیادتر باشد.

با رقمهای مشاهده شده و مندرج در جدول ۹، با محاسبه مجموع مربعات انحرافات و با داشتن درجه آزادی یکسان (DF)، ضمن محاسبه واریانس یا پراش و انحراف معیار، مشخص شد که به ترتیب مدل‌های لافلرو شارما ۴-۲۴، مدل توانی جدید، مدل نیمه‌لگاریتمی جدید و مدل نمایی دیلمان ۴-۲۲ به رقمهای مشاهده شده (Y) نزدیک‌تر می‌باشند. نتایج برآششده در مدل توانی ورما و گوپتا ۴-۳۷ با رقمهای مورد نظر همخوانی نداشته است.

مقادیر آماره‌های (شاخصهای آماری) مربوط به مدل‌های مورد آزمون، به شرح جدول ۱۰ است:

#### جدول ۱۰ - مقادیر آماره‌های محاسبه شده برای مدل‌های مورد مقایسه

| آماره مورد بررسی      | مدل توانی جدید | مدل هذلولی لافلرو شارما | مدل توانی ورما و گوپتا | مدل نمایی دیلمان | مدل نیمه‌لگاریتمی جدید |
|-----------------------|----------------|-------------------------|------------------------|------------------|------------------------|
| مجموع مربعات انحرافات | ۰/۰۹۱۱۵        | ۰/۰۷۴۱۱                 | ۱۲/۸۰۳۸                | ۱/۸۳۸۸           | ۰/۱۱۰۳۴                |
| واریانس (پراش)        | ۰/۱۷۱۳۹        | ۰/۰۰۴۹۴                 | ۰/۸۵۵۳۰                | ۰/۱۲۲۵۰          | ۰/۰۰۷۳۰                |
| انحراف معیار          | ۰/۴۱۳۹۹        | ۰/۰۷۰۳۰                 | ۰/۹۲۳۸۰                | ۰/۳۵۰۱۰          | ۰/۰۸۵۴۴                |

(پ) برآورد آب مورد نیاز برای اصلاح خاکها با استفاده از مدل‌های تجربی آبشویی نمک برای تجزیه و تحلیل موارد ارائه شده، افزون بر آنچه گفته شد، در این مبحث به اعمال فرضیه‌های زیر می‌پردازیم:

- هرگاه هدایت الکتریکی عصاره اشیاع خاک، قبل از آبشویی به طور میانگین، تا عمق ۱ متری نیمرخ خاک برابر با ۴۰ دسی زیمنس بر متر اندازه‌گیری شود و در نظر باشد که این مقدار به ۸ دسی‌زیمنس بر متر کاهش داده شود، در شرایطی که شوری تعادلی عصاره اشیاع خاک حاصل از اجرای آزمون آبشویی نمک، برابر با ۱/۷۴ دسی‌زیمنس بر متر گزارش شده باشد و در صورتی که اعمق اصلاحی خاک مورد نظر به ترتیب ۲۵، ۵۰، ۷۵ و ۱۰۰ سانتی‌متر (از سطح خاک) منظور شود، مقدار آب مورد نیاز اصلاحی<sup>۱</sup> چنین خاکی با کاربرد مدل‌های تجربی (آبشویی نمک) معرفی شده برای اعماق (لایه‌های خاک) مربوط چقدر خواهد بود و کاربرد کدام مدل یا مدل‌ها در این مورد پیشنهاد می‌شود.
- با استفاده از هشت مدل تجربی معرفی شده در این خصوص که خلاصه نتایج در جدول زیر ارائه شده است. با دقت در رقمهای مندرج در جدول ۱۱ ملاحظه می‌شود به گونه‌ای که در مبحث (پ) بیان گردید، مدل توانی جدید با ویژگیهای آماری مندرج در جدول ۱۰ در رتبه اول تناسب مدل انتخابی کاربردی قرار دارد و پس از آن به ترتیب مدل‌های پذیرا و کشاورز (۱۹۹۸)، لافلر و شارما (۱۹۷۷)، پذیرا و کواچی (۱۹۸۱) و مدل هافمن (۱۹۸۰) تناسب دارند و دیگر مدل‌های مورداستفاده و مقایسه یعنی روابط ورما و گوپتا (۱۹۸۹)، ریو (۱۹۵۷) و دیلمان (۱۹۶۳) تناسب لازم در خصوص برآورد آب مورد نیاز اصلاحی خاکهای منطقه مطالعه را به دلیل برآورد مقادیر آب لازمه به ترتیب ۱/۷۳، ۱/۸۲ و ۵/۰۱ برابر بیشتر (در مقایسه با کاربرد مدل توانی جدید) نشان نمی‌دهند.

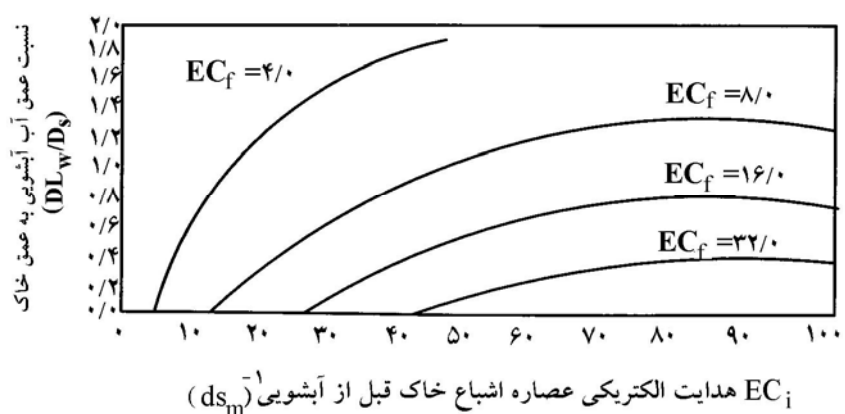
1 - Reclamation Requirement (RR).

شایان ذکر است که این چهار مدل، به عنوان مدل‌های با تناسب کاربردی زیادتر، مقادیر آب لازم اصلاحی خاکها را به طور مقایسه‌ای (با مدل توانی جدید) به ترتیب  $1/21$ ،  $1/34$  و  $1/69$  برابر بیشتر برآورد می‌کنند که به هر حال به دلیل تجربی بودن این گونه مدل‌ها، نتایج حاصل از کاربرد آنها به طور تقریبی منطقی‌تر به نظر می‌رسد.

تذکر دوباره این نکته لازم است که رقمهای مورد نیاز اصلاحی خاک محاسبه شده، نیاز خالص آب آبشویی نمک محلول می‌باشد و برای برآورد کل مقدار آب آبشویی لازم ضروری است که به مقدار تبخیر (از سطح آب و خاک)، میزان بارندگی و مقدار کسر رطوبت لایه‌های مورد نظر (تا حد ظرفیت مزرعه) نیز توجه شود و این عوامل را در محاسبات برنامه‌ریزی آبشویی و اصلاح خاک و زمین نیز در نظر گرفت.

**(ت) منحنی آبشویی نمکهای محلول از نیمرخ خاک مورد آزمون با استفاده از مدل تجربی انتخابی**

به گونه‌ای که در مبحث تجزیه و تحلیل آماری و ارائه مدل مناسب بیان شد، مدل انتخابی در مورد این آزمون از نظر ریاضی به صورت تابع توانی است که در مقایسه با دیگر مدل‌های تجربی معرفی شده، رابطه برتر به شمار می‌آید. برای آسانی برآورد آب مورد نیاز آبشویی، به تهیه منحنی آبشویی نمکهای محلول از نیمرخ خاک منطقه مورد مطالعه نیز، اقدام کرد. بدین ترتیب که عمق آب آبشویی (خالص) به عنوان تابعی از شوری خاک قبل از آبشویی نمک ( $EC_i$ ) و برای سطوح شوری  $32\%$ ،  $16\%$ ،  $8\%$  و  $4\%$  دسی‌زیمنس بر متر بعد از انجام آبشویی منظور می‌شود. بدین ترتیب با تعیین میزان هدایت الکتریکی عصاره اشباع خاک و تصمیم‌گیری در مورد سطوح شوری مورد نظر و با انتخاب لایه‌ای از خاک که اصلاح آن مورد نظر است، می‌توان مقدار عمق آب آبشویی مورد نیاز را برآورد کرد. نتایج حاصل که براساس رقمهای شوری‌زدایی خاکها (مندرج در جدول ۸ و روابط‌های قبلی یعنی ۱ تا ۴) حاصل شد، در شکل ۱ نشان داده شده است.



**ژشکل ۱- منحنی آبشویی نمکهای محلول از نیمرخ خاک مورد آزمون در زمینهای جنوب شرقی استان خوزستان**

## جدول ۱۱ - خلاصه نتایج حاصل از کاربرد مدل‌های تجربی آبشویی نمک خاکهای شور، در زمینهای جنوب شرقی استان خوزستان

| ردیف | مشخصات مدل تجربی مورد استفاده | سال ارائه | نام مدل | حالت ریاضی | شماره رابطه در راهنمای | مقادیر آب مورد نیاز اصلاح خاک (متر)    |      |      |      | میانگین‌های آب مورد نیاز اصلاح خاک (متر) | رتبه تناسب مدل کاربردی |
|------|-------------------------------|-----------|---------|------------|------------------------|--|------|------|------|--|------------------------|
|      |                               |           |         |            |                        | اعمال اصلاحی خاک مورد نظر، $D_s$ ، متر | ۰/۷۵ | ۰/۸۰ | ۰/۹۰ | ۰/۹۹                                     |                        |
| ۱    | ربو                           | ۱۹۵۷      |         | هذلولی     | (۱۴-۴)                 | ۰/۳۴                                   | ۱/۳۶ | ۱/۰۲ | ۱/۰۲ | ۰/۷۵                                     | ۷                      |
| ۲    | دیلمان                        | ۱۹۶۳      |         | نمایی      | (۲۳-۴)                 | ۰/۴۵                                   | ۱/۸۰ | ۱/۳۵ | ۱/۰۲ | ۰/۹۹                                     | ۸                      |
| ۳    | لافروشارما                    | ۱۹۷۷      |         | هذلولی     | (۲۷-۴)                 | ۰/۱۲                                   | ۰/۳۶ | ۰/۴۸ | ۰/۴۸ | ۰/۲۶                                     | ۳                      |
| ۴    | هافمن                         | ۱۹۸۰      |         | هذلولی     | (۳۲-۴)                 | ۰/۱۵                                   | ۰/۴۵ | ۰/۶۰ | ۰/۳۳ | ۰/۴۵                                     | ۵                      |
| ۵    | پذیرا و کاوچی                 | ۱۹۸۱      |         | هذلولی     | (۳۶-۴)                 | ۰/۱۳                                   | ۰/۳۹ | ۰/۵۲ | ۰/۲۹ | ۰/۳۹                                     | ۴                      |
| ۶    | ورما و کوپتا                  | ۱۹۸۹      |         | توانی      | (۴۰-۴)                 | ۰/۱۷                                   | ۰/۵۱ | ۰/۶۸ | ۰/۳۸ | ۰/۵۱                                     | ۶                      |
| ۷    | پذیرا و کشاورز                | ۱۹۹۸      |         | توانی      | (۴۳-۴)                 | ۰/۱۵                                   | ۰/۳۳ | ۰/۴۴ | ۰/۲۴ | ۰/۳۳                                     | ۲                      |
| ۸    | جدید                          | ۲۰۰۳      |         | توانی      | (۴) پیوست سه           | ۰/۰۹                                   | ۰/۲۷ | ۰/۳۶ | ۰/۲۰ | ۰/۲۷                                     | ۱                      |

\* در مورد کاربرد رابطه هافمن (۱۹۹۸۰) ابتدا مقدار ضریب مربوطه (K) بر پایه رقمهای مندرج در جدول ۸ برابر حدود ۰/۱ به دست آمد که بدین ترتیب در رابطه ۳۲-۴ به کار رفته است.

\*\* به دلیل آنکه رقمهای میانگین وزنی با مقادیر آب مورد نیاز اصلاحی خاک محاسبه شده لایه ۰/۷۵ متری شباهت داشته، نسبت به محاسبه میانگین هندسی اقدام شده است.

افزون بر شکل بالا، استفاده مستقیم از رابطه‌های بیان شده نیز منظور را عملی می‌کند. با این حال برای آسانی برآورد و قضاوت درمورد مقادیر آب آبشویی لازم و برای کاهش مقادیر شوری کلاس‌های مختلف خاک و زمین در لایه‌های مختلف نیمرخ خاک محدوده مورد بررسی، جدول ۱۲ نیز تهیه و به عنوان راهنمای ارائه شده است، شایان ذکر است که رقمهای محاسبه و ارائه شده در این جدول براساس رابطه ۴ این پیوست می‌باشد، که مدل مربوط به آن در این تحقیق به عنوان رابطه برتر در نظر گرفته شده است.

### جدول ۱۲- مقادیر آب لازم (خالص) برای کاهش عملی مقادیر شوری کلاس‌های مختلف نیمرخ خاک در اعماق مربوط (واحد، هزار مترمکعب در هکتار)

| کلاس‌های شوری خاک قبل از آبشویی نمکهای محلول |       |      |                |      |      |                |      |      |                |      |      | ردیف           |   |
|--|-------|------|----------------|------|------|----------------|------|------|----------------|------|------|----------------|---|
| S <sub>4</sub>                               |       |      | S <sub>3</sub> |      |      | S <sub>2</sub> |      |      | S <sub>1</sub> |      |      |                |   |
| اعماق مختلف نیمرخ خاک- سانتی‌متر             |       |      |                |      |      |                |      |      |                |      |      |                |   |
| ۱۵۰  | ۱۰۰   | ۵۰   | ۱۵۰            | ۱۰۰  | ۵۰   | ۱۵۰            | ۱۰۰  | ۵۰   | ۱۵۰            | ۱۰۰  | ۵۰   | ردیف           |   |
| ۱۵/۰۰  | ۱۰/۰۰ | ۵/۰۰ | ۱۰/۸           | ۷/۲۰ | ۳/۶۰ | ۵/۷۰           | ۳/۸۰ | ۱/۹۰ | ۲/۸۵           | ۱/۹۰ | ۰/۶۵ | S <sub>۰</sub> | ۱ |
| ۶/۳۰   | ۴/۲۰  | ۲/۱۰ | ۴/۵            | ۳/۰۰ | ۱/۵۰ | ۲/۴۰           | ۱/۶۰ | ۰/۸۰ | -              | -    | -    | S <sub>۱</sub> | ۲ |
| ۳  | ۲     | ۱    | ۲/۲۵           | ۱/۵۰ | ۰/۷۵ | -              | -    | -    | -              | -    | -    | S <sub>۲</sub> | ۳ |
| ۱/۶۵   | ۱/۱۰  | ۰/۵۵ | -              | -    | -    | -              | -    | -    | -              | -    | -    | S <sub>۳</sub> | ۴ |

تذکر : در محاسبات جدول بالا، مقدار S<sub>4</sub> معادل ۴۵/۰ دسی‌زیمنس بر متر و مقدار EC<sub>eq</sub> برابر با ۱/۷۴ دسی‌زیمنس بر متر منظور شده است.

شرح علائم به این قرار است: S<sub>۰</sub> < 4 ، S<sub>۱</sub> = 8-4 ، S<sub>۲</sub> = 16-8 ، S<sub>۳</sub> = 32-16 و S<sub>۴</sub> > 32 دسی‌زیمنس بر متر.

(ث) بررسی چگونگی تغییرات سرعت نفوذ پایه زمینها در فرایند آبشویی نمکهای محلول خاک همان‌گونه که در مباحث قبل گفته شد، در مراحل افزایش اولین و آخرین میزان تناوب آب کاربردی یعنی ۲۵ سانتی‌متر اول و ۲۵ سانتی‌متر نهایی (که در این حالت عمق آب کاربردی به حدود ۱۰۰ سانتی‌متر می‌رسید)، افت سطح ایستابی از محل کرتهاهای مدل (میانی) اندازه‌گیری و محاسبات لازم در مورد سرعت نفوذ پایه (اولیه و نهایی) خاک مورد آزمون انجام شد که نتایج به شرح زیر است :

$$I_{Bi} = 0/80 \text{ سانتی‌متر بر ساعت} \quad (5)$$

$$I_{Bf} = 0/78 \text{ سانتی‌متر بر ساعت} \quad (6)$$

بدین ترتیب ملاحظه می‌شود که در هر دو حالت، سرعت نفوذ پایه خاک (زمین) از نظر توصیفی متوسط  $I_2$  بوده و فرایند آبشویی نمکها، تغییر چشمگیری در آن ایجاد نکرده است. با توجه به این موضوع و همچنین بررسی اطلاعات مندرج در مقاله اصلی که نشان می‌دهد که فرایند شوری زدایی در اثر آبشویی، روند سدیم‌زادایی خاک را نیز به دنبال داشته است و می‌توان نتیجه گرفت که در چنین شرایطی، نیازی به استفاده از مواد اصلاح‌کننده خاک در برنامه‌های اصلاح خاک و زمین منطقه مورد مطالعه، نیست.

## پیوست ۴

### ارائه مثال عملی درمورد کاربرد مدل‌های نظری آبشویی نمک خاکهای شور

شرح توصیفی و کامل روش اجرای آزمایشها، پردازش داده‌ها و شیوه نتیجه‌گیری از رقمها و اعداد حاصل از اجرای آزمونهای آبشویی خاکهای شور در پیوست ۱ ارائه شده است. در این پیوست، مثالی عملی در مورد کاربرد مدل‌های نظری آبشویی نمک خاکهای شور نیز ارائه شده است.

#### **مثال<sup>۱</sup>**

قطعه زمینی با کیفیت شیمیایی شور و سدیمی در بخش دیگری از زمینهای جنوب شرقی استان خوزستان انتخاب شد، از سه نقطه و در سه مرحله نمونه‌های خاک تهیه و برای انجام آزمایش‌های لازم به آزمایشگاه ارسال شد. نتایج تجزیه‌های فیزیکی و شیمیایی نمونه‌های خاک قطعه انتخابی در جدولهای ۱ و ۲ نشان داده شده است. خاک منطقه براساس رده‌بندی جامع وزارت کشاورزی ایالات متحده امریکا (USDA)، لومی تا رسی و از نظر رده‌بندی تیپیک سالورتیدز<sup>۲</sup> بوده است.

آب به کاررفته در این تحقیق از رودخانه جراحی تأمین شد، نتایج تجزیه شیمیایی آب مورد استفاده در جدول ۳ ارائه شده است و کیفیت آن برای مصارف کشاورزی بینایی قابل رده‌بندی است. عمق آب کاربردی (آبشویی) در این بررسی، ۱۰۰ سانتی‌متر بود، که در چهار تناب ۰/۲۵ متری به کار رفته است.

روش اجرای این آزمایش با استوانه‌های مضاعف بوده است که شرح تفصیلی چگونگی انجام آن در دستورالعمل آزمایش‌های آبشویی خاکهای شور و سدیمی در ایران نشریه شماره ۲۵۵ سازمان مدیریت و برنامه‌ریزی کشور، ۱۳۸۱ و شرح کلی آن در پیوست ۱ ارائه شده است.

همان‌گونه که گفته شد روش آبشویی نمکهای محلول از نیمرخ خاک در این مطالعه غرقاب متناب و بوده است. طی دوره نفوذ هر تناب آب کاربردی (آبشویی) به سطح خاک استوانه‌های مضاعف، همچنین در فاصله زمانی بین دو تناب آب کاربردی ۲ تا ۳ روز به عنوان زمان توزیع مجدد رطوبت) سطح استوانه‌های مضاعف به دلیل جلوگیری از تبخیر به وسیله ورقه نایلونی، پوشیده می‌شد.

پس از نفوذ هر تناب ۲۵ سانتی‌متری آب به سطح استوانه‌های مضاعف و پس از گذشت مدت زمان لازم برای توزیع مجدد رطوبت در نیمرخ خاک که انجام نمونه‌برداری از خاک سطح استوانه‌های درونی (میانی) را امکان‌پذیر و تسريع می‌کند از اعماق مشابه (همانند اعمق ارائه شده در جدولهای ۱ و ۲) در سه مرحله به طور تصادفی از سطح استوانه‌های مضاعف (درونی) نمونه‌برداری می‌شد. در هر دوره استفاده از آب آبشویی، به استوانه بیرونی نیز مقداری آب اضافه شده و سعی شده است عمق آب در استوانه‌های درونی (میانی) و استوانه‌های بیرونی هم‌سطح نگه داشته شوند. انجام این اقدام به منظور ایجاد اطمینان از نفوذ عمودی (قائم) آب در استوانه‌های درونی بوده است.

۱- گزارش مطالعات اصلاح و بهسازی خاک و زمین با تأکید بر موارد اصلاح فیزیکو-شیمیایی خاکهای شور و سدیمی دشت خلف‌آباد- استان خوزستان، شرکت مهندسی مشاور مهاب قدس (۱۳۶۷).

### جدول ۱- ویژگیهای شیمیایی نمونه‌های خاک قبل از آبشویی نمکهای محلول از نیمرخ خاک

| اعماق<br>نمونه‌برداری<br>خاک، سانتی‌متر | هدایت الکتریکی<br>عصاره اشباع خاک<br>دسی‌زیمنس بر متر | pH<br>خاک | کربنات<br>کلسیم<br>% | گچ (سولفات<br>کلسیم آبدار)<br>% | میلی‌اکی‌والان بر لیتر     |  | نسبت<br>جذب سدیم | درصد<br>سدیم‌تبادلی |
|---|---|-----------|----------------------|---------------------------------|----------------------------|--|------------------|---------------------|
|   |   |           |                      |                                 | سدیم<br>(Na <sup>+</sup> ) | کلسیم + منیزیم<br>(Ca <sup>2+</sup> + Mg <sup>2+</sup> ) |                  |                     |
| ۲۵-۰                                    | ۲۹/۰  | ۷/۷       | ۴۱/۰                 | ۱/۶۰                            | ۳۳۸/۰                      | ۱۰۶/۰  | ۴۶/۴             | ۴۰/۲                |
| ۵۰-۲۵                                   | ۲۸/۰  | ۷/۷       | ۴۹/۰                 | ۱/۶۵                            | ۳۱۸/۰                      | ۱۰۶/۰  | ۴۳/۷             | ۳۸/۷                |
| ۷۵-۵۰                                   | ۲۴/۵  | ۷/۸       | ۴۹/۰                 | ۲/۱۵                            | ۲۴۵/۰                      | ۸۸/۰   | ۳۶/۹             | ۳۴/۷                |
| ۱۰۰-۷۵                                  | ۲۳/۵  | ۷/۸       | ۴۵/۰                 | ۲/۳۲                            | ۲۰۵/۰                      | ۷۴/۰   | ۳۳/۷             | ۳۲/۶                |

\* درصد سدیم تبادلی نمونه‌های خاک از رابطه تجربی  $ESP = \frac{100(-0/0126+0/01475SAR)}{1+(-0/0126+0/01475SAR)}$  محاسبه شده است (ریچاردز، ۱۹۵۴).

\*\* SAR = میلی‌اکی‌والان بر لیتر به توان  $\frac{1}{2}$  است.

### جدول ۲- ویژگیهای فیزیکی نمونه‌های خاک مورد آزمون آبشویی نمکهای محلول از نیمرخ خاک

| اعماق<br>نمونه‌برداری<br>خاک،<br>سانتی‌متر | جرم مخصوص<br>حقيقي خاک،<br>گرم برسانتی‌متر<br>مکعب | جرم مخصوص<br>ظاهري خاک،<br>گرم برسانتی‌متر<br>مکعب | تخلخل<br>کل<br>نمونه‌خاک<br>% | نفوذپذيری (هدایت آبی)      |               | میزان رطوبت خاک (درصدوزنی) |               |                     |
|--|--|--|-------------------------------|----------------------------|---------------|----------------------------|---------------|---------------------|
|  |  |  |                               | مقدار، میلی‌متر<br>بر ساعت | نام<br>توصیفی | قليل از<br>آبشویی          | حين<br>آبشویی | پس از<br>توزيع مجدد |
| ۲۵ - ۰                                     | ۲/۵۸   | ۱/۴۱   | ۴۵/۳                          | ۴۰/۰                       | متوسط         | ۱۱/۱                       | ۳۶/۴          | ۲۱/۸                |
| ۵۰ - ۲۵                                    | ۲/۶۶   | ۱/۲۵   | ۵۳/۰                          | ۲۵/۰                       | متوسط         | ۱۲/۵                       | ۳۹/۳          | ۲۴/۸                |
| ۷۵ - ۵۰                                    | ۲/۶۴   | ۱/۳۰   | ۵۰/۷                          | ۲۰/۰                       | متوسط         | ۱۴/۳                       | ۴۲/۴          | ۲۸/۹                |
| ۱۰۰ - ۷۵                                   | ۲/۶۶   | ۱/۲۷   | ۵۲/۲                          | ۱۳/۰                       | آهسته         | ۱۴/۹                       | ۴۹/۶          | ۳۰/۳                |

\* میزان کسر رطوبت تجمیعی لایه‌های خاک قبل از کاربرد اولین دوره آب آبشویی به ترتیب ۳/۷۷، ۷/۶۱، ۱۲/۳۵ و ۱۷/۴۵ سانتی‌متر بوده است.

### جدول ۳- نتایج تجزیه شیمیایی آب کاربردی در آزمون آبشویی نمکهای محلول از نیمرخ خاک

| هدایت الکتریکی<br>دسی‌زیمنس بر متر | pH  | سدیم،<br>میلی‌اکی‌والان بر لیتر<br>(Na <sup>+</sup> ) | کلسیم + منیزیم،<br>میلی‌اکی‌والان بر لیتر<br>(Ca <sup>2+</sup> + Mg <sup>2+</sup> ) | نسبت جذب<br>سدیم | *<br>براساس دیاگرام<br>ویلکاکس |
|------------------------------------|-----|---|---|------------------|--------------------------------|
| ۱/۸۶                               | ۷/۸ | ۹/۰   | ۱۲/۰  | ۳/۶۷             | C <sub>3</sub> S <sub>1</sub>  |

\* براساس جدول راهنمای آزمایشگاه شوری کشور ایالات متحده امریکا، کتابچه شماره ۶۰ (۱۹۵۴)

SAR = بر حسب میلی‌اکی‌والان بر لیتر به توان  $\frac{1}{2}$  است.

در همه نمونه‌های خاک تهیه شده در آزمایشگاه عواملی مانند هدایت الکتریکی عصاره اشباع خاک،  $pH$ ، کاتیونهای محلول (سدیم، کلسیم و منیزیم) عصاره اشباع خاک اندازه‌گیری می‌شود، مقدار نسبت جذب سدیم بر اساس رقمهای کاتیونهای محلول، و درصد سدیم تبادلی نمونه‌های خاک با رابطه تجربی (ESP-SAR) محاسبه شده است.

تذکر: در این مثال موارد مرتبط با شوری زدایی خاک به دلیل ضرورت اختصار و اهداف راهنمای مورد تجزیه، تحلیل و مقایسه قرار گرفته است.

جدول ۴ مقادیر شوری اولیه و نهایی عصاره اشباع خاک را قبل از استفاده از آب آبشویی و پس از کاربرد مقادیر متفاوت آب (تناوبهای آب آبشویی) در اعماق نمونه‌برداری شده، نشان می‌دهد.

#### جدول ۴- مقادیر شوری اولیه و نهایی عصاره اشباع خاک، قبل از کاربرد آب آبشویی و پس از کاربرد مقادیر متفاوت آب (ناخالص) در اعماق مختلف نمونه‌برداری شده

| ردیف    | اعماق نمونه‌برداری از خاک (سانتی‌متر) | هدایت الکتریکی عصاره اشباع خاک قبل از آبشویی<br>دسی‌زیمنس بر متر | هدایت الکتریکی عصاره اشباع خاک پس از کاربرد تناوبهای مختلف آب آبشویی |                     |                     |                      |                          |
|---------|---------------------------------------|--|--|---------------------|---------------------|----------------------|--------------------------|
|         |                                       |  | $D_w = 25\text{Cm}$  | $D_w = 50\text{Cm}$ | $D_w = 75\text{Cm}$ | $D_w = 100\text{Cm}$ | میانگین دسی‌زیمنس بر متر |
|         |                                       |  | $EC_f (25)$  | $EC_f (50)$         | $EC_f (75)$         | $EC_f (100)$         |                          |
| ۱       | ۰ تا ۲۵                               | ۲۹/۰۰  | ۱۳/۰   | ۷/۱۰                | ۴/۰۰                | ۲/۸۰                 | ۶/۷۲                     |
| ۲       | ۲۵ تا ۵۰                              | ۲۸/۰۰  | ۱۶/۸۰  | ۱۱/۲۰               | ۷/۳۰                | ۴/۹۰                 | ۱۰/۰۵                    |
| ۳       | ۵۰ تا ۷۵                              | ۲۴/۵۰  | ۱۷/۲۰  | ۱۳/۶۰               | ۱۰/۴۰               | ۷/۸۰                 | ۱۲/۲۵                    |
| ۴       | ۷۵ تا ۱۰۰                             | ۲۳/۵۰  | ۱۶/۵۰  | ۱۷/۰۰               | ۱۷/۵۰               | ۱۷/۰۰                | ۱۷/۰۰                    |
| میانگین |                                       | ۲۶/۲۵  | ۱۵/۸۷  | ۱۲/۲۲               | ۹/۸۰                | ۸/۱۲                 | ۱۱/۵۰                    |

\* رقمهای ( $EC_f$ ) متن جدول بر حسب دسی‌زیمنس بر متر می‌باشند.

#### حل مثال :

ابتدا باید رقمهای شوری خاک (هدایت الکتریکی عصاره اشباع) مربوط به قبل، حین و پس از آبشویی که تهیه و در جدول ۴ ارائه شده و افکهای متفاوت و موردنظر در نیمرخ خاک یعنی ۰ تا ۲۵، ۰ تا ۵۰، ۰ تا ۷۵ و ۰ تا ۱۰۰ سانتی‌متری در نظر گرفته شده و میانگین وزنی لایه‌های ذکر شده، محاسبه شده است که نتایج حاصل در جدول ۵ آمده است.

توجه: در مورد رقمهای مندرج در جدول ۵ به دلیل اینکه اعماق نمونه‌برداری خاک در جدول ۴ دارای تناوب یا تواترهای یکسانی است (۲۵ سانتی‌متری) رقمهای محاسبه شده میانگین وزنی با میانگین حسابی آن برابر است. در شرایطی که ضخامت لایه‌های نمونه‌برداری از نیمرخ خاک برابر نباشند، استفاده از رقمهای میانگین وزنی، علمی‌تر و منطقی‌تر است.

به دلیل آسانی محاسباتی و کاربردی که به دنبال می‌آید، پیشنهاد می‌شود رقمهای مندرج در جدول ۵ از طریق تعویض سطرها و ستونها به صورت جدول ۶ تهیه و ارائه شود.

**(الف) محاسبه ضریب بازده یا بازده آبشویی نمکهای محلول از نیمرخ خاک مورد آزمون به طریق تجربی**  
 با توجه به آنچه در مبحث ۴-۴-۸ بیان شد، نظر به اینکه در این آزمایش میزان شوری نهایی مربوط به لایه ۰ تا ۱۰۰ سانتی‌متری نیمرخ خاک (در جدول ۵) به ازای کاربرد ۱۰۰ سانتی‌متر عمق آب آبشویی (سانتی‌متر) برابر  $8/12$  دسی‌زیمنس بر متر مشخص شده است و ملاحظه رقمهای جدول ۲ که میزان کسر رطوبت لایه ۰ تا ۱۰۰ سانتی‌متری نیمرخ خاک را قبل از آبشویی برابر  $17/45$  سانتی‌متر ارائه کرده است، و توجه به مندرجات جدول ۳ که میزان شوری آب کاربردی آبشویی را  $1/86$  دسی‌زیمنس بر متر گزارش کرده است، ابتدا با استفاده از رابطه  $94-4$  مقدار ضریب مربوط به شرح زیر محاسبه شده است:

$$r = \frac{D_w}{D_p} = \frac{100}{82/55} = 1/21$$

در رابطه بالا،  $D_w$  عمق ناخالص آب کاربردی و  $D_p$  عمق خالص آب آبشویی که پس از تأمین کسر رطوبت لایه مربوطه به صورت تراوشهای عمقی از نیمرخ خاک خارج می‌شود (معادل  $DL_w$  یا عمق خالص آب کاربردی یا آبشویی نمکها است). سپس با استفاده از رابطه  $93-4$  مقدار ضریب بازده یا بازده آبشویی نمکهای محلول از نیمرخ خاک، به صورت زیر برآورده می‌شود:

$$f = \frac{r \cdot EC_w}{EC_{eq}} = \frac{1/21 \times 1/86}{8/12} = 0/28$$

### **ب) مورد شوری زدایی خاک مورد آزمایش**

همان‌گونه که گفته شد در جدول ۶ تغییرات میزان شوری (هدایت الکتریکی عصاره اشباع خاک) لایه‌های مختلف خاک به‌ازای مقادیر متفاوت عمق آب به کاررفته (آب آبشویی ناخالص) ارائه شده است. در عمل ممکن است مقادیری از آب آبشویی صرف رفع یا جبران کمبود رطوبت خاک اعماق مربوط شود و در فرایند آبشویی مؤثر نباشد. همچنین کاهش میزان شوری با مصرف آب آبشویی و به میزان زیاد حتی در لایه‌های سطحی نیمرخ خاک منجر به حصول تعادل شیمیایی کامل با کیفیت آب آبیاری و یا آبشویی در کوتاه‌مدت نمی‌شود. بدین معنی که کمترین میزان شوری که به حالت تعادل شیمیایی کامل با آب کاربردی (با کیفیت مشخص) در می‌آید، بجز در خاکهای سبک با شرایط زهکشی بسیار مناسب، در دیگر موارد از شوری آب آبیاری کمی زیادتر است (در این مطالعه  $1/45$  برابر شوری آب آبیاری حاصل شده است<sup>(۱)</sup>) اثر این عامل نیز در جدول ۶ لحاظ نشده است.

---

۱ -  $EC_{eq}/EC_w = 1/45$

**جدول ۵- مقادیر محاسبه شده (میانگین وزنی) شوری اولیه ( $EC_i$ ) و نهایی عصاره اشباع خاک ( $EC_f$ )، قبل از کاربرد آب آبشویی و پس از کاربرد مقادیر متفاوت آب آبشویی در اعمق مختلف نیمرخ خاک**

| EC <sub>f</sub><br>میانگین<br>دسى زیمنس بر متر | D <sub>w</sub> = ۱۰۰ Cm | D <sub>w</sub> = ۷۵ Cm | D <sub>w</sub> = ۵۰ Cm | D <sub>w</sub> = ۲۵ Cm | هدایت الکتریکی عصاره اشباع خاک پس از کاربرد تناوبهای مختلف آب آبیاری (EC <sub>f</sub> ) | هدایت الکتریکی عصاره اشباع خاک قبل از آبشویی (EC <sub>i</sub> ) | اعماق مختلف نیمرخ خاک (سانتی متر) | ردیف |
|--|-------------------------|------------------------|------------------------|------------------------|---|---|-----------------------------------|------|
|  | EC <sub>f</sub> (۱۰۰)   | EC <sub>f</sub> (۷۵)   | EC <sub>f</sub> (۵۰)   | EC <sub>f</sub> (۲۵)   | دسى زیمنس بر متر  | دسى زیمنس بر متر  |                                   |      |
| ۶/۷۲   | ۲/۸۰                    | ۴/۰۰                   | ۷/۱۰                   | ۱۳/۰۰                  | ۲۹/۰۰   | ۲۵ - ۰  | ۱                                 |      |
| ۸/۳۹   | ۳/۸۵                    | ۵/۶۵                   | ۹/۱۵                   | ۱۴/۹۰                  | ۲۸/۵۰   | ۵۰ - ۰  | ۲                                 |      |
| ۹/۶۷   | ۵/۱۷                    | ۷/۲۳                   | ۱۰/۶۳                  | ۱۵/۶۷                  | ۲۷/۱۷   | ۷۵ - ۰  | ۳                                 |      |
| ۱۱/۵۰  | ۸/۱۲                    | ۹/۸۰                   | ۱۲/۲۲                  | ۱۵/۸۷                  | ۲۶/۲۵   | ۱۰۰ - ۰   | ۴                                 |      |

\* رقمهای (EC<sub>f</sub>) متن جدول بر حسب دسی زیمنس بر متر می باشند.

\*\* اعماق مختلف نیمرخ خاک در همان لایه های تجمعی اعماق نمونه برداری شده از سطح خاک است.

**جدول ۶- مقادیر میانگین وزنی (محاسبه شده) شوری اولیه ( $EC_i$ ) و نهایی عصاره اشباع خاک ( $EC_f$ )، قبل از کاربرد آب آبشویی و پس از کاربرد مقادیر متفاوت آب آبشویی در اعمق مختلف نیمرخ خاک**

| ردیف   | آبشویی کاربردی (D <sub>w</sub> )<br>(سانتی متر) | اعماق مختلف نیمرخ خاک، D <sub>s</sub> بر حسب سانتی متر |         |         |                   |
|--|---|--|---------|---------|-------------------|
|  |   | ۱۰۰ تا ۰   | ۷۵ تا ۰ | ۵۰ تا ۰ | ۲۵ تا ۰           |
| ۱  | ۲۶/۲۵   | ۲۷/۱۷  | ۲۸/۵۰   | ۲۹      | (قبل از آبشویی) ۰ |
| ۲  | ۱۵/۸۷   | ۱۵/۶۷  | ۱۴/۹۰   | ۱۳/۰۰   | ۲۵                |
| ۳  | ۱۲/۲۲   | ۱۰/۶۳  | ۹/۱۵    | ۷/۱۰    | ۵۰                |
| ۴  | ۹/۸۰  | ۷/۲۳   | ۵/۶۵    | ۴       | ۷۵                |
| ۵  | ۸/۱۲  | ۵/۱۷   | ۳/۸۵    | ۲/۸۰    | ۱۰۰               |
| میانگین رقمهای شوری خاک، پس از آبشویی (EC <sub>f</sub> ) |   |  |         |         |                   |
|  | ۱۱/۵۰   | ۹/۶۷   | ۸/۳۹    | ۶/۷۲    |                   |

\* رقمهای (EC<sub>f</sub>, EC<sub>i</sub>) متن جدول بر حسب دسی زیمنس بر متر است.

\*\* اعماق مختلف نیمرخ خاک در همان لایه های تجمعی اعماق نمونه برداری شده از سطح خاک است.

به منظور رفع این مورد، بر پایه رقمهای هدایت الکتریکی عصاره اشباع خاک و برای اعماق مربوط به آن، با استفاده از اعداد ارائه شده در جدول ۶ همین طور با بهره‌مندی از رقمهای تجزیه فیزیکی نمونه‌های خاک لایه‌های مربوط (به زیرنویس جدول ۲ توجه شود) لازم است جدولی مربوط به رقمهای مورد نیاز به شرح زیر :

$$X = \left[ \frac{Dl_w}{D_s} \right] Y \quad \text{و} \quad Y = \left[ \frac{(EC_f - EC_{eq})}{(EC_i - EC_{eq})} \right]$$

که در آن :  $EC_i$  و  $EC_f$  به ترتیب هدایت الکتریکی عصاره اشباع خاک قبل و بعد از استفاده عمق آب آبشویی مربوط (خالص) برحسب دسی زیمنس بر متر و  $EC_{eq}$  هدایت الکتریکی عصاره اشباع خاک که با آب آبیاری و یا آبشویی به حال تعادل شیمیایی می‌رسد برحسب دسی زیمنس بر متر و  $[Dl_w / D_s]$  نسبت عمق آب آبشویی به واحد عمق خاک، که در آن  $Dl_w$  عمق خالص آب آبشویی و آن میزان آبی است که پس از تأمین کسر رطوبت خاک لایه مربوط به طریق ثقلی و به صورت تراوشاهی عمقی از ستون خاک لایه مربوط خارج می‌شود برحسب متر یا سانتی‌متر،  $D_s$  عمق یا ضخامت لایه خاک (نسبت به سطح زمین) برحسب متر یا سانتی‌متر است.

همان‌گونه که در متن راهنمای پیوست ۱ نیز بیان شد، کاهش مقدار  $EC_{eq}$  (شوری تعادلی) از صورت و مخرج کسر ذکر شده (Y) و مربوط، موجب خواهد شد تا نتایج حاصل مستقل از عوامل خارجی مؤثر از جمله میزان تبخیر، شرایط زهکشی داخلی خاک، کیفیت آب آبیاری مورد استفاده در آبشویی باشد و نیز دیگر شرایطی که می‌تواند ببروی نتایج تأثیرگذار باشد.

بر مبنای موارد گفته شده، به منظور تهیه رقمهای آبشویی (شوری زدایی)، برای لایه‌های متفاوت نیمرخ خاک محاسبات مربوط انجام شد که نتایج در جدول ۷ ارائه شده است. براساس رقمهای جدول می‌توان منحنی شوری زدایی خاک محل مورد آزمایش را تهیه کرد. به دلیل اینکه در رسم منحنی شوری زدایی خاک، رقمهای محاسبه شده (میانگین وزنی) مورد استفاده قرار می‌گیرد، بنابراین به دلیل عدم تفاوت زیاد در چنین شرایطی رسم منحنیهای مربوط به هر عمق معمولاً مرسوم نمی‌باشد. باید یادآور شد که این منحنی در محدوده نوع خاک، میزان شوری اولیه نیمرخ خاک محل اجرای آزمون می‌تواند کاربرد داشته باشد. با استفاده از این منحنی می‌توان عمق آب مورد نیاز برای کاهش عملی میزان شوری خاک و برای عمق معینی از لایه خاک را برآورد (محاسبه) کرد. مقادیر استخراجی از منحنی گفته شده، نیاز خالص آب آبشویی نمک است و به منظور برآورد کل میزان آب مورد استفاده لازم برای آبشویی خاک، باید به مقادیر کسر رطوبت خاک لایه مورد نظر (تا حد ظرفیت مزرعه)، تبخیر (از سطح آب و خاک) و میزان بارندگی نیز توجه کرد و این عوامل فرآگیر را در محاسبات برنامه‌ریزی آبشویی و اصلاح خاک و زمینها لحاظ داشت. شایان ذکر است که در این آزمون، مقدار شوری تعادلی ( $EC_{eq}$ ) برابر با  $1/86$  دسی‌زیمنس بر متر در لایه ۵ سانتی‌متری سطح خاک پس از آبشویی حاصل شده است.

### پ) تجزیه و تحلیلهای آماری و ارائه مدل مناسب

رقمهای مندرج در جدول ۷ از طریق کاربرد نرم‌افزار SPSS ویرایش ۱۳/۵ مورد تحلیل آماری قرار گرفت و سه مدل به رقمهای حاصل از اجرای آزمون برآشش داده شد که خلاصه نتایج در جدول ۸ ارائه شده است.

## جدول ۷- اعداد شوری‌زدایی خاک محل مورد آزمون

| عمق خالص آب آبشویی و نسبتهای مربوطه (Y , X) |        |        |        |   | اعماق مختلف نیميخ خاک، سانتی‌متر | ردیف |
|---|--------|--------|--------|---|----------------------------------|------|
| ۹۶/۲۳                                       | ۷۱/۲۳  | ۴۶/۲۳  | ۲۱/۲۳  | Dl <sub>w</sub> (cm)                    | ۲۵ - .                           | ۱    |
| ۳/۸۵  | ۲/۸۵   | ۱/۸۵   | .۰/۸۵  | Dl <sub>w</sub> / D <sub>s</sub>        |                                  |      |
| .۰/۰۰۴                                      | .۰/۰۴۹ | .۰/۱۶۷ | .۰/۳۹۱ | $\frac{EC_f - EC_{eq}}{EC_i - EC_{eq}}$ |                                  |      |
| ۹۲/۳۹                                       | ۶۷/۳۹  | ۴۲/۳۹  | ۱۷/۳۹  | Dl <sub>w</sub> (cm)                    | ۵۰ - .                           | ۲    |
| ۱/۸۵  | ۱/۳۵   | .۰/۸۵  | .۰/۳۵  | Dl <sub>w</sub> / D <sub>s</sub>        |                                  |      |
| .۰/۰۴۵                                      | .۰/۱۱۴ | .۰/۲۵۲ | .۰/۴۷۲ | $\frac{EC_f - EC_{eq}}{EC_i - EC_{eq}}$ |                                  |      |
| ۸۷/۶۵                                       | ۶۲/۶۵  | ۳۷/۶۵  | ۱۲/۶۵  | Dl <sub>w</sub> (cm)                    | ۷۵ - .                           | ۳    |
| ۱/۱۷  | .۰/۸۳  | .۰/۵۰  | .۰/۱۷  | Dl <sub>w</sub> / D <sub>s</sub>        |                                  |      |
| .۰/۱۰۰                                      | .۰/۱۸۵ | .۰/۳۲۴ | .۰/۵۲۹ | $\frac{EC_f - EC_{eq}}{EC_i - EC_{eq}}$ |                                  |      |
| ۸۲/۷۶                                       | ۵۷/۷۶  | ۳۲/۷۶  | ۷/۷۶   | Dl <sub>w</sub> (cm)                    | ۱۰۰ - .                          | ۴    |
| .۰/۸۲۷                                      | .۰/۵۷۷ | .۰/۳۲۷ | .۰/۰۷۷ | Dl <sub>w</sub> / D <sub>s</sub>        |                                  |      |
| .۰/۲۳۰                                      | .۰/۳۰۱ | .۰/۴۰۵ | .۰/۵۵۹ | $\frac{EC_f - EC_{eq}}{EC_i - EC_{eq}}$ |                                  |      |

## جدول ۸- خلاصه نتایج تحلیلهای آماری و برآش مدل‌های مختلف به رقمهای شوری‌زدایی مورد آزمون

| آماره‌های محاسبه شده در مدل |                 |                 | ضرایب ثابت<br>محاسبه شده |        | رابطه ریاضی<br>مدل | نام مدل     |               | ردیف |
|-----------------------------|-----------------|-----------------|--------------------------|--------|--------------------|-------------|---------------|------|
| سطح<br>معنی داربودن         | انحراف<br>معیار | ضریب<br>همبستگی | b                        | a      |                    | لاتین       | فارسی         |      |
| .۰/۰۰۱۳                     | .۰/۱۲۴          | .۰/۵۳۶          | .۰/۰۹۱۷                  | .۰/۱۱۵ | y=a+b/X            | Inverse     | معکوس(هذلولی) | ۱    |
| .۰/۰۰۰۱                     | .۰/۷۴۲          | .۰/۶۸۳          | -۱/۲۹۰                   | .۰/۱۴۱ | y=a.Xb             | Power       | توانی         | ۲    |
| .۰/۰۰۰۰                     | .۰/۴۶۵          | .۰/۸۷۳          | -۱/۲۰۳                   | .۰/۶۹۵ | y=a.eb.X           | Exponential | نمایی         | ۳    |

\* برای آگاهی بیشتر از چگونگی محاسبه آماره‌های مدل به مباحث ۱-۵ و ۲-۵ توجه گردد.

به گونه‌ای که از جدول اخیر قابل ملاحظه است مدل نمایی<sup>1</sup> با داشتن بزرگ‌ترین ضریب همبستگی ( $R^2$ ) و انحراف معیار یا استاندارد (SE یا SD) برابر  $0.465$  در سطح ۱ درصد معنی‌دار است و پس از آن رابطه توانی و معکوس یا هذلولی<sup>2</sup> قرار دارند، بدین ترتیب مدل (رابطه) برتر را می‌توان به شرح زیر ارائه داد:

$$Y = 0.695 e^{-1/203X} \quad (1)$$

با جایگزینی متغیرهای مربوط به جای Y و X رابطه به صورت زیر در می‌آید:

$$\left( \frac{EC_f - EC_{eq}}{EC_i - EC_{eq}} \right) = 0.695 e^{-1/203 \left( \frac{Dl_w}{D_s} \right)} \quad (2)$$

که آن را به صورتهای زیر نیز می‌توان ارائه داد:

$$\frac{Dl_w}{D_s} = 0.833 \cdot \ln \left[ 0.695 \left( \frac{EC_i - EC_{eq}}{EC_f - EC_{eq}} \right) \right] \quad (3)$$

$$Dl_w = 0.833 \cdot D \ln \left[ 0.695 \left( \frac{EC_i - EC_{eq}}{EC_f - EC_{eq}} \right) \right] \quad (4)$$

به گونه‌ای که در بحث ۴-۳-۴ متن راهنمایی بیان شد، روابط ریاضی مطلوب در مورد آزمونهای آبشویی نمک خاکهای شور، به طور عمده توابع هذلولی (معکوس)، توانی، لگاریتمی (یا نیمه‌لگاریتمی) و نمایی می‌باشند که نتایج ارائه شده در جدول ۸ نیز مؤید آن است. بدیهی است پیش‌نیاز رسم منحنیهای مربوطه و یا کاربرد نتایج، مستلزم مقایسه نتایج حاصل از کاربرد مدل (y<sub>c</sub>، محاسبه شده) و رقمهای مشاهده شده (y<sub>o</sub>) می‌باشد که نتایج مشاهده شده در این آزمون، قبلًا در جدول ۷ ارائه شده است.

**ت) تعیین ضریب بازده آبشویی نمکهای محلول از نیمرخ خاک مورد آزمون، با روش حل عددی**  
 با توجه به آنچه در مبحث ۴-۴ متن راهنمایی بیان شد، با به کارگیری مدل‌های نظری آبشویی نمکهای محلول از نیمرخ خاکها که در تعديل و تکامل آنها، ضریب بازده آبشویی (f) منظور شده، می‌توان با انتخاب مقدار ضریب (f) مورد نظر و انجام محاسبات لازم، در نهایت به ازای مقادیر مختلف (عمق) آب آبشویی مصرفی، می‌توان غلظت نمکهای محلول لایه‌های متفاوت را پس از استفاده از آب آبشویی، برآورد و پیش‌بینی کرد و با استفاده از آنها، منحنی آبشویی (شوری زدایی) نظری خاک را رسم

1 - Exponential  
2 - Inverse

کرد. همان‌گونه که گفته شد، می‌توان منحنی شوری‌زدایی (آبشویی) واقعی خاک را با آزمونهای مزرعه، تهیه و رسم کرد. انطباق نسبی رقمهای شوری‌زدایی واقعی و نظری خاک مورد آزمون، می‌تواند بیانگر انتخاب مناسب مقدار ضریب بازده آبشویی (f) باشد که در مدلها و محاسبات به کاررفته، همچنین مدل به کار رفته با شرایط طبیعی خاک متناسب باشد. بدین ترتیب مقایسه همخوانی و انطباق منحنی آبشویی واقعی خاک و منحنی آبشویی نظری که با انتخاب مقادیر متفاوت (f) حاصل شده، می‌تواند روشی مناسب برای برآورد یا محاسبه ضریب بازده یا بازده آبشویی نمک خاکهای شور مورد آزمون باشد.

همان‌گونه که در بخش ۷-۴ به تفصیل گفته شد، با فرض اینکه جرم مخصوص ظاهری و میزان رطوبت همه لایه‌های نیمرخ خاک بدون تغییر باشند، می‌توان رابطه‌های ۹۰-۴ و ۹۱-۴ را برای فرایند شوری‌زدایی نیمرخ خاک که شامل n لایه کاملاً مخلوط شونده و متوالی است به شرح رابطه ۹۲-۴ نوشت.

رقمهای ارائه شده در جدول ۴ حاصل اجرای آزمون مزرعه‌ای آبشویی نمکهای محلول از نیمرخ خاک در شرایط آبشویی غرقاب متنابع است. به اضمام رقمهای تجزیه فیزیکی خاک مندرج در جدول ۲، همچنین میزان شوری آب کاربردی گزارش شده در جدول ۳، که برابر  $1/86$  دسی‌زیمنس بر متر است، با یک نرمافزار رایانه‌ای<sup>۱</sup> که مخصوص مدل حل عددی (NM) تدوین یافته بود، برای دو حالت زیر مورد استفاده قرار گرفت که نتایج به شرح زیر است :

- **تعیین ضریب بازده آبشویی نمکهای محلول از نیمرخ خاک مورد آزمون، با فرض چهار لایه بودن خاک**  
در جدول ۹، نتایج حاصل از به کارگیری نرمافزار رایانه‌ای با روش حل عددی، برای داده‌های ورودی گفته شده، ارائه شده است.  
همان‌گونه که از جدول ۹ ملاحظه می‌شود، مقدار ضریب بازده آبشویی محاسبه شده با افزایش عمق، کاهش می‌یابد به‌گونه‌ای که بیشترین مقدار آن در لایه سطحی برابر  $25/0$  و کمترین آن در آخرین لایه معادل  $5/0$  است مقدار میانگین آن  $137/0$  می‌باشد (هرچند این رقم در این حالت کاربردی ندارد). بر مبنای رقمهای (f) محاسبه شده، برای هر لایه مجزا (اعماق مختلف نمونه‌برداری در نیمرخ خاک)، مقدار شوری نهایی (EC<sub>f</sub>) هر لایه به‌ازای مقادیر متنابع آب آبشویی (y<sub>c</sub>)، محاسبه می‌شود، سپس مقایسه‌ای بین رقمهای مشاهده شده (شوری نهایی) یعنی ( $y_0$ ) و رقمهای محاسبه شده ( $y_c$ ) به عمل آمد و افزون بر محاسبه مجموع مربوطات انحرافات که در جدول مربوط مندرج است، با استفاده از نرمافزار SPSS ویرایش ۱۵/۰، مدل خطی به رقمهای مشاهده شده ( $y_0$ ) و محاسبه شده (از روش حل عددی یعنی،  $y_c$ ) برآش داده شده است. که ضریب همبستگی مربوطه ( $R^2$ ) برابر  $930.5/0$  و انحراف معیار یا استاندارد SD برابر  $1/437$  و در سطح ۱ درصد معنی‌دار بوده است بدین ترتیب رابطه زیر را می‌توان ارائه داد:

$$y_0 = 0/8380 y_c + 1/243 \quad (5)$$

---

1- حیدری، نادر (۱۳۷۳) بررسی نظریه‌های آبشویی و تعیین ضریب راندمان آبشویی خاکهای شور و سدیمی توسط روش حل عددی، پایان‌نامه درجه کارشناسی ارشد در رشته آبیاری و زهکشی، دانشکده کشاورزی، دانشگاه تهران.

- تعیین ضریب بازده آبشویی نمکهای محلول از نیمرخ خاک مورد آزمون، با فرض تک لایه بودن خاک در جدول ۱۰، نتایج حاصل از به کارگیری نرم افزار رایانه ای با روش حل عددی برای داده های بیان شده، ارائه شده است. به گونه ای که از جدول یاد شده استنبط می شود، مقدار ضریب بازده آبشویی محاسبه شده برای مجموع لایه ها (با فرض پیوسته بودن ستون خاک تا عمق ۱۰۰ سانتی متری از سطح خاک)  $0/35$  برآورد شده است. بر مبنای این مقدار میانگین (f)، برای هر لایه مجزا (اعماق مختلف نمونه برداری در نیمرخ خاک)، مقادیر شوری نهایی ( $EC_f$ ) هر لایه به ازای مقادیر متفاوت آب آبشویی ( $y_c$ ) محاسبه شده است، سپس مقایسه ای بین رقمهای مشاهده شده (شوری نهایی) یعنی ( $y_c$ ) و رقمهای محاسبه شده ( $y_c$ ) به عمل آمد و افروزن بر محاسبه مجموع مربعات انحرافات که در جدول مربوط ارائه شده است، با استفاده از نرم افزار گفته شده (SPSS ویرایش ۱۳/۵)، مدل خطی به رقمهای مشاهده شده ( $y_c$ ) و محاسبه شده (از روش حل عددی یعنی  $y_c$ ) برازش داده شده است، که ضریب همبستگی مربوط ( $R^2$ ) برابر  $0/836$  و انحراف معیار یا استاندارد SD یا SE برابر  $2/2$  و در سطح ۱ درصد معنی دار بوده است و بدین صورت رابطه زیر را می توان ارائه داد.

$$y_c = 0/6270y_c + 3/891 \quad (6)$$

- با توجه به موارد گفته شده، مدل حل عددی (NM) برای برآورد بازده آبشویی نمکهای محلول از نیمرخ خاک مورد آزمون و در دو حالت بیان شده، همچنین در برآورد یا محاسبه مقادیر شوری نهایی لایه های مختلف نیمرخ خاک ( $EC_f$ ) به ازای مقادیر متفاوت آب آبشویی، مدل مناسبی به شمار می رود و روابط خطی بالطمینانی برای برآورد مقادیر شوری نهایی ( $EC_f$ ) محاسبه یا برآورد شده از مقادیر مشاهده شده به دست داده است. بدلیل سهولت کاربرد در امور اجرایی و برنامه های اصلاح خاک و زمین، با فرض تک لایه بودن نیمرخ خاک، محاسبه یا برآورد ضریب بازده آبشویی (f) پیشنهاد می شود. مقدار ضریب محاسبه شده در این شرایط ( $0/35$ ) با مقدار تقریبی محاسبه شده ( $0/28$ ) (بیان شده در مبحث الف) همخوانی بیشتری دارد، هر چند مقدار محاسبه شده (f) از طریق مدل علمی تر می باشد. تذکر: از نظر مقدار ضریب همبستگی و رقم مجموع مربعات انحرافات و ازنظر آماری، رابطه ۵ بر رابطه ۶ برتری دارد.

### ث) کاربرد مدل های نظری آبشویی نمک خاک های سور

با توجه به آنچه در مبحث ۴-۴ بیان شد، برخلاف مدل های تجربی، در اشتاقاق مدل های نظری حسب مورد، شرایط و اهداف مورد نظر از پیش فرض های فیزیکی و ریاضی ساده تا پیچیده ای در اشتاقاق مدلها و یا روابط نظری استفاده می شود که به همین دلیل، دامنه کاربردی آنها محدود نیست، به گونه ای که در طرح های مطالعاتی بررسی امکانات شوری و یا سدیم زدایی خاک های شور و سدیمی، تعیین میزان آب لازم برای آبشویی نمکهای محلول از نیمرخ خاک های مسئله دار، با اهمیت است. در بررسی های جاری و متداول با کاربرد مقادیر متفاوت آب آبشویی و تهیی نمونه های متعدد آب، خاک و زه آب، تغییرات میزان نمک طی فرایند آبشویی، مورد مطالعه و بررسی قرار می گیرد. اجرای این روشها که مرسوم ترین شیوه در اصلاح و بهسازی این خاک هاست، مستلزم صرف وقت و هزینه زیاد و آزمون های مزرعه ای (میدانی) است. در دهه های اخیر، پژوهشگران متعددی با بررسی و شناخت فرایندهای فیزیکی و شیمیایی که در آبشویی و انتقال همزمان آب و نمکهای محلول مؤثر می باشند، مدل هایی مبتنی بر روابط بین متغیرهای مربوط، را به صورت رابطه های ریاضی، روابط نظری و تجربی (به شرح پیوست ۳) ارائه دادند.

**جدول ۹- مقادیر هدایت الکتریکی عصاره اشباع نیمrix خاک (مشاهده و محاسبه شده) پس از به کارگیری تناوبهای مختلف آب آبشویی در اعماق مربوطه، با روش حل عددی و فرض چهار لایه بودن خاک**

| مجموع مربعات انحرافات | هدایت الکتریکی عصاره اشباع خاک (EC <sub>f</sub> ) پس از کاربرد تناوبهای مختلف آب آبشویی |            |                        |                       |                       |                       |            |            |            |            | ضریب بازده آبشویی محاسبه شده از مدل (بدون بعد) | هدایت الکتریکی عصاره اشباع خاک قبل از آبشویی | اعمق نمونه برداری از خاک، سانتی متر | ردیف |
|-----------------------|---|------------|------------------------|-----------------------|-----------------------|-----------------------|------------|------------|------------|------------|--|--|-------------------------------------|------|
|                       | میانگین   |            | D <sub>w</sub> = ۱۰۰Cm | D <sub>w</sub> = ۷۵Cm | D <sub>w</sub> = ۵۰Cm | D <sub>w</sub> = ۲۵Cm | مشاهده شده | محاسبه شده | مشاهده شده | محاسبه شده |  |  |                                     |      |
|                       | پس از آبشویی*   | مشاهده شده | محاسبه شده             | مشاهده شده            | محاسبه شده            | مشاهده شده            | محاسبه شده | مشاهده شده | محاسبه شده | مشاهده شده |  |  |                                     |      |
| ۰/۱۹                  | ۶/۸۵  | ۶/۷۲       | ۲/۹۰                   | ۲/۸۰                  | ۴/۱۰                  | ۴/۰۰                  | ۷/۰۰       | ۷/۱۰۰      | ۱۳/۴۰      | ۱۳/۰۰      | ۰/۲۵   | ۲۹/۰۰  | ۲۵ - ۰                              | ۱    |
| ۲/۳۴                  | ۱۰/۱۰   | ۱۰/۰۵      | ۴/۲۰                   | ۴/۹۰                  | ۶/۹۰                  | ۷/۳۰                  | ۱۱/۲۰      | ۱۱/۲۰      | ۱۸/۱۰      | ۱۶/۸۰      | ۰/۱۵   | ۲۸/۰۰  | ۵۰ - ۲۵                             | ۲    |
| ۱۳/۳۱                 | ۱۳/۹۷   | ۱۲/۲۵      | ۱۴/۷۰                  | ۷/۸۰                  | ۱۱/۷۰                 | ۱۰/۴۰                 | ۱۵/۳۰      | ۱۳/۶۰      | ۱۹/۹۰      | ۱۷/۲۰      | ۰/۱۰   | ۲۴/۵۰  | ۷۵ - ۵۰                             | ۳    |
| ۳۸/۲۸                 | ۱۸/۱۰   | ۱۷         | ۱۶/۵۰                  | ۱۷                    | ۱۶/۸۰                 | ۱۷/۵۰                 | ۱۹/۱۰      | ۱۷         | ۲۱/۸۰      | ۱۶/۵۰      | ۰/۰۵   | ۲۳/۵۰  | ۱۰۰ - ۷۵                            | ۴    |
| ۵۴/۱۲                 | ۱۲/۲۵   | ۱۱/۵۰      | ۷/۷۰                   | ۸/۱۲                  | ۹/۸۷                  | ۹/۸۰                  | ۱۳/۱۵      | ۱۲/۲۲      | ۱۸/۳۰      | ۱۵/۸۷      | ۰/۱۳۷  | ۲۶/۲۵  | میانگین                             |      |

\* جمع رقمهای تفاوت شوری مشاهده شده خاک پس از آبشویی در چهار عمق مورد بررسی قرار می گیرد.

**جدول ۱۰ - مقادیر هدایت الکتریکی عصاره اشباع نیمرخ خاک (مشاهده و محاسبه شده) پس از به کارگیری تناوبهای مختلف آب آبشویی در اعماق مربوطه، با روش حل عددی و فرض تک لایه بودن خاک**

| ردیف | اعماق نمونه برداری از خاک، سانتی متر | هدایت الکتریکی عصاره اشباع خاک قبل از آبشویی دسی زیمنس بر متر | ضریب بازده آبشویی محاسبه شده از مدل (بدون بعد) | هدایت الکتریکی عصاره اشباع خاک ( $EC_f$ ) پس از کاربرد تناوبهای مختلف آب آبشویی |            |                      |                     |                     |                     |            |            | مجموع مربعات انحرافات پس از آبشویی* |            |       |
|------|--------------------------------------|---|--|---|------------|----------------------|---------------------|---------------------|---------------------|------------|------------|-------------------------------------|------------|-------|
|      |                                      |   |  | میانگین   |            | $D_w = 100\text{Cm}$ | $D_w = 75\text{Cm}$ | $D_w = 50\text{Cm}$ | $D_w = 25\text{Cm}$ | مشاهده شده | مشاهده شده | مشاهده شده                          | مشاهده شده |       |
|      |                                      |   |  | محاسبه شده  | مشاهده شده | محاسبه شده           | مشاهده شده          | محاسبه شده          | مشاهده شده          | محاسبه شده | مشاهده شده | محاسبه شده                          | مشاهده شده |       |
| ۱    | ۲۵ - ۰                               | ۲۹/۰  | ۰/۳۵   | ۱۷/۹۴   | ۴/۸۲       | ۶/۷۲                 | ۲/۱۰                | ۲/۸۰                | ۲/۷۰                | ۴/۰۰       | ۴/۵۰       | ۷/۱۰۰                               | ۱۰         | ۱۳    |
| ۲    | ۵۰ - ۲۵                              | ۲۸/۰  | ۰/۳۵   | ۱۳/۳۴   | ۹/۸۰       | ۱۰/۰۵                | ۳/۴۰                | ۴/۹۰                | ۵/۶۰                | ۷/۳۰       | ۱۰/۶۰      | ۱۱/۲۰                               | ۱۹/۶۰      | ۱۶/۸۰ |
| ۳    | ۷۵ - ۵۰                              | ۲۴/۵۰   | ۰/۳۵   | ۳۱/۹۸   | ۱۵/۱۰      | ۱۲/۲۵                | ۷/۱۰                | ۷/۸۰                | ۱۱/۶۰               | ۱۰/۴۰      | ۱۷/۹۰      | ۱۳/۶۰                               | ۲۳/۸۰      | ۱۷/۲۰ |
| ۴    | ۱۰۰ - ۷۵                             | ۲۳/۳۰   | ۰/۳۵   | ۱۰۴/۸۵  | ۱۸/۸۲      | ۱۷                   | ۱۲/۲                | ۱۷                  | ۱۷/۳۰               | ۱۷/۵۰      | ۲۱/۹۰      | ۱۷                                  | ۲۳/۹۰      | ۱۶/۵۰ |
|      | میانگین                              | ۲۶/۲۵   | ۰/۳۵   | ۱۶۸/۱۱  | ۱۲/۱۳      | ۱۱/۵۰                | ۶/۲۰                | ۸/۱۲                | ۹/۳۰                | ۹/۸۰       | ۱۳/۷۲      | ۱۲/۲۲                               | ۱۹/۳۲      | ۱۵/۸۷ |

\* جمع رقمهای تفاوت شوری مشاهده شده خاک پس از آبشویی در چهار عمق مورد بررسی قرار می گیرد.

در روابط یا مدل‌های نظری، تغییرات میزان عامل موردنظر (شوری خاک) به‌ازای مقادیر مشخص آب آبشویی (کاربردی) با کیفیت مشخص، قابل محاسبه و پیش‌بینی می‌باشد و بدین ترتیب در یک مدل مناسب می‌توان عملیات مدیریتی مختلفی را در آبشویی نمکهای محلول اعمال و نتایج حاصل را برای مطالعات بعدی و یا بررسی فرایندهایی که در ساختار مدل لحاظ نشده، اعمال، اصلاح و یا تعديل کرد.

رقمهای ارائه شده در جدول ۴ که حاصل اجرای آزمون مزرعه‌ای آبشویی نمک از نیمرخ خاک در شرایط آبشویی غرقاب متناوب است، افزون بر رقمهای تجزیه‌فیزیکی خاک ارائه شده در جدول ۲، میزان شوری آب آبشویی گزارش شده در جدول ۳ به میزان ۱/۸۶ دسی‌زیمنس بر سانتی‌متر، با یک نرمافزار رایانه‌ای<sup>۱</sup> که جهت کاربرد چهار مدل معروف و مرسوم در مطالعات شوری‌زدایی یعنی: مدل سری مخازن (SRM)، مدل نظری ستون پیوسته (TPTM)، مدل انتقال-انتشار هیدرودینامیکی (CDM) و مدل حل عددی (NM) که شرح جزئیات نظری مبانی آنها به ترتیب در مباحث ۴-۴-۴، ۳-۴-۴، ۴-۴-۴ و بهمین صورت در مبحث ۷-۴-۴ متن راهنمای گردیده، مورد استفاده قرار گرفت که نتایج در جدولهای ۱۱ تا ۱۴ به ترتیب ارائه شده است.

شایان ذکر است که رابطه‌های نهایی، مربوط به مدل‌های گفته شده روابط ۵۳-۴، ۵۷-۴، ۷۵-۴، ۹۲-۴ و روابط تكمیلی آنهاست. در مورد مدل‌های مورد استفاده، ذکر نکات زیر ضروری است :

- در مدل سری مخازن (SRM) میزان ضریب بازده آبشویی از طریق مدل برای هر لایه جداگانه (بدترتب ۰/۲۳، ۰/۲۴، ۰/۲۳، ۰/۲۳) محاسبه و به کار رفته است و رقم ۰/۲۳۲ مندرج در جدول ۱۱ به صورت میانگین نوشته شده است.
- در مدل نظری ستون پیوسته (TPTM) مقدار ضریب بازده آبشویی از طریق مدل، برای هر لایه جداگانه (به ترتیب ۰/۲۵، ۰/۱۸، ۰/۱۷ و ۰/۱۳) محاسبه و مورد استفاده قرار گرفته است و رقم ۰/۱۸۲ مندرج در جدول (۱۲) به صورت میانگین ارائه شده است.
- در مدل انتقال-انتشار هیدرودینامیکی (CDM) نیازی به محاسبه و در نظر گرفتن ضریب بازده آبشویی نمکهای محلول از نیمرخ خاک نیست.
- در مدل حل عددی (NM) که امکان کاربرد آن برای دو حالت فرض، چهار لایه و تک لایه خاک وجود دارد (که موارد قبل‌اً در مبحث (ت) به آن اشاره شد، در شرایط کاربرد حالت نخست، مقدار ضریب بازده آبشویی از طریق مدل برای هر لایه جداگانه (به ترتیب ۰/۲، ۰/۳۱، ۰/۳۳ و ۰/۲۸) محاسبه گردید، لیکن به دلیل بهره‌مندی از آنچه در مبحث (الف) مورد توجه بوده و به دلیل مقایسه نتایجی که در جدول ۱۰ ارائه گردید، رقم ۰/۲۸ به عنوان ضریب بازده آبشویی نمک به کار گرفته شده است.

---

۱- وزیری، زاله (۱۳۷۴) ارزیابی مدل‌های شوری‌زدایی خاک با آزمایش مزرعه‌ای، پایان‌نامه درجه کارشناسی ارشد در رشته آبیاری و زهکشی، دانشکده کشاورزی، دانشگاه صنعتی اصفهان.

**جدول ۱۱- مقادیر هدایت الکتریکی عصاره اشبع نیمrix خاک (مشاهده و محاسبه شده) پس از به کارگیری تناوبهای مختلف آب آبشویی در اعماق مربوطه، با استفاده از مدل سری مخازن**

| ردیف | اعماق نمونه برداری<br>از خاک سانتی متر | هدایت الکتریکی<br>عصاره اشبع خاک<br>قبل از آبشویی<br>دسی زیمنس بر متر | ضریب بازده<br>آبشویی<br>محاسبه شده از<br>مدل (بدون بعد) | هدایت الکتریکی عصاره اشبع خاک ( $EC_f$ ) پس از کاربرد تناوبهای مختلف آب آبشویی |            |                      |                     |                     |                     |            |            | مجموع مربعات<br>انحرافات<br>پس از آبشویی* |       |        |
|------|--|---|---|--|------------|----------------------|---------------------|---------------------|---------------------|------------|------------|---|-------|--------|
|      |  |   |   | میانگین  |            | $D_w = 100\text{Cm}$ | $D_w = 75\text{Cm}$ | $D_w = 50\text{Cm}$ | $D_w = 25\text{Cm}$ | مشاهده شده | مشاهده شده | مشاهده شده                                |       |        |
|      |  |   |   | محاسبه شده   | مشاهده شده | محاسبه شده           | مشاهده شده          | محاسبه شده          | مشاهده شده          | محاسبه شده | مشاهده شده | محاسبه شده                                |       |        |
| ۱    | ۲۵ - ۰                                 | ۲۹/۰  | ۰/۲۳۲   | ۰/۰۹   | ۶/۶۵       | ۶/۷۲                 | ۲/۸۰                | ۲/۸۰                | ۴                   | ۴          | ۶/۸۰       | ۷/۱۰                                      | ۱۳    | ۱۳     |
| ۲    | ۵۰ - ۲۵                                | ۴۸/۰  | ۰/۲۳۲   | ۰/۲۶   | ۹/۸۵       | ۱۰/۰۵                | ۴/۸۰                | ۴/۹۰                | ۷                   | ۷/۳۰       | ۱۰/۸۰      | ۱۱/۲۰                                     | ۱۶/۸۰ | ۱۶/۸۰  |
| ۳    | ۷۵ - ۵۰                                | ۲۴/۵۰   | ۰/۲۳۲   | ۰/۴۹   | ۱۲/۱۲      | ۱۲/۲۵                | ۷/۷۰                | ۷/۸۰                | ۱۰                  | ۱۰/۴۰      | ۱۳/۲۰      | ۱۳/۶۰                                     | ۱۷/۶۰ | ۱۷/۲۰  |
| ۴    | ۱۰۰ - ۷۵                               | ۲۳/۵۰   | ۰/۲۳۲   | ۱۱/۲۳  | ۱۷/۶۲      | ۱۷                   | ۱۶/۵۰               | ۱۷                  | ۱۷/۲۰               | ۱۷/۵۰      | ۱۷         | ۱۹/۸۰                                     | ۱۶/۵۰ | ۰/۱۱۰۷ |
|      | میانگین                                | ۲۶/۲۵   | ۰/۲۳۲   | ۱۱/۰۷  | ۱۱/۵۶      | ۱۱/۵۰                | ۷/۹۵                | ۸/۱۲                | ۹/۵۵                | ۹/۸۰       | ۱۱/۹۵      | ۱۲/۲۲                                     | ۱۶/۸۰ | ۱۵/۸۷  |

\* جمع رقمهای تفاوت شوری مشاهده شده خاک پس از آبشویی در چهار عمق مورد بررسی قرار می‌گیرد.

**جدول ۱۲ - مقادیر هدایت الکتریکی عصاره اشباع نیمرخ خاک (مشاهده و محاسبه شده) پس از به کارگیری تناوبهای مختلف آب آبشویی در اعمق مربوطه، با استفاده از مدل نظری ستون پیوسته**

| ردیف | اعمق نمونه برداری از خاک سانتی متر | هدایت الکتریکی عصاره اشباع خاک قبل از آبشویی دسی زیمنس بر متر | ضریب بازده آبشویی محاسبه شده از مدل (بدون بعد) | هدایت الکتریکی عصاره اشباع خاک ( $EC_f$ ) پس از کاربرد تناوبهای مختلف آب آبشویی |            |                      |                     |                     |                     |            |            | مجموع مربعات انحرافات پس از آبشویی* |                     |                     |                     |
|------|------------------------------------|---|--|---|------------|----------------------|---------------------|---------------------|---------------------|------------|------------|-------------------------------------|---------------------|---------------------|---------------------|
|      |                                    |   |  | میانگین   |            | $D_w = 100\text{Cm}$ | $D_w = 75\text{Cm}$ | $D_w = 50\text{Cm}$ | $D_w = 25\text{Cm}$ | میانگین    |            | $D_w = 100\text{Cm}$                | $D_w = 75\text{Cm}$ | $D_w = 50\text{Cm}$ | $D_w = 25\text{Cm}$ |
|      |                                    |   |  | محاسبه شده  | مشاهده شده | محاسبه شده           | مشاهده شده          | محاسبه شده          | مشاهده شده          | محاسبه شده | مشاهده شده | محاسبه شده                          | مشاهده شده          | محاسبه شده          | مشاهده شده          |
| ۱    | ۲۵ - ۰                             | ۲۹/۰  | ۰/۱۸۲  | ۱۲/۵۵   | ۶/۷۲       | ۱۱/۷۰                | ۲/۸۰                | ۱۴/۸                | ۴                   | ۱۲         | ۷/۱۰       | ۱۱/۷۰                               | ۱۳                  | ۰/۱۸۲               | ۲۲۱/۵۰              |
| ۲    | ۵۰ - ۲۵                            | ۲۸/۰  | ۰/۱۸۲  | ۱۰/۳۲   | ۱۰/۰۵      | ۶/۹۰                 | ۴/۹۰                | ۱۱/۱                | ۷/۳۰                | ۱۰/۷۰      | ۱۱/۲۰      | ۱۲/۶۰                               | ۱۶/۸۰               | ۰/۱۸۲               | ۳۶/۳۳               |
| ۳    | ۷۵ - ۵۰                            | ۲۴/۵۰   | ۰/۱۸۲  | ۹/۶۷  | ۱۲/۲۵      | ۴/۸۰                 | ۷/۸۰                | ۱۰/۹                | ۱۰/۴۰               | ۹/۵۰       | ۱۳/۶۰      | ۱۳/۵۰                               | ۱۷/۲۰               | ۰/۱۸۲               | ۳۹/۸۰               |
| ۴    | ۱۰۰ - ۷۵                           | ۲۳/۵۰   | ۰/۱۸۲  | ۱۶/۳۷   | ۱۷         | ۱۸/۴۰                | ۱۷                  | ۱۵/۱۰               | ۱۷/۵۰               | ۱۴/۴۰      | ۱۷         | ۱۷/۶۰                               | ۱۶/۵۰               | ۰/۱۸۲               | ۱۵/۶۹               |
|      | میانگین                            | ۲۶/۲۵   | ۰/۱۸۲  | ۱۲/۲۳   | ۱۱/۵۰      | ۱۰/۴۵                | ۸/۱۲                | ۱۲/۹۷               | ۹/۸۰                | ۱۱/۶۵      | ۱۲/۲۲      | ۱۳/۸۵                               | ۱۵/۸۷               | ۰/۱۸۲               | ۳۱۳/۳۲              |

• جمع رقم‌های تفاوت شوری مشاهده شده و محاسبه شده خاک پس از آبشویی در چهار عمق مورد بررسی قرار می‌گیرد.

**جدول ۱۳ - مقادیر هدایت الکتریکی عصاره اشبع نیمرخ خاک (مشاهده و محاسبه شده) پس از به کارگیری تناوبهای مختلف آب آبشویی در اعماق مربوطه، با استفاده از مدل انتقال- انتشار هیدرودینامیکی**

| ردیف | اعماق<br>نمونه برداری از<br>خاک سانتی متر | هدایت الکتریکی<br>عصاره اشبع خاک<br>قبل از آبشویی<br>دسی زیمنس بر متر | ضریب بازده آبشویی<br>محاسبه شده از مدل<br>(بدون بعد) | هدایت الکتریکی عصاره اشبع خاک ( $EC_f$ ) پس از کاربرد تناوبهای مختلف آب آبشویی |            |                      |                      |                      |                      |            |            | مجموع مربعات<br>انحرافات<br>پس از آبشویی* |        |        |
|------|---|---|--|--|------------|----------------------|----------------------|----------------------|----------------------|------------|------------|---|--------|--------|
|      |   |   |  | میانگین  |            | $D_w = 10\text{ Cm}$ | $D_w = 75\text{ Cm}$ | $D_w = 50\text{ Cm}$ | $D_w = 25\text{ Cm}$ |            |            |   |        |        |
|      |   |   |  | محاسبه شده   | مشاهده شده | محاسبه شده           | مشاهده شده           | محاسبه شده           | مشاهده شده           | محاسبه شده | مشاهده شده | مشاهده شده                                |        |        |
| ۱    | ۲۵ - ۰                                    | ۲۹/۰  | نیاز ندارد   | ۱۳   | ۱۵/۵۰      | ۷/۱۰                 | ۱۲/۴۰                | ۹/۹۰                 | ۴                    | ۱۰/۷۰      | ۲/۸۰       | ۶/۷۲                                      | ۱۲/۱۲  | ۱۳۱/۵۶ |
| ۲    | ۵۰ - ۲۵                                   | ۲۸/۰  | نیاز ندارد   | ۱۶/۸۰  | ۱۴/۸۰      | ۱۱/۲۰                | ۱۲/۵۰                | ۱۱/۱۰                | ۴/۹۰                 | ۱۰/۰۵      | ۱۲/۴۰      | ۶۹/۴۸                                     |        |        |
| ۳    | ۷۵ - ۵۰                                   | ۲۴/۵۰   | نیاز ندارد   | ۱۷/۲۰  | ۱۲/۵۰      | ۱۳/۶۰                | ۱۰/۴۰                | ۱۰/۲۰                | ۷/۸۰                 | ۸/۲۰       | ۱۲/۲۵      | ۱۰/۰۷                                     | ۳۹/۹۳  |        |
| ۴    | ۱۰۰ - ۷۵                                  | ۲۳/۵۰   | نیاز ندارد   | ۱۶/۵۰  | ۱۲/۲۰      | ۱۴/۸۰                | ۱۲/۱۰                | ۱۷                   | ۱۷                   | ۱۴/۷۰      | ۱۷         | ۱۳/۴۵                                     | ۵۷/۷۸  |        |
|      | میانگین                                   | ۲۶/۲۵   | -  | ۱۵/۸۷  | ۱۲/۲۲      | ۱۱/۹۵                | ۹/۸۰                 | ۱۱/۱۷                | ۸/۱۲                 | ۱۱/۱۷      | ۱۱/۵۰      | ۱۲/۰۱                                     | ۲۹۸/۷۵ |        |

\* جمع رقمهای تفاوت شوری مشاهده شده خاک پس از آبشویی در چهار عمق مورد بررسی قرار می گیرد.

**جدول ۱۴ - مقادیر هدایت الکتریکی عصاره اشباع نیمرخ خاک (مشاهده و محاسبه شده) پس از به کارگیری تناوبهای مختلف آب آبشویی در اعماق مربوطه، با استفاده از روش (مدل) حل عددی**

| ردیف | اعماق نمونه برداری از خاک سانتی متر | هدایت الکتریکی عصاره اشباع خاک | ضریب بازده آبشویی محاسبه شده از مدل قبل از آبشویی تجربی (بدون بعد) دسی زیمنس بر متر | هدایت الکتریکی عصاره اشباع خاک (EC <sub>f</sub> ) پس از کاربرد تناوبهای مختلف آب آبشویی |            |                       |            |                      |            |                      |            |                      |            | مجموع مربعات انحرافات پس از آبشویی* |   |
|------|-------------------------------------|--------------------------------|---|---|------------|-----------------------|------------|----------------------|------------|----------------------|------------|----------------------|------------|-------------------------------------|---|
|      |                                     |                                |   | میانگین   |            | D <sub>w</sub> =100Cm |            | D <sub>w</sub> =75Cm |            | D <sub>w</sub> =50Cm |            | D <sub>w</sub> =25Cm |            |                                     |   |
|      |                                     |                                |   | محاسبه شده  | مشاهده شده | محاسبه شده            | مشاهده شده | محاسبه شده           | مشاهده شده | محاسبه شده           | مشاهده شده | محاسبه شده           | مشاهده شده |                                     |   |
| ۱    | ۲۵ - ۰                              | ۲۹/۰                           | ۰/۲۸  | ۱۶/۵۰   | ۸/۶۰       | ۶/۷۲                  | ۵/۱۰       | ۲/۸۰                 | ۶/۷۰       | ۴                    | ۹          | ۷/۱۰                 | ۱۳/۶۰      | ۱۳                                  | ۱ |
| ۲    | ۵۰ - ۲۵                             | ۲۸/۰                           | ۰/۲۸  | ۳۶/۳۳   | ۱۰/۳۲      | ۱۰/۰۵                 | ۶/۹۰       | ۴/۹۰                 | ۱۱/۱       | ۷/۳۰                 | ۱۰/۷۰      | ۱۱/۲۰                | ۱۲/۶۰      | ۱۶/۸۰                               | ۲ |
| ۳    | ۷۵ - ۵۰                             | ۳۴/۵۰                          | ۰/۲۸  | ۳۵/۱۰   | ۹/۶۰       | ۱۲/۲۵                 | ۵          | ۷/۸۰                 | ۸/۴۰       | ۱۰/۴۰                | ۱۲/۵۰      | ۱۳/۶۰                | ۱۲/۵۰      | ۱۷/۲۰                               | ۳ |
| ۴    | ۱۰۰ - ۷۵                            | ۲۳/۵۰                          | ۰/۲۸  | ۲۷/۹۰   | ۱۴/۸۲      | ۱۷                    | ۱۵/۱۰      | ۱۷                   | ۱۵/۵۰      | ۱۷/۵۰                | ۱۶/۷۰      | ۱۷                   | ۱۲         | ۱۶/۵۰                               | ۴ |
|      | میانگین                             | ۲۶/۲۵                          | ۰/۲۸  | ۱۰۴/۷۰  | ۱۰/۲۴      | ۱۱/۵۰                 | ۷/۴۵       | ۸/۱۲                 | ۹/۱۵       | ۹/۸۰                 | ۱۱/۶۰      | ۱۲/۲۲                | ۱۲/۷۷      | ۱۵/۸۵                               |   |

\* جمع رقمهای تفاوت شوری مشاهده شده خاک پس از آبشویی در چهار عمق مورد بررسی قرار می گیرد.

رقمهای شوری خاک مشاهده شده ( $EC_f$ ) پس از کاربرد تناوبهای متفاوت آب آبشویی در اعمق مربوط با استفاده از مدل‌های سری مخازن، نظری ستون پیوسته، انتقال-انتشار هیدرودینامیکی و روش حل عددی و آنچه از طریق آزمون مزرعه‌ای حاصل شده بود (رقمهای مشاهده شده) از طریق محاسبه مجموع مربعات انحرافات رقمهای پس از آبشویی نمک مورد بررسی و مقایسه قرار گرفت. در نتیجه مشخص گردید که از نظر تناسب کاربردی با شرایط خاکهای منطقه مورد آزمون، نتایج مشاهده شده و شرایط اجرای آزمایش به ترتیب مدل‌های سری مخازن، حل عددی، انتقال-انتشار هیدرودینامیکی و مدل ستون پیوسته قرار دارند که رقمهای مرتبط با واریانس آماری محاسبه شده مربوط  $0/8047$ ,  $6/980$ ,  $19/917$  و  $20/888$  بوده است. بدین ترتیب برتری ترتیب مدل سری مخازن به دیگر مدل‌های به کار رفته، بار دیگر تأیید می‌گردد. انحراف معیار نتایج حاصل از کاربرد مدل‌های گفته شده نیز معادل  $0/8970$ ,  $2/642$ ,  $4/462$  و  $4/570$  محاسبه شده است.

تذکر: از آنجاکه رقمهای حاصل از اجرای آزمون آبشویی نمک محلول از نیمرخ خاک به روش غرقاب متناسب که در مزرعه اجرا شده بود، از طریق مدل‌های گفته شده منجر به حصول درجه تناسب کاربردی و انتخاب مدل برتر گردیده، در ابتدا بهمنظور کاربرد نتایج حاصل در مدل‌های گفته شده پیش‌بینی و اجرا نگرددیده است بدین دلیل، استنباط می‌شود که در شرایط دیگر (حتی در یک منطقه مورد مطالعه) منجر به حصول نتیجه دیگری گردد. بدین دلیل، پیشنهاد می‌شود برای استفاده از مدل‌های نظری آبشویی نمکهای محلول از نیمرخ خاک، برنامه‌ریزی، تدارک، انجام اندازه‌گیریهای لازم، گردآوری داده‌های مورد نیاز براساس نیاز ورودی مدلها و توجه کامل به شرایط اولیه و مرزی مندرج در مبانی نظری آنها انجام شود، که در صورت اعمال این تمهدیدات، دامنه کاربرد مدل انتخابی برتر با محدودیت همراه نبود و اطمینان بیشتری از تعمیم نتایج حاصل متصور خواهد بود.

توجه: علاوه بر محاسبه مجموع مربعات انحرافات در جدول ۱۱، با استفاده از نرم‌افزار گفته شده مدل خطی به رقمهای مشاهده شده ( $y_0$ ) و محاسبه شده (از روش سری مخازن یعنی،  $y_c$ ) برازش داده شده که ضریب همبستگی مربوطه ( $R^2$ ) برابر با  $0/791$  و انحراف معیار یا استاندارد SD یا SE برابر با  $2/490$  و در سطح  $1\%$  معنی‌دار بوده است، بدین ترتیب رابطه زیر را می‌توان در این خصوص ارائه داد:

$$y_0 = 0/840 y_c + 1/258 \quad (7)$$

که در آن  $y_0$  و  $y_c$  معانی پیشین را دارند.

توجه: بررسی رقم مجموع مربعات انحرافات (۱۶۸/۱۱) مندرج در جدول ۱۰ که به ازای مقدار ضریب بازده آبشویی برابر با  $0/35$  حاصل شده و مندرجات جدول ۱۴ که رقم مجموع مربعات انحرافات را برابر با  $(104/70)$  با کاربرد مقدار ضریب بازده آبشویی معادل  $0/28$  برآورد نموده، نمایانگر آن است که مقادیر شوری نهایی برآورد شده به طور مستقیم (در شرایط تساوی دیگر عوامل) تحت تأثیر ضریب بازده آبشویی نمکهای محلول از نیمرخ خاک و گامهای محاسباتی مورد استفاده در برنامه رایانه‌ای است.

## منابع و مراجع

تذکر: منابعی که در متن به صورت پاورپوینت مورد اشاره قرار گرفته در فهرست منابع و مراجع تکرار نگردیده است.

- 1- Abrol,I.P, Yadav,J.S.P, and F.I. Massaud.1988. Salt-affected soils and their management, FAO, Soils Buletin.No.39.
- 2- Abrol,I.P. and D.R. Bhumla.1972. Field studies on salt leaching in a highly saline-sodic soil. Soil Science, 115:429-433.
- 3- Aylmore, L.A.G. and M. Karim.1968. Leaching of fertilizer ions in soil columns. Transactions. 9th International Congress on Soil Science, 1:143-152.
- 4- Bachmat,Y.,and J. Bear.1964.The general equations of hydrodynamic dispersion in homogenous and isotropic porous mediums .Journal of Geophysical Research 69:2561-2567.
- 5- Bear,J. 1961a. On the tensor from of dispersion in porous media .Journal of Geophysical Research 66:1185-1197.
- 6- Bear,J. 1961b.Some experiments in dispersion .Journal of Geophysical Research 66:2455-2467.
- 7- Bernstein,L. 1962. Salt-affected soils and plants .The problems of the arid zones. Proceedings UNESCO Arid Zone Symposium, Paris.
- 8- Biggar , J.W., and D.R. Neilsen.1960. Diffusion effects in miscible displacement occurring in saturated and unsaturated porous materials. Journal of Geophysical Research 65:2887-2895.
- 9- Biggar , J.W., and D.R. Neilsen.1961.Miscible displacement in porous materials, Journal of Soil Science 12:188-197.
- 10- Biggar , J.W., and D.R. Neilsen.1962a.Miscible displacement :II. Behavior of tracers. Soil Science Society of America Proceedings 26:125-128.
- 11- Biggar , J.W., and D.R. Neilsen. 1962b.Some comments on molecular diffusion and hydrodynamic dispersion in porous media. Journal of Geophysical Research 67:3636-3637.
- 12- Biggar , J.W., and D.R. Neilsen.1962c.Improved leaching practices. California Agriculture Research Station16:5.
- 13- Biggar , J.W., and D.R. Neilsen.1963. Miscible displacement: V. Exchange process. Soil Science Society of America Proceedings 27:623-627.
- 14- Biggar,J.W .and D.R. Nielson. 1967. Miscible displacement and leaching phenomena. in Irrigation of Agricultural Lands. Hagan,R.M., Haise,H.R. and Edminster, T.W.(Editors), American Society of Agronomy, Madison, Wis., PP.254-274.
- 15- Biggar,J.W. and D.R. Nielson. 1976. Spatial variability of leaching characteristics of field soil. Water Resources Research, 42:78-84.
- 16- Bolt,G.H. and M.G.M. Bruggenwert, (Editors).1976. Soil Chemistry, A. Basic Elements. Elsevier, Amsterdam, 281 P.
- 17- Bresler ,E.and R.J. Hanks.1969.Numerical method for estimating simultaneous flow of water and salt in unsaturated soils. Soil Science Society of America Proceedings. 33 827-832.

- 18- Bresler,E. 1981. Transport of salts in soils and sub-soils. *Journal of Agricultural Water Management*, 4:35-62.
- 19- Bresler, E. 1972. Control of soil salinity in optimizing the soil physical environment toward greater crop yields. D. Hillel. (Editor), PP.101-132. New York- London, Academic press.
- 20- Bresler,E,McNeal, B.I and D.L. Carter. 1982. *Saline and Sodic Soils, Principle, Dynamics, Modeling*, Springer-Verlag. Berlin.
- 21- Burd,J.S., and J.C.Martin.1923. Water displacement of soil and the soil solution, *Journal of Agricultural Science* 13:265-295.
- 22- Chairns,E.J., and J.M. Prausmtz.1960. Longitudinal mixing in packed beds. *Journal of Chemical Engineering Science* 12:20-34.
- 23- Collins,R.E. 1961. *Flow of fluids through porous materials*. Rainhold Publishing Corporation, New York. 270 P.
- 24- Corey,J.C., Nielsen D.R., and J.W. Biggar. 1963. Miscible displacement in saturated and unsaturated sandstone. *Soil Science Society of America Proceedings* 27:258-262.
- 25- Crank,J. 1965. *The mathematics of diffusion*. Oxford University Press, Aman House, London. 347 P.
- 26- Danckwerts, P.V. 1953. Continuous flow systems; distribution of residence times, *Journal of Chemical Engineering Science* 2:1-13.
- 27- Davidson,J.M., Neilsen ,D.R., and J.W. Biggar.1963. Measurements and description of water flow through Columbia silt loam and Hepena sandy loam. *Hilgardia* 34:601-517.
- 28- Day,P.R. and W.M. Forsythe. 1957. Hydrodynamic dispersion of solutes in the soil moisture stream. *Soil Science Society of America Proceedings*, 21:477-480.
- 29- Day,P.R. 1956. Dispersion of a moving salt water boundary advancing through saturated sand. *Transactions of the American Geophysical Union* 37:595-601.
- 30- De Josselin dejong,G. 1958. Longitudinal and transverse diffusion in granular deposits. *Transactions of the American Geophysical Union* 39:67-74.
- 31- Dieleman, P.J. 1963. *Reclamation of salt -affected soils in Iraq*. Veenman, Wageningen, 175 P.
- 32- Dutt,G.R., and K.K. Tanji. 1962. Predicting concentrations of solutes in water percolated through a column of soil. *Journal of Geophysical Research* 67:3437-3439.
- 33- Dyer, K.L. 1965. Unsaturated flow phenomena in Panoche sandy clay loam as indicated by leaching of chloride and nitrate. *Soil Science Society of America Proceedigs*, 29:121-126.
- 34- Eaton,F.M. 1958. Salts in irrigation waters and soils. *California Citrograph* 44:4, 20-22.
- 35- Eloubaidy, A.F, Hussain, S.M. and M.T.Al-Taie.1993. Field evaluation of desalinization models, *Journal of Agricultural Water Management* , 24:1-13.
- 36- Eriksson, E. 1958. A note on dispersion of salt-water boundary moving through saturated sand. *Transactions of the American Geophysical Union*. 39:937-938.
- 37- Fetter,C.W. Jr. 1988.*Applied Hydrogeology* , John Willey ,2nd ed. PP 389-405.
- 38- Gardner,W.R., and R.H. Brooks. 1957. A descriptive theory of leaching .*Soil Science* 83:295-304.

- 39- Gardner,W.R., and M.S. Mayhugh. 1958. Solutions and tests for the movement of water in soil. Soil Science Society of America Proceedings 22:197-201.
- 40- Gardner,W.R. 1960. Review of research on water relations of plants in arid and semi-arid zones. II. Soil and water relations in arid and semi-arid conditions. In UNESCO publication, Water relations of plants in arid and semi-arid zones. PP 37-61.
- 41- Ghuman,B.S., Verma, S.M. and S.S. Prihar. 1975. Effect of application rate, initial soil wetness, and redistribution time on salt displacement by water. Soil Science Society of America Proceedings, 39:7-10.
- 42- Glueckauf,D. 1949. Activity coefficients in concentrated solutions containing several electrolytes. Nature, 163:414-415.
- 43- Gottfried,M.R. 1979. Introduction to engineering calculations, Schaum's outline series, McGraw-Hill Book.Co.233 P.
- 44- Hanks,R.J.,Klute,A.,and E., Bresler. 1969. A numerical method for estimating infiltration, redistribution, drainage and evaporation of water from soil. Water Resources Research 5, 1064-1069.
- 45- Hartley,O.S., and J. Crank. 1949. Some fundamental definitions and concepts in diffusion processes. Faraday Society Transactions 45:801-818.
- 46- Hoffman, G.J. 1980. Guidelines for reclamation of salt-affected soils. PP: 49-64 in Proceedings of International American Salinity and Water Management, Technical Conference. Juar. Mecxico.
- 47- Homae,M.,Dirksen,C. and R.A. Feddes. 2002. Simulation of root water uptake. I. Non-uniform transient salinity using different macroscopic reduction functions, Journal of Agricultural Water Management.57:89-109.
- 48- Jackson,R.D., Nielsen,D.R. , and F.S. Nakagama. 1963. On diffusion laws applied to porous materials. United States Department of Agriculture, Agricultural Research Service 41-86.
- 49- Jurinak,J.J. 1981. Salt-affected soils, Utah state university. Logan, Utah. Chapter V PP1-13.
- 50- Jury, W.A., Jarrell,W.M. and D. Devitt .1979. Reclamation of saline-sodic soils by leaching. Soil Science Society of America Journal.43:1100-1106.
- 51- Jury,W.A. and G.Sposito. 1985. Field calibration and validation of solute transport models for the unsaturated zone. Soil Science Society of America Journal, 49:1331-1341.
- 52- Jury,W.A. 1982. Simulation of solute transport using a transfer function model. Water Resources Research, 18:2,363-368.
- 53- Keller,J. and J.F. Alfaro. 1966. Effect of water application rate on leaching. Soil Science, 102:107-114.
- 54- Lane,J.W. and V.A,Ferrira. 1990. Sensitivity analysis in CREANS: A field-scale model for chemical, run-off and erosion from agricultural management systems .W. G.Knisel (Editor), 113-158 Vol. A. model , USDA. Conservation. Resources. Report No.26.
- 55- Lapidus,L. and N.R. Amundson. 1952. Mathematics of adsorption in beds .Journal of Physical Chemistry., 56:984-988.

- 56- Leffelaar,P.A.,and Pal Sharma.1977. Leaching of a highly saline-sodic soil. *Journal of Hydrology* 32:203-218.
- 57- Miller,R.J., Biggar ,J.W., and D.R. Nielsen. 1965.Chloride displacement in Panoche clay loam in relation to water movement and distribution . *Water Resources Research* 1:63-73.
- 58- Minhas,P.S, Sharma ,O.P., and S.G.Patil,(Editors). 1998 . 25 Years of research on management of salt-affected soils and use of saline water in agriculture, CSSRI, Karnal, India, 220 P.
- 59- Nielson, D.R., and J.W. Biggar. 1961. Miscible displacement in soils: I. Experimental information. *Soil Science Society of America Proceedings* 215:1-5.
- 60- Nielson, D.R., and J.W. Biggar. 1962a.Experimental consideration of diffusion analysis in unsaturated flow problems. *Soil Science Society of America Proceedings* 26:107-111.
- 61- Nielson,D.R., and J.W. Biggar. 1962b.Miscible displacement: II. Theoretical considerations. *Soil Science Society of America Proceedings* 26:216-221.
- 62- Nielson,D.R., and J.W. Biggar. 1963.Miscible displacement :IV. Mixing in glass beds .*Soil Science Society of America Proceedings* 27:10-13.
- 63- Nielson,D.R., Biggar, J.W.,and R.J. Miller. 1964. Soil profile studies aid, *Water Management for Salinity Control. California Agriculture* 18:4-5.
- 64- Nielson,D.R., Davidson,J.M., Biggar ,J.W. , and R.J. Miller. 1964. Water movement through Panoche clay loam soil .*Hilgardia* 35:491-506.
- 65- Oswal,M.C. 1983. *Soil physics*, Vikas Publishing House, PVT .Ltd .New Delhi.214 P.
- 66- Pazira, E. 1981.Hydrodynamics of salts in the soil, *Journal of Integrated Agricultural Water Use and Freshening Reservoirs* , Kyoto University, Japan,6:28-38.
- 67- Pazira,E. and T, Kawachi. 1981.Studies on appropriate depth of leaching water, Iran .A case study. *Journal of Integrated Agricultural Water Use and Freshening Reservoirs*, Kyoto University Japan, 6:39-49.
- 68- Pazira, E., Keshavarz A., and K.,Torii. 1998.Studies on appropriate depth of leaching water ,*International Workshop on the Use of Saline and Brackish-Water for Irrigation*, Indonesia.
- 69- Pazira, E., Vaziri,J. and A.,Keshavarz. 1998. Practical evaluation of soil desalinization models (A case study, Iran), *International Agricultural Engineering Conference*, Thailand.
- 70- Pazira,E. 1999.Land reclamation research on soil physico-chemical improvement by salt leaching in south-western part of Iran, *Innovation of Agricultural Engineering Technologies for the 21st Century* ,P.R. China.
- 71- Perkins,T.K., and O.C., Johnson. 1963. A review of diffusion and dispersion in porous media. *Society of Petroleum Engineering Journal*.3, 70-84.
- 72- Porter,L.K., Kemper ,W.D., Jackson ,R.D. ,and B.A. Stewart. 1960. Chloride diffusion in soils as influenced by moisture content .*Soil Science Society of America Proceedings* 24:460-463.
- 73- Reeve,R.C. 1953. Factors influencing drainage design in irrigated areas. *Journal of Agricultural Engineering* 34:88-90.

- 74- Reeve, R.C., Pillsbury, A.F., and L.V., Wilcox. 1955. Reclamation of a saline and high boron soil in the Coachella Valley of California .*Hilgardia* 24:69-91.
- 75- Reeve,R.C. 1957. The relation of salinity to irrigation and drainage requirements. Third Congress of International Commission on Irrigation and Drainage, Transactions 5:10.175-10.187.
- 76- Richards, L.A., (Editor). 1954. Diagnosis and Improvement of Saline and Alkali Soils. Agricultural Handbook No. 60, USDA, Washington, D.C.
- 77- Rifai, M.N.E., Kaufman ,W.J. , and D.K. Todd. 1965. Dispersion phenomena in laminar flow through porous media. University of California, Institute of Engineering Research, Series. 93(2), 23 P.
- 78- Ritzma, H.P.(Editor). 1994. Drainage, Principle, and Applications, ILRI, Publication, No 16, 2nd ed. Wageningen, Netherlands.
- 79- Saffman, P.G. 1959. A theory of dispersion in a porous media. *Journal of Fluid Mechanics* 6:321-349.
- 80- Saffman, P.G. 1960. Dispersion due to molecular diffusion and microscopic mixing in flow through a network of capillaries. *Journal of Fluid Mechanics* 7:194-208.
- 81- Scheidegger,A.E. 1954. Statistical hydrodynamics of porous media .*Journal of Applied Physics* 25:994-1001.
- 82- Scheidegger,A.E. 1958. Typical solutions of differential equations of statistical theories through porous media .*Transactions of the American Geophysical Union*, 9:929-932.
- 83- Scheidegger,A.E. 1960.The physics of flow through porous media. The Macmillan Company, New York.313 P.
- 84- Scheidegger,A.E. 1961.General theory of dispersion in porous media. *Journal of Geophysical Research* 66:3273-3278.
- 85- Sepaskhah,A.R. and M.R.,Gharaat. 1977.Reclamation of saline-sodic soils in Khuzestan, Iranian Journal of Agricultural Research. Vol.5.No.1.
- 86- Sharma,S.K. and H.R., Manchanda. 1996. Influence of leaching with different amounts of water on desalinization and permeability behavior of chloride and soluted-dominated soils. *Agricultural Water Management*.31:225-235.
- 87- Smith,G.W. 1965. Numerical solution of partial differential equations, Oxford University Press, London, 179 P.
- 88- Sparks,D.L.1995.Environmental soil chemistry, Academic Press, PP 219-232.
- 89- Spiegler, M.R. 1984, Mathematical handbook of formulas and tables, Schaum's outline series, McGraw-Hill Book. Co. 273 P.
- 90- Szabolcs, I 1989.Salt-affected soils, Boca Raton, Florida ,CRC Press.
- 91- Tanji, K.K (Editor). 1990. Agricultural salinity assessment and management .ASCE, USA, PP 410-431.
- 92- Tarkeltoub, R.W. and K.L., Babcock. 1971. A simple method for predicitng salt movement through soil. *Soil Science*, 11:182-187.

- 93- Taylor, G.I. 1953. Dispersion of soluble matter in solvent flowing through a tube. Proceedings of the Royal Society of London 219A:186-203.
- 94- Van der Molen. W.H. 1956. Desalinization of saline soils as a column process. Soil Science 81:19-27.
- 95- Van der Molen,W.H. 1979.Salt blance and leaching requirement, Drainage Principles and Application, Vol. II ,ILRI, The Netherlands.
- 96- Van Hoorn, J.W. 1981 Salt movement, leaching efficiency and leaching requirement. Agricultural Water Management, 4:409-428.
- 97- Von Rosenburg, D.V. 1956. On the mechanics of steady-state single phase fluid displacement from porous media. American Institute of Chemical Engineering 2:55-58.
- 98- Wang, Q., Horton, R. and L., Jaehoon. 2002. A simple model relating soil water characteristic curve and soil solute breakthrough curve, Journal of Soil Science 167-7:436-443.
- 99- Warrick, A.W., Biggar, J.W. and D.R.,Nielson. 1971. Simultaneous solute and water transfer for an unsaturated soil. Water Resources. Research, 7(5):1216-1225.
- 100- Wilcox, L.V., and W.F. Resch. 1963. Salt balance and leaching requirement in irrigated lands. United States Department of Agriculture, Technical Bulletin, 1290.

*Guide line for Application of  
Theoritical and Imperical Soil  
Desalinization Models*

## این نشریه

در طرحهای مطالعاتی بررسی اصلاح فیزیکو-شیمیایی خاکهای شور و یا شور و سدیمی، تعیین میزان آب لازم برای آبشویی نمکهای محلول از نیمرخ خاکها با استفاده از آزمونهای مزرعه‌ای با اهمیت توصیه شده است، در بررسیهای جاری و متدالوی با استفاده از مقادیر متفاوت آب آبشویی و تهیه نمونه‌های متعدد آب، خاک و زهاب، تغییرات نمک در فرایند آبشویی، مطالعه و بررسی می‌شود. اجرای این روشها که مرسوم‌ترین شیوه در اصلاح و بهسازی خاکهای ذکر شده است، مستلزم صرف وقت و هزینه زیاد آزمونهای مزرعه‌ای است. در سالهای اخیر با بررسی و شناخت فرایندهای فیزیکی و شیمیایی خاک مدل‌هایی بر پایه متغیرهای مربوط به صورت روابط ریاضی، معادله‌های نظری و تجربی ارائه شده است. در این راهنمای معرفی و تشریح تعدادی از مدل‌های معروف و کارآمد نظری و تجربی آبشویی نمکهای محلول از نیمرخ خاکها که استفاده از آنها عمومیت بیشتری دارد، پرداخته شده است.

معاونت امور اداری ، مالی و متابع انسانی  
مرکز مدارک علمی ، موزه و انتشارات

978-964-425-902-9



9789644259029